

เครื่องปั่นแยกเม็ดเลือดออกจากพลาสมา

HEMATOCRIT CENTRIFUGE



โดย
นายวัฒนชัย เพ็ญอัมพรกุล
นายวัลลพ สกกุลอัมทรัพย์

เลขหมู่.....
เลขทะเบียน..... 46265
วัน, เดือน, ปี..... 21 ส.ค. 2546

.b.....
.i.....

ปริญญานี้เป็นส่วนหนึ่งของการศึกษาตามหลักสูตรปริญญาวิศวกรรมศาสตรบัณฑิต

สาขาวิชาวิศวกรรมอิเล็กทรอนิกส์

สถาบันเทคโนโลยีพระจอมเกล้าเจ้าคุณทหารลาดกระบัง

ปีการศึกษา 2544

เอกสารนี้เป็นเอกสารที่สงวนไว้สำหรับการใช้งานเพื่อการศึกษาเท่านั้น ไม่อนุญาตให้นำไปใช้ประโยชน์ด้านการค้า

ไม่ว่ากรณีใดๆ ทั้งสิ้น อีกทั้งห้ามมิให้ดัดแปลงเนื้อหา และต้องอ้างอิงถึงเจ้าของเอกสารทุกครั้งที่มีการนำไปใช้

เครื่องปั่นแยกเม็ดเลือดออกจากพลาสมา

HEMATOCRIT CENTRIFUGE

โดย

นายวัฒนชัย เพ็ญอัมพรกุล 42015193

นายวัลลพ สกลอิมทรัพย์ 42015234

อาจารย์ที่ปรึกษา

ดร.กิตติพล ชิตสกุล

ปริญญาานิพนธ์สำหรับปริญญาวิศวกรรมศาสตรบัณฑิต

สาขาวิชาวิศวกรรมอิเล็กทรอนิกส์

คณะวิศวกรรมศาสตร์

สถาบันเทคโนโลยีพระจอมเกล้าเจ้าคุณทหารลาดกระบัง

ปีการศึกษา 2544

เอกสารนี้เป็นเอกสารที่สงวนไว้สำหรับการใช้งานเพื่อการศึกษาเท่านั้น ไม่อนุญาตให้นำไปใช้ประโยชน์ด้านการค้า
ไม่ว่ากรณีใดๆ ทั้งสิ้น อีกทั้งห้ามมิให้ดัดแปลงเนื้อหา และต้องอ้างอิงถึงเจ้าของเอกสารทุกครั้งที่มีการนำไปใช้

ปริญญาโทปีการศึกษา 2544

ภาควิชาอิเล็กทรอนิกส์

คณะวิศวกรรมศาสตร์ สถาบันเทคโนโลยีพระจอมเกล้าเจ้าคุณทหารลาดกระบัง

เรื่อง เครื่องปั้นแยกเม็ดเลือดแดงออกจากพลาสมา

ผู้จัดทำ

1. นายวัฒนชัย เพ็ญอัมพรกุล 42015193

2. นายวัลลพ สกุลอิมทรัพย์ 42015234



เอกสารนี้เป็นเอกสารที่สงวนไว้สำหรับการใช้งานเพื่อการศึกษาเท่านั้น ไม่อนุญาตให้นำไปใช้ประโยชน์ด้านการค้า
ไม่ว่ากรณีใดๆ ทั้งสิ้น อีกทั้งห้ามมิให้ดัดแปลงเนื้อหา และต้องอ้างอิงถึงเจ้าของเอกสารทุกครั้งที่มีการนำไปใช้

เครื่องปั่นแยกเม็ดเลือดแดงออกจากพลาสมา

Hematocrit Centrifuge

นายวิมลชัย เพ็ญอัมพรกุล 42015193 3R/1

นายวัลลพ สกฤตอิมทรัพย์ 42015234 3R/2

โครงการนี้ได้รับการตรวจสอบแล้ว พร้อมทั้งจะทำการสอบได้



(ดร. กิติพล ชิตสกุล)

อาจารย์ที่ปรึกษา



เอกสารนี้เป็นเอกสารที่สงวนไว้สำหรับการใช้งานเพื่อการศึกษาเท่านั้น ไม่อนุญาตให้นำไปใช้ประโยชน์ด้านการค้า
ไม่ว่ากรณีใดๆ ทั้งสิ้น อีกทั้งห้ามมิให้ดัดแปลงเนื้อหา และต้องอ้างอิงถึงเจ้าของเอกสารทุกครั้งที่มีการนำไปใช้

เครื่องปั่นแยกเมล็ดเลือดออกจากพลาสมา

นายวัฒนชัย เพ็ญอัมพรกุล
นายวัลลพ สกฤตอัมทรัพย์
ดร.กิตติพล จิตสกุล (อาจารย์ที่ปรึกษา)
ภาคการศึกษาที่ 2 ปีการศึกษา 2544

บทคัดย่อ

ปริญญานิพนธ์นี้นำเสนอการพัฒนาเครื่องปั่นแยกเมล็ดเลือดแดงออกจากพลาสมา ซึ่งเป็นเครื่องมือทางการแพทย์ชนิดหนึ่ง มีส่วนประกอบที่สำคัญ ได้แก่ มอเตอร์ความเร็วสูงและชุดควบคุมความเร็วของมอเตอร์ที่สามารถเลือกความเร็วได้ตามต้องการคือ 3,000 รอบต่อนาทีใช้สำหรับปั่นให้เลือดตกตะกอน และ 12,000 รอบต่อนาทีใช้สำหรับปั่นแยกเมล็ดเลือดแดงออกจากพลาสมา ซึ่งจะเป็นการศึกษาเกี่ยวกับไมโครคอนโทรลเลอร์, วงจรแปลงสัญญาณดิจิทัลเป็นสัญญาณอะนาล็อก, วงจร PWM และวงจรสับไฟ (Shopper circuit)

เป็นการนำเอาหลักการของแรงหนีศูนย์กลางมาใช้ในการแยกเมล็ดเลือดแดงออกจากพลาสมาโดยใช้มอเตอร์ความเร็วสูง ซึ่งใช้ไมโครคอนโทรลเลอร์ตระกูล MCS-51 เบอร์ AT89S8252 มาเป็นตัวควบคุมระบบของเครื่องปั่นฯ ได้แก่ควบคุมชุดแปลงสัญญาณดิจิทัลเป็นสัญญาณอะนาล็อก ให้ส่งเอาต์พุตไปคอนโทรลชุดควบคุมความเร็วของมอเตอร์ตามค่าความเร็วที่ต้องการ และมีชุดป้องกันที่จะทำการป้องกันกลับค่าความเร็วมาให้ไมโครคอนโทรลเลอร์ทำการเปรียบเทียบกับค่าอ้างอิง เพื่อที่จะควบคุมให้ความเร็วของมอเตอร์นั้นคงที่ นอกจากนี้ยังมีชุดระบบความปลอดภัยที่ป้องกันไม่ให้เครื่องทำงานก่อนการปิดฝาเครื่อง และป้องกันการเปิดฝาเครื่องก่อนที่เครื่องจะหยุดทำงาน และยังมีชุดแสดงผลทางจอ แอลซีดีไว้แสดงรายการต่าง ๆ ของเครื่องปั่นแยกเมล็ดเลือดแดงออกจากพลาสมา

HEMATOCRIT CENTRIFUGE

Mr. Wallop Sakulimsup

Mr. Wattanachai Penumpornkul

Dr. Kitiphol Chitsakul (Advisor)

2nd Semester Academic year 2001**Abstract**

This thesis presents the development of a Hematocrit Centrifuge, which is a medical apparatus. This apparatus consists of a universal motor and a control circuit for stirring the blood filled tubes at variable speed of 3,000 rpm for Centrifuge and 12,000 rpm for Hematocrit. It is a study of Micro controller, Digital to Analog circuit, PWM circuit and Shopper circuit.

We use principle of centrifugal forces in order to separate red blood from plasma by using high-speed motor. We use a micro controller family MCS-51, the AT89S8252, to control the system such as digital-to-analog converter (DAC), a universal motor and the feedback part to stabilize the speed corresponding to a set reference value. In addition, the unit is equipped with protection system such as the sensor of the opening of the cover before starting the machine and the lock of the cover during the motor functions. A LCD display is also included for monitoring the menu function.

กิตติกรรมประกาศ

ปริญญานิพนธ์นี้สามารถสำเร็จลุล่วงได้ด้วยดีนั้น ทางผู้จัดทำขอขอบคุณอาจารย์ที่ปรึกษา ดร.กิตติพล ชิตสกุล ที่ให้คำปรึกษาเกี่ยวกับข้อมูลรายละเอียดต่าง ๆ ขั้นตอนในการทำงาน รวมทั้ง อาจารย์ในภาควิชา นอกภาควิชาทุกท่านที่ได้ให้คำแนะนำ ขอขอบคุณหัวหน้าแผนกเวชศาสตร์ ชันสูตร โรงพยาบาลจุฬาลงกรณ์ และเจ้าหน้าที่ทุกท่านที่ให้ความช่วยเหลือเรื่องข้อมูลตลอดจน อุปกรณ์และเครื่องมือต่าง ๆ ที่ได้บริจาคเพื่อการศึกษา ขอขอบคุณรุ่นพี่และเพื่อน ๆ ทุกคนที่ให้คำปรึกษา ขอขอบคุณบิดามารดาและผู้มีพระคุณทุกท่าน



เอกสารนี้เป็นเอกสารที่สงวนไว้สำหรับการใช้งานเพื่อการศึกษาเท่านั้น ไม่อนุญาตให้นำไปใช้ประโยชน์ด้านการค้า ไม่ว่าจะกรณีใดๆ ทั้งสิ้น อีกทั้งห้ามมิให้ดัดแปลงเนื้อหา และต้องอ้างอิงถึงเจ้าของเอกสารทุกครั้งที่มีการนำไปใช้

สารบัญ

	หน้า
บทคัดย่อ	I
Abstract	II
กิตติกรรมประกาศ	III
สารบัญ	IV
สารบัญรูป	VII
บทที่ 1 บทนำ	1
1.1 ความเป็นมาของโครงการ	1
1.2 โครงสร้างของโครงการ	1
1.3 โครงสร้างของรายงาน	2
บทที่ 2 อุปกรณ์ขับเคลื่อน	3
2.1 ยูนิเวอร์แซลมอเตอร์ (Universal Motor)	3
2.1.1 ส่วนประกอบที่สำคัญของยูนิเวอร์แซลมอเตอร์	3
2.1.2 การทำงานของยูนิเวอร์แซลมอเตอร์	5
2.1.3 การกลับทางหมุน	5
บทที่ 3 การออกแบบภาคขับเคลื่อนมอเตอร์	6
3.1 ทรานซิสเตอร์กำลัง	6
3.1.1 การเลือกใช้ทรานซิสเตอร์กำลัง	6
3.1.2 คุณสมบัติของทรานซิสเตอร์กำลัง	6
3.1.3 คำจำกัดความที่เกี่ยวข้องกับทรานซิสเตอร์	7
3.1.4 ความสัมพันธ์กับโพลดความเหนี่ยวนำ	8
3.1.5 วงจรป้องกันทรานซิสเตอร์อิมิตัว	8
3.1.6 เทคนิคการขับเคลื่อนสำหรับทรานซิสเตอร์	10
3.1.7 ปรัชญาการ Secondary Breakdown ของทรานซิสเตอร์	14
3.2 วงจรควบคุมแรงดันไฟฟ้าดีซี	19
3.2.1 ชนิดของวงจรสับไฟฟ้า	21

เอกสารนี้เป็นเอกสารที่สงวนไว้สำหรับการใช้งานเพื่อการศึกษาเท่านั้น ไม่อนุญาตให้นำไปใช้ประโยชน์ด้านการค้า
ไม่ว่ากรณีใดๆ ทั้งสิ้น อีกทั้งห้ามมิให้ดัดแปลงเนื้อหา และต้องอ้างอิงถึงเจ้าของเอกสารทุกครั้งที่มีการนำไปใช้

บทที่ 4 การควบคุมภาคขับมอเตอร์	24
4.1 พัลส์วิดมอดูเลชัน (Pulse Width Modulation : PWM)	24
4.1.1 ลักษณะของ PWM โดยทั่วไป	24
4.1.2 การสร้างวงจรถูกกำเนิดสัญญาณ PWM	25
4.1.3 การทำงานของไอซี	26
4.1.4 การใช้ IC TL494 ร่วมกับทรานซิสเตอร์ภายนอก	28
4.2 วงจรอินทิเกรเตอร์ที่ใช้โอปแอมป์	29
4.2.1 การออกแบบวงจร	33
4.2.2 ลำดับขั้นตอนในการออกแบบ	33
บทที่ 5 การใช้งานไมโครคอนโทรลเลอร์ MCS-51	35
5.1 คุณสมบัติทางเทคนิคของไมโครคอนโทรลเลอร์ MCS-51	36
5.2 การจัดขาของไมโครคอนโทรลเลอร์ MCS-51	38
5.3 ไทมเมอร์/เคาน์เตอร์ในไมโครคอนโทรลเลอร์ MCS-51	41
5.3.1 การทำงานเป็นไทมเมอร์	41
5.3.2 การทำงานเป็นเคาน์เตอร์	41
5.3.3 รีจิสเตอร์ที่เกี่ยวข้องกับการทำงานของไทมเมอร์/เคาน์เตอร์ 0 และ 1	42
5.3.4 โหมดการทำงานของไทมเมอร์/เคาน์เตอร์ 0 และ 1	45
5.4 อินเตอร์รัปต์ในไมโครคอนโทรลเลอร์ MCS-51	47
5.4.1 การจัดการอินเตอร์รัปต์	47
5.4.2 การเขียนโปรแกรมย่อยบริการอินเตอร์รัปต์	47
5.4.3 รีจิสเตอร์ที่เกี่ยวข้องกับการบริการอินเตอร์รัปต์	48
5.4.4 แหล่งกำเนิดสัญญาณอินเตอร์รัปต์	50
5.4.5 ลำดับความสำคัญของการอินเตอร์รัปต์	50
5.5 การขับโมดูลแสดงผลแบบผลึกเหลว (LCD Module)	51
5.5.1 รายละเอียดเกี่ยวกับโมดูล LCD	51
5.5.2 โครงสร้างภายในของตัวควบคุมโมดูล LCD	51
5.5.3 โมดูล LCD ขนาด 24 ตัวอักษร 2 บรรทัด (LCD 24x2)	52
5.5.4 คำสั่งควบคุมโมดูล LCD	53
5.5.5 การเขียนคำสั่งและข้อมูลให้แก่โมดูล LCD	56
5.5.6 จังหวะการทำงานของ LCD โมดูล	57

5.6 การขยายพอร์ตอินพุทเอาต์พุทด้วยอุปกรณ์ระบบบัส I ² C	58
5.6.1 ความรู้เบื้องต้นเกี่ยวกับ I ² C	58
5.6.2 คุณสมบัติโดยทั่วไปของบัส I ² C	58
5.6.3 หลักการของบัส I ² C	59
5.6.4 สถานะที่เกิดขึ้นบนบัส I ² C	60
5.6.5 การทำงานบนบัส I ² C	61
5.6.6 อุปกรณ์ที่ใช้การเชื่อมต่อแบบบัส I ² C	63
5.6.7 การต่ออุปกรณ์ระบบบัส I ² C กับไมโครคอนโทรลเลอร์ MCS-51	63
5.6.8 การเขียนโปรแกรมติดต่อบัส I ² C	65
5.6.9 การขยายจำนวนพอร์ตอินพุทเอาต์พุทด้วยไอซี PCF8574A	66
5.7 วงจรแปลงสัญญาณดิจิทัลเป็นอะนาลอกแบบ R-2R	69
5.7.1 ความรู้เบื้องต้นเกี่ยวกับวงจร DAC แบบ R-2R	69
5.7.2 การต่อวงจร DAC แบบ R-2R เข้ากับไมโครคอนโทรลเลอร์ MCS-51	71
บทที่ 6 ขั้นตอนการทำงานของโปรแกรม	72
6.1 ขั้นตอนการเริ่มต้นการทำงาน	73
6.2 ขั้นตอนการเลือกโหมดการทำงาน และค่าการทำงานตามการใช้งาน	75
6.3 ขั้นตอนการทำงานของโหมดที่ได้เลือกไว้	76
6.4 ขั้นตอนการจบการทำงาน	79
บทที่ 7 การทดลองและผลการทดลอง	81
7.1 การทดลองภาคควบคุมการจับมอเตอร์	81
7.2 การทดลองภาคจับมอเตอร์	83
7.3 การทดลองชุดตรวจจับกระแสเกิน	85
7.4 การทดลองวัดแรงดันตกคร่อมมอเตอร์ เทียบกับความเร็วรอบที่ได้	85
7.5 การทดลองป้อนเลือดจริงของเครื่องที่สร้างขึ้นเทียบกับเครื่องที่โรงพยาบาลใช้อยู่	89
บทที่ 8 บทสรุป	93
บรรณานุกรม	95
ภาคผนวก	

สารบัญรูป

	หน้า
รูปที่ 1.1 โครงสร้างของเครื่องปั้นแยกเม็ดเลือดออกจากพลาสมา	2
รูปที่ 2.1 ลักษณะของยูนิเวอร์แซลมอเตอร์	3
รูปที่ 2.2 ส่วนประกอบของยูนิเวอร์แซลมอเตอร์	4
รูปที่ 2.3 โครงสร้างของยูนิเวอร์แซลมอเตอร์	4
รูปที่ 2.4 การทำงานของยูนิเวอร์แซลมอเตอร์	5
รูปที่ 2.5 การกลับทางหมุน	5
รูปที่ 3.1 แสดงคุณสมบัติของทรานซิสเตอร์	7
รูปที่ 3.2 แสดงรูปคลื่นของทรานซิสเตอร์สวิตชิง	8
รูปที่ 3.3 แสดงรูปคลื่นแรงดันกับกระแสของทรานซิสเตอร์เมื่อขับโหลดความเหนี่ยวนำ	8
รูปที่ 3.4 วงจรป้องกันทรานซิสเตอร์อิมิตัว	9
รูปที่ 3.5 วงจรขับเบสโดยใช้หม้อแปลง	11
รูปที่ 3.6 วงจรขับโดยใช้หม้อแปลงเป็นตัวเชื่อมต่อ โดยสร้างการขับเบสย้อนกลับ	12
รูปที่ 3.7 แสดงวงจรขับเบสโดยใช้หม้อแปลงเป็นตัวแยกระบบทางไฟฟ้า	13
รูปที่ 3.8 วงจรขับเบสโดยใช้ตัวเก็บประจุเป็นตัวเชื่อมต่อโดยตรง	14
รูปที่ 3.9 แสดง SOA ของทรานซิสเตอร์	14
รูปที่ 3.10 การป้องกัน Secondary breakdown โดยการต่อ JFET อนุกรมกับเบส	15
รูปที่ 3.11 แสดงกราฟความสัมพันธ์ของ I_C และ V_{CE} ของทรานซิสเตอร์	16
รูปที่ 3.12 พื้นที่ทำงานที่ปลอดภัยเมื่อป้อนไบแอสกลับ RBSOA	17
รูปที่ 3.13 วงจรสับเบสต่อคร่อมทรานซิสเตอร์สวิตชิง	17
รูปที่ 3.14 รูปคลื่นแรงดันที่ได้จากการปิดเปิดไฟฟ้าคิซีเป็นจังหวะ	20
รูปที่ 3.15 วงจรสับไฟฟ้าลดค่าลง	21
รูปที่ 3.16 วงจรสับไฟฟ้ายกค่าขึ้น	23
รูปที่ 4.1 แสดงรูปคลื่นสัญญาณเอาต์พุทของพัลส์วิดมอดดูเลชั่น	24
รูปที่ 4.2 แสดงการจัดโครงสร้างภายในและการจัดขาไอซี TL494	25
รูปที่ 4.3 แสดงความสัมพันธ์ของค่า R_T, C_T ในการกำหนดความถี่	26
รูปที่ 4.4 รูปคลื่นลักษณะการทำงาน IC#TL494	27
รูปที่ 4.5 แสดงลักษณะการเลือกใช้อาต์พุทของ TL494	28
รูปที่ 4.6 การใช้ TL494 กับทรานซิสเตอร์ภายนอก	28

รูปที่ 4.7	การทำงานของวงจรถอปแอมป์อินทิเกรเตอร์	30
รูปที่ 4.8	รูปคลื่นเอาต์พุตที่ได้จากวงจรรวมอินทิเกรเตอร์	32
รูปที่ 4.9	การลดอัตราขยายของวงจรถอปแอมป์อินทิเกรเตอร์	32
รูปที่ 5.1	วงจรถอปแอมป์อินทิเกรเตอร์ PWM	35
รูปที่ 5.1	รูปแบบของการเชื่อมต่อของ SPI อย่างง่าย	37
รูปที่ 5.2	การจัดขามาตรฐานของไมโครคอนโทรลเลอร์ MCS-51	40
รูปที่ 5.3	ไดอะแกรมการทำงานของโมดูล LCD แบบอักษร	51
รูปที่ 5.4	ผังแสดงการเชื่อมต่อของอุปกรณ์ต่าง ๆ บนระบบบัส I ² C	58
รูปที่ 5.5	ไดอะแกรมเวลาแสดงสถานะต่าง ๆ ในบัส I ² C	61
รูปที่ 5.6	รูปแบบของข้อมูลกำหนดแอดเดรสที่ใช้ในการอ้างถึงแบบ 7 บิต	62
รูปที่ 5.7	วงจรถอปแอมป์อินทิเกรเตอร์ ไมโครคอนโทรลเลอร์ MCS-51 กับอุปกรณ์ระบบบัส I ² C	64
รูปที่ 5.8	การจัดขาของไอซีขยายพอร์ตอินพุตเอาต์พุต PCF8574/PCF8574A	67
รูปที่ 5.9	วงจรถอปแอมป์อินทิเกรเตอร์ภายในขาพอร์ตของไอซี PCF8574/PCF8574A	68
รูปที่ 5.10	พื้นฐานของวงจรถอปแอมป์อินทิเกรเตอร์ดิจิทัลเป็นอะนาล็อกแบบ R-2R	70
รูปที่ 5.11	วงจรถอปแอมป์อินทิเกรเตอร์ DAC แบบ R-2R ที่มีทรานซิสเตอร์ในการแปลงค่ากระแสเป็นแรงดัน	70
รูปที่ 5.12	การต่อวงจร DAC แบบ R-2R แลคเคอร์ โดยใช้ I ² C ขยายพอร์ต	71
รูปที่ 6.1	โฟลวชาร์ตแสดงขั้นตอนการทำงานของโปรแกรม	73
รูปที่ 6.2	โฟลวชาร์ตของขั้นตอนการเริ่มต้นการทำงาน	74
รูปที่ 6.3	โฟลวชาร์ตของขั้นตอนการเลือกโหมดการทำงาน	75
รูปที่ 6.4	โฟลวชาร์ตขั้นตอนการทำงานตามโหมดที่เลือกไว้	77
รูปที่ 6.5	โฟลวชาร์ตโปรแกรมย่อยและโปรแกรมอินเตอร์รัปต์ของตัวตั้งเวลา	78
รูปที่ 6.6	โฟลวชาร์ตโปรแกรมย่อยการตรวจสอบความเร็วรอบ	79
รูปที่ 6.7	โฟลวชาร์ตขั้นตอนการจบการทำงาน	80
รูปที่ 7.1	วงจรถอปแอมป์อินทิเกรเตอร์ PWM	81
รูปที่ 7.2	รูปสัญญาณที่ขา 5 ของ TL494	82
รูปที่ 7.3	สัญญาณที่ Output ของ TL494	82
รูปที่ 7.4	วงจรถอปแอมป์อินทิเกรเตอร์และภาคขับเคลื่อนมอเตอร์	84
รูปที่ 7.5	รูปสัญญาณที่ขาเบสของทรานซิสเตอร์	85
รูปที่ 7.6	กราฟแสดงความสัมพันธ์ระหว่างความเร็วกับแรงดันของมอเตอร์	86
รูปที่ 7.7	กราฟความสัมพันธ์การเพิ่มความเร็วมอเตอร์กับเวลาที่ความเร็ว 3,500 rpm	87

รูปที่ 7.8 กราฟความสัมพันธ์การเพิ่มความเร็วของมอเตอร์กับเวลาที่ความเร็ว 12,000 rpm	88
รูปที่ 7.9 แสดงหลอดเลือดก่อนทำการปั่น	89
รูปที่ 7.10 แสดงหลอดเลือดหลังทำการปั่น	89
รูปที่ 7.11 แสดงการอ่านค่าหลอดเลือดที่ถูกปั่น โดยเครื่องของโรงพยาบาล	90
รูปที่ 7.12 แสดงการอ่านค่าหลอดเลือดที่ถูกปั่น โดยเครื่องที่สร้างขึ้น	90
รูปที่ 7.13 แสดงรูปชิ้นงานจริงของวงจรส่วนควบคุมและขับมอเตอร์	91
รูปที่ 7.14 แสดงรูปภาพนอกของตัวเครื่อง	91
รูปที่ 7.15 หัวหน้าแผนกเวชศาสตร์ชั้นสูตตรและผู้จัดทำ	92



บทที่ 1

บทนำ

1.1 ความเป็นมาของโครงการ

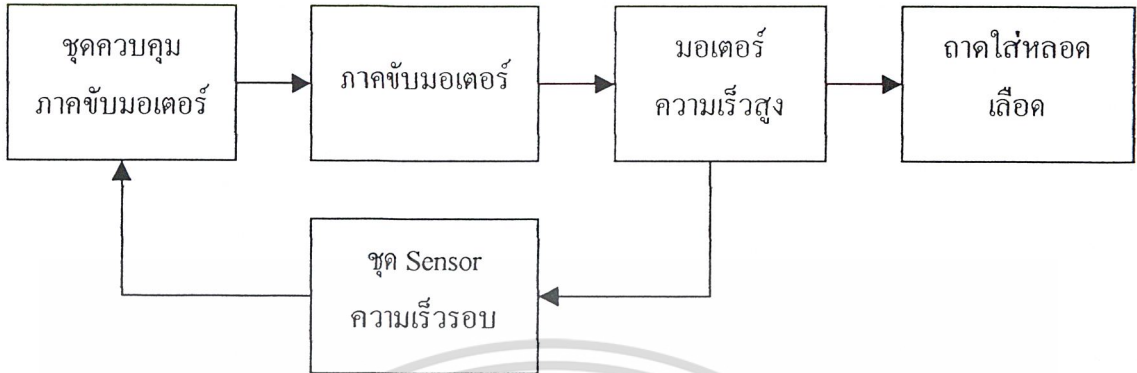
เครื่องปั่นแยกเม็ดเลือดออกจากพลาสมา เป็นเครื่องมือทางด้านวิทยาศาสตร์การแพทย์ที่จำเป็นในการตรวจวินิจฉัย มีราคาค่อนข้างสูง เพราะต้องนำเข้าจากต่างประเทศ ทำให้ต้องเสียงบประมาณเพิ่มขึ้นทั้งที่ตัวเครื่องนั้นก็ไม่ได้มีอะไรยุ่งยากมากนัก เพียงแต่ใช้การปั่นด้วยความเร็วสูงบวกกับเวลาที่เหมาะสมในการปั่นแต่ละครั้ง จากเหตุผลที่กล่าวมาทำให้ผู้จัดทำรู้สึกที่เราควรจะสามารถสร้างชิ้นใช้งานได้ จึงจัดทำโครงการนี้ขึ้น และมีความคิดอีกว่า ที่จะทำเครื่องปั่นแยกเม็ดเลือดออกจากพลาสมา ซึ่งใช้ความเร็วสูงรวมเป็นเครื่องเดียวกับเครื่องปั่นให้เลือดตกตะกอนและเป็นเครื่องปั่นยูรีนด้วย ซึ่งใช้ความเร็วต่ำกว่า จะทำให้สามารถประหยัดงบประมาณไปได้อีก เพราะถ้าโครงการนี้สำเร็จและมีความเที่ยงตรงสูงพอ เราก็สามารถนำมาใช้งานจริงได้ แล้วยังเป็นแนวทางในการสร้างเครื่องมือชนิดอื่น ๆ ได้อีกด้วย

จากการศึกษาตัวเครื่องที่ใช้งานในปัจจุบันยังเป็นระบบธรรมดาที่ยังไม่มีการนำเอาระบบไมโครคอนโทรลเลอร์รวมทั้งระบบคอมพิวเตอร์มาควบคุมการทำงาน ทำให้ผู้จัดทำโครงการนี้ได้วางแนวทางไว้ว่า ในช่วงแรกจะทำการควบคุมความเร็วของมอเตอร์ให้ได้ โดยใช้หลักการควบคุมด้วย PWM สามารถตั้งเวลาได้ตามต้องการ หลังจากนั้นก็จะทำการเชื่อมต่อกับไมโครคอนโทรลเลอร์ เพื่อควบคุมการทำงานทั้งความเร็วและเวลาพร้อมทั้งระบบเซ็นเซอร์ ต่าง ๆ อัตโนมัติ โดยจะแสดงผลออกทางจอแอลซีดี

1.2 โครงสร้างของโครงการ

เครื่องปั่นแยกเม็ดเลือดออกจากพลาสมา ใช้หลักการของแรงหนีศูนย์กลาง เมื่อวางหลอดบรรจุเลือดตามแนวรัศมีของจานกลมที่หมุนรอบจุดศูนย์กลาง เครื่องปั่นแยกเม็ดเลือดออกจากพลาสมาขนาดเล็กจะใช้มอเตอร์ความเร็วสูงเป็นต้นกำลัง ให้จานหมุนมีความเร็วคงที่ในช่วงเวลาที่กำหนด ซึ่งการควบคุมความเร็วนั้นจะใช้หลักการของ PWM มาช่วย โดยแรงดันอ้างอิงที่ใช้ในการควบคุมให้ภาค PWM ทำงานเพื่อจ่ายพัลส์ไปให้ภาคขับมอเตอร์ ได้จากการตั้งงานของไมโครคอนโทรลเลอร์ผ่านวงจรแปลงสัญญาณดิจิทัลเป็นอนาล็อกโดยใช้ IC เป็นตัวขยายพอร์ตและต่อร่วมกับวงจร DAC แบบ R-2R แลตเตอร์ ซึ่งขั้นตอนการทำงานทั้งหมดจะถูกควบคุมโดยไมโครคอนโทรลเลอร์ ซึ่งในโครงการนี้จะใช้เบอร์ AT89S8252 เนื่องจากมีคุณสมบัติในการใช้งานที่สะดวกในการเขียนข้อมูลลงในหน่วยความภายในตัว Chip IC ตามหลักการเบื้องต้นนี้ เครื่องปั่น

แยกเม็ดเลือดออกจากพลาสมาจะมีโครงสร้างพื้นฐานตามบล็อกไดอะแกรมรูปที่ 1.1 ประกอบขึ้นจากการคำนวณว่ากรณีใดๆ ทั้งสิ้น อีกทั้งห้ามมิให้ดัดแปลงเนื้อหา และต้องอ้างอิงถึงเจ้าของเอกสารทุกครั้งที่มีการนำไปใช้



รูปที่ 1.1 โครงสร้างของเครื่องปั่นแยกเมล็ดเลือดออกจากพลาสมา

1.3 โครงสร้างของรายงาน

ปริญญาโทฉบับนี้เป็นการศึกษาและทดลองตลอดปีการศึกษา เพื่อออกแบบสร้างเครื่องปั่นแยกเมล็ดเลือดออกจากพลาสมา ซึ่งเนื้อหานี้จะประกอบด้วยส่วนต่างๆ แยกเป็นบทๆ ไปดังนี้

บทที่ 1 บทนำ กล่าวถึงความเป็นมาและลักษณะของโครงการ

บทที่ 2 กล่าวถึง อุปกรณ์ที่ใช้ในการขับเคลื่อนภาคใต้โหลดเคลื่อนที่ความเร็วสูง

บทที่ 3 กล่าวถึง การออกแบบภาคขับมอเตอร์ โดยใช้ทรานซิสเตอร์กำลังเป็นตัวขับ

บทที่ 4 กล่าวถึง การสร้างวงจรควบคุมภาคขับมอเตอร์ โดยใช้หลักการ PWM

บทที่ 5 กล่าวถึง การใช้งานไมโครคอนโทรลเลอร์

บทที่ 6 กล่าวถึง ขั้นตอนการทำงานของโปรแกรม

บทที่ 7 กล่าวถึง การทดลองและผลที่ได้จากการทดลอง

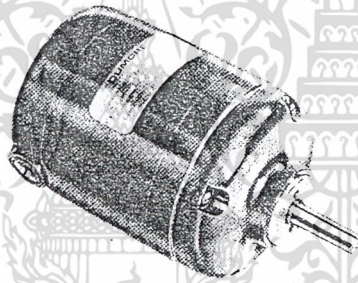
บทที่ 8 บทสรุปและวิจารณ์เกี่ยวกับการทดลองของโครงการนี้ทั้งหมด

บทที่ 2

อุปกรณ์ขับเคลื่อน

2.1 ยูนิเวอร์แซลมอเตอร์ (Universal Motor)

ยูนิเวอร์แซลมอเตอร์เป็นมอเตอร์ชนิดหนึ่ง ซึ่งสามารถนำไปใช้งานได้ทั้งไฟฟ้ากระแสตรงและไฟฟ้ากระแสสลับ (ชนิด 1 เฟส) ฉะนั้นบางแห่งก็เรียกว่ามอเตอร์ กระแสพันรู้ทางมอเตอร์ชนิดนี้จะมีขนาดตั้งแต่ $\frac{1}{200}$ กำลังม้าถึง $\frac{1}{3}$ กำลังม้า คุณสมบัติพิเศษของมอเตอร์ชนิดนี้ก็คือแรงเริ่มหมุนสูง (หมุนได้ตั้งแต่ 3000 รอบต่อวินาทีขึ้นไป) และยังสามารถลดความเร็วได้ ดังนั้นจึงมักนำไปสร้างเป็นเครื่องมือเครื่องใช้ภายในบ้าน เช่น เครื่องบดอาหารไฟฟ้า กรรไกรตัดผมไฟฟ้า มีดโกนหนวดไฟฟ้า เครื่องนวดไฟฟ้า บั๊มน้ำขนาดเล็ก ๆ ส่วนเกาะโลหะและหมุนจักรเย็บผ้า เป็นต้น ดูรูปที่ 2.1



รูปที่ 2.1 ลักษณะของยูนิเวอร์แซลมอเตอร์

2.1.1 ส่วนประกอบที่สำคัญของยูนิเวอร์แซลมอเตอร์มีดังนี้

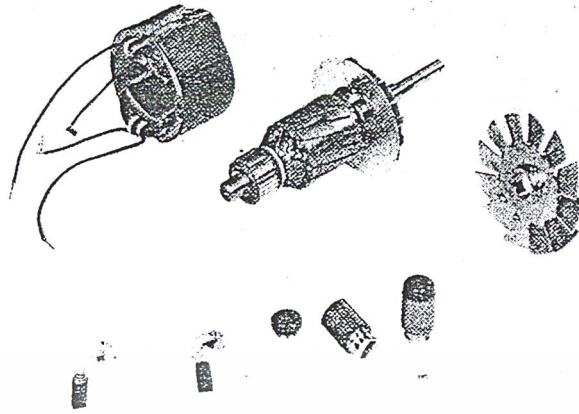
1. โครง (Frame)
2. ขั้วสนามแม่เหล็ก (Field Core)
3. อายมเจอร์ (Armature)
4. ฝาครอบ (End plate)
5. แปรงถ่าน (Brush)

โครง (Frame) สร้างด้วยเหล็กเหนียว (Steel) อลูมิเนียม (Aluminum) หรือเหล็กหล่อ (Cast Iron) ทำหน้าที่สำหรับยึดขั้วสนามแม่เหล็ก

ขั้วสนามแม่เหล็ก (Field Core) ประกอบด้วยเหล็กแผ่นบาง ๆ (Laminated Iron Core) แล้วนำมาทำให้เป็นปีกติดกันหมดและมักสร้างให้มี 2 ขั้ว เพื่อต้องการให้มีรอบหมุนเร็ว ดูรูปที่ 2.3

อายมเจอร์ (Armature) มีลักษณะคล้ายกันกับอายมเจอร์ขนาดเล็ก ๆ ของมอเตอร์ไฟฟ้า

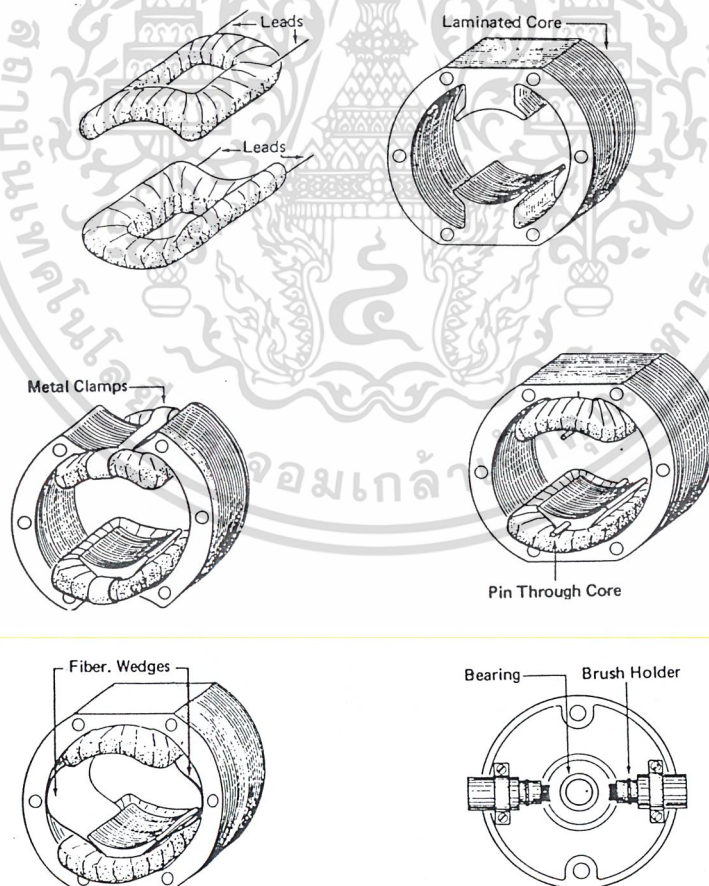
เอกสารนี้เป็นเอกสารที่จัดทำขึ้นไว้สำหรับการใช้งานเพื่อการศึกษาเท่านั้น ไม่อนุญาตให้นำไปใช้ประโยชน์ด้านการค้าไม่ว่ากรณีใดๆ ทั้งสิ้น อีกทั้งห้ามมิให้ดัดแปลงเนื้อหา และต้องอ้างอิงถึงเจ้าของเอกสารทุกครั้งที่มีการนำไปใช้



รูปที่ 2.2 ส่วนประกอบของยูนิเวอร์แซลมอเตอร์

ฝาครอบ (End plate) คือ ฝาครอบหัวท้ายของมอเตอร์ ดูรูปที่ 2.1

แปรงถ่าน (Brush) แปรงถ่านต้องพอดีกับช่องถ่านอย่าให้หลวมหรือแน่นจนเกินไป แปรงถ่านมีหน้าที่เป็นตัวนำกระแสไฟ ดูรูปที่ 2.2 และ 2.3

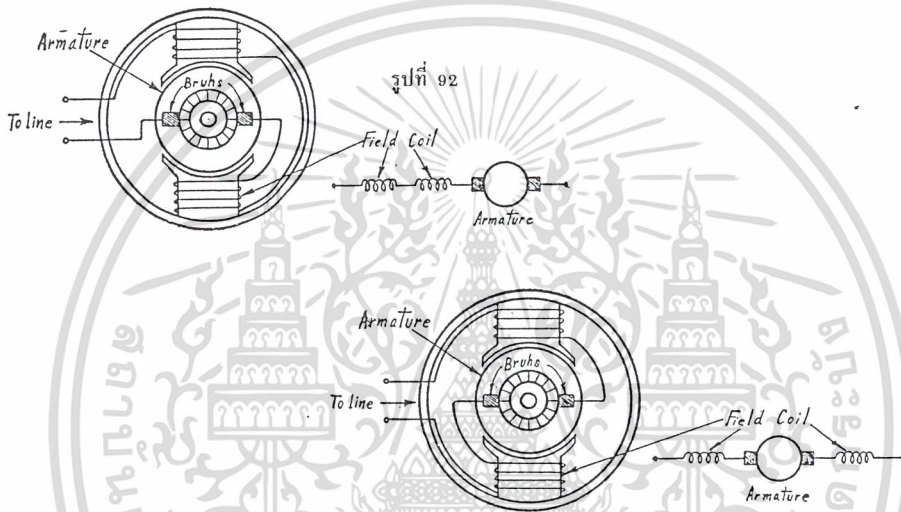


รูปที่ 2.3 โครงสร้างของยูนิเวอร์แซลมอเตอร์

เอกสารนี้เป็นเอกสารที่สงวนไว้สำหรับการใช้งานเพื่อการศึกษาเท่านั้น ไม่อนุญาตให้นำไปใช้ประโยชน์ด้านการค้า ไม่ว่าจะกรณีใดๆ ทั้งสิ้น อีกทั้งห้ามมิให้ดัดแปลงเนื้อหา และต้องอ้างอิงถึงเจ้าของเอกสารทุกครั้งที่มีการนำไปใช้

2.1.2 การทำงานของยูนิเวอร์แซลมอเตอร์

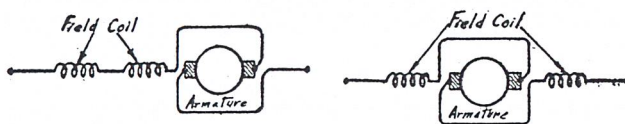
มอเตอร์แบบนี้มีอาร์เมเจอร์และขดลวดสนามแม่เหล็ก (Fieldcoil) ต่ออันดับกัน ดังนั้นเมื่อเราสับสวิทช์ กระแสก็จะไหลผ่านทั้งทางอาร์เมเจอร์ และขดลวดสนามแม่เหล็ก จึงทำให้เกิดแม่เหล็กไฟฟ้าขึ้นทั้ง 2 ส่วนคือทางอาร์เมเจอร์ และขดลวดสนามแม่เหล็กมาผลักรั้งกันและกัน อาร์เมเจอร์จึงเคลื่อนตัวหมุนไปได้ ดูรูปที่ 2.4



รูปที่ 2.4 การทำงานของยูนิเวอร์แซลมอเตอร์

2.1.3 การกลับทางหมุน

ให้เราปฏิบัติดังนี้ คือ ให้กลับที่ปลายขดลวดสนามแม่เหล็ก ที่จะต่อเข้ากับแปรงถ่านทั้ง 2 ข้างโดยไขว้กัน ดูรูปที่ 2.5



รูปที่ 2.5 การกลับทางหมุน

เอกสารนี้เป็นเอกสารที่สงวนไว้สำหรับการใช้งานเพื่อการศึกษาเท่านั้น ไม่อนุญาตให้นำไปใช้ประโยชน์ด้านการค้าไม่ว่ากรณีใดๆ ทั้งสิ้น อีกทั้งห้ามมิให้ดัดแปลงเนื้อหา และต้องอ้างอิงถึงเจ้าของเอกสารทุกครั้งที่มีการนำไปใช้

บทที่ 3

การออกแบบภาคขับเคลื่อนมอเตอร์

3.1 ทราานซิสเตอร์กำลัง

3.1.1 การเลือกใช้ทราานซิสเตอร์กำลัง

พารามิเตอร์พื้นฐานของทราานซิสเตอร์สำหรับการออกแบบ CONVERTER คือ

- 1) ความสามารถในการทนแรงดันขณะเปิดวงจร
- 2) ความสามารถในการทนกระแสขณะเปิดวงจร

พารามิเตอร์ทั้งสองจะขึ้นอยู่กับชนิดของ CONVERTER ด้วยอุปกรณ์ที่นิยมนำมาใช้เป็นสวิตช์อิเล็กทรอนิกส์นั้นได้แก่ ทราานซิสเตอร์ และมอสเฟต ซึ่งอุปกรณ์สวิตช์ทั้งสองชนิดนี้ต่างมีข้อดีและข้อเสียแตกต่างกัน ในปัจจุบันทราานซิสเตอร์จะมีราคาที่ถูกกว่ามอสเฟต ในขณะที่มอสเฟตนั้นมีการใช้งานที่ง่ายกว่าทราานซิสเตอร์ ทั้งนี้เนื่องจากการออกแบบวงจรขับเคลื่อนไม่มีความซับซ้อนมากเกินไปเมื่อเทียบกับวงจรขับเคลื่อนของทราานซิสเตอร์ และอีกสิ่งหนึ่งที่สำคัญมากก็คือการทำงานของทราานซิสเตอร์นั้นถูกจำกัดด้วยความถี่คัทออฟ (Cut off) ของตัวมันเอง (ประมาณ 500 kHz) แต่มอสเฟตกลับสามารถทำงานได้ด้วยความถี่สูง ๆ ถึง 200 kHz ที่เดียว และแน่นอนว่าการทำงานที่ความถี่สูง ๆ ขนาดของอุปกรณ์ต่าง ๆ ย่อมมีขนาดเล็กลง ซึ่งเป็นข้อดีในการลดขนาดของแหล่งจ่ายไฟตรงสวิตซ์ในตัว

3.1.2 คุณสมบัติของทราานซิสเตอร์กำลัง

ทราานซิสเตอร์เป็นอุปกรณ์ที่ต้องใช้กระแสในการขับเคลื่อนเพื่อควบคุมจำนวนการไหลของกระแสคอลเลกเตอร์ โดยจำนวนการไหลของกระแสจะขึ้นอยู่กับอัตราขยายกระแสของทราานซิสเตอร์ตามความสัมพันธ์

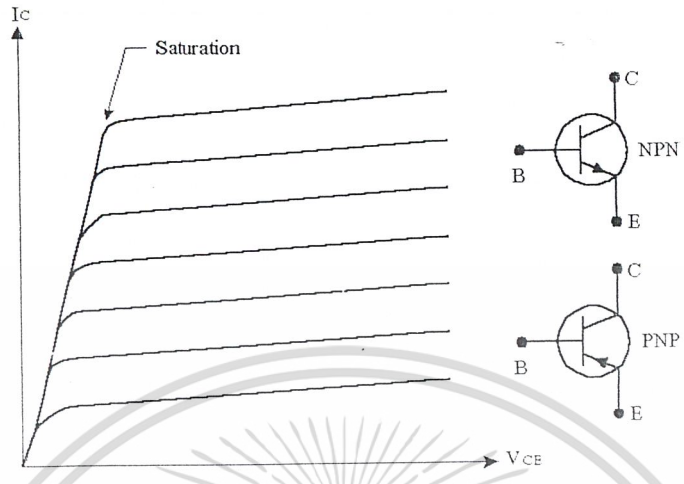
$$\beta = \frac{I_C}{I_B} \quad (3.1)$$

เมื่อ I_C คือ กระแสคอลเลกเตอร์, A

I_B คือ กระแสเบส, A

การทำงานของทราานซิสเตอร์จะแบ่งการทำงานเป็น 2 สถานะ

- 1) สถานะเชิงเส้น (Linear) มักใช้ในงานคำนวณขยาย
- 2) สถานะอิ่มตัว (Saturation) มักใช้ในงานเป็นสวิตช์ปิด - เปิดวงจร



รูปที่ 3.1 แสดงคุณสมบัติของทรานซิสเตอร์

ในรูปที่ 3.1 แสดงกราฟลักษณะสมบัติความสัมพันธ์ระหว่างแรงดัน และกระแสของ ทรานซิสเตอร์ จากกราฟแสดงถึงบริเวณอิ่มตัว ซึ่ง ณ ที่บริเวณนี้จะพบว่ากระแสเบสจำนวนหนึ่ง สามารถทำให้ทรานซิสเตอร์เปิดวงจร (นำกระแสเต็มที่) เกิดกระแสคอลเลกเตอร์จำนวนมากไหล ผ่านในขณะที่แรงดันตกคร่อมคอลเลกเตอร์กับอิมิตเตอร์มีค่าต่ำมาก

ในความเป็นจริงแล้วการนำทรานซิสเตอร์มาทำเป็นสวิตช์นั้นสามารถควบคุมได้ที่ขาเบส ของทรานซิสเตอร์ โดยใช้กระแสขาเบสเพื่อทำให้ทรานซิสเตอร์เปิดวงจร และถ้ากลับทิศทาง ของกระแสเบสก็จะทำให้ทรานซิสเตอร์เปิดวงจร

3.1.3 ค่าจำกัดความที่เกี่ยวข้องกับทรานซิสเตอร์ (โหลดชนิดความต้านทาน)

พิจารณารูป 3.2 เป็นรูปสัญลักษณ์แรงดันตกคร่อมระหว่างเบสกับอิมิตเตอร์ (V_{BE}) และคอล เลกเตอร์กับอิมิตเตอร์ (V_{CE}) ของทรานซิสเตอร์ NPN โดยควบคุมที่ I_B

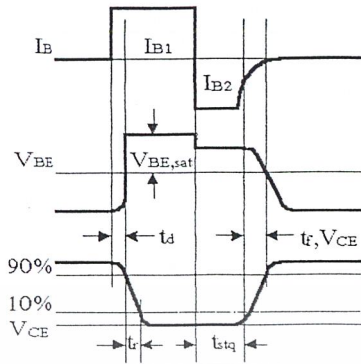
เวลาหน่วง (Delay Time, t_d) คือ ช่วงเวลาจากการจ่ายกระแสเบส I_{B1} ไปยังจุดที่ทำให้ V_{CE} ตกลงถึง 90% ของค่าแรงดันเริ่มต้น

เวลาขอบขาขึ้น (Rise Time, t_r) คือ ช่วงเวลาเมื่อ V_{CE} ตกลงถึง 10% ของค่าแรงดันเมื่อ 90%

เวลาสะสม (Storage Time, t_{sig}) คือ ช่วงเวลาเริ่มจากการกลับทิศทางของกระแส I_{B2} เป็น ผลทำให้ขนาดของแรงดัน V_{CE} เพิ่มขึ้น 10% ของค่าแรงดันครั้งสุดท้ายที่ OFF

เวลาขอบขาลง (Fall Time, t_{FVCE}) คือ ช่วงเวลาเมื่อแรงดัน V_{CE} ที่เพิ่มขึ้นตั้งแต่ 10% จนถึง 90%

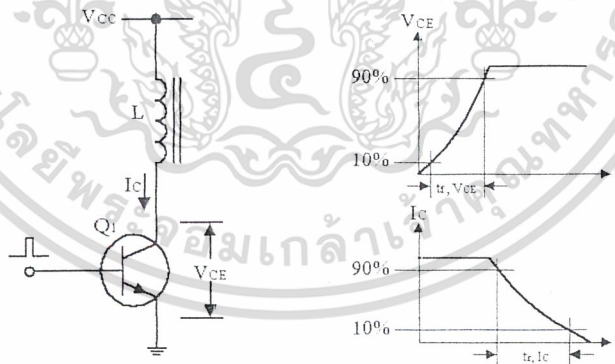
เอกสารนี้เป็นเอกสารที่สงวนไว้สำหรับการใช้งานเพื่อการศึกษาเท่านั้น ไม่อนุญาตให้นำไปใช้ประโยชน์ด้านการค้า ไม่ว่ากรณีใดๆ ทั้งสิ้น อีกทั้งห้ามมิให้ดัดแปลงเนื้อหา และต้องอ้างอิงถึงเจ้าของเอกสารทุกครั้งที่มีการนำไปใช้



รูปที่ 3.2 แสดงรูปคลื่นของทรานซิสเตอร์สวิตซ์

3.1.4 ความต้านทานขั้วโหลดความเหนี่ยวนำ (Inductive load)

จากที่กล่าวมาแล้วในเรื่องของค่าจำกัดความต่าง ๆ ของช่วงเวลาในการสวิตซ์ของทรานซิสเตอร์ในเทอมของแรงดัน V_{CE} เมื่อโหลดที่ใช้เป็นความต้านทาน อย่างไรก็ตาม เมื่อนำทรานซิสเตอร์ไปขับโหลดที่เป็นความเหนี่ยวนำ รูปสัญญาณที่ได้มันย่อมแตกต่างกัน เนื่องจากคุณสมบัติของความเหนี่ยวนำที่ถึงแม้จะจ่ายแรงดันให้กับความเหนี่ยวนำแล้วก็ตาม กระแสก็ยังไม่สามารถไหลได้ในทันทีทันใด ดังนั้นในช่วงที่ทรานซิสเตอร์เปิดวงจร เราจะพบว่าแรงดัน V_{CE} ของทรานซิสเตอร์จะมีค่าเท่ากับแรงดันแหล่งจ่ายก่อนที่จะกระแสลดลงดังรูป 3.3



รูปที่ 3.3 แสดงรูปคลื่นแรงดันกับกระแสของทรานซิสเตอร์เมื่อขับโหลดความเหนี่ยวนำ

3.1.5 วงจรป้องกันทรานซิสเตอร์อิมพัลส์

การอิมพัลส์และการเกิดช่วงเวลาสะสมจะมีผลทำให้ความเร็วในการสวิตซ์ของทรานซิสเตอร์ลดลง ดังนั้นวิธีหลีกเลี่ยงเหตุการณ์ดังกล่าวจึงมีการคิดค้นเทคนิคต่าง ๆ เพื่อเพิ่มประสิทธิภาพของแหล่งจ่ายไฟสวิตซ์นั่นเอง

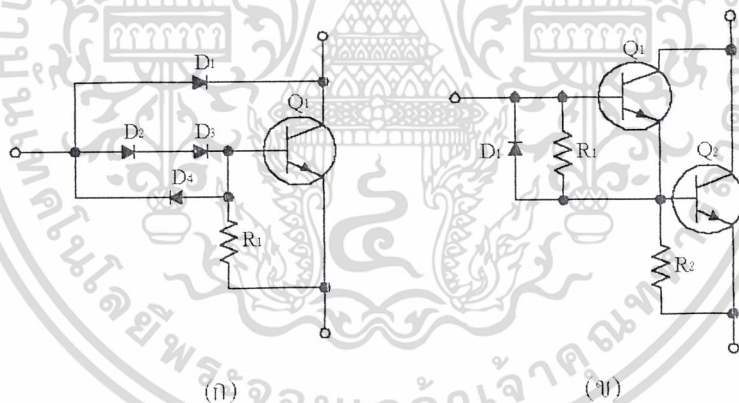
จากรูปที่ 3.4 (ก) แสดงการใช้ไดโอดป้องกันการอิมพัลส์ (ANTISATURATION DIODES)

หรืออีกบางตำราเรียกว่าไดโอด BAKER CLAMP เมื่อทรานซิสเตอร์เปิดวงจรจะเห็นว่าที่ขั้วเบสนั้นมีเอกสารฉบับนี้สงวนลิขสิทธิ์ไว้สำหรับใช้ในการแข่งขันเพื่อการศึกษาเท่านั้น เมื่อผู้ดูแลเนื้อหาไปเผยแพร่เนื้อหาการคำนวณว่ากรณีใดๆ ทั้งสิ้น อีกทั้งห้ามมิให้ตัดแปลงเนื้อหา และต้องอ้างอิงถึงเจ้าของเอกสารทุกครั้งที่มีการนำไปใช้

ไดโอด D_2, D_3 ต่ออนุกรมอยู่ สมมติทุกตัวมีแรงดันตกคร่อมเมื่อนำกระแสเท่ากับ 0.7 V ดังนั้นแรงดันที่ขาเบสจะต้องไม่ต่ำกว่าแรงดันอินพุต 1.4 V แต่เนื่องจากที่ขาคอลเลกเตอร์ของทรานซิสเตอร์นั้นยังมีไดโอด D_1 ต่ออยู่อีกหนึ่งตัวก็จะทำให้มีแรงดันตกคร่อมเมื่อนำกระแสอีก 0.7 V ทำให้แรงดันคอลเลกเตอร์ต้องไม่ต่ำกว่าแรงดันอินพุต 0.7 V ด้วย เพราะฉะนั้นแรงดันที่คอลเลกเตอร์จะต้องมีค่ามากกว่าแรงดันที่ขาเบสเท่ากับ $1.4 - 0.7 = 0.7\text{ V}$ ทำให้ทรานซิสเตอร์ทำงานในสภาวะที่ไม่มีโอกาสอิ่มตัวได้เลย

ไดโอดป้องกันการอิ่มตัวนี้ จำเป็นจะต้องใช้ชนิดที่มีความเร็วสูง เช่น ชนิด Fast recovery เนื่องจากความถี่ที่ใช้ในการสวิตช์นั้นมีความเร็วสูงตั้งแต่ 20 kHz ขึ้นไป ไดโอด D_2 และ D_3 ควรมีแรงดัน Reverse blocking rating ต่ำ ๆ แต่สำหรับไดโอด D_1 จะต้องมีค่าแรงดันไม่ต่ำกว่า $2 V_{CE}$ โดยทั่วไปใช้ประมาณ 800 V PIV

ส่วนไดโอด D_4 เป็นไดโอดประเภท “ Wrap - around ” มีหน้าที่ดึงกระแสเบสของทรานซิสเตอร์เปิดวงจร โดยเป็นตัวคายประจุของค่าเก็บประจุระหว่างเบสกับอิมิตเตอร์ ทำให้ช่วงเวลาสะสมลดลง



รูปที่ 3.4 วงจรป้องกันทรานซิสเตอร์อิ่มตัว

ก) ไดโอดป้องกันการอิ่มตัวของ Q_1

ข) การใช้วงจรคาร์ลิงตันป้องกัน Q_2 อิ่มตัว

สำหรับในรูป 3.4 (ข) แสดงการใช้เทคนิคของวงจรคาร์ลิงตัน (darlington) โดยมีหลักการทำงานคล้ายกับเทคนิคแรก ก็คือ ทรานซิสเตอร์ Q_1 จะเป็นตัวป้องกันมิให้ทรานซิสเตอร์ Q_2 เกิดการอิ่มตัว แต่มีข้อแม้คือ ทรานซิสเตอร์ Q_1 จะต้องเปิดวงจรก่อนทรานซิสเตอร์ Q_2 ไดโอด D_1 มีหน้าที่ลอคอิมพีแดนซ์ให้กับกระแสเบสย้อนกลับของ Q_2 เพื่อเปิดวงจร ตัวต้านทาน R_1 และ R_2 เป็นความต้านทานค่าต่ำ

เอกสารนี้เป็นเอกสารที่สงวนไว้สำหรับการใช้งานเพื่อการศึกษาเท่านั้น ไม่อนุญาตให้นำไปใช้ประโยชน์ด้านการค้าไม่ว่ากรณีใดๆ ทั้งสิ้น อีกทั้งห้ามมิให้ดัดแปลงเนื้อหา และต้องอ้างอิงถึงเจ้าของเอกสารทุกครั้งที่มีการนำไปใช้

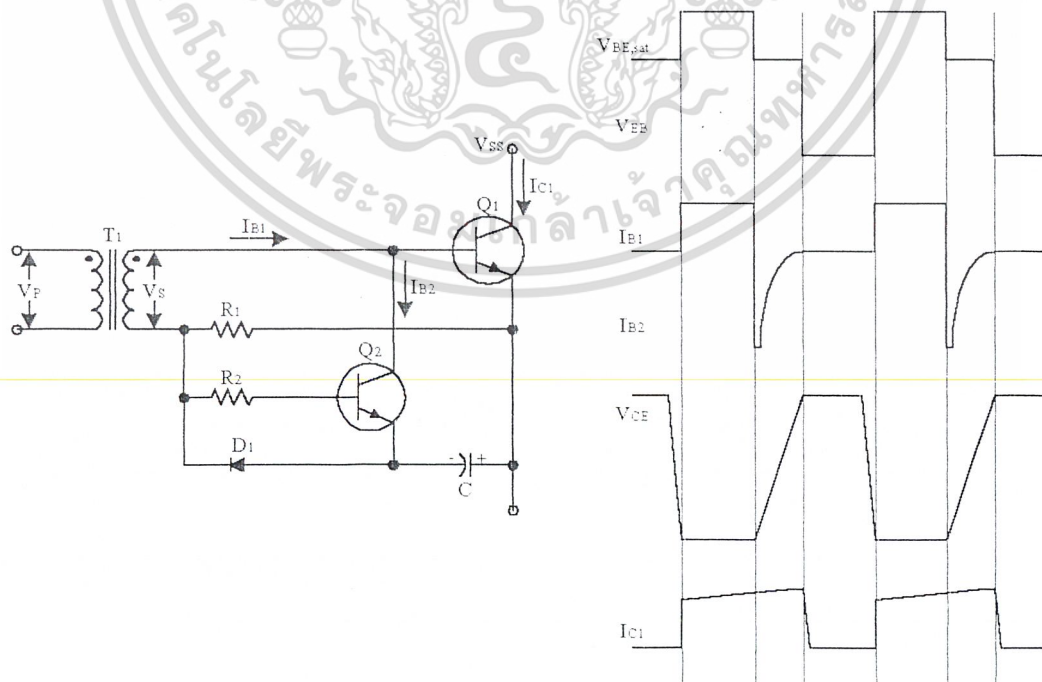
3.1.6 เทคนิคการขับเบสสำหรับทรานซิสเตอร์

วงจรขับกระแสคงที่ (Constant Drive Current Circuits)

จากที่ได้กล่าวมาแล้วในข้างต้น เกี่ยวกับข้อจำกัดต่าง ๆ ของการใช้ทรานซิสเตอร์เป็นสวิตช์ ทำให้พอที่จะทราบถึงวิธีการที่จะหลีกเลี่ยงมิให้เกิดการอิมิตัว โดยการควบคุมให้กระแส I_{E1} มีขนาดที่พอเพียงและลดช่วงเวลาสะสมให้น้อยที่สุด เพื่อเป็นการเพิ่มประสิทธิภาพการสวิตช์ และควบคุมกระแสย้อนกลับ I_{E2} ให้มีขนาดที่เพียงพอเช่นเดียวกัน

สังเกตพบว่าเมื่อกระแส I_{E2} มีค่าเพิ่มขึ้นจะส่งผลให้ช่วงเวลาสะสมและช่วงเวลาขาลงนั้นลดลง ทำให้แรงดัน V_{EB} เพิ่มขึ้นด้วย ปรากฏการณ์ลักษณะนี้จะทำให้พลังงาน reverse-bias secondary break down หรือ E_{SE} นั้นลดลงด้วย และสำหรับการออกแบบวงจรขับจะต้องคำนึงถึงเรื่องกระแสย้อนกลับเป็นพิเศษมิฉะนั้นจะเป็นอันตรายต่อทรานซิสเตอร์สวิตช์ได้ เมื่อทำงานในโหมด Secondary breakdown ในหัวข้อ 3.1.7 จะกล่าวถึงรายละเอียดของ Reverse-bias Secondary breakdown อีกครั้ง

ในทางปฏิบัตินั้นวงจรขับกระแสย้อนกลับควรมีความต้านทานแหล่งจ่าย (Source Impedance) ต่ำ เพื่อที่จะเพิ่ม I_{E2} และลด V_{EB} ในค่าต่ำซีท (Data Sheet) นั้นทางผู้ผลิตจะบอกค่าจำกัดของแรงดันไบแอสย้อนกลับระหว่างอิมิตเตอร์กับเบสได้ โดยในทางปฏิบัติจะใช้ V_{EB} ระหว่าง $-2V$ ถึง $-5V$



รูปที่ 3.5 วงจรขับเบสโดยใช้หม้อแปลงขับ Q_1 และรูปสัญญาณแรงดันและกระแสที่นำเสนอ เอกสารนี้เป็นเอกสารที่สงวนไว้สำหรับการใช้งานเพื่อการศึกษาเท่านั้น ไม่อนุญาตให้นำไปใช้ประโยชน์ด้านการค้า ไม่ว่ากรณีใดๆ ทั้งสิ้น อีกทั้งห้ามมิให้ดัดแปลงเนื้อหา และต้องอ้างอิงถึงเจ้าของเอกสารทุกครั้งที่มีการนำไปใช้

วงจรขับเบสที่นิยมใช้แสดงในรูป 3.5 โดยที่วงจรมีหลักการทำงานดังนี้ เมื่อช่วงบวกของแรงดันพัลส์ V_s ปรากฏที่หม้อแปลงด้านทุติยภูมิทำให้เกิดกระแสเบสตรง I_{B1} ไหลเข้าที่ขาเบสของทรานซิสเตอร์ Q_1 ทำให้ทรานซิสเตอร์ Q_1 ปิดวงจร ตัวต้านทาน R_1 เป็นตัวจำกัดกระแส ค่ากระแสนี้จะเป็นตัวกำหนดอัตราการขยาย ในทางปฏิบัติแล้วอัตราการขยายจะอยู่ระหว่าง 8 และ 10

ซึ่งการคำนวณหาค่ากระแสคอลเลคเตอร์หาได้จากกำลังเอาต์พุต และชนิดของ CONVERTER ที่ใช้และกระแสเบสหาได้จากสมการ 1

แรงดันเก็บประจุคกร่อมตัวเก็บประจุเท่ากับ

$$V_c = V_s - V_{BE} - V_D \quad (3.2)$$

เมื่อ V_s คือ แอมพลิจูดของแรงดันหม้อแปลงทุติยภูมิ

V_{BE} คือ แรงดันอิมิตัระหว่างเบสกับอิมิตเตอร์ของ Q_1

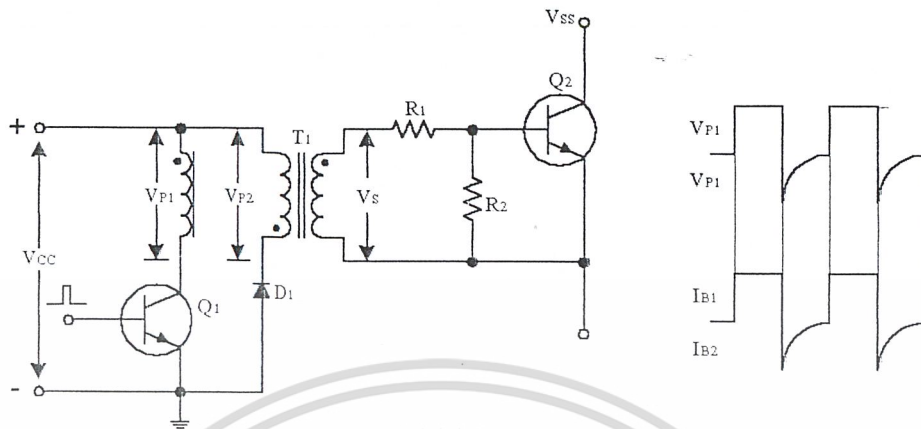
V_D คือ แรงดันไบแอสตรงของไดโอด D

ถ้าสมมติให้ $V_{BE} = V_D = 0.7$ ดังนั้นจากสมการ 4.2 จะได้

$$V_c = V_s - 0.7 \quad (3.3)$$

เมื่อแรงดันที่ขดปฐมภูมิเท่ากับศูนย์ ดังนั้นแรงดันที่คกร่อมขดทุติยภูมิ ก็ย่อมมีค่าเท่ากับศูนย์ด้วยเช่นกัน ซึ่งขณะนี้ตัวเก็บประจุ C นั้นมีการเก็บประจุจนเต็มที่ทำหน้าที่เป็นตัวไบแอสตรงกับเบสของทรานซิสเตอร์ Q_1 เป็นผลทำให้ทรานซิสเตอร์ Q_1 ปิดวงจร สังเกตว่าขณะที่ขาเบสของทรานซิสเตอร์ Q_1 จะมีศักย์แรงดันเป็นลบเกิดกระแสเบสย้อนกลับ I_{E2} (กระแสนี้เกิดจากขั้วของตัวเก็บประจุที่ต่อคร่อมระหว่างรอยต่อเบสกับอิมิตเตอร์) ทำให้ทรานซิสเตอร์ Q_1 เปิดวงจรในที่สุด โดยขนาดของกระแส I_{E2} นั้นขึ้นอยู่กับขนาดของตัวเก็บประจุ ความต้านทานของวงจร และคุณลักษณะสมบัติของทรานซิสเตอร์ Q_1 และ Q_2

อีกเทคนิคหนึ่งที่จะช่วยเพิ่มประสิทธิภาพของแหล่งจ่ายไฟตรงสวิตซ์ซึ่งแสดงดังรูป 3.6 ซึ่งจุดเด่นของวงจรนี้คือ ใช้อุปกรณ์น้อยชิ้น การทำงานของวงจรมีดังนี้ เมื่อทรานซิสเตอร์ Q_1 ปิดวงจร หม้อแปลงขับด้านปฐมภูมิจะต่อกับแรงดันของแหล่งจ่าย V_{CC} และสะสมพลังงานเกิดเป็นแรงดันพัลส์ปฐมภูมิ V_{P1} แรงดันพัลส์นี้จะถูกเหนี่ยวนำไปยังขดทุติยภูมิ (สังเกตหม้อแปลงมีขั้วของการพันขดปฐมภูมิตับขดทุติยภูมิที่เหมือนกัน) เกิดแรงดันพัลส์บวกที่ขดทุติยภูมิ V_s ขับให้ทรานซิสเตอร์ Q_2 นำกระแส



รูปที่ 3.6 วงจรขับโดยใช้หม้อแปลงเป็นตัวเชื่อมต่อ โดยสร้าง
การขับเบสย้อนกลับจากขดลวดคตติยภูมิ

ตัวต้านทาน R_1 เป็นตัวต้านทานจำกัดกระแสเบส ถูกออกแบบให้มีจุดประสงค์ เพื่อขับให้ I_{B1} มีขนาดพอที่จะทำให้ทรานซิสเตอร์ Q_2 เปิดวงจรโดยปราศจากการโอเวอร์ไดรฟ์ (Overdrive) และการอิ่มตัวจนเกินไป

สำหรับตัวต้านทาน R_2 เป็นตัวกำหนดกระแสรั่วไหลสำหรับรอยต่อระหว่างเบสกับอิมิตเตอร์ของทรานซิสเตอร์ Q_2 โดยในทางปฏิบัติจะเป็นตัวต้านทานค่าต่ำ ๆ ประมาณ 50Ω ถึง 100Ω

เมื่อทรานซิสเตอร์ Q_1 เปิดวงจร พลังงานที่เก็บสะสมในหม้อแปลงจะกลับมาเป็น V_{CC} โดยเกิดจากขดลวดคตติยภูมิ (Tertiary) และไดโอด D_1 (สังเกตว่าขั้วการพันของขดลวดคตติยภูมินี้จะตรงกันข้ามกับขดปฐมภูมิ) ทำให้แรงดันพัลส์ V_{P2} ที่ได้เกิดการเปลี่ยนแปลงชั่ว และเหนี่ยวนำเป็นพัลส์ลบปรากฏยังขดทุติยภูมิเป็นผลทำให้เกิดกระแสย้อนกลับ I_{B2} ตามต้องการเพื่อให้ทรานซิสเตอร์ Q_2 เปิดวงจรหยุดนำกระแสตนเอง

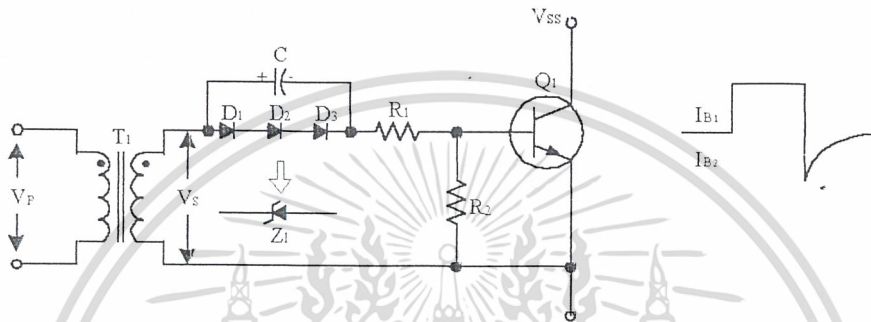
หัวใจของวงจรนี้ขึ้นอยู่กับกรออกแบบหม้อแปลง สัดส่วนการพันระหว่างขดปฐมภูมิกับขดทุติยภูมิจะต้องเลือกไม่ให้แรงดันที่ได้มากกว่าแรงดันของ V_{BE} และ V_{EB} โดยปกติแล้วขดปฐมภูมิและขดคตติยภูมิจะมีจำนวนรอบที่เท่ากัน

ในทางปฏิบัติแล้วในการพันขดลวดระหว่างขดปฐมภูมิกับขดคตติยภูมิจะต้องพันให้แน่นเพื่อหลีกเลี่ยงแรงดันสไปร์ก (Spikes) ที่เกิดจากค่าความเหนี่ยวนำรั่วไหล ทรานซิสเตอร์ Q_1 จะต้องให้แรงดันคอลเลกเตอร์ขณะเปิดวงจรมีค่าอย่างน้อยที่สุด $2 V_{CC}$

สำหรับวงจรในรูป 3.7 เป็นการพัฒนาจากวงจรที่ผ่านมามีการทำงานดังนี้คือ เมื่อแรงดันพัลส์ V_P เป็นบวกก็จะเหนี่ยวนำให้เกิดเป็นพัลส์ V_S ขับให้ทรานซิสเตอร์ Q_1 เปิดวงจรเกิดการเก็บ

ประจุที่ C โดยมีขั้วแรงดันดังรูป 3.7 แรงดันที่ตัวเก็บประจุขณะนี้จะมามีค่าประมาณ 2.1 V. โดยเกิดจากแรงดันตกคร่อมไดโอด D_1, D_2 และ D_3 ซึ่งไดโอดทั้งสามตัวนี้ทำหน้าที่เหมือนซีเนอร์ไดโอด

เมื่อแรงดันขดปฐมภูมิมีค่าเป็นศูนย์ แรงดันที่ขดทุติยภูมิจึงมีค่าเท่ากับศูนย์ด้วย ขณะนี้แรงดันประจุที่สะสมที่ตัวเก็บประจุ C ที่ต่อคร่อมระหว่างรอยต่อเบสกับอิมิตเตอร์มีค่ามากพอที่จะทำให้เกิดกระแสเบสย้อนกลับ I_{B2} ทำให้ทรานซิสเตอร์ Q_1 เปิดวงจร เพื่อลดเวลาสะสมที่เกิดขึ้น

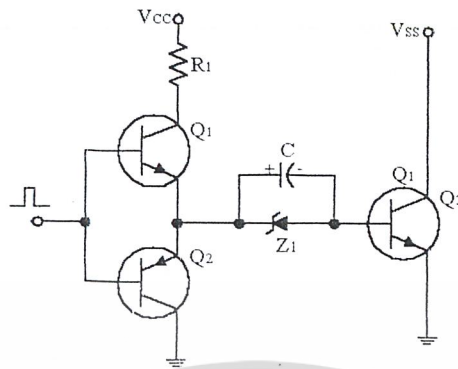


รูปที่ 3.7 แสดงวงจรขับเบสโดยใช้หม้อแปลงเป็นตัวแยกระบบทางไฟฟ้า และสร้างพัลส์ขับให้ทรานซิสเตอร์เปิดวงจร โดยใช้ตัวเก็บประจุสร้างแรงดันลบทำให้ทรานซิสเตอร์เปิดวงจร

จากวงจรในรูป 3.7 ทำให้พบว่าสามารถนำไปขับเบสของทรานซิสเตอร์กำลังได้โดยตรงดังรูป 3.8 ซึ่งทรานซิสเตอร์ Q_1 กับ Q_2 นั้นจะทำการสวิตช์ตรงกันข้ามสลับกัน สร้างแรงดัน V_{CC} กับกราวด์ให้กับเบสของทรานซิสเตอร์ Q_2 เป็นผลทำให้ทรานซิสเตอร์ Q_2 เปิดวงจร

เมื่อทรานซิสเตอร์ Q_1 ปิดวงจรทำให้ Q_2 ปิดวงจรด้วย ขณะเดียวกันนั้นตัวเก็บประจุ C ก็จะเก็บประจุโดยมีซีเนอร์ไดโอด Z_1 เป็นตัวจำกัดแรงดันประจุของ C ซึ่งในทางปฏิบัติแล้วจะให้แรงดัน V_Z เท่ากับ 4.3 V. และตัวต้านทาน R_1 จะเป็นตัวกำหนดกระแสเบสตรง I_{B1}

จนกระทั่งทรานซิสเตอร์ Q_1 เปิดวงจร และ Q_2 ปิดวงจร แรงดันประจุของตัวเก็บประจุ C ที่ต่อคร่อมระหว่างเบสกับอิมิตเตอร์ของทรานซิสเตอร์ Q_2 นั้นมีค่าเพียงพอที่จะทำให้เกิดกระแสเบสย้อนกลับ I_{B2} โดยที่ขนาดของกระแส I_{B2} นี้จะขึ้นอยู่กับอัตราขยาย (gain) ของทรานซิสเตอร์ Q_2 , ประจุของตัวเก็บประจุ C และความต้านทานของวงจร

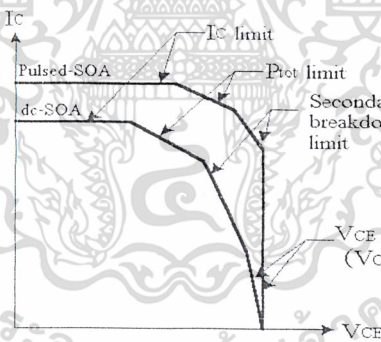


รูปที่ 3.8 วงจรขับเบสโดยใช้ตัวเก็บประจุเป็นตัวเชื่อมต่อโดยตรง

3.1.7 ปกติการัน Secondary Breakdown ของทรานซิสเตอร์

(1) Secondary Breakdown เมื่อป้อนไบแอสตรง

โดยปกติแล้วทางโรงงานหรือผู้ผลิตนั้นจะกำหนดกราฟในลักษณะของพื้นที่ทำงานที่ปลอดภัย (Safe Operating Area, SOA) ดังแสดงในกราฟความสัมพันธ์ระหว่างกระแส I_C กับแรงดัน V_{CE} ดังรูป 3.9



รูปที่ 3.9 แสดง SOA ของทรานซิสเตอร์

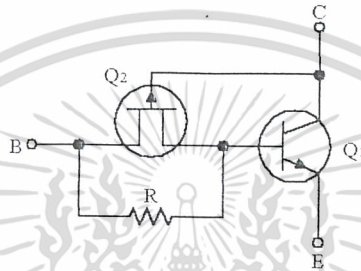
ซึ่งพื้นที่ในกราฟนั้นจะบอกให้ผู้ออกแบบทราบว่าขอบเขตในการทำงานที่ปลอดภัยของทรานซิสเตอร์มีข้อจำกัดสูงสุดในย่านใดบ้าง กราฟนี้จะให้พิจารณาเมื่อเส้น load-line ขณะได้รับไบแอสตรงอยู่ในพื้นที่ SOA จึงจะปลอดภัย

ปรากฏการณ์ Secondary Breakdown เมื่อป้อนไบแอสตรง จะเกิดเมื่อผู้ออกแบบกำหนดจุดการทำงานของทรานซิสเตอร์เกินนอกเหนือจากขอบเขตพื้นที่ SOA ทำให้ความร้อนที่ตัวทรานซิสเตอร์กำลังสูงขึ้น สัมประสิทธิ์อุณหภูมิ (Temperature coefficient) ของรอยต่อระหว่างเบสกับอิมิตเตอร์เป็นลบ ความร้อนจะเพิ่มขึ้น เมื่อมีกระแสไหลเพิ่มขึ้นก่อให้เกิดกำลังสูญเสียสูงขึ้นตามไปด้วยจนกระทั่งค่าสัมประสิทธิ์อุณหภูมิของแรงดันเบรคดาว์ระหว่างคอลเลคเตอร์กับอิมิตเตอร์

เอกสารนี้เป็นเอกสารที่สงวนไว้สำหรับการใช้งานเพื่อการศึกษาเท่านั้น ไม่อนุญาตให้นำไปใช้ประโยชน์ด้านการค้าไม่ว่ากรณีใดๆ ทั้งสิ้น อีกทั้งห้ามมิให้ดัดแปลงเนื้อหา และต้องอ้างอิงถึงเจ้าของเอกสารทุกครั้งที่มีการนำไปใช้

เป็นลบด้วย ถ้าปรากฏการณ์ดังกล่าวนี้ยังไม่มีการแก้ไขจะทำให้รอยต่อระหว่างคอลเลกเตอร์กับอิมิตเตอร์พังทลายส่งผลให้ทรานซิสเตอร์เสียหายได้ เนื่องจากความร้อนที่เพิ่มขึ้นอย่างไม่มีการจำกัด

จากผลเสียที่ได้ของปรากฏการณ์ Secondary breakdown เมื่อป้อนไบแอสตรงดังที่กล่าวมาแล้ว จึงทำให้มีผู้คิดค้นวิธีหากลักเลียงมิให้เกิดขึ้น เช่น โรงงาน National Semiconductor ได้ปรับปรุงขั้นตอนการผลิตทรานซิสเตอร์ให้สามารถทำงานที่ระดับกำลังงานและแรงดันคอลเลกเตอร์สูงสุดโดยไม่เกิดความเสียหาย ในรูปที่ 3.10 แสดงวงจรภายในของทรานซิสเตอร์ที่ถูกพัฒนาขึ้น



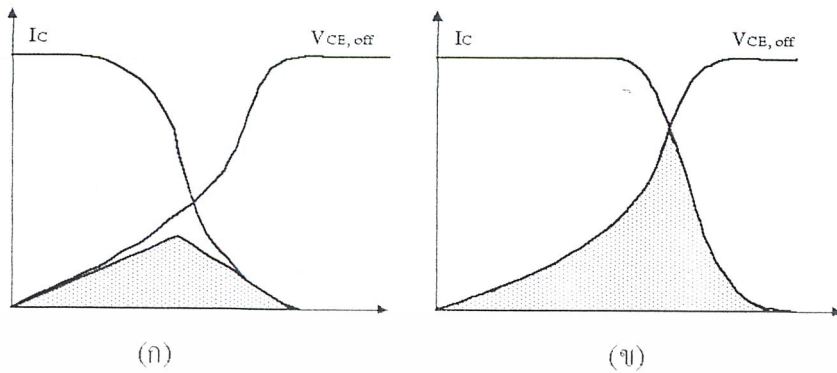
รูปที่ 3.10 การป้องกัน Secondary breakdown โดยการต่อ JFET อนุกรมกับเบสของทรานซิสเตอร์

เทคนิคในการแก้ไขนี้จะเพิ่ม JFET อนุกรมกับเบสของทรานซิสเตอร์กำลัง โดยที่ JFET จะทำหน้าที่เหมือนกับ ballast resistor ซึ่งค่าความต้านทานนี้จะเปลี่ยนแปลงตามแรงดันระหว่างคอลเลกเตอร์กับเบส ทำให้กำลังสูญเสียที่เกิดขึ้นคงที่ อุณหภูมิที่ตัวทรานซิสเตอร์จึงไม่สูงขึ้น

(2.) Secondary breakdown เมื่อป้อนไบแอสกลับ

จากที่ได้กล่าวมาแล้ว ในเรื่องช่วงเวลาสะสม และค่าสูญเสียเมื่อนำทรานซิสเตอร์กำลังไปใช้ในงานสวิตช์ซึ่งนั้น ถ้าหากช่วงเวลาสะสมมีค่ามากเกินไปจะทำให้หม้อแปลงเกิดการอิ่มตัว เป็นผลให้ขั้วการเรกกูเลตถูกจำกัดให้แคบลง

สำหรับค่าสูญเสียในการสวิตช์ย่อมจะส่งผลโดยตรงกับประสิทธิภาพของแหล่งจ่าย ทำให้ผู้ออกแบบที่ต้องการแหล่งจ่ายประสิทธิภาพสูง ต้องคำนึงถึงค่าพารามิเตอร์ทั้งสองด้วย



รูปที่ 3.11 แสดงกราฟความสัมพันธ์ของ I_c และ V_{CE} ของทรานซิสเตอร์

ก) เมื่อโหลดแบบความต้านทาน

ข) เมื่อโหลดแบบความเหนี่ยวนำ

ในรูปที่ 3.11 แสดงลักษณะสมบัติของทรานซิสเตอร์กำลังที่แรงดันสูงขณะเปิดวงจรเมื่อใช้กับโหลดความต้านทาน และโหลดความเหนี่ยวนำ สังเกตพบว่าเมื่อโหลดที่ใช้เป็นโหลดความเหนี่ยวนำจะทำให้เกิดพลังงาน (Energy) สูงกว่า เมื่อเทียบกับโหลดความต้านทาน (พิจารณาพื้นที่แรเงา แสดงถึงพลังงานที่เกิดขึ้นนั่นเอง) ซึ่งพลังงานที่เกิดขึ้นนี้จะเป็นสาเหตุทำให้เกิดปรากฏการณ์ Secondary breakdown ได้

กำลังงานขณะเกิด Secondary breakdown เมื่อป้อนไบแอสกลับ (E_{SB}) สามารถคำนวณได้จากสมการ

$$E_{SB} = \frac{1}{2} L_{eff} I_c^2 \quad (3.4)$$

เมื่อ

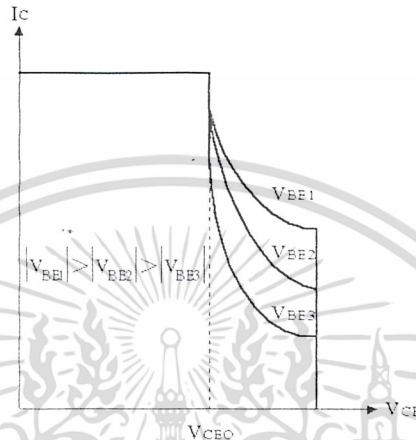
$$L_{eff} = \frac{V_{CEX}}{V_{CEX} - V_{CC}} \quad (3.5)$$

โดยที่ E_{SB} มีหน่วยเป็นจูล (Joule) ซึ่งในการทดสอบทรานซิสเตอร์จะปลดคาเบสออกหรือเพิ่มความต้านทานขาเบสให้สูงๆ และกำหนดให้ทรานซิสเตอร์ทำงานใกล้กับแรงดัน break-down, V_{CEX} เพื่อหาความสัมพันธ์ของพารามิเตอร์ E_{SB} (E_{SB} จะมีย่านกว้างมากระหว่างมิลลิจูลถึงจูล)

พื้นที่ทำงานที่ปลอดภัยเมื่อป้อนไบแอสกลับ (Reverse-Bias Safe Operating Area RBSOA) แสดงในรูป 3.12 คล้ายกับที่ได้กล่าวมาแล้วในกรณีของกราฟ SOA สำหรับกราฟของ RBSOA แสดงเมื่อแรงดัน V_{CE} ต่ำกว่าแรงดัน V_{CEO} เป็นพื้นที่ที่ปลอดภัยจากแรงดันไบแอสกลับ V_{EB} แต่ก็ยังถูกจำกัดด้วยอัตราทนกระแสคอลเลกเตอร์ I_c ของตัวทรานซิสเตอร์เอง เมื่อใดที่แรงดัน V_{CE} มีค่าสูงเกินกว่าแรงดัน V_{CEO} พบว่ากระแสคอลเลกเตอร์จะลดลงอย่างสัมพันธ์กับแรงดันไบแอสกลับที่ป้อนเข้าไป

เอกสารนี้เป็นเอกสารที่สงวนไว้สำหรับการใช้งานเพื่อการศึกษาเท่านั้น ไม่อนุญาตให้นำไปใช้ประโยชน์ด้านการค้า ไม่ว่ากรณีใดๆ ทั้งสิ้น อีกทั้งห้ามมิให้ดัดแปลงเนื้อหา และต้องอ้างอิงถึงเจ้าของเอกสารทุกครั้งที่มีการนำไปใช้

ดังนั้นจึงเป็นเหตุผลว่าแรงดันไบแอสกลับ V_{EB} ที่มีค่าสูง ๆ จะเป็นสาเหตุให้เกิดการพังทลายของรอยต่อระหว่างเบสกับอิมิตเตอร์ขณะเปิดวงจร ผู้ออกแบบมักจะใช้ไดโอด หรือวงจร snubber เป็นตัวป้องกันปรากฏการณ์ดังกล่าว

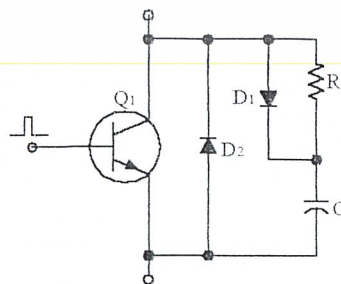


รูปที่ 3.12 พื้นที่ทำงานที่ปลอดภัยเมื่อป้อนไบแอสกลับ RBSOA

ย้อนกลับมาพิจารณาวงจรขับเบสอีกครั้ง โดยปกติแล้วกระแสเบสย้อนกลับ I_{B2} นั้นถ้ายังมีค่ามากเท่าใด ก็จะทำให้ช่วงเวลาเสถียรน้อยลงเท่านั้น แต่การที่ทำให้เกิดกระแสย้อนกลับมีค่ามาก ๆ นั้น ข้อมส่งผลอันตรายโดยตรงกับทรานซิสเตอร์ โดยเฉพาะการพังทลายของรอยต่อระหว่างเบสกับอิมิตเตอร์ได้ ในทางปฏิบัติแล้วมีวิธีป้องกันมิให้เกิดปรากฏการณ์เช่นนี้ได้โดย

- 1) ใช้ค่าแรงดัน V_{CE} ต่ำ ๆ ขณะที่ทรานซิสเตอร์เปิดวงจร
- 2) ลดกระแสคอลเลกเตอร์ ขณะที่แรงดันคอลเลกเตอร์เพิ่มขึ้น โดยทั่วไปแล้วมักนิยมใช้

วิธีที่ 2 เป็นวิธีป้องกันมากกว่าเพราะสามารถออกแบบวงจรป้องกันได้โดยไม่ยุ่งยากนัก ซึ่งวงจรในการแก้ปัญหานี้ก็คือวงจร snubber ดังแสดงในรูป 3.13



รูปที่ 3.13 วงจร snubber ต่อคร่อมทรานซิสเตอร์สวิชิ่ง

เอกสารนี้เป็นเอกสารที่สงวนไว้สำหรับการใช้งานเพื่อการศึกษาเท่านั้น ไม่อนุญาตให้นำไปใช้ประโยชน์ด้านการค้าไม่ว่ากรณีใดๆ ทั้งสิ้น อีกทั้งห้ามมิให้ดัดแปลงเนื้อหา และต้องอ้างอิงถึงเจ้าของเอกสารทุกครั้งที่มีการนำไปใช้

จากรูปที่ 3.13 แสดงการใช้วงจร RC สนับเบอร์เพื่อป้องกันทรานซิสเตอร์สวิตซ์ซึ่งเสียหายเมื่อเปิดวงจร การทำงานมีดังนี้ เมื่อทรานซิสเตอร์ Q_1 เปิดวงจรตัวเก็บประจุ C จะเก็บประจุผ่านไดโอด D_1 ค่าแรงดันที่ตัวเก็บประจุ C เท่ากับ $V_{CC} - V_D$

เมื่อทรานซิสเตอร์ Q_1 ปิดวงจรตัวเก็บประจุ C จะคายประจุผ่านตัวต้านทาน R ทำให้พลังงานสูญเสียในรูปของความร้อนจึงเกิดขึ้นที่วงจรสับเบอร์แทนทรานซิสเตอร์สวิตซ์ซึ่งทำให้ทรานซิสเตอร์ปลอดภัยจากความเสียหายได้

ในการออกแบบวงจรสับเบอร์ทางปฏิบัตินั้นจะใช้รูป 3.11 (ข) เป็นรูปร่างอิงสมการของพลังงานที่เกิดขึ้นระหว่างที่ทรานซิสเตอร์เปิดวงจรสามารถเขียนได้ดังนี้

$$E = \frac{CV_{CE}^2}{2} = \frac{I_C V_{CE} (t_r + t_f)}{V_{CE}} \quad (3.6)$$

เมื่อ I_C คือ กระแสคอลเลกเตอร์ I_C สูงสุด, A
 V_{CE} คือ แรงดันระหว่างคอลเลกเตอร์กับอีมิเตอร์สูงสุด, V
 t_r คือ เวลาขอบขาขึ้น, μS
 t_f คือ เวลาขอบขาลง, μS

แก้สมการ 4.7 เพื่อหาค่าตัวเก็บประจุ C จะได้

$$C = \frac{I_C (t_r + t_f)}{V_{CE}} \quad (3.7)$$

เนื่องจากตัวเก็บประจุ C จะเก็บประจุ ขณะที่ทรานซิสเตอร์เปิดวงจร และคายประจุผ่านตัวต้านทาน R ขณะช่วงเวลาทรานซิสเตอร์ปิดวงจร (t_{on}) แรงดันตกคร่อมตัวเก็บประจุเขียนได้ดังนี้

$$V = V_{CE} \cdot \exp\left(-\frac{t_{on}}{RC}\right) \quad (3.8)$$

ในทฤษฎีจะถือว่าเมื่อตัวเก็บประจุได้เก็บประจุจนเต็มทีนั้นจะมีแรงดันใกล้เคียงกับแรงดัน V_{CE} ดังนั้นจึงต้องเลือกค่า $-\left(\frac{t_{on}}{RC}\right)$ มีค่าเข้าใกล้ 1 ซึ่งมักจะเลือกค่า RC โดยให้ตัวเก็บประจุสามารถคายประจุ ณ ช่วงเวลาสิ้นสุดของการปิดวงจร (t_{on})

จากในการแก้ปัญหาวงจร ไฟฟ้าเบื้องต้น เราทราบว่าสามารถแทนช่วงเวลาคงที่ 5τ สำหรับตัวเก็บประจุใช้ในการคายประจุจนหมดผ่านตัวต้านทานโดย $\tau = RC$ สมมติว่าในกรณีนี้ตัวเก็บประจุจะเริ่มคายประจุ เมื่อสิ้นสุด 3τ

ดังนั้นค่าความต้านทานสูงสุดที่ใช้ในการคายประจุหาได้จาก

เอกสารนี้เป็นเอกสารที่สงวนไว้สำหรับ $R \geq \frac{t_{on}}{3C}$ เพื่อการศึกษาเท่านั้น ไม่อนุญาตให้นำไปใช้ (3.9) ขนด้านการค้าไม่ว่ากรณีใดๆ ทั้งสิ้น อีกทั้งห้ามมิให้ดัดแปลงเนื้อหา และต้องอ้างอิงถึงเจ้าของเอกสารทุกครั้งที่มีการนำไปใช้

ค่าความต้านทาน R ที่คำนวณได้จากสมการ 9 สามารถนำมาหากระแสขณะคายประจุผ่านทรานซิสเตอร์ขณะปิดวงจร โดยจำกัดค่ามิให้เกิน 25 เปอร์เซ็นต์ของกระแสคอลเลกเตอร์ $0.25 I_{CC}$ โดยหาจากสมการ

$$I_{dis} = \frac{V_{CE}}{R} \quad (3.10)$$

ถ้าค่าความต้านทานที่คำนวณได้มีค่าต่ำเกินไป ทำให้กระแส I_{dis} มีค่าสูงกว่า $0.25 I_C$ ดังนั้นค่าความต้านทาน R จะต้องเลือกอีกครั้ง เพื่อให้เหมาะสมตรงกับเงื่อนไข

ขั้นตอนต่อไปเป็นการคำนวณหากำลังไฟฟ้าของตัวต้านทาน

$$P_R = \frac{1}{2} C V_{CE}^2 f \quad (3.11)$$

เมื่อ f คือ ความถี่ที่ใช้งานของ CONVERTER, kHz

3.2 วงจรควบคุมแรงดันไฟฟ้าดีซี

เนื่องจากสวิตช์ที่ใส่ทรานซิสเตอร์ สามารถทำการเปิดกระแสและทำการปิดกระแสได้ทั้งสองอย่าง จึงสามารถนำไปใช้ควบคุมแรงดันไฟฟ้าดีซีได้ด้วยการเปิดปิดสวิตช์ซ้ำ ๆ กันเป็นจังหวะที่เหมาะสม แรงเคลื่อนไฟฟ้าดีซีที่ส่งไปยังภาระจะขาดออกเป็นห้วง ๆ ดังแสดงในรูปที่ 3.14 ซึ่งเราสามารถควบคุมค่าเฉลี่ยของแรงดันเฉลี่ยวงจรให้สูงหรือต่ำลงด้วยการควบคุมเวลาเปิด ($= t_{on}$), เวลาเปิด ($= t_{off}$) หรือคาบของเวลาเปิดเปิด ($T = t_{on} + t_{off}$) ให้แปรค่าต่าง ๆ เป็นจังหวะซึ่งสามารถเขียนเป็นสมการได้ดังนี้

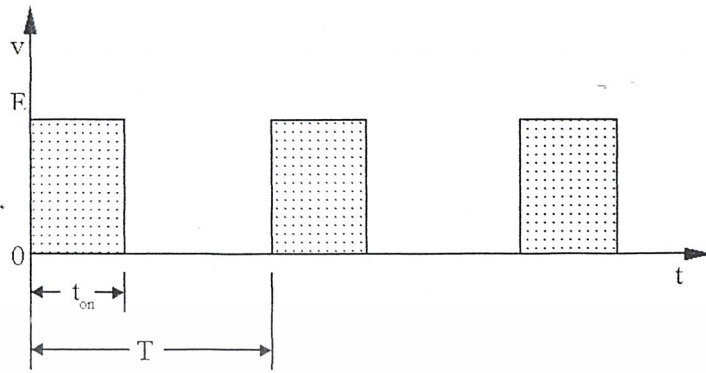
$$V(t) = \begin{cases} E & \text{เมื่อ } t = t_{on} \\ 0 & \text{เมื่อ } t = t_{off} \end{cases} \quad (3.12)$$

เมื่อกระจายออกเป็นอนุกรม Fourier เราจะได้ค่าสัมประสิทธิ์

$$a_0 = \frac{1}{T/2} \int_0^T E dt = 2 \frac{t_{on}}{T} E \quad (3.13)$$

$$\begin{aligned} a_n &= \frac{1}{T/2} \int_0^T E \cos\left(\frac{n\pi t}{T/2}\right) dt = \frac{2E}{T} \left[\int_0^{t_{on}} \cos \frac{2n\pi t}{T} dt + \int_{t_{on}}^T (0) \cdot \cos \frac{2n\pi t}{T} dt \right] \\ &= \frac{E}{n\pi} \sin \frac{2n\pi t_{on}}{T}, \quad n = 1, 2, 3, \dots \end{aligned} \quad (3.14)$$

เอกสารนี้เป็นเอกสารที่สงวนไว้สำหรับการใช้งานเพื่อการศึกษาเท่านั้น ไม่อนุญาตให้นำไปใช้ประโยชน์ด้านการค้าไม่ว่ากรณีใดๆ ทั้งสิ้น อีกทั้งห้ามมิให้ดัดแปลงเนื้อหา และต้องอ้างอิงถึงเจ้าของเอกสารทุกครั้งที่มีการนำไปใช้



รูปที่ 3.14 รูปคลื่นแรงดันที่ได้จากการเปิดไฟฟ้าดีซีเป็นจังหวะหรือของวงจรสับไฟฟ้า

และ

$$b_n = \frac{1}{T/2} \int_0^T E \sin\left(\frac{n\pi t}{T/2}\right) dt = \frac{2E}{T} \left[\int_0^{t_{on}} \sin\left(\frac{2n\pi t}{T}\right) dt + \int_{t_{on}}^T (0) \cdot \sin\left(\frac{2n\pi t}{T}\right) dt \right]$$

$$= \frac{E}{n\pi} \left(1 - \cos\left(\frac{2n\pi t_{on}}{T}\right)\right), \quad n = 1, 2, 3, \dots \quad (3.15)$$

ทำให้เราได้อนุกรม Fourier ดังนี้

$$V(t) = E \left[\frac{t_{on}}{T} + \frac{1}{\pi} \sum_{n=1}^{\infty} \frac{1}{n} \left\{ \left(\sin\left(\frac{2n\pi t_{on}}{T}\right)\right) \left(\cos\left(\frac{2n\pi t}{T}\right)\right) + \left(1 - \cos\left(\frac{2n\pi t_{on}}{T}\right)\right) \left(\sin\left(\frac{2n\pi t}{T}\right)\right) \right\} \right] \quad (3.16)$$

ซึ่งเราสามารถคำนวณหาค่าแรงดันเฉลี่ยได้ดังนี้

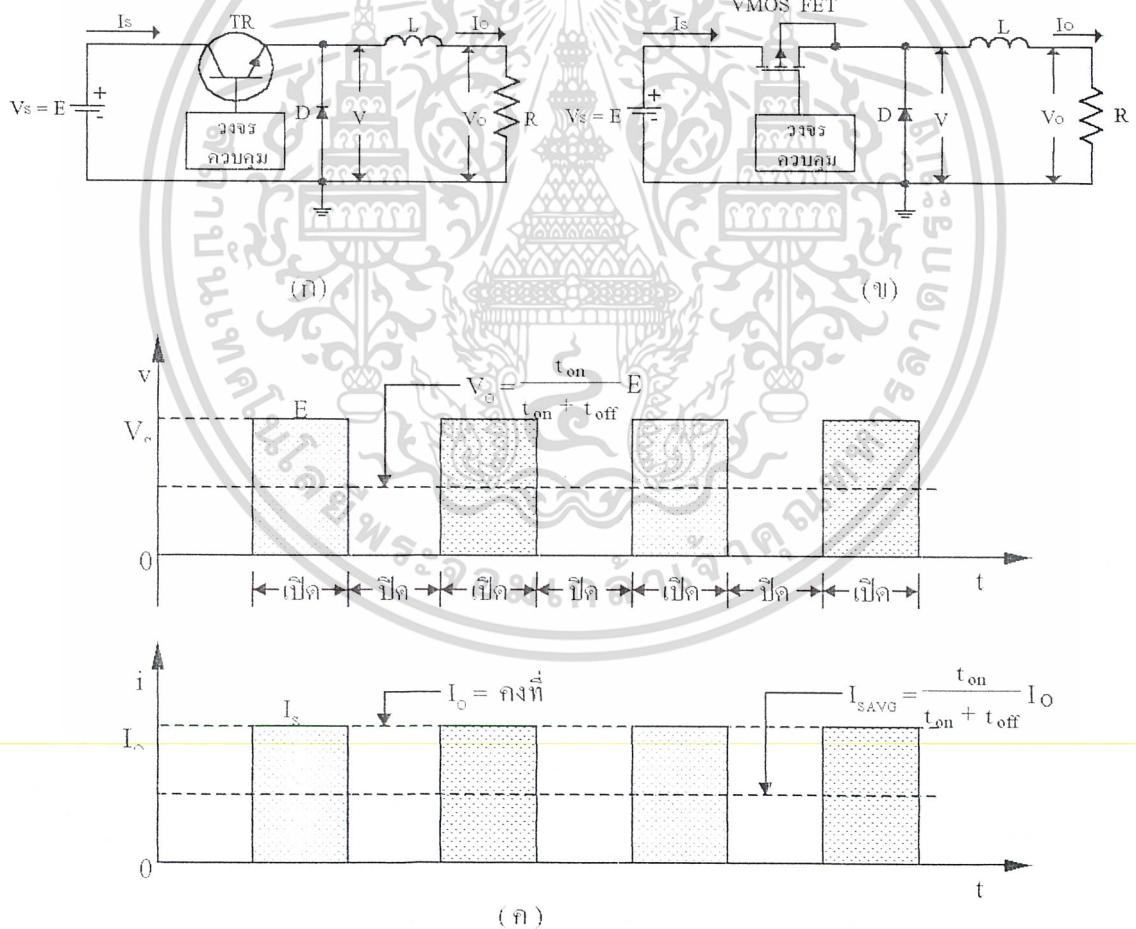
$$V_{VAG} = \frac{t_{on}}{T} E = \frac{t_{on}}{t_{on} + t_{off}} E \quad (3.17)$$

วงจรที่จะสามารถให้แรงดันขนาดตอนเป็นห้วง ๆ ที่สามารถเปลี่ยนค่าแรงดันเฉลี่ยได้ดังรูปคลื่นที่แสดงในรูปที่ 3.15 นี้ เป็นวงจรที่เรียกว่า “วงจรสับไฟฟ้า” (chopper) ซึ่งทำขึ้นได้หลายแบบ วงจรแบบที่นิยมใช้ในปัจจุบันเป็นวงจรที่ใช้ไครสโตร์เป็นส่วนประกอบสำคัญ แต่ในหัวข้อนี้จะกล่าวถึงวงจรแบบที่ใช้ทรานซิสเตอร์กำลังแบบไบโพลาร์และเฟทกำลังชนิดวีโมสเป็นส่วนประกอบสำคัญ

3.2.1 ชนิดของวงจรสับไฟฟ้า แบ่งเป็น 2 ชนิด คือ

1. วงจรสับไฟฟ้าลดค่าลง (step-down chopper)

โดยการนำเอาทรานซิสเตอร์กำลังแบบไบโพลาร์หรือเฟตกำลังชนิดวีโมสเชื่อมต่อในวงจรเป็นอนุกรมกึ่งกลางระหว่างแหล่งจ่ายไฟฟ้ากับภาระดังกล่าวในรูปที่ 3.15 (ก) และ (ข) ตามลำดับ ซึ่งเมื่อทรานซิสเตอร์กำลังหรือเฟตกำลังทำงานปิดเปิดกระแสจะทำให้ได้แรงดันและกระแสมีรูปคลื่นดังแสดงในรูปที่ 3.15 (ค) การปรับเปลี่ยนแรงดันเฉลี่ยทำได้ด้วยการควบคุมวงจรมสของทรานซิสเตอร์กำลังหรือวงจรมสของเฟตกำลังให้ทำงานปิดเปิดวงจรเป็นจังหวะโดยการแปรเวลาปิด เวลาเปิด หรือทั้งคู่ แรงดันเฉลี่ยที่ได้รับจะมีค่าต่ำกว่าค่าแรงดันเฉลี่ยวงจรเสมอ จึงเรียกวงจรนี้ว่า “วงจรสับไฟฟ้าลดค่าลง”



รูปที่ 3.15 (ก) วงจรสับไฟฟ้าลดค่าลงโดยใช้ทรานซิสเตอร์กำลังแบบไบโพลาร์

(ข) วงจรสับไฟฟ้าลดค่าลงโดยใช้เฟตกำลังชนิดวีโมส

(ค) รูปคลื่นแรงดันและกระแสของ (ก) และ (ข)

เอกสารนี้เป็นเอกสารที่สงวนไว้สำหรับการใช้งานเพื่อการศึกษาเท่านั้น ไม่อนุญาตให้นำไปใช้ประโยชน์ด้านการค้า ไม่ว่าจะกรณีใดๆ ทั้งสิ้น อีกทั้งห้ามมิให้ดัดแปลงเนื้อหา และต้องอ้างอิงถึงเจ้าของเอกสารทุกครั้งที่มีการนำไปใช้

ในรูปที่ 3.15 (ก) และ (ข) ตัวเหนี่ยวนำ L ทำหน้าที่จัดรูปคลื่นแรงเอาท์พุทให้ราบเรียบลง ฟรีวีลลิ่งไดโอด D ทำหน้าที่เป็นเส้นทางให้กระแสภาระไหลในระหว่างที่ทรานซิสเตอร์กำลังแบบไบโพลาร์หรือเฟทกำลังชนิดวิมอสปิดกระแส ถึงแม้ว่า วงจรนี้จะทำให้แรงดันเฉลี่ยลดค่าลง แต่แหล่งจ่ายไฟฟ้าจะจ่ายกระแส I_S ที่มียอดสูงสุดที่ค่าเท่ากับกระแส I_O ดังนั้นกระแสเฉลี่ยจากแหล่งจ่ายไฟฟ้า I_{SAVG} จะมีค่าน้อยกว่ากระแสภาระซึ่งมีความสัมพันธ์ดังสมการที่ (3.18)

$$I_{SAVG} = \frac{t_{on}}{t_{on} + t_{off}} I_O \tag{3.18}$$

โดยที่กระแสภาระ I_O มีค่าคงที่ เมื่อเราแปรเวลาปิด เวลาเปิด หรือทั้งคู่ จะทำให้เราสามารถปรับค่ากระแสเฉลี่ยให้สูงขึ้นขณะที่แรงดันเฉลี่ยลดค่าลง

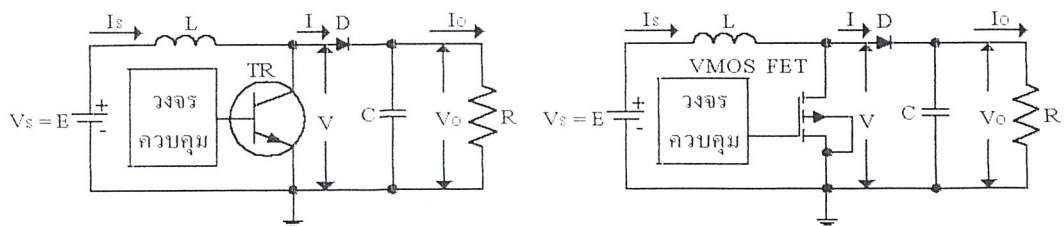
2. วงจรสับไฟฟ้ายกค่าขึ้น (step-up chopper)

โดยการเปลี่ยนแปลงวงจรในรูปที่ 3.15 (ก) และ (ข) ด้วยการนำเอาตัวเหนี่ยวนำ L มาต่อติดกับแหล่งจ่ายไฟฟ้าแบบอนุกรม และนำเอาทรานซิสเตอร์กำลังแบบไบโพลาร์หรือเฟทกำลังชนิดวิมอสซึ่งทำหน้าที่เป็นสวิตช์มาต่อลงในวงจรแบบขนานดังแสดงในรูปที่ 3.16 (ก) และ (ข) ตามลำดับเมื่อทรานซิสเตอร์กำลังแบบไบโพลาร์หรือเฟทกำลังชนิดวิมอสนี้ทำหน้าที่ปิดเปิดกระแสเป็นจังหวะจะให้รูปคลื่นกระแสและแรงดันดังแสดงในรูปที่ 3.16 (ค) โดยขณะที่สวิตช์เปิดกระแส ตัวเหนี่ยวนำ L จะกักเก็บพลังงานไว้ในรูปสนามแม่เหล็ก ครั้นเมื่อสวิตช์ปิดกระแส ตัวเหนี่ยวนำ L จะปล่อยพลังงานที่กักเก็บไว้ ออกแล้วทำให้เกิดมีแรงดันจันบวกเพิ่มเข้ากับแรงดันเฉลี่ยวงจรป้อนเข้าสู่ภาระผ่านไดโอด โดยที่กระแส I_S จากแหล่งจ่ายไฟฟ้ามีค่าคงที่ และพลังงานมีค่าคงที่ขณะที่สวิตช์ปิดกระแส ดังนั้นเราสามารถเขียนสมการได้ดังข้างล่าง

$$V_O t_{off} = E(t_{on} + t_{off}) \tag{3.19}$$

เพราะฉะนั้นทำให้เราได้ความสัมพันธ์

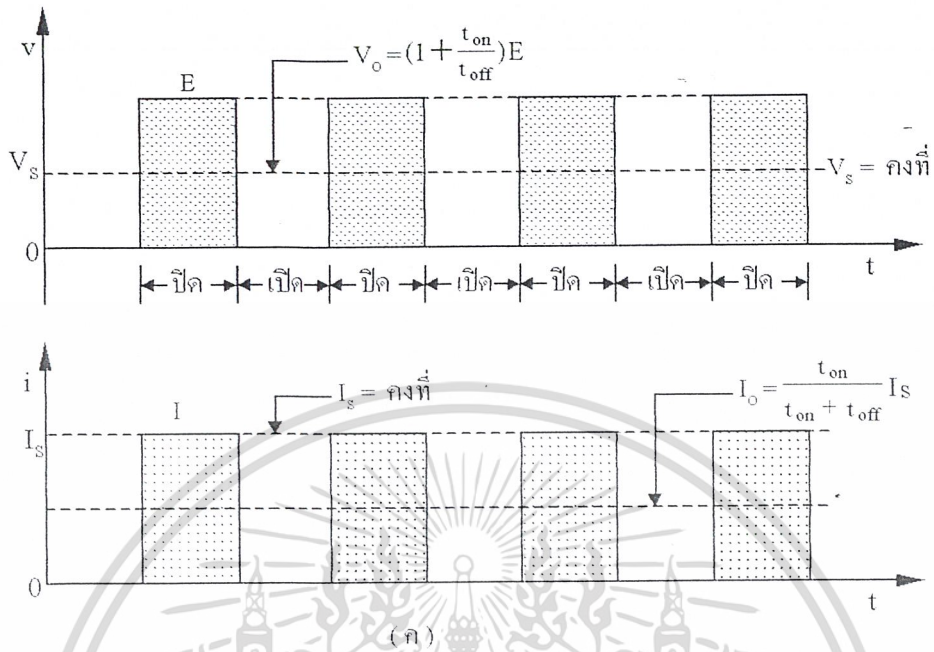
$$V_O = \left(1 + \frac{t_{on}}{t_{off}}\right) E \tag{3.20}$$



(ก)

(ข)

เอกสารนี้เป็นเอกสารที่สงวนไว้สำหรับการใช้งานเพื่อการศึกษาเท่านั้น ไม่อนุญาตให้นำไปใช้ประโยชน์ด้านการค้า ไม่ว่ากรณีใดๆ ทั้งสิ้น อีกทั้งห้ามมิให้ดัดแปลงเนื้อหา และต้องอ้างอิงถึงเจ้าของเอกสารทุกครั้งที่มีการนำไปใช้



รูปที่ 3.16 (ก) วงจรสับไฟฟ้ายกค่าขึ้นโดยใช้ทรานซิสเตอร์กำลังแบบไบโพลาร์
 (ข) วงจรสับไฟฟ้ายกค่าขึ้นโดยใช้เฟทกำลังชนิดวีเอ็มอส
 (ค) รูปคลื่นกระแสและแรงดันของ (ก) และ (ข)

ซึ่งแสดงว่า เราอาจปรับค่าแรงดันเอาต์พุตเฉลี่ยให้สูงขึ้นได้ แต่กระแสภาระเฉลี่ยมีค่าลดลงตามสมการข้างล่างนี้

$$I_o = \frac{t_{on}}{t_{on} + t_{off}} I_s \tag{3.21}$$

สังเกตว่า L ทำหน้าที่เฉลี่ยค่าแรงดัน ขณะที่ C ทำหน้าที่เฉลี่ยกระแส ถ้าหากว่า L และ C มีค่าใหญ่ทั้งคู่จะทำให้รูปคลื่นที่ได้รับมีลักษณะราบเรียบอย่างสมบูรณ์ เราอาจลดขนาดของ L และ C ให้เล็กลงได้โดยการเพิ่มความถี่ในการปฏิบัติงานของวงจรสับไฟฟ้าให้มีค่าสูงขึ้น แต่วิธีการนี้จะทำให้เกิดมีกำลังสูญเสียเพิ่มขึ้นในการปิดเปิดของสวิตช์เพราะฉะนั้นเราต้องออกแบบวงจรให้ใช้ความถี่สูงพอประมาณที่ไม่ให้กำลังสูญเสียเกิดขึ้นมากเกินไป

โดยคำอธิบายข้างบนนี้ วงจรสับไฟฟ้าจะทำหน้าที่คล้าย ๆ กับเป็นหม้อแปลงไฟฟ้ากระแสตรงที่สามารถลดแรงดันลงหรือยกแรงดันให้สูงขึ้น ด้วยการปรับเปลี่ยน เวลาปิด เวลาเปิด หรือทั้งคู่ ซึ่งเป็นการปรับเปลี่ยนที่ง่ายกว่าการเปลี่ยนจำนวนรอบ (turn ratio) ของหม้อแปลงไฟฟ้าทั่ว ๆ ไป

เรานิยมใช้วงจรสับไฟฟ้านี้ในการควบคุมอัตราเร็วของมอเตอร์ดีซีซีที่ใช้เป็นต้นกำลังในการขับเคลื่อนของยานพาหนะขนาดเล็ก เช่น รถยนต์ไฟฟ้า รถไฟฟ้าที่ใช้ในการเล่นกอล์ฟ รถยกของ

เอกสารนี้เป็นสื่อที่สงวนไว้สำหรับการใช้งานเพื่อการศึกษาเท่านั้น ไม่อนุญาตให้นำไปใช้ประโยชน์ด้านการค้าไม่ว่ากรณีใดๆ ทั้งสิ้น อีกทั้งห้ามมิให้ดัดแปลงเนื้อหา และต้องอ้างอิงถึงเจ้าของเอกสารทุกครั้งที่มีการนำไปใช้

บทที่ 4

การควบคุมภาคขับเคลื่อนมอเตอร์

4.1 พัลส์วิดมอดดูเลชัน (Pulse Width Modulation : PWM)

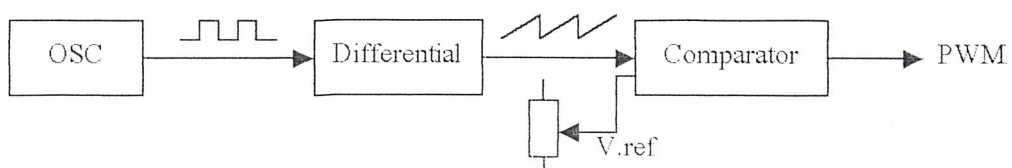
ในการควบคุมความเร็วมอเตอร์ให้คงที่หรือวงจรสวิตซ์ซึ่งซับซ้อนหลายที่ควบคุมแรงดันคงที่นิยมใช้เทคนิคการควบคุมความกว้างของพัลส์ (PWM) ซึ่งเป็นการควบคุมโดยเปลี่ยนแปลงช่วงเวลาที่อยู่พัลส์หรือเฟิร์มแวร์อิเล็กทรอนิกส์ เช่น ทรานซิสเตอร์, เพาเวอร์มอสเฟต, ไอจีบีที (IGBT) หรืออื่น ๆ นำมากระแส

4.1.1 ลักษณะของ PWM โดยทั่วไปมีอยู่ 3 ลักษณะคือ

1. เปลี่ยนแปลงทั้งความถี่และความกว้างของพัลส์ (Variation of both frequency and pulse width)
2. เปลี่ยนความถี่ โดยความกว้างของพัลส์คงที่ (Constant pulse width with variable frequency)
3. เปลี่ยนแปลงความกว้างของพัลส์ โดยความถี่คงที่ (Constant frequency with variable pulse width)

การทำงานทั้ง 3 ลักษณะมีข้อดีข้อเสียต่างกันไป การทำงานในลักษณะที่ 2 และลักษณะที่ 3 จะดีกว่าลักษณะที่ 1 เนื่องจากสามารถกำหนดความถี่หรือช่วงเวลา f_{sw} ที่ทำให้สวิตซ์หรืออุปกรณ์ควบคุมทำงานอย่างมีประสิทธิภาพ แต่แบบที่ 1 นั้นความถี่และความกว้างของพัลส์ กำหนดขึ้นจากวงจรจึงอาจไม่ใช่ความถี่ที่เหมาะสมที่สุดสำหรับการทำงานก็ได้ ดังนั้นวงจร PWM ส่วนใหญ่จึงใช้การทำงานในลักษณะที่ 2 หรือลักษณะที่ 3 เสียเป็นส่วนใหญ่ ในปัจจุบันได้มีผู้ผลิตไอซีในงาน PWM ออกมาจำหน่ายโดยได้พัฒนาให้เป็นวงจรสำเร็จรูปใน IC ตัวเดียว เหมาะสำหรับใช้งานในด้านแหล่งจ่ายไฟตรงโดยเฉพาะ ซึ่งการใช้งานของไอซีเหล่านี้สามารถใช้งานได้ง่าย โดยต่ออุปกรณ์เพิ่มเติมภายนอกเพียงเล็กน้อย เพื่อให้เป็นตัวกำหนดจุดการทำงานของไอซี PWM นั้น ๆ เพื่อให้การทำงานของวงจรมีความสมบูรณ์ขึ้น อาจมีการเพิ่มเติมนวจรสำหรับระบบต่าง ๆ เช่น วงจรเปรียบเทียบสำหรับป้องกันกระแส หรือแรงดัน

หลักการเบื้องต้นของพัลส์วิดมอดดูเลชัน

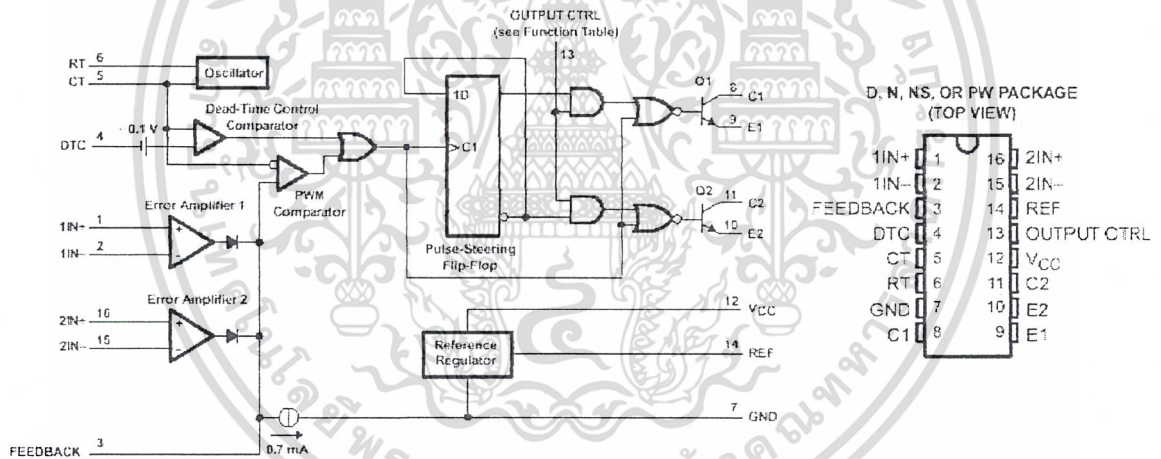


เอกสารนี้เป็นเอกสารที่สงวนไว้สำหรับการใช้งานเพื่อการศึกษาเท่านั้น ไม่อนุญาตให้นำไปใช้ประโยชน์ด้านการค้า
รูปที่ 4.1 แสดงรูปคลื่นสัญญาณเอาต์พุตของพัลส์วิดมอดดูเลชัน
ไม่ว่ากรณีใดๆ ทั้งสิ้น อีกทั้งห้ามมิให้คัดไปลงเนื้อหา และต้องอ้างอิงถึงเจ้าของเอกสารทุกครั้งที่มีการนำไปใช้

วงจรสร้างสัญญาณ Pulse Width Modulation (PWM) เป็นตัวกำเนิดสัญญาณความถี่และควบคุมความกว้างของสัญญาณพัลส์ตามที่ค่าคำสั่งจ่ายให้กับวงจร จากรูปกำหนดค่าคำสั่งเท่ากับ V_{in} ซึ่งเป็นระดับแรงดันไฟฟ้ากระแสตรงเพื่อนำไปเปรียบเทียบกับสัญญาณรูปฟันเลื่อยที่ถูกสร้างขึ้นภายในวงจร PWM หน้าที่ของวงจร PWM คือ สร้างสัญญาณรูปฟันเลื่อย และเปรียบเทียบกับสัญญาณรูปฟันเลื่อยกับระดับแรงดัน V_{in} ซึ่งจะได้เอาที่พุดเป็นสัญญาณพัลส์ที่เปลี่ยนแปลงค่า DUTY CYCLE ตามผลการเปรียบเทียบสัญญาณเอาที่พุดนี้จะนำไปผ่านวงจรขับมอเตอร์เพื่อควบคุมความเร็วของมอเตอร์ต่อไป ส่วนสัญญาณ Dead time control ที่เห็นในรูปเป็นสัญญาณอินพุตอีกขาหนึ่ง IC#TL494 มีไว้ในกรณีที่ต้องการควบคุม dead time โดยมีคุณสมบัติเดียวกันกับขา V_{in}

4.1.2 การสร้างวงจรถ้ากำเนิดสัญญาณ PWM

ไอซีเบอร์ TL494 ที่ออกแบบมาเพื่อใช้ควบคุมการทำงานของคอนเวอเตอร์ โดยทำงานด้วยโหมดควบคุมจากแรงดัน มีโครงสร้างดังรูป



รูปที่ 4.2 แสดงการจัดโครงสร้างภายในและการจัดขา ไอซี TL494

การกำหนดคาบเวลาการทำงาน

วงจร TL494 เป็นวงจร PWM ที่มีความถี่คงที่ คาบเวลาการทำงานของพัลส์กำหนดโดยค่าของ R_T และ C_T จากภายนอกที่ขา 6 และขา 5 ของไอซี คาบเวลาการทำงานจะกำหนดได้จาก

$$\text{Single-ended} \quad f_{osc} = \frac{1.1}{R_T C_T} \quad (4.1)$$

$$\text{Push-pull} \quad f_{osc} = \frac{1.1}{2R_T C_T} \quad (4.2)$$

กำหนดให้ f_{osc} เท่ากับ ความถี่ของสัญญาณพัลส์

R_T, C_T เท่ากับ ค่าพารามิเตอร์ของวงจรถ้ากำเนิดสัญญาณพัลส์

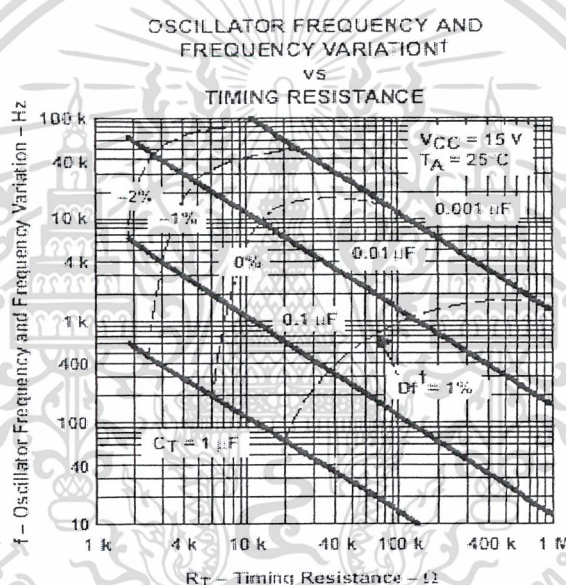
การหาค่า R_T , C_T หาได้ดังนี้

ความถี่ที่ใช้ในการขับเคลื่อนมอเตอร์ จะเลือกใช้ที่ 10 kHz เหตุผลในการเลือกความถี่ในย่านนี้ เพื่อต้องการให้กระแสของมอเตอร์มีริบเปล็น้อย เราสามารถเลือกความถี่ให้มีค่ามากกว่านี้ แต่ผลตามาจะมีสัญญาณรบกวนมาก จากคู่มือของ IC TL494 จะหาค่า R_T และค่า C_T จากสูตรดังนี้

$$R_T = \frac{1.1}{f_{osc} C_T} \quad (4.3)$$

พิจารณาเลือก $C = 1 \text{ nF}$ และความถี่ที่ 10 kHz จะได้ R_T มีค่า

$$R_T = 110 \text{ k}\Omega$$



รูปที่ 4.3 แสดงความสัมพันธ์ของค่า R_T , C_T ในการกำหนดความถี่

4.1.3 การทำงานของไอซี

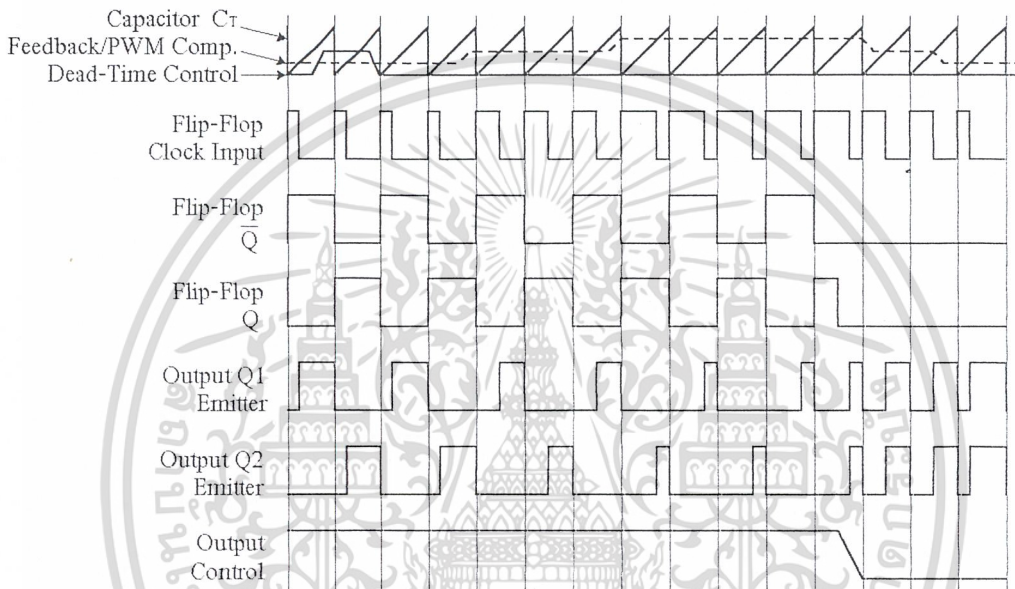
ความกว้างเอาต์พุตพัลส์ของไอซีจะ ได้จากการเปรียบเทียบสัญญาณฟันเลื่อยที่ขา 5 กับแรงดันที่ได้จากวงจรขยายความแตกต่าง (Error Amp) ทั้ง 2 ตัวที่ PWM Comparator ส่วน NOR เกทที่ควบคุมทรานซิสเตอร์เอาต์พุต Q_1 และ Q_2 จะทำงานก็ต่อเมื่อขา C_k ของ Flip-Flop อยู่ในสถานะ Low เท่านั้น ซึ่ง C_k จะเป็น Low ได้ก็ต่อเมื่อแรงดันของสัญญาณฟันเลื่อยมีค่ามากกว่าแรงดันที่มาจาก Error Amp ทั้ง 2 ตัว นั่นคือ แรงดันป้อนกลับจากเอาต์พุตของคอนเวอร์เตอร์หากมีค่าสูง ความกว้างเอาต์พุตพัลส์ของไอซีจะลดลง ในทางกลับกัน แรงดันป้อนกลับหากมีค่าลดลงความกว้างเอาต์พุตพัลส์ของไอซีจะเพิ่มขึ้น

ความกว้างเอาต์พุตพัลส์ของไอซีนีสามารถกำหนดให้มีค่ามากที่สุดหรือมีค่าเท่ากับศูนย์ได้

ด้วยการเปลี่ยนแปลงแรงดันที่ขา 3 จาก 0.5 โวลต์ จนถึง 3.5 โวลต์ ส่วน Error Amp ทั้งสองตัวจะ

เอกสารนี้เป็นเอกสารที่สงวนลิขสิทธิ์ของทางโรงเรียนเพื่อการศึกษาเท่านั้น ไม่อนุญาตให้เผยแพร่ขึ้นบนอินเทอร์เน็ต
ไม่ว่ากรณีใดๆ ทั้งสิ้น อีกทั้งห้ามมิให้ตัดแปลงเนื้อหา และต้องอ้างอิงถึงเจ้าของเอกสารทุกครั้งที่มีการนำไปใช้

มีช่วงของอินพุท คอมมอนโหมด ตั้งแต่ -0.3 ถึง $(V_{oc} - 2)$ โวลต์ และสามารถใช้ตรวจจับแรงดันหรือกระแสที่เอาต์พุทของคอนเวอร์เตอร์ได้ Error Amp ทั้ง 2 ตัวจะให้เอาต์พุทในสถานะ High (Active High) โดยต่อกันอยู่ในลักษณะ OR ที่ขา non-inverting ของ PWM Comparator การต่อกันในลักษณะนี้ Error Amp ตัวที่ทำให้เกิดความกว้างเอาต์พุทพัลส์ต่ำสุด จะเป็นตัวควบคุมความกว้างของเอาต์พุทพัลส์ของไอซี



รูปที่ 4.4 รูปคลื่นลักษณะการทำงาน IC#TL494

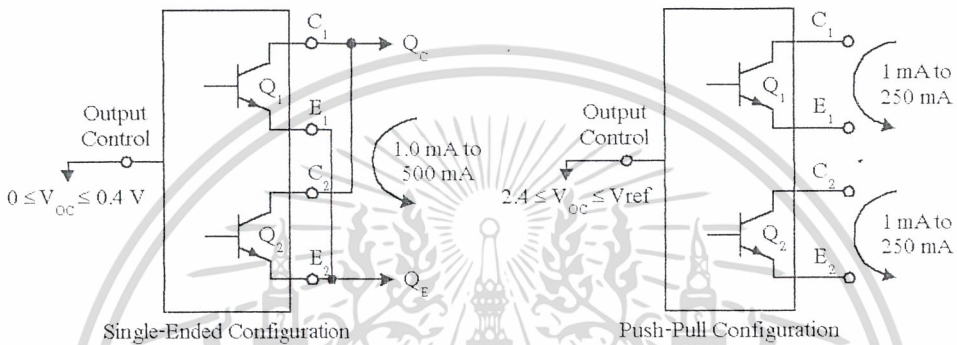
การกำหนดค่าเวลาเมื่อ t_d (dead time)

TL494 สามารถให้ผู้ใช้งานกำหนดค่าเวลาเมื่อ t_d ของวงจรได้เอง ด้วยการต่อแรงดันระหว่าง 0 ถึง 3.3 โวลต์ที่ขา 4 ของไอซี อย่างไรก็ตาม หากแรงดันที่ขา 4 มีค่าเท่ากับ 0 โวลต์ ค่าเวลาเมื่อต่ำสุดของไอซีจะไม่ต่ำกว่า 4 เปอร์เซ็นต์ของค่าคาบเวลาการทำงานเนื่องจากมีแรงดันออฟเซต 120 มิลลิโวลต์ที่อยู่ภายใน ดังนั้นช่วงเวลา t_{on} สูงสุดของคอนเวอร์เตอร์ที่ได้จากไอซีจะเท่ากับ 48% ของค่าคาบเวลาเมื่อต่อขา 13 (Output control) เข้ากับขา 14 ($+5 V_{ref}$) และมีค่าเท่ากับ 96% ของค่าคาบเวลาเมื่อต่อขา 13 ลงกราวด์

การเลือกใช้ Q_1 และ Q_2 ที่เอาต์พุทของไอซี

เอาต์พุท Q_1 และ Q_2 ของไอซีสามารถทำงานได้ 2 โหมด คือ ทำงานพร้อมกัน หรือ สลับกันทำงาน ซึ่งสามารถเลือกการทำงานได้ที่ขา 13 (Output Control) โดยขณะที่ C_1 ดิซชาร์จเอาต์พุทของ Dead-Time Comparator จะให้พัลส์ออกมา C_2 จะมีสถานะเป็น High และหยุดการทำงานของ Q_1 และ Q_2 ถ้ากำหนดให้ขา 13 มีสถานะเป็น High โดยการต่อเข้ากับขา 4 ($+5V_{ref}$) Q_1 และ Q_2

จะสลับการทำงานของ Flip-Flop เพื่อให้ขั้วคอนเวอเตอร์แบบ พุช-พูล ในกรณีนี้ค่าเวลาการทำงานจะเป็น 2 เท่าของค่าคาบเวลาสัญญาณฟันเลื่อยของไอซี แต่ถ้ากำหนดให้ขา 13 มีสถานะเป็น Low โดยการต่อลงกราวด์ (ขกเล็ก Flip-Flop) Q_1 และ Q_2 เข้าด้วยกันได้ ถ้าต้องการให้น้ำกระแสได้มากขึ้น ในกรณีนี้ค่าเวลาการทำงานจะมีค่าเท่ากับค่าคาบเวลาของสัญญาณฟันเลื่อยของไอซี (ช่วงเวลาน้ำกระแสสูงสุดเท่ากับ 96% ของค่าคาบเวลา)

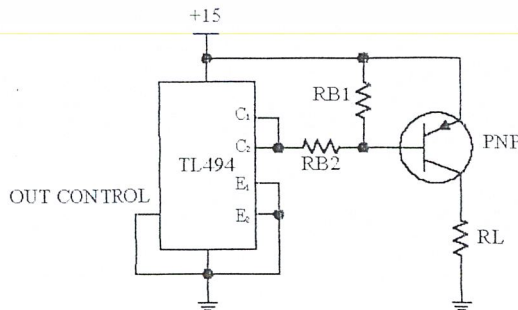


รูปที่ 4.5 แสดงลักษณะการเลือกใช้อาห์พุทของ TL494

TL494 ต้องการไฟเลี้ยงในช่วง $7 \leq V_{cc} \leq 40$ โวลต์ มีแรงดันอ้างอิงภายใน $V_{ref} = 5$ โวลต์ และสามารถจ่ายกระแสได้ถึง 10 มิลลิแอมป์เพื่อใช้กับวงจรภายนอกได้ โดยมีค่าความถูกต้อง $\pm 1.5\%$ ความคลาดเคลื่อนทางอุณหภูมิมีน้อยกว่า 50 มิลลิโวลต์ เมื่อทำงานในช่วง 0° ถึง 70°

4.1.4 การใช้ IC TL494 ร่วมกับทรานซิสเตอร์ภายนอก

การใช้ IC TL494 ในงานสวิตซ์ที่ต้องการกระแสสูง ๆ โดยทำงานร่วมกับทรานซิสเตอร์ภายนอก สังเกตว่าทรานซิสเตอร์ภายนอกที่ใช้ในวงจรจะใช้ทรานซิสเตอร์ชนิด PNP, NPN ถ้าเป็นชนิด PNP โดยมีตัวต้านทาน R_{B1}, R_{B2} เป็นส่วนไบแอส ซึ่งทรานซิสเตอร์ที่อยู่ภายใน IC TL494 จะทำหน้าที่เป็นตัวสวิตซ์ต่อระหว่างขาเบสของทรานซิสเตอร์กับกราวด์และเปิดวงจร



รูปที่ 4.6 การใช้ TL494 กับทรานซิสเตอร์ภายนอก

เอกสารนี้เป็นเอกสารที่สงวนไว้สำหรับการใช้งานเพื่อการศึกษาเท่านั้น ไม่อนุญาตให้นำไปใช้ประโยชน์ด้านการค้า ไม่ว่าจะกรณีใดๆ ทั้งสิ้น อีกทั้งห้ามมิให้ดัดแปลงเนื้อหา และต้องอ้างอิงถึงเจ้าของเอกสารทุกครั้งที่มีการนำไปใช้

ถ้าทรานซิสเตอร์ภายในเปิดวงจรก็ไม่มีกระแสไหลเข้าไปยังตัวต้านทานไบแอสทำให้ทรานซิสเตอร์ภายนอกเปิดวงจรด้วย แต่ถ้าทรานซิสเตอร์ภายในเปิดวงจรทำให้ตัวต้านทาน R_{B2} ถูกต่อลงกราวด์ และเกิดกระแสไหลผ่านตัวต้านทานทั้งสอง (R_{B1}, R_{B2}) เกิดเป็นวงจรแบบแรงดันและทำให้ทรานซิสเตอร์นำกระแสในที่สุด

ในการออกแบบค่าตัวต้านทาน R_{B1}, R_{B2} นั้นจะสมมุติให้กระแส $I_{B \text{ leader}}$ ไหลผ่าน R_{B1} และรวมกับกระแสเบสของทรานซิสเตอร์สวิตซ์ซึ่งผ่าน R_{B2} (สามารถเลือกกระแส $I_{B \text{ leader}}$ ได้ประมาณ 1 ใน 10 ของกระแสเบสทรานซิสเตอร์สวิตซ์)

สำหรับการเลือกกระแสเบสของทรานซิสเตอร์จะใช้กระแสค่าสูงสุดของคอลเลกเตอร์ $I_{C \text{ max}}$ และค่าอัตราขยาย β น้อยที่สุดของทรานซิสเตอร์ หาได้จาก DATASHEET, β_{min} สมการในการหากระแสเบส

$$I_{B \text{ min}} = \frac{I_{C \text{ max}}}{\beta_{\text{min}}} \quad (4.4)$$

แรงดันตกคร่อม R_{B1} $V_{BE} = 0.7 \text{ V}$ เพื่อให้แน่ใจว่าทรานซิสเตอร์นำกระแส กระแสที่ไหลผ่าน R_{B1} คือกระแส $I_{B \text{ leader}}$ หา R_{B1} ได้ดังนี้

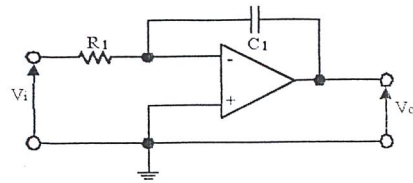
$$R_{B1} = \frac{V_{BE}}{I_{B \text{ leader}}} \quad (4.5)$$

ในทางปฏิบัติจะเลือกใช้ค่า R_{B1} ที่มากกว่าจากการคำนวณเพื่อให้แน่ใจว่าแรงดันตกคร่อมระหว่างขาเบสกับอิมิตเตอร์อย่างน้อยที่ 0.7 V สมการคำนวณหา R_{B2}

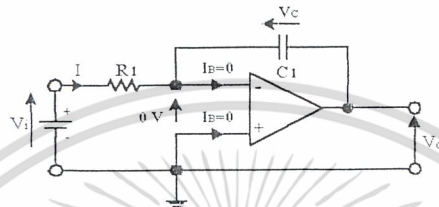
$$R_{B2} = \frac{V_{DC \text{ supply}} - V_{BE} - V_{\text{sat}}}{I_{B \text{ leader}} + I_{B \text{ min}}} \quad (4.6)$$

4.2 วงจรอินทิเกรเตอร์ที่ใช้อุปแอมป์

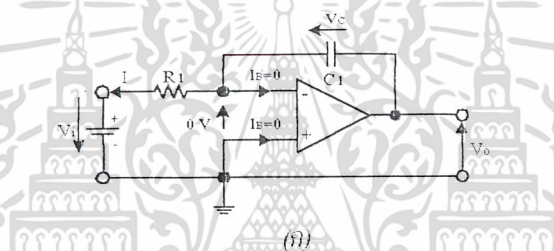
วงจรอินทิเกรเตอร์เป็นวงจรที่มีสัญญาณเอาต์พุตเป็นผลรวมของสัญญาณอินพุต การทำงานของวงจรจะตรงกับการกระทำทางคณิตศาสตร์ที่เรียกว่า การอินทิกรัล สำหรับวงจรอินทิเกรเตอร์ที่จะกล่าวถึงเป็นวงจรที่ใช้อุปแอมป์ทำหน้าที่เป็นอินทิเกรเตอร์ จากรูปที่ 4.6 เป็นการดำเนินงานของวงจรอุปแอมป์อินทิเกรเตอร์



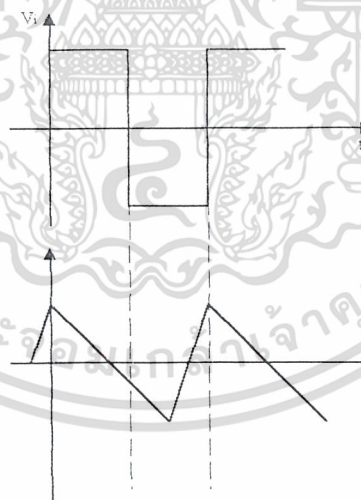
(ก)



(ข)



(ค)



(ง)

รูปที่ 4.7 การทำงานของวงจรอินทิเกรตออปแอมป์อินทิเกรเตอร์

จากวงจรขาบวกของออปแอมป์ที่ถูกต่อกับกราวด์ ดังนั้นขาลบของออปแอมป์จะต่อกับกราวด์ด้วย (กราวด์เสมือน) เนื่องจากแรงดันระหว่างขาอินพุตทั้งสองมีค่าเท่ากับ 0 V ถ้าสัญญาณอินพุตเป็นรูปคลื่นสี่เหลี่ยมจัตุรัส (ที่มีขนาดแรงดัน V_1) จะเกิดแรงดันตกคร่อม R เท่ากับ V_1 และมีกระแส I ไหลผ่าน R_1 เท่ากับ

เอกสารนี้เป็นเอกสารที่สงวนไว้สำหรับการใช้งานเพื่อการศึกษาเท่านั้น ไม่อนุญาตให้นำไปใช้ประโยชน์ด้านการค้าไม่ว่ากรณีใดๆ ทั้งสิ้น อีกทั้งห้ามมิให้ดัดแปลงเนื้อหา และต้องอ้างอิงถึงเจ้าของเอกสารทุกครั้งที่มีการนำไปใช้

$$I = \frac{V_1}{R_1} \quad (4.7)$$

เนื่องจากค่าอินพุตอิมพีแดนซ์ของออปแอมป์มีค่ามากจึงประมาณว่ากระแสไหลเข้าหรือออกมีค่าเท่ากับ 0 ดังนั้นกระแส I ทั้งหมดจึงไหลผ่าน C_1 ดังรูปที่ 4.7 (ข) จากสมการกระแสที่ไหลผ่านตัวเก็บประจุ

$$i_c = C_1 \frac{dv_c}{dt} \quad (4.8)$$

$$\frac{1}{C_1} i_c dt = dv_c$$

อินทิกรัลทั้งสองข้างจะได้

$$\begin{aligned} \frac{1}{C_1} \int i_c dt &= \int dv_c \\ v_c &= \frac{1}{C_1} \int i_c dt \end{aligned} \quad (4.9)$$

นั่นคือแรงดันตกคร่อม C_1 จะเป็นไปตามสมการ (4.9) โดยมีตัวบวกกลับดังรูปที่ 4.7 (ข) ขณะนี้หา C_1 ด้านแรงดันบวกต่อกับกราวด์เสมือน (ขาลบของออปแอมป์) ส่วนทางด้านแรงดันลบต่อกับขั้วเอาต์พุต ดังนั้นแรงดันเอาต์พุตมีค่าเท่ากับ $-v_c$

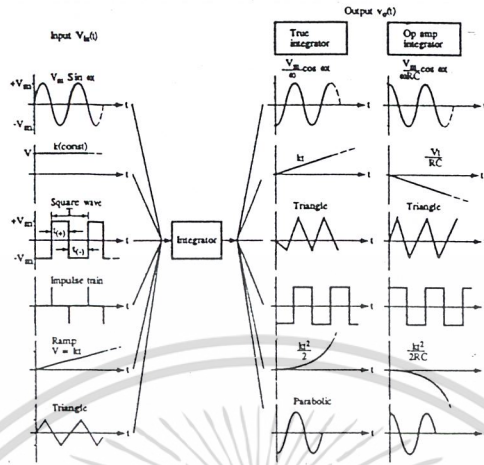
$$v_o = -v_c = -\frac{1}{C_1} \int i_c dt$$

แต่กระแสที่ไหลผ่านตัวเก็บประจุ C_1 คือ I ซึ่งมีค่าคงที่ จึงทำให้ C_1 สะสมประจุในลักษณะเป็นเชิงเส้น ดังนั้นแรงดันเอาต์พุตจะมีลักษณะเป็นเชิงเส้น

$$\begin{aligned} v_o &= -\frac{1}{C_1} \int I dt \\ &= -\frac{1}{C_1} \int \frac{V_1}{R_1} dt \end{aligned}$$

$$v_o = -\frac{1}{R_1 C_1} \int V_1 dt \quad (4.10)$$

จากสมการที่ 4.10 แรงดันเอาต์พุตจะขึ้นกับผลรวมของแรงดันอินพุต เมื่อเทียบกับเวลา ถ้าสัญญาณอินพุตเป็นรูปคลื่นสี่เหลี่ยมจัตุรัส สัญญาณเอาต์พุตจะเป็นรูปคลื่นสามเหลี่ยม สำหรับผลตอบสนองของวงจรออปแอมป์อินทิเกรเตอร์ต่อสัญญาณอินพุตต่าง ๆ แสดงดังรูปที่ 4.8



รูปที่ 4.8 รูปคลื่นเอาต์พุตที่ได้จากวงจรรวมอินทิเกรเตอร์

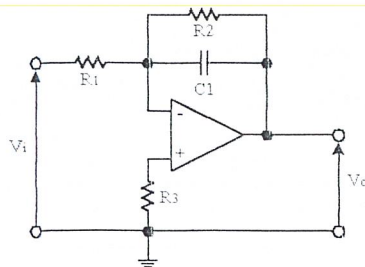
อัตราขยายของวงจรรวมอินทิเกรเตอร์คือ

$$A_v = \frac{V_o}{V_i} = - \frac{X_{C1}}{R_1}$$

แต่

$$X_{C1} = \frac{1}{2\pi f C_1}$$

ที่ความถี่ต่ำ ๆ หรือที่ความถี่ 0 Hz จะทำให้ค่า X_{C1} มีค่าอนันต์ (ตัวเก็บประจุ C_1 เสมือนเปิดวงจร) วงจรรวมอินทิเกรเตอร์ทำงานแบบทำงานแบบเปิดคู่ป้อนอัตราขยายของวงจรมีค่ามาก ส่งผลให้แรงดันอินพุตออฟเซตถูกขยายทำให้แรงดันเอาต์พุตเกิดการอิ่มตัว เพื่อลดอัตราขยายของวงจรที่ความถี่ต่ำ ๆ ป้องกันไม่ให้แรงดันเอาต์พุตอิ่มตัว ควรต่อตัวต้านทาน R_2 ขนานกับตัวเก็บประจุ C_1 ดังรูปที่ 4.9 ส่วน R_3 ทำหน้าที่ลดค่ากระแสอินพุตออฟเซต I_{os} ซึ่ง I_{os} จะทำให้แรงดันเอาต์พุตเกิดการผิดพลาด



รูปที่ 4.9 การลดอัตราขยายของวงจรรวมอินทิเกรเตอร์

เอกสารนี้เป็นเอกสารที่สงวนไว้สำหรับการใช้งานเพื่อการศึกษาเท่านั้น ไม่อนุญาตให้นำไปใช้ประโยชน์ด้านการค้า ไม่ว่าจะกรณีใดๆ ทั้งสิ้น อีกทั้งห้ามมิให้ดัดแปลงเนื้อหา และต้องอ้างอิงถึงเจ้าของเอกสารทุกครั้งที่มีการนำไปใช้

4.2.1 การออกแบบวงจร

ในการออกแบบวงจรออปแอมป์อินทิเกรเตอร์ ควรทราบค่าความถี่ต่ำสุด ที่ยังคงทำให้วงจรทำงานเป็นอินทิเกรเตอร์ได้โดยค่าความถี่ $f(\min)$ จะต้องทำให้ C_1 มีค่ารีแอกแตนซ์เท่ากับค่าความต้านทาน R_2 ดังนั้น

$$X_{C1} = \frac{R_2}{10} \quad (4.11)$$

$$\frac{1}{2\pi f(\min)C_1} = \frac{R_2}{10}$$

$$f(\min) = \frac{10}{2\pi R_2 C_1} \quad (4.12)$$

จากสมการที่ 4.12 ถ้าวงจรมีความถี่น้อยกว่าค่า $f(\min)$ จะทำให้วงจรมีลักษณะเป็นอินทิเกรเตอร์น้อยลง และถ้าความถี่เป็น 0 Hz (ไฟตรง) จะทำให้วงจรทำงานเป็นวงจรขยายกลับสัญญาณ

4.2.2 ลำดับขั้นตอนในการออกแบบ

1. กำหนดค่ากระแสอินพุต I ให้มีค่ามากกว่ากระแสไบแอสสูงสุด $I_B(\max)$ ของออปแอมป์

$$I \gg I_B(\max)$$

ให้ $I = 1000 I_B(\max)$

2. คำนวณหาค่า R_1 :

$$R_1 = \frac{V_1}{I} \quad (4.13)$$

3. คำนวณหาค่า C_1 :

$$C_1 = \frac{i_1}{2V_{sat} f(\min)} \quad (4.14)$$

เมื่อ i_1 คือ กระแสอินพุตสูงสุดหาได้จากกฎของโอห์ม

$$i_1 = \frac{V_{1(\max)}}{R_1} \quad (3.23)$$

4. คำนวณหาค่า R_2 :

เมื่อวงจรทำงานที่ความถี่ต่ำ R_2 ต้องมีค่ามากกว่า X_{C1} ดังนั้นให้ π

$$R_2 = 10 X_C$$

เอกสารนี้เป็นเอกสารที่สงวนไว้สำหรับการใช้งานเพื่อการศึกษาเท่านั้น ไม่อนุญาตให้นำไปใช้ประโยชน์ด้านการค้าไม่ว่ากรณีใดๆ ทั้งสิ้น อีกทั้งห้ามมิให้ดัดแปลงเนื้อหา และต้องอ้างอิงถึงเจ้าของเอกสารทุกครั้งที่มีการนำไปใช้

$$R_2 = \frac{10}{2\pi f_{(\text{min})} C_1} \quad (4.15)$$

คำนวณหาค่า R_3 :

$$R_3 = R_1 // R_2$$



เอกสารนี้เป็นเอกสารที่สงวนไว้สำหรับการใช้งานเพื่อการศึกษาเท่านั้น ไม่อนุญาตให้นำไปใช้ประโยชน์ด้านการค้า
ไม่ว่ากรณีใดๆ ทั้งสิ้น อีกทั้งห้ามมิให้ดัดแปลงเนื้อหา และต้องอ้างอิงถึงเจ้าของเอกสารทุกครั้งที่มีการนำไปใช้

บทที่ 5

การใช้งานไมโครคอนโทรลเลอร์ MCS-51

ไมโครคอนโทรลเลอร์ตระกูล MCS-51 ที่ใช้ในการทำโครงงานนี้จะอ้างอิงไมโครคอนโทรลเลอร์ตระกูล MCS-51 ซึ่งมีหน่วยความจำภายในแบบแฟลช (flash memory) ของ Atmel Corporation มีเบอร์ชิ้นต้นด้วย AT89 เหตุผลที่ใช้ไมโครคอนโทรลเลอร์แบบนี้ในการทำโครงงานเพื่อใช้งานไมโครคอนโทรลเลอร์ตระกูล MCS-51 มีด้วยกันหลายประการดังนี้

1. หน่วยความจำโปรแกรมภายในตัวไมโครคอนโทรลเลอร์เป็นแบบแฟลช ทำให้สามารถลบและเขียนใหม่ได้นับพันครั้ง จึงสามารถใช้งานในรูปแบบของไมโครคอนโทรลเลอร์ชิปเดี่ยวไม่ต้องใช้หน่วยความจำภายนอกส่งผลให้สามารถใช้งานพอร์ตอินพุตเอาต์พุตของไมโครคอนโทรลเลอร์ได้อย่างเต็มประสิทธิภาพ
2. ต้นทุนและเวลาในการพัฒนาระบบไมโครคอนโทรลเลอร์ลดลงอย่างมากเนื่องจากไม่ต้องใช้เครื่องมือพัฒนาจำพวกอีมูเลเตอร์และเครื่องโปรแกรมอีพรอม (EPROM)
3. บริษัทผู้ผลิตได้ทำการผลิตไมโครคอนโทรลเลอร์ตระกูลนี้ออกมาหลายเบอร์ และมีความสามารถแตกต่างกันไป ทำให้มีทางเลือกในการใช้งานสูง
4. ด้วยการใช้หน่วยความจำภายในตัวไมโครคอนโทรลเลอร์ทำให้สามารถป้องกันการคัดลอกข้อมูลของหน่วยความจำโปรแกรมได้เป็นอย่างดี
5. ในบางเบอร์ของไมโครคอนโทรลเลอร์ที่ผลิตโดย Atmel สามารถทำการโปรแกรมข้อมูลในหน่วยความจำได้โดยไม่ต้องถอดตัวไมโครคอนโทรลเลอร์ออกมาทำการโปรแกรมใหม่หรือเรียกว่า **การโปรแกรมในวงจร หรือ ในระบบ (In-system programming)** โดยใช้ลักษณะการติดต่อแบบ **SPI (Serial Peripheral Interface)** ทำให้การพัฒนาหรือการซ่อมบำรุง ตลอดจนการปรับปรุงหรืออัปเดตข้อมูลในหน่วยความจำโปรแกรมทำได้สะดวก ภายใต้งบประมาณที่ไม่สูงมากนัก
6. ชุดคำสั่งและสถาปัตยกรรมพื้นฐานเหมือนกับไมโครคอนโทรลเลอร์ MCS-51 ของผู้ผลิตอื่นไม่ว่าจะเป็นอินเทล, ซีมานส์ หรือคัลลัส

5.1 คุณสมบัติทางเทคนิคของไมโครคอนโทรลเลอร์ MCS-51

คุณสมบัติทางเทคนิคของไมโครคอนโทรลเลอร์ตระกูล MCS-51 อนุกรม AT89xx มีดังนี้

- เป็นไมโครคอนโทรลเลอร์ที่ใช้ซีพียูขนาด 8 บิต
- ภายในมีหน่วยความจำโปรแกรมเป็นแบบแฟลชสามารถลบและเขียนใหม่ได้พันครั้ง
- หน่วยความจำข้อมูลพื้นฐานเป็นหน่วยความจำแบบแรม ในบางเบอร์จะมีหน่วยความจำแบบอีอีพรอมเพิ่มเติม
- ขาพอร์ตเป็นแบบสองทิศทาง สามารถใช้งานเป็นได้ทั้งอินพุตและเอาต์พุต
- มีวงจรสื่อสารอนุกรมแบบพูลดูเพล็กซ์
- ไทเมอร์/เคาน์เตอร์ขนาด 16 บิตอย่างน้อย 2 ตัว
- สามารถรองรับแหล่งกำเนิดอินเตอร์รัปต์ได้ 6 ประเภท
- สามารถขยายหน่วยความจำภายนอกเพิ่มเติมได้สูงสุด 64 กิโลไบต์
- มีวงจรกำเนิดสัญญาณนาฬิกาอยู่ในภายในชิป
- มีวงจรสื่อสารอนุกรมแบบ SPI สำหรับในอนุกรม AT89Sxx
- มีวอตช์ดีด็อกไทมเมอร์ในตัว สำหรับในอนุกรม AT89Sxx

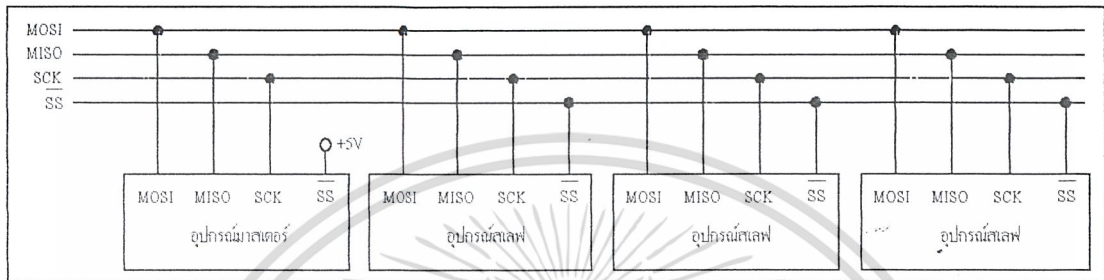
ในโครงการนี้ใช้ไมโครคอนโทรลเลอร์ MCS-51 แบบแฟลช เบอร์ AT89SS252 ซึ่งมีหน่วยความจำโปรแกรมขนาด 8 กิโลไบต์ หน่วยความจำข้อมูล แรม 256 ไบต์ อีอีพรอม 2 กิโลไบต์และจำนวนไทมเมอร์/เคาน์เตอร์ 16 บิต 3 ตัว

คุณสมบัติเด่นอีกประการหนึ่งที่มีอยู่ในไมโครคอนโทรลเลอร์ MCS-51 แบบแฟลช ในอนุกรม AT89Sxx ของ Atmel คือ ส่วนเชื่อมต่ออุปกรณ์อนุกรม หรือ SPI (Serial Peripheral Interface) ซึ่งเป็นอีกหนึ่งรูปแบบของการขยายขีดความสามารถของไมโครคอนโทรลเลอร์สมัยใหม่ ซึ่งในอดีตมีเพียงไมโครคอนโทรลเลอร์ตระกูล 68HC11 ของโมโตโรล่าเท่านั้นที่มีความสามารถในส่วนนี้ แต่ในปัจจุบันและอนาคต SPI จะกลายเป็นคุณสมบัติมาตรฐานที่ต้องมีในไมโครคอนโทรลเลอร์ ดังจะเห็นได้จากในไมโครคอนโทรลเลอร์ PIC รุ่นใหม่ รวมถึงไมโครคอนโทรลเลอร์ AVR ซึ่งเป็นไมโครคอนโทรลเลอร์อีกตระกูลหนึ่งของ Atmel ต่างก็บรรจุส่วน SPI ไว้ด้วย

ส่วนเชื่อมต่ออุปกรณ์อนุกรม หรือ SPI นี้เป็นการเชื่อมต่อไมโครคอนโทรลเลอร์เข้ากับอุปกรณ์ภายนอกที่มีลักษณะการถ่ายทอดข้อมูลในลักษณะอนุกรมแบบซิงโครนัส (Synchronous) ความเร็วสูง ในการสื่อสารข้อมูลแบบซิงโครนัสจะต้องใช้สัญญาณนาฬิกาเพื่อกำหนดจังหวะในการถ่ายทอดข้อมูลร่วมกัน และต้องกำหนดสถานะภาพของอุปกรณ์ในระบบอย่างชัดเจน เนื่องจากการคำนวณเวลาการรับส่งข้อมูลทำได้ง่ายกว่าการส่งข้อมูลแบบแอสิงโครนัส เมื่อผู้ผลิตได้นำไปใช้จริงแล้ว การคำนวณเวลาการรับส่งข้อมูลทำได้ง่ายกว่าการส่งข้อมูลแบบแอสิงโครนัส

ไม่ว่ากรณีใดๆ ทั้งสิ้น อีกทั้งห้ามมิให้ดัดแปลงเนื้อหา และต้องอ้างอิงถึงเจ้าของเอกสารทุกครั้งที่มีการนำไปใช้

การเชื่อมต่อแบบ SPI สามารถต่อพ่วงอุปกรณ์ได้เป็นจำนวนมาก โดยต้องมีการกำหนดตัวควบคุมหลักเป็นอุปกรณ์ตัวแม่หรือมาสเตอร์ (master) และอุปกรณ์ที่นำมาต่อพ่วงในระบบเป็นอุปกรณ์ลูกหรือสเลฟ (slave) ดังแสดงรูปแบบ SPI อย่างง่ายในรูปที่ 5.2



รูปที่ 5.1 รูปแบบของการเชื่อมต่อของ SPI อย่างง่าย

อุปกรณ์ตัวแม่หรือมาสเตอร์โดยส่วนใหญ่จะเป็น ไมโครคอนโทรลเลอร์ และอุปกรณ์ตัวลูกหรือสเลฟ มักเป็นไอซีที่ทำหน้าที่เฉพาะพิเศษ เช่น หน่วยความจำ ไอซีขยายพอร์ต หรือ UART เป็นต้น แต่ด้วยการใช้ความสามารถของ SPI อาจสร้างโครงข่ายระบบควบคุมแบบมัลติโปรเซสเซอร์ได้ โดยทำการเชื่อมต่อไมโครคอนโทรลเลอร์หลายตัวเข้าด้วยกันโดยผ่านทางขาเชื่อมต่อของระบบ SPI นั่นหมายความว่า อุปกรณ์ตัวลูกหรือสเลฟนั้นก็คือ ไมโครคอนโทรลเลอร์หรือไมโครโปรเซสเซอร์อีกชุดหนึ่งหรืออีกหลายๆ ชุดในกรณีต่อพ่วงกันมากกว่า 2 ตัว

นอกเหนือไปจากการใช้ SPI ในการติดต่อสื่อสารข้อมูลแบบซิงโครนัสแล้ว ในไมโครคอนโทรลเลอร์อนุกรม AT89Sxx ยังใช้ความสามารถของส่วน SPI ในการเขียนข้อมูลลงในหน่วยความจำโปรแกรมภายในตัวชิปด้วย จึงทำให้กระบวนการที่เรียกว่า การโปรแกรมหน่วยความจำโปรแกรมในระบบหรือในวงจร (In-System Programming : ISP) ทำให้สามารถแก้ไขหน่วยความจำโปรแกรมได้โดยไม่ต้องถอดตัวไมโครคอนโทรลเลอร์ออกจากระบบ เพียงต่อสายเข้าที่พอร์ต SPI คือขา SS, MOSI, MISO และ SCK (ซึ่งก็คือขา P1.4-P1.7) แล้วทำการรันซอฟต์แวร์ที่เขียนขึ้นเพื่อการโปรแกรมในระบบ ก็จะสามารถแก้ไขหน่วยความจำโปรแกรมได้แล้ว ซอฟต์แวร์ที่ใช้ในการเขียนข้อมูลลงหน่วยความจำโปรแกรมภายในตัวชิปนี้ ได้แก่

- SXA51 เป็นตัว Compile ไฟล์นามสกุล ASM ที่เขียนด้วยโปรแกรม Editor ต่าง ๆ ให้เป็นไฟล์นามสกุล HEX
- PonyProg - Serial Device Programmer Version 1.17h เป็นโปรแกรมที่ใช้ในการทำ ให้ไฟล์นามสกุล HEX ที่ได้จากการ Compile จากโปรแกรม SXA51 เป็นไฟล์นาม

เอกสารนี้เป็นเอกสารที่สงวนไว้สำหรับการใช้งานเพื่อการศึกษาเท่านั้น ไม่อนุญาตให้นำไปใช้ประโยชน์ด้านการค้า ไม่ว่ากรณีใดๆ ทั้งสิ้น อีกทั้งห้ามมิให้ดัดแปลงเนื้อหา และต้องอ้างอิงถึงเจ้าของเอกสารทุกครั้งที่มีการนำไปใช้

สกุล HEX ในรูปแบบบน Windows สามารถดาวน์โหลดได้ที่

<http://www.LancOS.com>

- Atmel AVR ISP Version 2.65 เป็นโปรแกรมที่ใช้ในการเขียนข้อมูลลงในหน่วยความจำโปรแกรมภายในตัวชิปไมโครคอนโทรลเลอร์ โดยใช้ไฟล์นามสกุล HEX จากโปรแกรม PonyProg สามารถดาวน์โหลดโปรแกรมได้ที่ <http://www.atmel.com/>

วิธีการโปรแกรมแบบนี้จะช่วยลดต้นทุนในเรื่องของค่าเครื่องโปรแกรมเวลาในการปรับปรุง และแก้ไขหน่วยความจำโปรแกรมภายในไมโครคอนโทรลเลอร์ เพราะเพียงแค่ต่อสายเข้าไปเท่านั้น ไม่ต้องถอดฝาเครื่องหรือส่วนห่อหุ้มตัวชิปออก เพื่อนำตัวชิปออกมาโปรแกรมภายนอก ทำให้ลดค่าใช้จ่ายในการนำเครื่องหรือชิ้นงานกลับมาซ่อมบำรุง เพียงเพื่อแก้ไขข้อมูลภายในหน่วยความจำโปรแกรมของไมโครคอนโทรลเลอร์

5.2 การจัดขาของไมโครคอนโทรลเลอร์ MCS-51

ไมโครคอนโทรลเลอร์ MCS-51 ทุกเบอร์จะมีขาใช้งานพื้นฐานเหมือนกันดังแสดงในรูปที่ 5.1 โดยมีรายละเอียดขั้นต้น ดังนี้

ขา Vcc ใช้สำหรับต่อไฟเลี้ยง +5 V

ขา GND เป็นขากาวด์ สำหรับต่อกับกราวด์ของระบบ

ขาพอร์ต 0 (P0.0-P0.7) มี 8 ขา แต่ละขาสามารถกำหนดให้เป็นได้ทั้งอินพุตและเอาต์พุตสำหรับใช้งานทั่วไป ถ้าหากต้องการกำหนดให้ขาพอร์ต 0 ขาใดขาหนึ่งเป็นอินพุตสามารถทำได้โดยการเขียนข้อมูล “1” ไปยังแต่ละบิตของพอร์ตที่ต้องการติดต่อกับ ส่งผลให้ขาพอร์ตนั้นมีสถานะปล่อยลอย (float) จึงมีอินพุตอิมพีแดนซ์สูง สามารถใช้งานเป็นขาพอร์ตอินพุตได้ นอกจากนี้ขาพอร์ตนี้ยังถูกใช้งานในการติดต่อกับขาแอดเดรสไบต์ต่ำของหน่วยความจำภายนอก (A0-A7) และขาข้อมูล (D0-D7) โดยใช้กระบวนการมัลติเพล็กซ์เข้าช่วย เพื่อสลับการทำงานให้เป็นได้ทั้งขาติดต่อกับแอดเดรสและขาข้อมูล

ขาพอร์ต 1 (P1.0-P1.7) มี 8 ขา แต่ละขาสามารถกำหนดให้เป็นได้ทั้งอินพุตและเอาต์พุตสำหรับใช้งานทั่วไป ถ้าหากต้องการกำหนดให้ขาพอร์ต 1 ขาใดขาหนึ่งเป็นอินพุตสามารถทำได้โดยการเขียนข้อมูล “1” ไปยังแต่ละบิตของพอร์ตที่ต้องการติดต่อกับ นอกจากนี้ในอนุกรม AT89Sxx จะใช้ขา P1.0 เป็นขาอินพุตสำหรับนับค่าของไทมเมอร์ 2 และ P1.1 เป็นขาอินพุตทริกเกอร์ของไทมเมอร์ 2 ในขณะที่ขา P1.4 ถึง P1.7 เป็นขาสำหรับเชื่อมต่อแบบ SPI เพื่อทำการโปรแกรมข้อมูลในระบบ

P1.4 ขา \overline{SS} (Slave Select) เป็นขาเลือกการติดต่อ ในกรณีที่ไมโครคอนโทรลเลอร์เป็นเอกสารนี้เป็นเอกสารที่สงวนไว้สำหรับการใช้งานเพื่อการศึกษาเท่านั้น เมื่ออนุญาตให้นำไปใช้ประโยชน์ด้านการค้าไม่ว่ากรณีใดๆ ทั้งสิ้น อีกทั้งห้ามมิให้ดัดแปลงเนื้อหา และต้องอ้างอิงถึงเจ้าของเอกสารทุกครั้งที่มีการนำไปใช้

อุปกรณ์สเลฟในระบบการติดต่อแบบ SPI

P1.5 ขา MOSI (Master data Output, Slave data Input) ในการติดต่อกับพอร์ต SPI

P1.6 ขา MISO (Master data Input, Slave data Output) ในการติดต่อกับพอร์ต SPI

P1.7 ขา SCK (Master clock output) เป็นขาสัญญาณนาฬิกาของการติดต่อกับพอร์ต SPI

ขาพอร์ต 2 (P2.0-P2.7) มี 8 ขา แต่ละขาสามารถกำหนดให้เป็นได้ทั้งอินพุตและเอาต์พุต สำหรับใช้งานทั่วไป ถ้าหากต้องการกำหนดให้ขาพอร์ต 2 ขาใดขาหนึ่งเป็นอินพุตสามารถทำได้ โดยการเขียนข้อมูล “1” ไปยังแต่ละบิตของพอร์ตที่ต้องการติดต่อด้วย ส่งผลให้ขาพอร์ตนั้นมีสถานะปล่อยลอย (float) จึงมีอินพุตอิมพีแดนซ์สูง สามารถใช้งานเป็นขาพอร์ตอินพุตได้ นอกจากนี้ขาพอร์ตนี้ยังถูกใช้งานในการติดต่อกับขาแอดเดรสไบต์สูงของหน่วยความจำภายนอก (A8-A15)

ขาพอร์ต 3 (P3.0-P3.7) มี 8 ขา แต่ละขาสามารถกำหนดให้เป็นได้ทั้งอินพุตและเอาต์พุต สำหรับใช้งานทั่วไป ถ้าหากต้องการกำหนดให้ขาพอร์ต 3 ขาใดขาหนึ่งเป็นอินพุตสามารถทำได้ โดยการเขียนข้อมูล “1” ไปยังแต่ละบิตของพอร์ตที่ต้องการติดต่อด้วย ส่งผลให้ขาพอร์ตนั้นมีสถานะปล่อยลอย (float) จึงมีอินพุตอิมพีแดนซ์สูง สามารถใช้งานเป็นขาพอร์ตอินพุตได้ นอกจากนี้ขาพอร์ต 3 ยังเป็นขาที่มีหน้าที่การใช้งานพิเศษ ดังมีรายละเอียดข้างต้นต่อไปนี้

P3.0 ใช้เป็นขาอินพุตสำหรับรับข้อมูลจากการสื่อสารแบบอนุกรม หรือขา RxD

P3.1 ใช้เป็นขาอินพุตสำหรับรับข้อมูลจากการสื่อสารแบบอนุกรม หรือขา TxD

P3.2 ใช้เป็นขาอินพุตสำหรับรับสัญญาณอินเทอร์รัปต์จากภายนอกช่องที่ 0 หรือขา $\overline{\text{INT0}}$

P3.3 ใช้เป็นขาอินพุตสำหรับรับสัญญาณอินเทอร์รัปต์จากภายนอกช่องที่ 1 หรือขา $\overline{\text{INT1}}$

P3.4 ใช้เป็นขาอินพุตสำหรับรับสัญญาณไทมเมอร์จากภายนอกช่องที่ 0 หรือขา T0

P3.5 ใช้เป็นขาอินพุตสำหรับรับสัญญาณไทมเมอร์จากภายนอกช่องที่ 1 หรือขา T1

P3.6 ใช้เป็นขาสัญญาณ $\overline{\text{WR}}$ ในกรณีที่ใช้เชื่อมต่อกับหน่วยความจำภายนอก

P3.7 ใช้เป็นขาสัญญาณ $\overline{\text{RD}}$ ในกรณีที่ใช้เชื่อมต่อกับหน่วยความจำภายนอก

ขารีเซ็ต (Reset) ใช้ในการรีเซ็ตการทำงานของไมโครคอนโทรลเลอร์ โดยในการป้อนสัญญาณเพื่อรีเซ็ต สถานะที่ขานี้ต้องอยู่ในระดับรีเซ็ตอย่างน้อย 2 เมกซีนาไซเกิล โดยที่วงจรถูกนำเม็คสัญญาณนาฬิกายังคงทำงานต่อเนื่องไปอย่างเป็นปกติ

ขา ALE/PROG (Address Latch Enable/Program pulse input) เป็นขาที่ใช้ในการควบคุมการแลตช์ของขาพอร์ต 0 เมื่อมีการใช้งานหน่วยความจำภายนอก นอกจากนี้ขานี้ยังใช้เป็นขาสำหรับรับพัลส์ของการโปรแกรมสำหรับโปรแกรมข้อมูลลงในไมโครคอนโทรลเลอร์ MCS-51

ในรุ่นที่มีหน่วยความจำโปรแกรมแบบอีอีพรอม

เอกสารนี้เป็นเอกสารที่สงวนไว้สำหรับการใช้งานเพื่อการศึกษาเท่านั้น ไม่อนุญาตให้นำไปใช้ประโยชน์ด้านการค้า ไม่ว่ากรณีใดๆ ทั้งสิ้น อีกทั้งห้ามมิให้ดัดแปลงเนื้อหา และต้องอ้างอิงถึงเจ้าของเอกสารทุกครั้งที่มีการนำไปใช้

ขา PSEN (Program Store Enable) ขานี้ใช้ในการส่งสัญญาณเพื่อร้องขอติดต่อกับหน่วยความจำโปรแกรมภายนอก เมื่อไมโครคอนโทรลเลอร์ต้องการอ่านข้อมูลจากหน่วยความจำโปรแกรมภายนอก ตัวไมโครคอนโทรลเลอร์จะส่งสัญญาณออกมาที่ขานี้ 2 ครั้งในแต่ละเมมโมรี่ไบต์ แต่ถ้าวางติดต่อกับหน่วยความจำข้อมูลภายนอก ขานี้จะไม่มีสัญญาณใดๆ ออกมา

ขา EA / Vpp (External Access enable/Programming voltage input) ใช้สำหรับเลือกการติดต่อกับหน่วยความจำโปรแกรมจากภายนอกหรือภายในตัวไมโครคอนโทรลเลอร์ ถ้าหากขานี้เป็น “0” เป็นการเลือกให้ไมโครคอนโทรลเลอร์ติดต่อกับหน่วยความจำโปรแกรมภายนอก แต่ถ้าหากขานี้เป็น “1” เป็นการเลือกให้ไมโครคอนโทรลเลอร์ติดต่อกับหน่วยความจำภายในตัวไมโครคอนโทรลเลอร์ นอกจากนี้ ขานี้ยังใช้เป็นขาอินพุตสำหรับรับแรงดันไฟสูงสำหรับการโปรแกรมหน่วยความจำภายในไมโครคอนโทรลเลอร์ สำหรับไมโครคอนโทรลเลอร์ MCS-51 แบบแฟลช ต้องการแรงดันสำหรับการโปรแกรม +12 V

ขา XTAL1 และ XTAL2 เป็นขาสำหรับต่อคริสตัลเพื่อสร้างสัญญาณนาฬิกาในการกำหนดจังหวะการทำงานของไมโครคอนโทรลเลอร์

Pin Diagram

(T2)	P1.0	1	40	VCC
(T2 EX)	P1.1	2	39	PC.0 (AD0)
	P1.2	3	38	PC.1 (AD1)
	P1.3	4	37	PC.2 (AD2)
(S0)	P1.4	5	36	PC.3 (AD3)
(MOSI)	P1.5	6	35	PC.4 (AD4)
(MISO)	P1.6	7	34	PC.5 (AD5)
(SCK)	P1.7	8	33	PC.6 (AD6)
RST	9	32	PC.7 (AD7)	
(PXD)	P3.0	10	21	EA/VPP
(TXD)	P3.1	11	20	ALE/PROG
(INT0)	P3.2	12	19	PWR
(INT1)	P3.3	13	18	P2.7 (A15)
(T0)	P3.4	14	27	P2.6 (A14)
(T1)	P3.5	15	26	P2.5 (A13)
(WR)	P3.6	16	25	P2.4 (A12)
(RD)	P3.7	17	24	P2.3 (A11)
XTAL2	18	23	P2.2 (A10)	
XTAL1	19	22	P2.1 (A9)	
GND	20	21	P2.0 (A8)	

รูปที่ 5.2 การจัดขามาตรฐานของไมโครคอนโทรลเลอร์ MCS-51

เอกสารนี้เป็นเอกสารที่สงวนไว้สำหรับการใช้งานเพื่อการศึกษาเท่านั้น ไม่อนุญาตให้นำไปใช้ประโยชน์ด้านการค้าไม่ว่ากรณีใดๆ ทั้งสิ้น อีกทั้งห้ามมิให้ดัดแปลงเนื้อหา และต้องอ้างอิงถึงเจ้าของเอกสารทุกครั้งที่มีการนำไปใช้

5.3 ไทเมอร์/เคาน์เตอร์ในไมโครคอนโทรลเลอร์ MCS-51

ไทเมอร์/เคาน์เตอร์ (Timer/Counter) เป็นอีกหนึ่งส่วนประกอบที่สำคัญของไมโครคอนโทรลเลอร์ เนื่องจากในการทำงานของไมโครคอนโทรลเลอร์จะต้องมีการเก็บและตรวจสอบค่าของเวลาและจำนวนของสัญญาณนาฬิกาอยู่ตลอดเวลา ทั้งนี้เพื่อประโยชน์ในการสร้างฐานเวลา สร้างสัญญาณพัลส์ เปรียบเทียบค่าเวลา หรือเปรียบเทียบค่าของการนับ รวมไปถึงการกำหนดอัตราเร็วในการสื่อสารข้อมูลของพอร์ตอนุกรมด้วย

ในไมโครคอนโทรลเลอร์ MCS-51 แบบแฟลชเบรอร์ AT89C51 มีวงจรไทเมอร์/เคาน์เตอร์ขนาด 16 บิต 2 ตัว โดยค่าของวงจรไทเมอร์/เคาน์เตอร์นี้จะเก็บไว้ในรีจิสเตอร์ขนาด 16 บิตที่ชื่อ ไทเมอร์ 0 (Timer0) และ ไทเมอร์ 1 (Timer1) เรียกสั้น ๆ ว่า T0 และ T1 ในไมโครคอนโทรลเลอร์ MCS-51 แบบแฟลชเบรอร์ AT89C52 และอนุกรม AT89Sxx จะมีไทเมอร์/เคาน์เตอร์ถึง 3 ตัว คือ ไทเมอร์ 2 (Timer2 : T2) เพิ่มเติมมา โดยรีจิสเตอร์ไทเมอร์ /เคาน์เตอร์ทั้งสามตัวสามารถกำหนดให้ทำงานเป็นตัวตั้งเวลาหรือไทเมอร์และตัวนับหรือเคาน์เตอร์ได้อย่างอิสระต่อกัน การนับค่าของไทเมอร์/เคาน์เตอร์ในไมโครคอนโทรลเลอร์ MCS-51 จะเป็นการนับขึ้นหรือเพิ่มค่าเพียงทางเดียว

5.3.1 การทำงานเป็นไทเมอร์

เมื่อกำหนดให้ทำงานเป็นตัวตั้งเวลาหรือ ไทเมอร์ ค่าของรีจิสเตอร์จะเพิ่มขึ้นในทุก ๆ เมกซ์ซินไซเกิล ดังนั้นเมื่อทำงานเป็นไทเมอร์ รีจิสเตอร์จะทำการนับค่าของเมกซ์ซินไซเกิลนั่นเอง และเนื่องจากเมกซ์ซินไซเกิลประกอบด้วยคาบเวลาของวงจรกำเนิดสัญญาณนาฬิกา 12 คาบเวลา ดังนั้นอัตราในการนับของรีจิสเตอร์จึงเท่ากับ $1/12$ ของความถี่สัญญาณนาฬิกา

5.3.2 การทำงานเป็นเคาน์เตอร์

เมื่อทำงานเป็นตัวนับหรือเคาน์เตอร์ ค่าของรีจิสเตอร์จะเพิ่มขึ้นก็ต่อเมื่อมีการเปลี่ยนแปลงของระดับลอจิกจาก "1" เป็น "0" เกิดขึ้นที่ขาอินพุททางฮาร์ดแวร์ของวงจรไทเมอร์/เคาน์เตอร์ ซึ่งก็คือ ขาT0 (P3.4), ขาT1 (P3.5) และขาT2 (P1.0) ของไมโครคอนโทรลเลอร์ MCS-51 แบบแฟลชเบรอร์ AT89C52 และอนุกรม AT89Sxx โดยจะมีการสุ่มรับสัญญาณจากขาอินพุทในทุก ๆ คาบเวลาที่ 2 ของสแตทที่ 5 (S5P2) ในแต่ละเมกซ์ซินไซเกิล

เมื่อสัญญาณอินพุทเปลี่ยนแปลงจาก "1" เป็น "0" เป็นเวลาหนึ่งไซเกิล ในไซเกิลต่อมาค่าของการนับจะเพิ่มขึ้นหนึ่งค่า และจะไปปรากฏในรีจิสเตอร์ภายในคาบเวลาที่ 1 ของสแตทที่ 3 (S3P1) ของเมกซ์ซินไซเกิลต่อไปหลังจากที่ตรวจจับพบการเปลี่ยนแปลงที่ขาไทเมอร์อินพุทแล้ว เมื่อเป็นเช่นนี้ในกระบวนการตรวจจับการเปลี่ยนแปลงของสัญญาณอินพุทที่ขาไทเมอร์จะต้องใช้ 2

เมกซ์ซินไซเกิล อัตราการนับของเคาน์เตอร์จึงเท่ากับ $1/24$ ของความถี่สัญญาณนาฬิกา ดังนั้น ความถี่เอกสารนี้เป็นเอกสารที่สงวนไว้สำหรับการใช้งานเพื่อการศึกษาเท่านั้น เมื่อผู้ดูแลเนื้อหาไปใช้ประโยชน์ในการค้าไม่ว่ากรณีใดๆ ทั้งสิ้น อีกทั้งห้ามมิให้ดัดแปลงเนื้อหา และต้องอ้างอิงถึงเจ้าของเอกสารทุกครั้งที่มีการนำไปใช้

สูงสุดของสัญญาณอินพุตที่ไทมเมอร์/เคาน์เตอร์ภายในไมโครคอนโทรลเลอร์ MCS-51 แบบแฟลช สามารถตรวจจับได้จึงเท่ากับความถี่ของสัญญาณนาฬิกาหารด้วย 24 - ยกตัวอย่าง ในไมโครคอนโทรลเลอร์ MCS-51 แบบแฟลชเบอร์ AT89S8252 สามารถใช้สัญญาณนาฬิกาได้สูงสุด 24 MHz ดังนั้นความถี่สูงสุดของสัญญาณอินพุตที่ไทมเมอร์/เคาน์เตอร์สามารถตรวจจับได้คือ 1 MHz

5.3.3 รีจิสเตอร์ที่เกี่ยวข้องกับการทำงานของไทมเมอร์/เคาน์เตอร์ 0 และ 1

ในการทำงานของไทมเมอร์/เคาน์เตอร์ 0 และ 1 ในไมโครคอนโทรลเลอร์ MCS-51 แบบแฟลชมีรีจิสเตอร์ที่ต้องเกี่ยวข้องเป็นพื้นฐานอยู่ 6 ตัว ดังมีรายละเอียดต่อไปนี้

• รีจิสเตอร์ไทมเมอร์

มีด้วยกัน 4 ตัวคือ TLO มีแอดเดรสอยู่ที่ 8AH, TH0 มีแอดเดรสอยู่ที่ SCH, TL1 มีแอดเดรสอยู่ที่ SBH และ TH1 มีแอดเดรสอยู่ที่ SDH รีจิสเตอร์ทั้ง 4 ตัวจะอยู่ในพื้นที่ของรีจิสเตอร์ฟังก์ชันพิเศษ หรือ SFR รีจิสเตอร์แต่ละตัวมีขนาด 8 บิต แต่ในการใช้งานโดยทั่วไปมักใช้ร่วมกันโดยจัดเป็นคู่คือ TLO กับ TH0 รวมกันเป็นรีจิสเตอร์ Timer 0 ขนาด 16 บิต และ TL1 กับ TH1 รวมกันเป็นรีจิสเตอร์ Timer 1 ขนาด 16 บิต โดยใน TLO และ TL1 จะเก็บข้อมูล 8 บิตต่าง ส่วน TH0 และ TH1 เก็บข้อมูล 8 บิตบน รีจิสเตอร์ไทมเมอร์ทั้ง 2 คู่เมื่อนำมาใช้งานร่วมกันจะสามารถเก็บค่าของการนับได้สูงสุด 65,536 ค่าหรือ FFFFH เมื่อนับถึงค่านี้แล้วก็จะวนไปเริ่มนับ 0000H ใหม่ และเมื่อเกิดการนับรอบใหม่ จะมีการเซตบิต TFO หรือ TF1 ในรีจิสเตอร์ TCON ที่ใช้ควบคุมการทำงานของไทมเมอร์ เพื่อแจ้งให้ทราบว่าเกิดการนับเกินค่าสูงสุดแล้ว การเซตบิต TFO หรือ TF1 ขึ้นอยู่กับว่าเลือกใช้งานรีจิสเตอร์ไทมเมอร์ตัวใดอยู่

• รีจิสเตอร์ควบคุมการทำงานของไทมเมอร์/เคาน์เตอร์ หรือ

TCON (Timer/Counter Control Register)

เป็นรีจิสเตอร์ขนาด 8 บิต มีแอดเดรสอยู่ที่ 88H ในพื้นที่ของรีจิสเตอร์ SFR สามารถเข้าถึงได้ในระดับบิต มีรายละเอียดการทำงานดังนี้

บิต 7 บิต 6 บิต 5 บิต 4 บิต 3 บิต 2 บิต 1 บิต 0

TF1	TR1	TF0	TR0	IE1	IT1	IE0	IT0
-----	-----	-----	-----	-----	-----	-----	-----

TF1 (Timer 1 overflow flag) : เซตด้วยกระบวนการทางฮาร์ดแวร์ เมื่อค่าของรีจิสเตอร์ Timer 1 เกิดการนับเกินหรือเกิดโอเวอร์โฟลว การเคลียร์บิตนี้ทำได้ด้วยกระบวนการทางฮาร์ดแวร์เช่นกัน โดยบิตนี้จะเคลียร์เมื่อมีการอินเทอร์รัปต์เกิดขึ้น

เอกสารนี้เป็นเอกสารที่สงวนไว้สำหรับการใช้งานเพื่อการศึกษาเท่านั้น ไม่อนุญาตให้นำไปใช้ประโยชน์ด้านการค้าไม่ว่ากรณีใดๆ ทั้งสิ้น อีกทั้งห้ามมิให้ดัดแปลงเนื้อหา และต้องอ้างอิงถึงเจ้าของเอกสารทุกครั้งที่มีการนำไปใช้

TR1 (Timer 1 run control bit) : ใช้ในการเปิดปิดการทำงานของไทมเมอร์ 1 (อินาเบิลหรือ ดิสเอเบิล) ทำการเซตและเคลียร์ด้วยกระบวนการทางซอฟต์แวร์ ถ้าต้องการให้ไทมเมอร์ 1 ทำงาน ต้องเซตบิตนี้ให้เป็น "1"

TF0 (Timer 0 overflow flag) : เซตด้วยกระบวนการทางฮาร์ดแวร์ เมื่อค่าของรีจิสเตอร์ Timer 0 เกิดการนับเกินหรือเกิดโอเวอร์โฟลว การเคลียร์บิตนี้ทำได้ด้วยกระบวนการทางฮาร์ดแวร์ เช่นกัน โดยบิตนี้จะเคลียร์เมื่อมีการอินเตอร์รัปต์เกิดขึ้น

TR0 (Timer 0 run control bit) : ใช้ในการเปิดปิดการทำงานของไทมเมอร์ 0 (อินาเบิลหรือ ดิสเอเบิล) ทำการเซตและเคลียร์ด้วยกระบวนการทางซอฟต์แวร์ ถ้าต้องการให้ไทมเมอร์ 0 ทำงาน ต้องเซตบิตนี้ให้เป็น "1"

IE1 (External Interrupt 1 edge flag) : บิตนี้จะใช้ในกระบวนการอินเตอร์รัปต์ สามารถเซตได้ด้วยกระบวนการทางฮาร์ดแวร์ เมื่อสามารถตรวจจับขอบขาของสัญญาณอินเตอร์รัปต์จากภายนอกที่ขาอินพุตอินเตอร์รัปต์ 1 (INT1) ได้ และจะทำการเคลียร์เมื่อมีการบริการอินเตอร์รัปต์เกิดขึ้น

IT1 (Interrupt 1 type control bit) : บิตนี้จะใช้ในกระบวนการอินเตอร์รัปต์ โดยใช้ในการเลือกลักษณะของสัญญาณอินเตอร์รัปต์จากภายนอกที่ต้องการให้ทำการตอบสนองสำหรับขาอินพุตอินเตอร์รัปต์ 1 (INT1) การเซตและเคลียร์ทำได้ด้วยกระบวนการซอฟต์แวร์

"0" เลือกขอบขาลงของสัญญาณ (falling edge)

"1" เลือกระดับลอจิกต่ำ (low level triggered)

IE0 (External Interrupt 0 edge flag) : บิตนี้จะใช้ในกระบวนการอินเตอร์รัปต์ สามารถเซตได้ด้วยกระบวนการทางฮาร์ดแวร์ เมื่อสามารถตรวจจับขอบขาของสัญญาณอินเตอร์รัปต์จากภายนอกที่ขาอินพุตอินเตอร์รัปต์ 0 (INT0) ได้ และจะทำการเคลียร์เมื่อมีการบริการอินเตอร์รัปต์เกิดขึ้น

IT0 (Interrupt 0 type control bit) : บิตนี้จะใช้ในกระบวนการอินเตอร์รัปต์ โดยใช้ในการเลือกลักษณะของสัญญาณอินเตอร์รัปต์จากภายนอกที่ต้องการให้ทำการตอบสนองสำหรับขาอินพุตอินเตอร์รัปต์ 0 (INT0) การเซตและเคลียร์ทำได้ด้วยกระบวนการซอฟต์แวร์

"0" เลือกขอบขาลงของสัญญาณ (falling edge)

"1" เลือกระดับลอจิกต่ำ (low level triggered)

• **รีจิสเตอร์เลือกโหมดการทำงานของไทเมอร์/เคาน์เตอร์หรือ**

TMOD (Timer/Counter Mode Control Register)

เป็นรีจิสเตอร์ขนาด 8 บิต มีแอดเดรสอยู่ที่ 89H ในพื้นที่ของรีจิสเตอร์ SFR ไม่สามารถเข้าถึงได้ในระดับบิต แบ่งการทำงานออกเป็น 2 ส่วนคือ 4 บิตล่างใช้ในการเลือกโหมดการทำงานของไทเมอร์ 0 และ 4 บิตบนใช้ในการเลือกโหมดการทำงานของไทเมอร์ 1 ดังนั้นในการอธิบายการทำงานจะขออธิบายเพียงส่วนเดียวดังนี้

บิต 7	บิต 6	บิต 5	บิต 4	บิต 3	บิต 2	บิต 1	บิต 0
GATE	C/T	M1	M0	GATE	C/T	IE0	IT0
ไทเมอร์ 1				ไทเมอร์ 0			

GATE : ใช้เลือกลักษณะการควบคุมการทำงานของไทเมอร์/เคาน์เตอร์

"0" ไทเมอร์/เคาน์เตอร์จะทำงานเมื่อบิต TRx ในรีจิสเตอร์ TCON เป็น "1" เรียกการควบคุมแบบนี้ว่า การควบคุมทางซอฟต์แวร์

"1" ไทเมอร์/เคาน์เตอร์จะทำงานเมื่อบิต TRx ในรีจิสเตอร์ TCON เป็น "1" และสถานะลอจิกที่ขาอินพุตอินเทอร์รัพท์ INT0 และ INT1 เป็น "1" เรียกการควบคุมแบบนี้ว่า การควบคุมทางฮาร์ดแวร์

C/T (Timer or Counter selector) : ใช้เลือกลักษณะการทำงานของไทเมอร์/เคาน์เตอร์

"0" เลือกให้ทำงานเป็นไทเมอร์ โดยใช้สัญญาณอินพุตจากสัญญาณนาฬิกาภายในไมโครคอนโทรลเลอร์

"1" เลือกให้ทำงานเป็นเคาน์เตอร์ โดยรับสัญญาณอินพุตจากภายนอกที่เข้ามาทางขา T0 และ T1

M1, M0 (Mode selector bit) : ใช้เลือกโหมดการทำงานของไทเมอร์/เคาน์เตอร์

"00" เลือกให้ทำงานในโหมดไทเมอร์/เคาน์เตอร์ 13 บิต

"01" เลือกให้ทำงานในโหมดไทเมอร์/เคาน์เตอร์ 16 บิต

"10" เลือกให้ทำงานในโหมดไทเมอร์/เคาน์เตอร์ขนาด 8 บิตแบบตั้งค่าอัตโนมัติ

"11" สำหรับไทเมอร์ 0 เลือกให้ทำงานในโหมดไทเมอร์/เคาน์เตอร์แยกส่วน โดยแยกออกเป็นไทเมอร์/เคาน์เตอร์ 8 บิต 2 ตัว รีจิสเตอร์ TLO จะได้รับการควบคุมการเปิดปิดจากบิต TR0 ในรีจิสเตอร์ TCON และรีจิสเตอร์ TH0 ซึ่งเป็นไทเมอร์/เคาน์เตอร์ 8 บิตอีกตัวหนึ่ง จะได้รับการควบคุมจากบิต TR1 ในรีจิสเตอร์ TCON

เอกสารนี้เป็นเอกสารที่สงวนลิขสิทธิ์ สำหรับไทเมอร์ 1 เป็นการสั่งให้ไทเมอร์/เคาน์เตอร์ 1 หยุดทำงาน (ดีสเอเบิล) ไม่ว่าจะกรณีใดๆ ทั้งสิ้น อีกทั้งห้ามมิให้ดัดแปลงเนื้อหา และต้องอ้างอิงถึงเจ้าของเอกสารทุกครั้งที่มีการนำไปใช้

5.3.4 โหมดการทำงานของไทเมอร์/เคาน์เตอร์ 0 และ 1

ไทเมอร์ 0 และ ไทเมอร์ 1 สามารถเลือกโหมดการทำงานได้ 4 โหมดคือ โหมด 0 : ไทเมอร์/เคาน์เตอร์ 13 บิต (13 bit timer/counter), โหมด 1 : ไทเมอร์/เคาน์เตอร์ 16 บิต (16 bit timer/counter), โหมด 2 : ตั้งค่าอัตโนมัติขนาด 8 บิต (8 bit auto-reload timer/counter) และโหมด 3 : ไทเมอร์/เคาน์เตอร์แยกส่วน (split timer/counter) หรืออาจเรียกว่าโหมด ไทเมอร์/เคาน์เตอร์ 8 บิตก็ได้ ในขณะที่ไทเมอร์ 2 มีโหมดการทำงาน 3 โหมดคือ โหมดแคปเจอร์หรือตรวจจับสัญญาณ (capture), โหมดตั้งค่าอัตโนมัติ (auto-reload) และโหมดกำเนิดอัตราเร็วในการสื่อสารข้อมูลอนุกรมหรืออัตราบอด (baud rate generator)

เนื่องจากในภาคการศึกษานี้ จะใช้เพียง ไทเมอร์ 0 เป็นเคาน์เตอร์ และไทเมอร์ 1 เป็นไทเมอร์ จะไม่ได้ใช้ไทเมอร์ 2 ดังนั้นจะอธิบายการทำงานในแต่ละโหมดของไทเมอร์ 0 และไทเมอร์ 1 เท่านั้น จะไม่อธิบายโหมดการทำงานของไทเมอร์ 2

การเลือกโหมดการทำงานของไทเมอร์/เคาน์เตอร์ 0 และ 1 สามารถกระทำได้ที่รีจิสเตอร์ TCON และ TMOD ร่วมกัน โดยรีจิสเตอร์ TCON ใช้ในการอินิทิเลตหรือคิสเอเบิลไทเมอร์/เคาน์เตอร์ ส่วน TMOD ใช้ในการเลือกโหมดและลักษณะการทำงาน และในการอธิบายโหมดการทำงานนี้จะใช้ไทเมอร์/เคาน์เตอร์ 1 ในการอธิบาย ซึ่งโหมดการทำงานจะมีลักษณะเหมือนกับไทเมอร์/เคาน์เตอร์ 0 ทุกประการ เพียงแต่เปลี่ยนรีจิสเตอร์และขาสัญญาณที่เกี่ยวข้องให้เป็นของไทเมอร์/เคาน์เตอร์ 0

1) การทำงานในโหมด 0 : ไทเมอร์/เคาน์เตอร์ 13 บิต

การทำงานในโหมดนี้จะเป็นการกำหนดให้ใช้งานรีจิสเตอร์ TL1 เพียง 5 บิต และ TH1 8 บิต โดย TL1 จะทำหน้าที่คล้ายเป็นปริสเกลเลอร์หาร 32 สัญญาณอินพุตสำหรับการนับจะเลือกจากสัญญาณนาฬิกาภายในหรือภายนอกผ่านทางขา T1 ขึ้นอยู่กับการควบคุมของบิต C/T และ GATE ในรีจิสเตอร์ TMOD, บิต TR1 ในรีจิสเตอร์ TCON และสถานะของลอจิกที่ขาอินพุต INT1

เมื่อ TL1 นับครบ 32 คือจาก 0-31 ก็จะส่งสัญญาณไปยัง TH1 เพื่อทำการเพิ่มค่า ดังนั้นในโหมดนี้ค่าของการนับจะมีขนาด 13 บิต เมื่อทำการนับครบรอบ ก็จะทำการเซตบิต TF1 ในรีจิสเตอร์ TCON

2) การทำงานในโหมด 1 : ไทเมอร์/เคาน์เตอร์ 16 บิต

การทำงานในโหมดนี้จะคล้ายกับโหมด 0 แต่จะใช้งานรีจิสเตอร์ TL1 ครบ 8 บิต และ TH1 ครบ 8 บิต ดังนั้นในโหมดนี้ค่าของการนับจะมีขนาด 16 บิต คือ 0000H-FFFFH เมื่อทำการนับครบรอบ ค่าของการนับจะเปลี่ยนจาก FFFFH เป็น 0000H ก็จะทำการเซตบิต TF1 ในรีจิสเตอร์ TCON

เอกสารนี้เป็นเอกสารที่สงวนไว้สำหรับการใช้งานเพื่อการศึกษาเท่านั้น ไม่อนุญาตให้นำไปใช้ประโยชน์ด้านการค้า ไม่ว่ากรณีใดๆ ทั้งสิ้น อีกทั้งห้ามมิให้ดัดแปลงเนื้อหา และต้องอ้างอิงถึงเจ้าของเอกสารทุกครั้งที่มีการนำไปใช้

3) การทำงานในโหมด 2 : ไทเมอร์/แกนเตอร์ 8 บิตแบบตั้งค่าอัตโนมัติ

การทำงานในโหมดนี้จะแยกรีจิสเตอร์ไทเมอร์ออกเป็น 2 ตัว ตัวละ 8 บิต โดยรีจิสเตอร์ TL1 ทำหน้าที่เป็นตัวนับค่า ส่วน TH1 ใช้ในการเก็บค่าเริ่มต้นของการนับ เมื่อเริ่มต้นการทำงาน ค่าของรีจิสเตอร์ TH1 จะถูกส่งไปยังรีจิสเตอร์ TL1 ทำให้เมื่อเริ่มต้นการทำงานค่าของรีจิสเตอร์ TL1 และ TH1 จะเหมือนกัน เมื่อ TL1 นับถึง FFH และจะเริ่มต้นการนับรอบใหม่ จะทำการเซตบิต TF1 พร้อม ๆ กับทำการรับค่าการนับเริ่มต้นจาก TH1 ใหม่โดยอัตโนมัติ หรือเรียกกระบวนการนี้ว่า รีโหลด (reload) เพราะว่ามีการส่งค่าเริ่มต้นไปยัง TL1 แล้วก็ตาม ค่าของข้อมูลในรีจิสเตอร์ TH1 ก็ยังคงเป็นค่าเดิม ไม่มีการเปลี่ยนแปลง จนกว่าจะมีการกำหนดค่าใหม่ด้วยกระบวนการทางซอฟต์แวร์

4) การทำงานในโหมด 3 : ไทเมอร์/แกนเตอร์แยกตัวหรือไทเมอร์/แกนเตอร์ 8 บิต

ในโหมดนี้เป็นโหมดเดียวที่การทำงานของไทเมอร์ 0 และไทเมอร์ 1 ไม่เหมือนกัน ขออธิบายในส่วนของไทเมอร์ 1 ก่อน เมื่อเข้าสู่โหมดนี้ จะเป็นการสั่งให้ไทเมอร์/แกนเตอร์หยุดนับ ค่าของการนับก่อนหน้านี้จะถูกเก็บไว้ในรีจิสเตอร์ไทเมอร์ 1 มีลักษณะการทำงานเหมือนกับการคิเสอเบิล ไทเมอร์/แกนเตอร์ 1 ด้วยการเคลียร์บิต TF1 ในรีจิสเตอร์ TCON

ส่วนการทำงานของไทเมอร์ 0 ในโหมดนี้จะแยกรีจิสเตอร์ไทเมอร์ 0 ออกเป็น 2 ตัว ตัวละ 8 บิต คือรีจิสเตอร์ TL0 และ TH0 โดยแยกการทำงานออกจากกัน รีจิสเตอร์ TL0 สามารถเลือกการทำงานได้เหมือนกับไทเมอร์/แกนเตอร์ตามปกติ ส่วนรีจิสเตอร์ TH0 สามารถทำงานในโหมดไทเมอร์ได้เพียงอย่างเดียว กล่าวคือ สามารถรับสัญญาณอินพุตจากสัญญาณนาฬิกาภายในเพียงทางเดียวเท่านั้น แต่การแจ้งการนับเกินยังคงเหมือนเดิม หากแต่ TL0 แจ้งผ่านบิต TF0 ในขณะที่ TH0 จะแจ้งผ่านทางบิต TF1

5.4 อินเทอร์รัปต์ในไมโครคอนโทรลเลอร์ MCS-51

การอินเทอร์รัปต์ (Interrupt) เป็นชื่อเรียกกระบวนการที่เข้ามาขัดจังหวะการทำงานโดยปกติของไมโครคอนโทรลเลอร์ ซึ่งในไมโครคอนโทรลเลอร์ MCS-51 เมอร์ AT89S8252 สามารถตอบสนองการอินเทอร์รัปต์ได้จาก 6 แหล่งกำเนิด ประกอบด้วย การรับสัญญาณอินเทอร์รัปต์จากภายนอกผ่านทางขา $\overline{INT0}$ และ $\overline{INT1}$, สัญญาณอินเทอร์รัปต์จากไทเมอร์/คาน์เตอร์ T0, T1 และ T2 และสัญญาณอินเทอร์รัปต์จากพอร์ตอนุกรมภายในไมโครคอนโทรลเลอร์ ในขณะที่ไมโครคอนโทรลเลอร์

5.4.1 การจัดการอินเทอร์รัปต์

เมื่อมีการอินเทอร์รัปต์ในไมโครคอนโทรลเลอร์ MCS-51 เกิดขึ้น และมีการอีนาเบิ้ลการตอบสนองการอินเทอร์รัปต์ไว้ กระบวนการหลังจากนั้นซีพียูจะทำการกระโดดไปยังแอดเดรสในหน่วยความจำที่กำหนดไว้ เรียกตำแหน่งแอดเดรสนี้ว่า แอดเดรสอินเทอร์รัปต์เวกเตอร์ (Interrupt vector address) ดังนั้นจะต้องมีการเขียนโปรแกรมย่อยการบริการอินเทอร์รัปต์ไว้ที่แอดเดรสอินเทอร์รัปต์เวกเตอร์นี้ โดยค่าของแอดเดรสอินเทอร์รัปต์เวกเตอร์จะแตกต่างกันไปในการอินเทอร์รัปต์แบบต่าง ๆ ดังมีรายละเอียดดังนี้

การอินเทอร์รัปต์ภายนอกที่ขา $\overline{INT0}$ มีค่าแอดเดรสอินเทอร์รัปต์เวกเตอร์อยู่ที่ 0003H

การอินเทอร์รัปต์จากไทเมอร์ 0 มีค่าแอดเดรสอินเทอร์รัปต์เวกเตอร์อยู่ที่ 000BH

การอินเทอร์รัปต์ภายนอกที่ขา $\overline{INT1}$ มีค่าแอดเดรสอินเทอร์รัปต์เวกเตอร์อยู่ที่ 0013H

การอินเทอร์รัปต์จากไทเมอร์ 1 มีค่าแอดเดรสอินเทอร์รัปต์เวกเตอร์อยู่ที่ 001BH

การอินเทอร์รัปต์จากพอร์ตอนุกรม มีค่าแอดเดรสอินเทอร์รัปต์เวกเตอร์อยู่ที่ 0023H

การอินเทอร์รัปต์จากไทเมอร์ 2 มีค่าแอดเดรสอินเทอร์รัปต์เวกเตอร์อยู่ที่ 002BH

5.4.2 การเขียนโปรแกรมย่อยบริการอินเทอร์รัปต์

มีหลักการโดยทั่ว ๆ ไป ดังนี้

1. ต้องเริ่มต้นด้วยแอดเดรสอินเทอร์รัปต์เวกเตอร์เสมอ เพื่อให้การตรวจสอบการทำงานทำได้ง่าย และแยกส่วนของโปรแกรมย่อยนี้ออกจากโปรแกรมหลักหรือโปรแกรมย่อยอื่น ๆ อย่างชัดเจนด้วยคำสั่ง `ORG xxxxH` (ค่าแอดเดรสอินเทอร์รัปต์เวกเตอร์)

2. เมื่อเข้าสู่โปรแกรมย่อย ควรเก็บค่าของรีจิสเตอร์หรือแฟล็กที่ใช้แสดงสถานะต่าง ๆ ซึ่งต้องมีการใช้งานในโปรแกรมย่อยบริการอินเทอร์รัปต์นี้ไว้ในสแต็กเสียก่อน เพื่อป้องกันความผิดพลาดที่อาจเกิดขึ้นต่อการทำงานของทั้งโปรแกรมบริการอินเทอร์รัปต์นี้และโปรแกรมหลัก ด้วยคำสั่ง `PUSH`

เอกสารนี้เป็นเอกสารที่สงวนไว้สำหรับการใช้งานเพื่อการศึกษาเท่านั้น ไม่อนุญาตให้นำไปใช้ประโยชน์ด้านการค้าไม่ว่ากรณีใดๆ ทั้งสิ้น อีกทั้งห้ามมิให้ดัดแปลงเนื้อหา และต้องอ้างอิงถึงเจ้าของเอกสารทุกครั้งที่มีการนำไปใช้

3. เมื่อเขียนโปรแกรมบริการอินเตอร์รัปต์เรียบร้อยแล้ว ให้ทำการคืนค่าของรีจิสเตอร์ที่นำมาใช้ในโปรแกรมบริการอินเตอร์รัปต์ด้วยคำสั่ง POP ยกเว้นรีจิสเตอร์ที่ต้องการนำผลการกระทำในโปรแกรมบริการอินเตอร์รัปต์นี้ไปใช้งาน ซึ่งในทางปฏิบัติจริง ไม่พบมากนัก และไม่นแนะนำให้เขียนโปรแกรมในลักษณะนี้

4. ปิดท้ายโปรแกรมย่อยบริการอินเตอร์รัปต์ด้วยคำสั่ง RETI เสมอ

5.4.3 รีจิสเตอร์ที่เกี่ยวข้องกับการบริการอินเตอร์รัปต์

การอินเตอร์รัปต์ในไมโครคอนโทรลเลอร์ MCS-51 แบบแฟลช มีรีจิสเตอร์ที่ต้องเกี่ยวข้องอยู่ 2 ตัว ดังมีรายละเอียดดังต่อไปนี้

1) รีจิสเตอร์อินทิเม็ลการอินเตอร์รัปต์ หรือ IE (Interrupt Enable register)

มีแอดเดรสอยู่ที่ A8H ในพื้นที่ของรีจิสเตอร์ฟังก์ชันพิเศษ หรือ SFR มีขนาด 8 บิต สามารถเข้าถึงได้ในระดับบิต โดยสามารถเซตและเคลียร์ด้วยกระบวนการทางซอฟต์แวร์ ใช้ในการอินทิเม็ลการตอบสนองการอินเตอร์รัปต์ในแบบต่าง ๆ มีรายละเอียดการทำงานดังนี้

บิต 7	บิต 6	บิต 5	บิต 4	บิต 3	บิต 2	บิต 1	บิต 0
EA	-	ET2	ES	ET1	EX1	ET0	EX0

EA (Global enable/disable interrupt bit) : ใช้ในการอินทิเม็ลและดีสเ็ลการตอบสนองการอินเตอร์รัปต์ทั้งหมด

"0" ดีสเ็ลการอินเตอร์รัปต์ นั่นคือ กำหนดให้ไมโครคอนโทรลเลอร์ไม่ตอบสนองการอินเตอร์รัปต์ ไม่ว่าจะมาจากแหล่งกำเนิดใดก็ตาม

"1" อินทิเม็ลการอินเตอร์รัปต์ นั่นคือ กำหนดให้ไมโครคอนโทรลเลอร์สามารถตอบสนองการอินเตอร์รัปต์จากแหล่งกำเนิดต่าง ๆ

นั่นคือ ถ้าต้องการให้ไมโครคอนโทรลเลอร์ตอบสนองการอินเตอร์รัปต์ ไม่ว่าจะแหล่งกำเนิดใด จะต้องเซตบิตนี้ก่อนเสมอ

ET2 (Timer 2 interrupt enable bit) : ใช้ในการอินทิเม็ลการอินเตอร์รัปต์อันเนื่องมาจากการโอเวอร์โฟลวหรือการแคปเจอร์ ในไทเมอร์/คาน์เตอร์ 2 จะมีเฉพาะโมดูล AT89C52 และอนุกรม AT89Sxx เท่านั้น

ES (Serial port interrupt enable bit) : ใช้ในการอินทิเม็ลการอินเตอร์รัปต์อันเนื่องมาจากการรับหรือส่งข้อมูลทางพอร์ตอนุกรมภายในไมโครคอนโทรลเลอร์ MCS-51

เอกสารนี้เป็นเอกสารที่สงวนไว้สำหรับการใช้งานเพื่อการศึกษาเท่านั้น ไม่อนุญาตให้นำไปใช้ประโยชน์ด้านการค้าไม่ว่ากรณีใดๆ ทั้งสิ้น อีกทั้งห้ามมิให้ดัดแปลงเนื้อหา และต้องอ้างอิงถึงเจ้าของเอกสารทุกครั้งที่มีการนำไปใช้

ET1 (Timer 1 interrupt enable bit) : ใช้ในการอีนามเบิลการอินเตอร์รัปต์อันเนื่องมาจากการโอเวอร์โฟลวในไทเมอร์/เคาน์เตอร์ 1

EX1 (External interrupt 1 enable bit) : ใช้ในการอีนามเบิลการอินเตอร์รัปต์อันเนื่องมาจากสัญญาณภายนอกที่ป้อนเข้ามายังขา $\overline{INT1}$

ET0 (Timer 0 interrupt enable bit) : ใช้ในการอีนามเบิลการอินเตอร์รัปต์อันเนื่องมาจากการโอเวอร์โฟลวในไทเมอร์/เคาน์เตอร์ 0

EX0 (External interrupt 0 enable bit) : ใช้ในการอีนามเบิลการอินเตอร์รัปต์อันเนื่องมาจากสัญญาณภายนอกที่ป้อนเข้ามายังขา $\overline{INT0}$

สำหรับบิต 6 ของรีจิสเตอร์ IE ไม่มีการใช้งาน ต้องกำหนดให้เป็น "0" เสมอ.

2) รีจิสเตอร์จัดลำดับความสำคัญการตอบสนองการอินเตอร์รัปต์ หรือ

IP (Interrupt Priority register)

มีแอดเดรสอยู่ที่ BSH ในพื้นที่ของรีจิสเตอร์ฟังก์ชันพิเศษหรือ SFR มีขนาด 8 บิต สามารถเข้าถึงได้ในระดับบิต โดยสามารถเซตและเคลียร์ด้วยกระบวนการทางซอฟต์แวร์ ใช้ในการเลือกลำดับความสำคัญของการตอบสนองการอินเตอร์รัปต์ว่า ต้องการให้ตอบสนองสัญญาณอินเตอร์รัปต์จากแหล่งกำเนิดใดเป็นลำดับก่อนหลัง ถ้าต้องการให้การอินเตอร์รัปต์จากแหล่งกำเนิดใดมีความสำคัญสูงสุด ให้กำหนดที่บิตนั้นเป็น "1" มีรายละเอียดของรีจิสเตอร์ IP ดังนี้

บิต 7	บิต 6	บิต 5	บิต 4	บิต 3	บิต 2	บิต 1	บิต 0
-	-	PT2	PS	PT1	PX1	PT0	PX0

PT2 (Timer 2 interrupt priority bit) : ใช้ในการกำหนดความสำคัญของการอินเตอร์รัปต์อันเนื่องมาจากการโอเวอร์โฟลวหรือการแคปเจอร์ในไทเมอร์/เคาน์เตอร์ 2 จะมีเฉพาะในเบอร์ AT89C52 และอนุกรม AT89Sxx เท่านั้น

PS (Serial port interrupt priority bit) : ใช้ในการกำหนดความสำคัญของการอินเตอร์รัปต์อันเนื่องมาจากการรับหรือส่งข้อมูลทางพอร์ตอนุกรมภายในไมโครคอนโทรลเลอร์ MCS-51

PT1 (Timer 1 interrupt priority bit) : ใช้ในการกำหนดความสำคัญของการอินเตอร์รัปต์อันเนื่องมาจากการโอเวอร์โฟลวในไทเมอร์/เคาน์เตอร์ 1

PX1 (External interrupt 1 priority bit) : ใช้ในการกำหนดความสำคัญของการอินเตอร์รัปต์อันเนื่องมาจากสัญญาณภายนอกที่ป้อนเข้ามายังขา $\overline{INT1}$

เอกสารนี้เป็นเอกสารที่สงวนไว้สำหรับการใช้งานเพื่อการศึกษาเท่านั้น ไม่อนุญาตให้นำไปใช้ประโยชน์ด้านการค้าไม่ว่ากรณีใดๆ ทั้งสิ้น อีกทั้งห้ามมิให้ดัดแปลงเนื้อหา และต้องอ้างอิงถึงเจ้าของเอกสารทุกครั้งที่มีการนำไปใช้

PT0 (Timer 0 interrupt priority bit) : ใช้ในการกำหนดความสำคัญของการอินเตอร์รัปต์ อันเนื่องมาจากการโอเวอร์โฟลวใน ไทเมอร์/เคาน์เตอร์ 0

PX0 (External interrupt 0 priority bit) : ใช้ในการกำหนดความสำคัญของการอินเตอร์รัปต์ อันเนื่องมาจากสัญญาณภายนอกที่ป้อนเข้ามายังขา $\overline{INT0}$

สำหรับบิต 6 และ 7 ของรีจิสเตอร์ IP ไม่มีการใช้งาน ต้องกำหนดให้เป็น "0" เสมอ

5.4.4 แหล่งกำเนิดสัญญาณอินเตอร์รัปต์

ในที่นี้จะกล่าวถึงสัญญาณอินเตอร์รัปต์จาก ไทเมอร์/เคาน์เตอร์ T0 และ T1 ตามที่ได้ใช้งาน เท่านั้น

สัญญาณอินเตอร์รัปต์จากไทเมอร์/เคาน์เตอร์ T0 และ T1

แหล่งกำเนิดสัญญาณอินเตอร์รัปต์นี้จัดเป็นแหล่งกำเนิดสัญญาณอินเตอร์รัปต์ภายในแบบหนึ่ง โดยใช้การเกิดโอเวอร์โฟลวจากการนับค่าใน ไทเมอร์/เคาน์เตอร์ภายใน ไมโครคอนโทรลเลอร์ MCS-51 เมื่อ ไทเมอร์ 0 เกิดการโอเวอร์โฟลวก็จะทำการเซตบิต TF0 ในรีจิสเตอร์ TCON และถ้า ไทเมอร์ 1 เกิดโอเวอร์โฟลวบิต TF1 ในรีจิสเตอร์ TCON จะได้รับการเซตเช่นเดียวกัน

อย่างไรก็ตามการอินเตอร์รัปต์แบบนี้ จะเกิดขึ้นหรือมีการตอบสนองก็ต่อเมื่อมีการอินิเชียลการอินเตอร์รัปต์ โดยการเซตบิต EA, ET0 และ ET1 ในรีจิสเตอร์ IE

5.4.5 ลำดับความสำคัญของการอินเตอร์รัปต์

การกำเนิดสัญญาณอินเตอร์รัปต์ในไมโครคอนโทรลเลอร์ MCS-51 เบอร์ AT89S8252 มีได้จาก 6 แหล่ง ดังนั้นจึงต้องมีการจัดลำดับความสำคัญ ในกรณีที่เกิดการอินเตอร์รัปต์ขึ้นพร้อม ๆ กันจากหลายแหล่งกำเนิด โดยสามารถกำหนดลำดับความสำคัญได้ที่รีจิสเตอร์ IP

อย่างไรก็ตาม ลำดับความสำคัญของการอินเตอร์รัปต์โดยปกติหรือในกรณีกำหนดข้อมูล ในรีจิสเตอร์ IP ให้เป็น "1" ทุกบิต (ยกเว้นบิต 6 และ 7) จะเรียงลำดับจากความสำคัญสูงสุดไปจนถึงต่ำสุดดังนี้

1. อินเตอร์รัปต์ภายนอกที่ขา $\overline{INT0}$ หรือการเซตของบิต IE0
2. อินเตอร์รัปต์จาก ไทเมอร์ 0 หรือการเซตของบิต TF0
3. อินเตอร์รัปต์ภายนอกที่ขา $\overline{INT1}$ หรือการเซตของบิต IE1
4. อินเตอร์รัปต์จาก ไทเมอร์ 1 หรือการเซตของบิต TF1
5. อินเตอร์รัปต์จากพอร์ตอนุกรม หรือการเซตของบิต RI หรือ TI
6. อินเตอร์รัปต์จาก ไทเมอร์ 2 หรือการเซตของบิต TF2 หรือ EXF2

เอกสารนี้เป็นเอกสารที่สงวนไว้สำหรับการใช้งานเพื่อการศึกษาเท่านั้น ไม่อนุญาตให้นำไปใช้ประโยชน์ด้านการค้า ไม่ว่ากรณีใดๆ ทั้งสิ้น อีกทั้งห้ามมิให้ดัดแปลงเนื้อหา และต้องอ้างอิงถึงเจ้าของเอกสารทุกครั้งที่มีการนำไปใช้

บัฟเฟอร์อินพุทเอาต์พุท เป็นส่วนที่ใช้ในการติดต่อรับส่งข้อมูลกับอุปกรณ์ภายนอก เพื่อที่จะถ่ายทอดข้อมูลเข้าออกภายในตัวควบคุม

รีจิสเตอร์คำสั่ง (Instruction Register : IR) เป็นรีจิสเตอร์ใช้รับข้อมูลคำสั่งจากอุปกรณ์ภายนอก เพื่อนำไปควบคุมการแสดงผล

รีจิสเตอร์ข้อมูล (Data Register : DR) เป็นรีจิสเตอร์ใช้รับข้อมูลจากอุปกรณ์ภายนอก เพื่อถ่ายทอดต่อไปยังหน่วยความจำที่ทำหน้าที่เก็บข้อมูลแสดงผล หรือนำข้อมูลไปสร้างตัวอักษรเพิ่มเติมในแรมเก็บตัวอักษร

แรมเก็บข้อมูลแสดงผล (Display Data RAM : DDRAM) เป็นหน่วยความจำแรมทำหน้าที่เก็บข้อมูลที่มาจากรีจิสเตอร์ DR ตัวควบคุมจะนำข้อมูลใน DDRAM นี้ไปเปิดตาราง (Look up-table) ของตัวอักษรที่เก็บไว้ในหน่วยความจำรอม และแรมเก็บตัวอักษร เพื่อนำไปแสดงที่ตัวแสดงผล

รอมเก็บตัวอักษร (Character Generator ROM : CGROM) เป็นหน่วยความจำรอมที่ใช้เก็บข้อมูลตัวอักษรหรือสัญลักษณ์ที่สามารถอ่านออกไปแสดงที่ตัวแสดงผลได้ มีขนาด 7,200 บิต โดยจะถูกอ่านด้วยค่าของข้อมูลใน DDRAM

แรมเก็บตัวอักษร (Character Generator RAM : CGRAM) เป็นหน่วยความจำแรมที่ใช้เก็บอักษรที่มีการสร้างเพิ่มเติมขึ้นใหม่ ในกรณีที่ตัวอักษรใน CGROM ไม่เพียงพอ มีขนาด 512 บิต การเขียนและอ่านค่าไปใช้นั้นทำได้เช่นเดียวกับ CGROM คือ เขียนข้อมูลลงใน DDRAM แล้วตัวควบคุมจะมาอ่านค่าจาก CGRAM เอง

แฟล็ก BUSY เป็นส่วนที่ทำหน้าที่แจ้งสถานะการทำงานของตัวควบคุมให้อุปกรณ์ภายนอกทราบว่า ตัวควบคุมพร้อมที่จะรับข้อมูลหรือคำสั่งหรือไม่ ดังนั้นก่อนการส่งข้อมูลหรือคำสั่งมายังตัวควบคุมต้องตรวจสอบสถานะของแฟล็ก BUSY นี้เสียก่อน

5.5.3 โมดูล LCD ขนาด 24 ตัวอักษร 2 บรรทัด (LCD 24x2)

สำหรับโมดูล LCD ที่นำมาใช้ในการทำโครงงานนี้ เป็นขนาด 24 ตัวอักษร 2 บรรทัด เนื่องจากมีขนาดที่เหมาะสมกับโครงงานนี้

โมดูล LCD ขนาด 24x2 มีขาต่อใช้งานทั้งสิ้น 14 ขา สำหรับรายละเอียดการทำงานของแต่ละขามีดังนี้

- V_{SS} (ขา 1) : ต่อกราวด์
- V_{DD} (ขา 2) : ต่อไฟเลี้ยง +5 โวลต์
- V_0 (ขา 3) : เป็นขาอินพุทรับแรงดันเพื่อปรับความเข้มของการแสดงผล

เอกสารนี้เป็นเอกสารที่สงวนไว้สำหรับการใช้งานเพื่อการศึกษาเท่านั้น ไม่อนุญาตให้นำไปใช้ประโยชน์ด้านการค้าไม่ว่ากรณีใดๆ ทั้งสิ้น อีกทั้งห้ามมิให้ดัดแปลงเนื้อหา และต้องอ้างอิงถึงเจ้าของเอกสารทุกครั้งที่มีการนำไปใช้

- RS (ขา 4) : เป็นขาอินพุทใช้ในการแยกชนิดของข้อมูลที่ทำการประมวลผลในขณะนั้นว่าเป็นคำสั่งสำหรับรีจิสเตอร์ IR หรือเป็นข้อมูลสำหรับรีจิสเตอร์ DR โดยถ้าขานี้เป็น "0" ข้อมูลที่ส่งมาจะเป็นคำสั่ง แต่ถ้าขาเป็น "1" ข้อมูลที่ส่งมาจะเป็นข้อมูลสำหรับการแสดงผล
- R/\overline{W} (ขา 5) : เป็นขาที่ใช้เลือกการอ่านหรือเขียนข้อมูลกับ LCD ถ้าเป็น "0" เป็นการกำหนดให้เขียนข้อมูล แต่ถ้าเป็น "1" จะเป็นการอ่านข้อมูล
- E (ขา 6) : เป็นขาอีน่าเบิล LCD ให้ทำงาน
- D0-D7 (ขา7-14) : เป็นขาที่ใช้เป็นทางผ่านของข้อมูลระหว่าง LCD กับอุปกรณ์ภายนอกขนาด 8 บิต

5.5.4 คำสั่งควบคุมโมดูล LCD

ในการเขียนคำสั่งลงในตัวควบคุม นั้นก่อนจะต้องกำหนดให้ขา RS และ R/\overline{W} เป็น "0" แล้วเขียนคำสั่งตามไป คำสั่งควบคุมโมดูล LCD ของชิปควบคุม HD44780 ที่สำคัญมี 10 คำสั่งดังนี้

1) คำสั่งเคลียร์ตัวแสดงผล (Clear display)

มีข้อมูลคำสั่งเป็น 01H เป็นคำสั่งที่ใช้เขียนข้อมูลช่องว่าง หรือ space เข้าไปใน DDRAM ทั้งหมด เมื่อตัวควบคุมเอ็คซิวคิตคำสั่งนี้ จะทำการกำหนดแอดเดรสของ DDRAM เป็น 0 เคอร์เซอร์จะกลับไปอยู่ที่ตำแหน่งซ้ายเมื่อสุดของจอแสดงผล แล้วเซตบิต I/D (ซึ่งจะกล่าวถึงภายหลัง) ให้เป็น "1"

2) คำสั่ง return home

ต้องกำหนดให้บิต 1 ของข้อมูลเป็น "1" เป็นคำสั่งให้เคอร์เซอร์เคลื่อนที่กลับไปยังตำแหน่งซ้ายสุดของจอแสดงผล แต่ข้อมูลบนจอแสดงผลไม่เปลี่ยนแปลง นั่นคือ ข้อมูลคำสั่งของคำสั่งนี้จะ เป็น 02H หรือ 03H ก็ได้

3) คำสั่งเลือกโหมดการป้อนข้อมูล (Entry mode Set)

มีรายละเอียดของรูปแบบข้อมูลคำสั่งดังนี้

บิต 7	บิต 6	บิต 5	บิต 4	บิต 3	บิต 2	บิต 1	บิต 0
0	0	0	0	0	1	I/D	S

บิต S เป็นบิตที่ใช้ในการกำหนดลักษณะของการแสดงผล เมื่อมีการป้อนข้อมูล ถ้าหากบิต S เป็น "1" เมื่อเกิดข้อมูลใหม่บนจอแสดงผล ตัวเคอร์เซอร์จะอยู่กับที่ แต่ตัวอักษรข้อมูลเดิมจะถูกดันไปทางซ้าย แต่ถ้าหากบิตนี้เป็น "0" เมื่อเกิดข้อมูลใหม่ตัวเคอร์เซอร์จะเลื่อนไปทางขวามือ

เอกสารนี้เป็นเอกสารที่สงวนไว้สำหรับการใช้งานเพื่อการศึกษาเท่านั้น ไม่อนุญาตให้เผยแพร่ไปใช้ประโยชน์ด้านการค้าไม่ว่ากรณีใดๆ ทั้งสิ้น อีกทั้งห้ามมิให้ดัดแปลงเนื้อหา และต้องอ้างอิงถึงเจ้าของเอกสารทุกครั้งที่มีการนำไปใช้

บิต ID เป็นบิตที่ใช้ในการกำหนดว่า เมื่อเขียนหรืออ่านข้อมูลแล้ว ทำให้แอดเดรสของ DDRAM เพิ่มขึ้นหรือลดลงหนึ่งแอดเดรส โดยถ้าบิตนี้เป็น "1" แอดเดรสของ DDRAM จะเพิ่มขึ้น แต่ถ้าเป็น "0" แอดเดรสจะลดลง

ดังนั้น ข้อมูลคำสั่งที่เกิดขึ้นสำหรับคำสั่งนี้ได้แก่ 04H-07H(4 ข้อมูลคำสั่ง) และที่ใช้บ่อยคือ 06H หมายถึง กำหนดให้เมื่อเกิดข้อมูลใหม่ เคอร์เซอร์จะเลื่อนไปทางขวามือ และแอดเดรสของ DDRAM เพิ่มขึ้น

4) คำสั่งควบคุมการแสดงผล

มีรายละเอียดของรูปแบบข้อมูลคำสั่งดังนี้

บิต 7	บิต 6	บิต 5	บิต 4	บิต 3	บิต 2	บิต 1	บิต 0
0	0	0	0	1	D	C	B

บิต D ใช้ควบคุมการเปิดปิดจอแสดงผล ถ้าบิตนี้เป็น "1" จะเป็นการเปิดจอแสดงผล ถ้าเป็น "0" จะเป็นการปิดจอแสดงผล

บิต C ใช้ควบคุมการแสดงตัวเคอร์เซอร์บนจอแสดงผล ถ้าต้องการให้มีเคอร์เซอร์แสดงผลบนจอแสดงผล ต้องกำหนดให้บิตนี้เป็น "1" ถ้ากำหนดให้เป็น "0" จะเป็นการปิดเคอร์เซอร์ หรือไม่แสดงเคอร์เซอร์

บิต B ใช้ควบคุมการกะพริบของเคอร์เซอร์ ถ้าบิตนี้เป็น "1" เคอร์เซอร์จะกะพริบ

ดังนั้นจะมีข้อมูลคำสั่ง ได้ตั้งแต่ 05H-07H (S รูปแบบคำสั่ง) ที่ใช้บ่อยคือ 06H เป็นการสั่งให้เปิดจอแสดงผล แต่ไม่แสดงเคอร์เซอร์ และ 07H เป็นการสั่งให้เปิดจอแสดงผล แสดงเคอร์เซอร์ และ สั่งให้เคอร์เซอร์กะพริบ

5) คำสั่งควบคุมการเลื่อนเคอร์เซอร์และข้อมูลตัวอักษร

มีรายละเอียดของรูปแบบข้อมูลคำสั่งดังนี้

บิต 7	บิต 6	บิต 5	บิต 4	บิต 3	บิต 2	บิต 1	บิต 0
0	0	0	1	S/C	R/L	*	*

การควบคุมการเลื่อนเคอร์เซอร์และตัวอักษรบนจอแสดงผลขึ้นอยู่กับกำหนัดบิต S/C และ R/L ซึ่งสามารถสรุปได้ดังนี้

เอกสารนี้เป็นเอกสารที่สงวนไว้สำหรับการใช้งานเพื่อการศึกษาเท่านั้น ไม่อนุญาตให้นำไปใช้ประโยชน์ด้านการค้าไม่ว่ากรณีใดๆ ทั้งสิ้น อีกทั้งห้ามมิให้ดัดแปลงเนื้อหา และต้องอ้างอิงถึงเจ้าของเอกสารทุกครั้งที่มีการนำไปใช้

S/C	R/L	ลักษณะการเลื่อน	ข้อมูลคำสั่ง
0	0	เลื่อนเคอร์เซอร์ไปทางซ้าย	10H-13H
0	1	เลื่อนเคอร์เซอร์ไปทางขวา	14H-17H
1	0	เลื่อนตัวอักษรใหม่ไปทางซ้าย	18H-1BH
1	1	เลื่อนตัวอักษรใหม่ไปทางขวา	1CH-1FH

6) คำสั่งกำหนดฟังก์ชันการทำงาน

มีรายละเอียดของรูปแบบข้อมูลคำสั่งดังนี้

บิต 7	บิต 6	บิต 5	บิต 4	บิต 3	บิต 2	บิต 1	บิต 0
0	0	1	DL	N	F	*	*

บิต *DL* ใช้กำหนดจำนวนบิตที่ใช้ติดต่อส่งผ่านข้อมูล ถ้าบิตนี้เป็น "0" จะเป็นการติดต่อแบบ 4 บิต แต่ถ้าเป็น "1" จะเป็นแบบ 8 บิต

บิต *N* ใช้กำหนดจำนวนบรรทัดของการแสดงผล ถ้าเป็น "0" จะแสดงผล 1 บรรทัด ถ้าเป็น "1" จะแสดงผล 2 บรรทัด ในกรณีที่จอแสดงผลสามารถแสดงได้มากกว่า 2 บรรทัด และต้องการให้แสดงผลมากกว่า 2 บรรทัด ก็กำหนดบิต *N* นี้ให้เป็น "1"

บิต *F* ใช้เลือกความละเอียดของตัวอักษรให้การแสดงผล ถ้าบิตนี้เป็น "0" จะเป็นการแสดงผลแบบ 5x7 จุด และถ้าเป็น "1" จะแสดงผลเป็นแบบ 5x10 จุด

ข้อมูลคำสั่งที่ใช้บ่อยคือ 38H เป็นกรกำหนดให้โมดูล *LCD* ทำงานในแบบ 8 บิต แสดงผล 2 บรรทัด และเลือกความละเอียดเป็น 5x7 จุด

จุดที่น่าสังเกตคือ โมดูล *LCD* แบบ 16 ตัวอักษร 1 บรรทัด แม้จะมีบรรทัดการแสดงผลเพียง 1 บรรทัด แต่จะต้องกำหนด *N* ให้เป็น "1" เนื่องจากแอดเดรสของ *DDRAM* แบ่งเป็น 2 ช่องคือ 00H และ 40H

7) คำสั่งเลือกแอดเดรสของ *CGRAM*

เมื่อต้องการกำหนดแอดเดรสของ *CGRAM* ต้องกำหนดให้บิต 7 เป็น "0" บิต 6 เป็น "1" ส่วนอีก 6 บิตที่เหลือจะแทนด้วยค่าแอดเดรสของ *CGRAM* จะต้องทำการกำหนดแอดเดรสด้วยคำสั่งนี้ ก่อนที่จะอ่านหรือเขียนข้อมูลให้ *CGRAM* โดยแอดเดรสของ *CGRAM* อยู่ระหว่าง 00H-3FH

8) คำสั่งเลือกแอดเดรสของ *DDRAM*

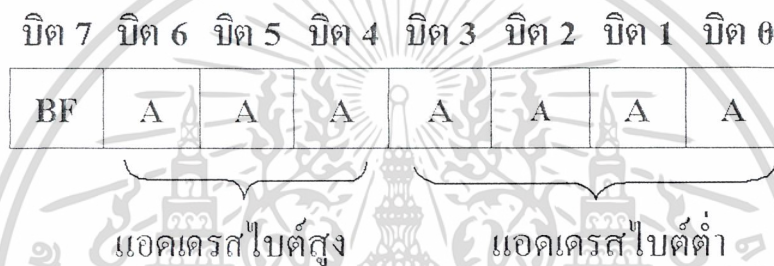
ใช้ในการเลือกแอดเดรสของ *DDRAM* ก่อนที่จะทำการอ่านหรือเขียนข้อมูล โดยบิต 7 ต้อง

เอกสารนี้เป็นเอกสารที่สงวนไว้สำหรับการใช้งานเพื่อการศึกษาเท่านั้น ไม่อนุญาตให้นำไปใช้ประโยชน์ด้านการค้าไม่ว่ากรณีใดๆ ทั้งสิ้น อีกทั้งห้ามมิให้ดัดแปลงเนื้อหา และต้องอ้างอิงถึงเจ้าของเอกสารทุกครั้งที่มีการนำไปใช้

เป็น "1" และข้อมูลอีก 7 บิตที่เหลือจะเป็นค่าแอดเดรสของ DDRAM ซึ่งแอดเดรสของ DDRAM จะอยู่ระหว่าง 00H-67H ทั้งนี้จำนวนแอดเดรสยังขึ้นกับการกำหนดสถานะที่บิต N ด้วย หากบิต N เป็น "0" แอดเดรสของ DDRAM จะอยู่ระหว่าง 00H-4FH และถ้าบิต N เป็น "1" แอดเดรสของ DDRAM จะมี 2 ช่วงคือ 00H-27H และ 40H-67H ซึ่งในโครงการนี้ได้ใช้ LCD โมดูลแบบ 24 ตัวอักษร 2 บรรทัด ดังนั้นเมื่อให้บิต N เป็น "1" จะได้แอดเดรสของ DDRAM ในบรรทัดแรกเป็น 00H-17H และในบรรทัดที่สองเป็น 40H-57H

9) คำสั่งอ่านแฟลช BUSY และแอดเดรส

มีรายละเอียดของรูปแบบข้อมูลคำสั่งดังนี้



เป็นคำสั่งที่ใช้อ่านแฟลช BUSY (BF) โดยแฟลชนี้จะเป็นตัวบอกสถานะของตัวควบคุม LCD ว่าพร้อมจะรับข้อมูลอยู่หรือไม่ ถ้าหากบิต BF เป็น "0" แสดงว่าตัวควบคุม LCD พร้อมรับข้อมูลหรือคำสั่ง แต่ถ้าเป็น "1" แสดงว่า ขณะนี้ตัวควบคุม LCD ยังอยู่ในกระบวนการทำงานภายในหรือกำลังประมวลผลข้อมูลอยู่ ยังไม่พร้อมรับข้อมูลหรือคำสั่ง

เมื่อต้องการอ่านแฟลชต้องกำหนดให้ขา R/\bar{W} เป็น "1" ด้วย แต่สัญญาณที่ RS ยังต้องเป็น "0" อยู่เพราะข้อมูลนี้เป็นข้อมูลคำสั่ง

นอกจากนี้ ยังใช้เป็นคำสั่งอ่านข้อมูลแอดเดรสของ CGRAM และ DDRAM ด้วย โดยบิต 0 ถึง บิต 6 เป็นค่าข้อมูลของแอดเดรสที่ต้องการอ่าน

นอกจากนี้ยังใช้เป็นคำสั่งอ่านข้อมูลแอดเดรสของ CGRAM และ DDRAM ด้วย โดยบิต 0 ถึง บิต 6 เป็นค่าข้อมูลของแอดเดรสที่ต้องการอ่าน

5.5.5 การเขียนคำสั่งและข้อมูลให้แดโมดูล LCD

ในการเขียนข้อมูลเพื่อควบคุมให้โมดูล LCD แสดงผลตามที่ผู้ใช้งานต้องการ ต้องส่งคำสั่ง (instruction) แล้วกำหนดโหมดการทำงานให้แก่โมดูล LCD ก่อน จากนั้นจึงค่อยส่งข้อมูล (data) ที่ต้องการแสดงผล เนื่องจากบัสข้อมูลของโมดูล LCD มี 8 เส้นคือ D0-D7 และใช้เป็นทางผ่านของทั้งคำสั่งและข้อมูล ดังนั้นในการส่งคำสั่งและข้อมูลจึงต้องอาศัยการกำหนดสัญญาณลอคที่ขา RS

เอกสารนี้เป็นเอกสารที่สงวนไว้สำหรับการใช้งานเพื่อการศึกษาเท่านั้น ไม่อนุญาตให้นำไปใช้ประโยชน์ด้านการค้า ไม่ว่ากรณีใดๆ ทั้งสิ้น อีกทั้งห้ามมิให้ดัดแปลงเนื้อหา และต้องอ้างอิงถึงเจ้าของเอกสารทุกครั้งที่มีการนำไปใช้

ถ้าหากที่ขา RS ได้ลอจิก "0" หมายความว่า ข้อมูลที่ป้อนให้แก่โมดูล LCD ขณะนั้นเป็นคำสั่ง ในทางตรงข้าม หากขา RS ได้รับลอจิก "1" ข้อมูลที่ป้อนให้ขณะนั้นเป็นข้อมูลที่ใช้ในการแสดงผล

เมื่อต้องการเขียนหรืออ่านข้อมูลใน CGRAM และ DDRAM เริ่มต้นต้องกำหนดแอดเดรสที่ต้องการอ่านหรือเขียนก่อน โดยใช้คำสั่งเลือกแอดเดรส จากนั้นกำหนดให้ขา RS เป็น "1" เพื่อแจ้งให้ตัวควบคุมภายในโมดูล LCD ทราบว่าข้อมูลที่ปรากฏต่อไปนี้เป็นข้อมูลปกติไม่ใช่คำสั่ง

ในกรณีที่ต้องการอ่านข้อมูลต้องกำหนดให้ขา R/\overline{W} เป็น "1" ข้อมูลขนาด 8 บิต (หรือ 4 บิต) ก็จะปรากฏบนบัสข้อมูล โดยข้อมูลที่อ่านออกมาได้จะเป็นข้อมูลจากแอดเดรสของ CGRAM หรือ DDRAM ตามที่ต้องการ

ในกรณีที่ต้องการเขียนข้อมูล เมื่อกำหนดแอดเดรสและป้อนลอจิก "1" ให้ขา RS แล้ว ต้องกำหนดให้ขา R/\overline{W} เป็น "0" ข้อมูลที่อยู่บนบัสข้อมูลจะถูกเขียนลงในรีจิสเตอร์ DR จากนั้นจึงถ่ายทอดลงใน DDRAM ต่อไป

5.5.6 จังหวะการทำงานของ LCD โมดูล

ในการติดต่อกับโมดูล LCD จะต้องมีกรหน่วงเวลาหลังจากที่ทำการส่งรหัสคำสั่งหรือข้อมูล เนื่องจากต้องรอให้คอนโทรลเลอร์ภายใน LCD โมดูล แปลความหมายของรหัสคำสั่งและทำงานตามคำสั่งให้เรียบร้อยก่อน จากนั้นจึงจะรับข้อมูลหรือดำเนินการต่อไป

ดังนั้น ในการใช้งานโมดูล LCD ผู้เขียนโปรแกรมต้องมีโปรแกรมเพื่อหน่วงเวลารอให้โมดูล LCD พร้อมทำงานด้วย โดยเมื่อเริ่มจ่ายไฟให้แก่โมดูล LCD ต้องรอประมาณ 10 มิลลิวินาที เพื่อให้โมดูล LCD ทำการเตรียมความพร้อมหรืออินิเชียล (initial) หลังจากนั้นก็จะกำหนดลอจิกให้แก่ขา RS ของโมดูล LCD แล้วต้องหน่วงเวลาอีกประมาณ 2 มิลลิวินาที เพื่อให้คอนโทรลเลอร์ใน LCD โมดูล แปลความหมายของลอจิกที่ RS ว่า ข้อมูลต่อไปที่จะได้รับนั้นเป็นรหัสคำสั่งหรือเป็นข้อมูลที่ต้องการแสดงผล จากนั้นจะเป็นการส่งข้อมูลมารอที่บัสข้อมูล D0-D7 (กรณีทำงานในโหมด 8 บิต) ขั้นตอนต่อไปจะเป็นการส่งสัญญาณพัลส์ไปที่ขา E เพื่ออินิเชียลโมดูล LCD ให้รับข้อมูลจากบัสข้อมูลเข้าไป โดยพัลส์ที่ป้อนเข้าที่ขา E ของโมดูล LCD ต้องเป็นพัลส์ขอบขาขึ้น จากนั้นทำการหน่วงเวลา 2 มิลลิวินาที

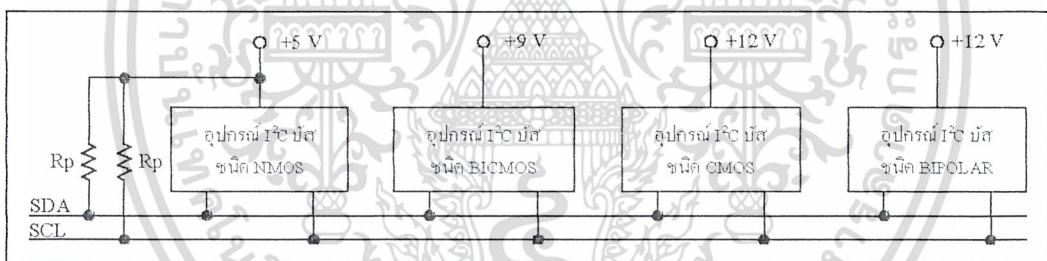
ทั้งหมดที่กล่าวมา คือ ขั้นตอนและจังหวะในการทำงาน 1 รอบของโมดูล LCD จะเห็นได้ว่ามีโปรแกรมย่อยที่สำคัญอยู่ 3 โปรแกรมย่อยคือ โปรแกรมอินิเชียล LCD, โปรแกรมหน่วงเวลา และโปรแกรมย่อยการส่งพัลส์เพื่ออินิเชียลโมดูล LCD

5.6 การขยายพอร์ตอินพุทเอาต์พุตด้วยอุปกรณ์ระบบบัส I²C

5.6.1 ความรู้เบื้องต้นเกี่ยวกับ I²C

I²C ย่อมาจาก Inter-IC Communication หมายถึง การติดต่อสื่อสารระหว่างไอซีโดยบัส I²C ซึ่งได้รับการพัฒนาขึ้นโดยฟิลิปส์ (Philips) ด้วยจุดมุ่งหมายหลักคือ ต้องการให้ไอซีหรือโมดูลสามารถติดต่อ สังกาน และควบคุมภายใต้สายสัญญาณเพียง 2 เส้น เส้นหนึ่ง คือ สายข้อมูล อีกเส้นหนึ่ง คือ สายสัญญาณนาฬิกาที่ใช้ในการกำหนดจังหวะการทำงาน การต่อร่วมกันของอุปกรณ์บนบัส I²C ทำได้ง่ายมาก เพียงต่อสายข้อมูลและสายสัญญาณนาฬิกาของอุปกรณ์แต่ละตัวขนานหรือพ่วงกันไป ส่วนการกำหนดแอดเดรสหรือตำแหน่งสำหรับติดต่ออุปกรณ์แต่ละตัว จะใช้รหัสข้อมูลและการกำหนดสถานะลอจิกที่ขาแอดเดรสของอุปกรณ์แต่ละตัว

สายข้อมูลบนบัส I²C มีชื่อเรียกอย่างเป็นทางการว่า สายข้อมูลอนุกรมหรือ SDA (Serial Data line) ส่วนสายสัญญาณนาฬิกามีชื่อเรียกว่า สายสัญญาณนาฬิกาอนุกรมหรือ SCL (Serial Clock line) ในการอธิบายต่อไปนี้จะเรียกสายสัญญาณทั้งสองว่า สาย SDA และ SCL



รูปที่ 5.4 ผังแสดงการเชื่อมต่อของอุปกรณ์ต่าง ๆ บนระบบบัส I²C

ในรูปที่ 5.4 แสดงผังของการเชื่อมต่ออุปกรณ์ต่าง ๆ บนบัส I²C จะเห็นได้ว่า อุปกรณ์ที่ทำการเชื่อมต่อบนบัส I²C มีหลากหลาย ไม่ว่าจะเป็นไอซีขยายพอร์ตอินพุทเอาต์พุต (I/O Expander), ไอซีแปลงสัญญาณอะนาลอกเป็นดิจิทัล (ADC) และแปลงสัญญาณดิจิทัลเป็นอะนาลอก (DAC), ไอซีรีลไทม์คล็อก (RTC), ไอซีขับ โมดูล LCD, หน่วยความจำอีอีพรอม และไมโครคอนโทรลเลอร์

5.6.2 คุณสมบัติโดยทั่วไปของบัส I²C

สาย SDA และ SCL เป็นสายสัญญาณ 2 ทิศทาง (Bi-directional line) ต้องมีการต่อตัวต้านทานพูลอัปกับแรงดัน +5V ไว้ตลอดเวลา เพื่อให้สายมีสถานะลอจิกสูงในขณะที่ไม่มีการติดต่อใช้งาน ทั้งยังช่วยในการป้องกันสัญญาณรบกวนที่อาจมีเข้ามาในสายสัญญาณทั้งสอง วงจรเอาต์พุตของอุปกรณ์ที่ต่ออยู่บนบัส I²C ต้องมีลักษณะเป็นวงจรทรานเปิด (Open-drain) หรือคอลเล็กเตอร์เปิด (Open-collector)

เอกสารนี้เป็นเอกสารที่สงวนไว้สำหรับการใช้งานเพื่อการศึกษาเท่านั้น ไม่อนุญาตให้นำไปใช้ประโยชน์ด้านการค้า ไม่ว่ากรณีใดๆ ทั้งสิ้น อีกทั้งห้ามมิให้ดัดแปลงเนื้อหา และต้องอ้างอิงถึงเจ้าของเอกสารทุกครั้งที่มีการนำไปใช้

อัตราการถ่ายถอดข้อมูลบนบัส I²C สูงถึง 100 กิโลบิตต่อวินาทีในโหมดปกติ (Standard mode) และสูงถึง 400 กิโลบิตต่อวินาทีในโหมดความเร็วสูง (Fast mode) อุปกรณ์ที่ต่อร่วมอยู่บนบัส I²C จะต้องมีค่าความจุไฟฟ้ารวมที่เกิดขึ้นระหว่างสาย SDA และ SCL ไม่เกิน 400 pF การเข้าถึงอุปกรณ์บนบัส I²C ใช้ข้อมูลสำหรับการเข้าถึง 2 ค่า คือ 7 บิต (7-bits addressing) หรือ 10 บิต (10-bits addressing)

ข้อเด่นอีกประการหนึ่งของบัส I²C คือ สามารถเชื่อมต่ออุปกรณ์ที่ใช้ไฟเลี้ยงไม่เท่ากันให้สามารถติดต่อสื่อสารกันได้โดยอุปกรณ์บนบัส I²C ตัวหนึ่งอาจใช้ไฟเลี้ยง +5V ในขณะที่อีกตัวหนึ่งใช้ไฟเลี้ยง +12V การต่อร่วมกันบนบัส I²C สามารถกระทำได้ในลักษณะเดียวกับกรณีที่อุปกรณ์ทั้งสองใช้ไฟเลี้ยงเท่ากัน กล่าวคือ ให้ต่อสาย SDA และ SCL ของอุปกรณ์แต่ละตัวเข้าด้วยกัน และต่อต่อตัวต้านทานพูลอัป (R_p) เข้ากับแรงดัน +5V ไว้ด้วยเสมอ ดังแสดงในรูปที่ 5.4

5.6.3 หลักการของบัส I²C

บัส I²C ประกอบด้วยสายสัญญาณ 2 เส้น ดังที่ได้กล่าวมาแล้ว คือ SDA และ SCL อุปกรณ์ที่ต่อพ่วงบนบัสสามารถมีได้มากมาย ดังนั้นจึงต้องมีการกำหนดรูปแบบของการติดต่อบนบัส หรือเรียกว่า โพรโทคอล (Protocol) เพื่อให้ผู้ใช้งานทราบว่า ขณะนี้อุปกรณ์ใดติดต่อกันอยู่ และอุปกรณ์ตัวใดเป็นตัวรับหรือตัวส่ง ต่อไปนี้จะขออธิบายลักษณะ หน้าที่ และนิยามของอุปกรณ์ที่ต่ออยู่บนบัส I²C เพื่อเป็นข้อมูลพื้นฐานก่อนที่จะอธิบายการทำงานของบัส I²C ต่อไป

อุปกรณ์ที่เป็นผู้ส่งข้อมูลหรือส่งข้อมูล เรียกว่า ตัวส่ง (Transmitter)

อุปกรณ์ที่เป็นผู้รับข้อมูล เรียกว่า ตัวรับ (Receiver)

ในอุปกรณ์บนบัส I²C สามารถเป็นได้ทั้งตัวรับและตัวส่ง บางอุปกรณ์ทำหน้าที่เป็นตัวรับเพียงอย่างเดียว จะไม่มีอุปกรณ์ใดบนบัส I²C ที่ทำหน้าที่เป็นตัวส่งเพียงอย่างเดียว

อุปกรณ์ที่ทำหน้าที่ควบคุมจังหวะการติดต่อบนบัส I²C เรียกว่า มาสเตอร์ (Master)

อุปกรณ์ที่ถูกควบคุมหรืออุปกรณ์ที่ต่อพ่วงเข้าไปบนบัส I²C เรียกว่า สเลฟ (Slave)

ข้อกำหนด 2 ประการสำคัญของการติดต่อบนบัส I²C คือ

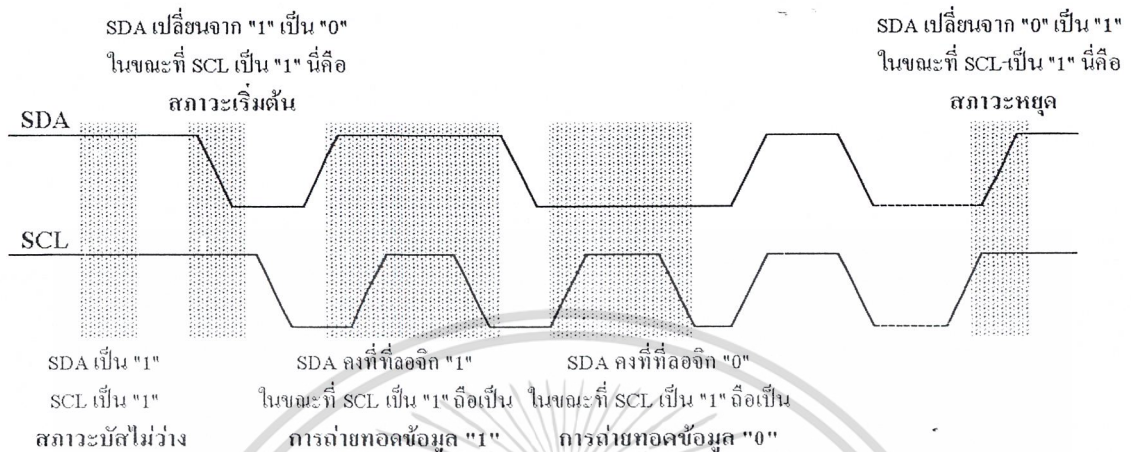
- (1) การถ่ายถอดข้อมูลจะเกิดขึ้นได้เมื่อบัสว่างเท่านั้น
- (2) ในระหว่างการถ่ายถอดข้อมูล เมื่อใดก็ตามที่สาย SCL มีสถานะเป็นลอจิกสูง สายข้อมูลต้องรักษาข้อมูลไว้ อย่าให้เกิดการเปลี่ยนแปลงขึ้นเด็ดขาด มิฉะนั้น สัญญาณที่เกิดขึ้นจะได้รับการแปลความหมายเป็นสัญญาณควบคุมแทน

5.6.4 สถานะที่เกิดขึ้นบนบัส I²C

มีด้วยกัน 5 สถานะ ดังนี้

- (1) **บัสว่าง (Bus not busy)** สถานะนี้เกิดขึ้นเมื่อสถานะลอจิกบนสาย SDA และ SCL เป็นลอจิกทั้งคู่ นั่นหมายความว่า การถ่ายทอดข้อมูลสามารถเริ่มต้นขึ้นได้
- (2) **เริ่มต้นการถ่ายทอดข้อมูล (Start data transfer)** เกิดขึ้นเมื่อสาย SDA มีการเปลี่ยนแปลงระดับลอจิกจากสูงไปต่ำ ในขณะที่สาย SCL มีสถานะลอจิกสูง เรียกสถานะที่เกิดขึ้นนี้ว่า **สถานะเริ่มต้น (START)**
- (3) **หยุดการถ่ายทอดข้อมูล (Stop data transfer)** เกิดขึ้นเมื่อสาย SDA มีการเปลี่ยนแปลงระดับลอจิกจากต่ำไปสูง ในขณะที่สาย SCL มีสถานะลอจิกสูง เรียกสถานะที่เกิดขึ้นนี้ว่า **สถานะหยุด (STOP)**
- (4) **ข้อมูลดำรงอยู่บนบัส (Data valid)** สถานะนี้เกิดขึ้นถัดจากสถานะเริ่มต้น โดยสถานะลอจิกที่เกิดขึ้นบนสาย SDA ก็คือข้อมูลที่ทำการถ่ายทอด เมื่อสาย SCL เป็นลอจิกสูง สถานะที่สาย SDA ต้องคงที่ เพื่อให้อุปกรณ์รับรู้ข้อมูลในจังหวะนั้นว่า เป็น "0" หรือ "1" ข้อมูลอาจเกิดการเปลี่ยนแปลงได้ในขณะที่สาย SCL เป็นลอจิกต่ำ แต่เมื่อใดก็ตามที่ส่งการให้เกิดการถ่ายทอดข้อมูลอย่างสมบูรณ์ สถานะลอจิกที่ SDA ต้องคงที่ตลอดช่วงเวลาที่สาย SCL มีสถานะลอจิกสูง หากเกิดการเปลี่ยนแปลงสถานะลอจิก ในขณะที่สาย SCL มีลอจิกสูงอยู่นั้น อุปกรณ์มาสเตอร์ที่ทำการควบคุมการถ่ายทอดข้อมูลจะแปลความหมายเป็นสถานะหยุดหรือสถานะเริ่มต้นก็ได้ ทำให้ข้อมูลที่ทำการถ่ายทอดนั้นเกิดความผิดพลาดขึ้น
- (5) **รับรู้ข้อมูล (Acknowledge)** เกิดขึ้นหลังจากที่การถ่ายทอดข้อมูลจากตัวส่งมายังตัวรับเกิดขึ้นอย่างสมบูรณ์ โดยตัวส่งจะทำการส่งข้อมูลมา 1 บิต เรียกว่า บิตรับรู้ (Acknowledge bit) มีสถานะเป็นลอจิกสูง หลังจากส่งข้อมูลมาครบถ้วน ส่วนอุปกรณ์มาสเตอร์จะทำการส่งสัญญาณรับรู้พิเศษซึ่งสัมพันธ์กับสัญญาณนาฬิกา เพื่อตอบสนองบิตรับรู้ที่ส่งมาจากตัวส่ง ทางด้านตัวรับจะส่งบิตรับรู้ที่มีสถานะลอจิกต่ำลงบนบัส อุปกรณ์ slave ที่ถูกอ้างถึงในการติดต่อหรือกำลังติดต่ออยู่ในขณะนั้นก็จะกำหนดบิตรับรู้เพื่อตอบสนองให้ทราบว่าได้รับข้อมูลในแต่ละไปเรียบร้อยแล้ว

เอกสารนี้เป็นเอกสารที่สงวนไว้สำหรับการใช้งานเพื่อการศึกษาเท่านั้น ไม่อนุญาตให้นำไปใช้ประโยชน์ด้านการค้าไม่ว่ากรณีใดๆ ทั้งสิ้น อีกทั้งห้ามมิให้ดัดแปลงเนื้อหา และต้องอ้างอิงถึงเจ้าของเอกสารทุกครั้งที่มีการนำไปใช้



รูปที่ 5.5 ไคอะแกรมเวลาแสดงสถานะต่าง ๆ ในบัส I²C

ในรูปที่ 5.5 เป็น ไคอะแกรมเวลาแสดงถึงการเกิดสถานะต่าง ๆ บนบัส I²C ไม่ว่าจะเป็นสถานะบัสว่าง, เริ่มต้น, ถ่ายทอข้อมูล, รับรู้, และหยุดการถ่ายทอข้อมูล

5.6.5 การทำงานบนบัส I²C

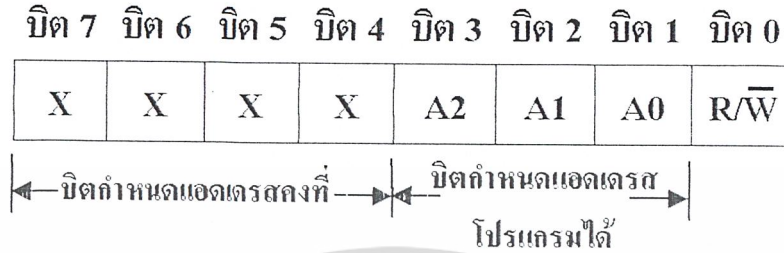
ก่อนที่จะเริ่มดำเนินการถ่ายทอข้อมูลระหว่างอุปกรณ์ต่าง ๆ ที่อยู่บนบัส ต้องมีการอ้างถึงเสียก่อนโดยการอ้างถึงอุปกรณ์บนบัส I²C นั้นจะใช้การอ้างถึงแบบ 7 บิตหรือ 10 บิต ในกรณีที่มีอุปกรณ์ต่ออยู่บนบัสไม่มาก ใช้การอ้างถึงแบบ 7 บิตก็เพียงพอ แต่ถ้ามีอุปกรณ์ต่ออยู่บนบัสมากกว่า 127 แอดเดรส จำเป็นต้องใช้การอ้างถึงแบบ 10 บิต หลังจากที่ติดต่อกับอุปกรณ์แต่ละตัวได้เรียบร้อยแล้ว ก็จะเริ่มดำเนินการถ่ายทอข้อมูลกันต่อไป

ดังนั้นหัวใจสำคัญในอันดับแรกของการทำงานบนบัส I²C ก็คือการอ้างถึงอุปกรณ์แต่ละตัว ซึ่งในที่นี้จะอธิบายรายละเอียดของการอ้างถึงทั้ง 2 รูปแบบ

การอ้างถึงแบบ 7 บิต (7 bits addressing)

ข้อมูลไบต์แรกที่เกิดขึ้นหลังจากสถานะเริ่มต้นคือ ข้อมูลที่ใช้ในการอ้างถึงอุปกรณ์ที่ต้องการติดต่อ หรือ ข้อมูลกำหนดแอดเดรส โดยมีรูปแบบแสดงในรูปที่ 6 ใน 7 บิตบนรวมทั้งบิต MSB คิวจะเป็นข้อมูลแอดเดรสของอุปกรณ์สเลฟที่ต้องการติดต่อ โดยแบ่งเป็น *บิตแอดเดรสคงที่* (Fixed address bit) จำนวน 4 บิต ซึ่งข้อมูลนี้อุปกรณ์แต่ละตัวจะถูกกำหนดมาจากผู้ผลิต ไม่สามารถเปลี่ยนแปลงแก้ไขได้ ถัดมาอีก 3 บิตเป็น *บิตกำหนดแอดเดรสที่สามารถโปรแกรมได้* (Programmable address bit) โดยผู้ใช้งานต้องกำหนดสถานะลอจิกให้แก่ขา A0-A2 ของอุปกรณ์ที่มีการเชื่อมต่อบนบัส I²C ส่วนในบิต LSB เป็นบิตที่ใช้กำหนดการอ่านหรือเขียนข้อมูลกับเอกสารนี้เป็นเอกสารที่สงวนไว้สำหรับการใช้งานเพื่อการศึกษาเท่านั้น ไม่นอนุญาตให้นำไปใช้ประโยชน์ด้านการค้า ไม่ว่าจะกรณีใดๆ ทั้งสิ้น อีกทั้งห้ามมิให้ดัดแปลงเนื้อหา และต้องอ้างอิงถึงเจ้าของเอกสารทุกครั้งที่มีการนำไปใช้

อุปกรณ์สเลฟตัวนั้น ๆ หากบิต LSB เป็น "0" หมายถึงต้องการเขียนข้อมูลไปยังอุปกรณ์นั้น ถ้าเป็น "1" จะเป็นการอ่านข้อมูลจากอุปกรณ์สเลฟ



รูปที่ 5.6 รูปแบบของข้อมูลกำหนดแอดเดรสที่ใช้ในการอ้างถึงแบบ 7 บิต

ข้อมูลในไบต์ต่อมาคือ ข้อมูลควบคุม (Control byte) ในอุปกรณ์แต่ละตัวมีการกำหนดข้อมูลควบคุมที่แตกต่างกันไป ยกตัวอย่าง ไอซีขยายพอร์ตมีข้อมูลควบคุมที่ใช้กำหนดว่า บิตใดเป็นอินพุต บิตใดเป็นเอาต์พุต ในขณะที่ไอซี ADC/DAC ต้องการข้อมูลควบคุมเพื่อกำหนดให้ทำงานเป็นวงจรร ADC หรือ DAC เป็นต้น

ข้อมูลในไบต์ต่อมาคือ ข้อมูลที่ทำการถ่ายทอดจริง (Data)

หลังจากที่มีการถ่ายทอดข้อมูลในแต่ละไบต์ อุปกรณ์สเลฟที่ได้รับการติดต่อต้องส่งสัญญาณรับรู้ว่าตอบกลับมาด้วยทุกครั้ง เพื่อให้กระบวนการถ่ายทอดข้อมูลสามารถดำเนินต่อไปได้

การอ้างถึงแบบ 10 บิต

ในการอ้างถึงแบบนี้ยังคงใช้รูปแบบข้อมูลอนุกรมที่เหมือนกับแบบ 7 บิต หากแต่จะมีข้อมูลเพิ่มเติมขึ้นมาเล็กน้อย โดยในข้อมูลไบต์แรกหลังจากเกิดสถานะเริ่มต้น ต้องกำหนดให้ 5 บิตบนมีข้อมูลเป็น 11110 ส่วนอีก 2 บิตถัดมาเป็นบิตแอดเดรสของอุปกรณ์ที่ต้องการติดต่อ ในบิต LSB ของข้อมูลไบต์แรกยังคงเป็นการกำหนดว่า ต้องการอ่านหรือเขียนข้อมูลกับอุปกรณ์สเลฟแล้วที่ต้องการติดต่อด้วย ข้อมูลไบต์ต่อมาเป็นข้อมูลแอดเดรสในไบต์ที่ 2 ของอุปกรณ์ที่ต้องการติดต่อด้วย ข้อมูลไบต์ถัดไปจึงเป็นข้อมูลควบคุม ข้อมูลหลังจากนั้นก็จะเป็นข้อมูลจริงที่ใช้ในการติดต่อ เช่นเดียวกับการอ้างถึงแบบ 7 บิต หลังจากถ่ายทอดข้อมูลครบทุกไบต์ ต้องมีสถานะรับรู้ว่าเกิดขึ้น เพื่อให้กระบวนการถ่ายทอดข้อมูลสามารถดำเนินต่อไปได้ ในรูปที่ 8 แสดงรูปแบบข้อมูลอนุกรมของการอ้างถึงแบบ 10 บิต

5.6.6 อุปกรณ์ที่ใช้การเชื่อมต่อแบบบัส I²C

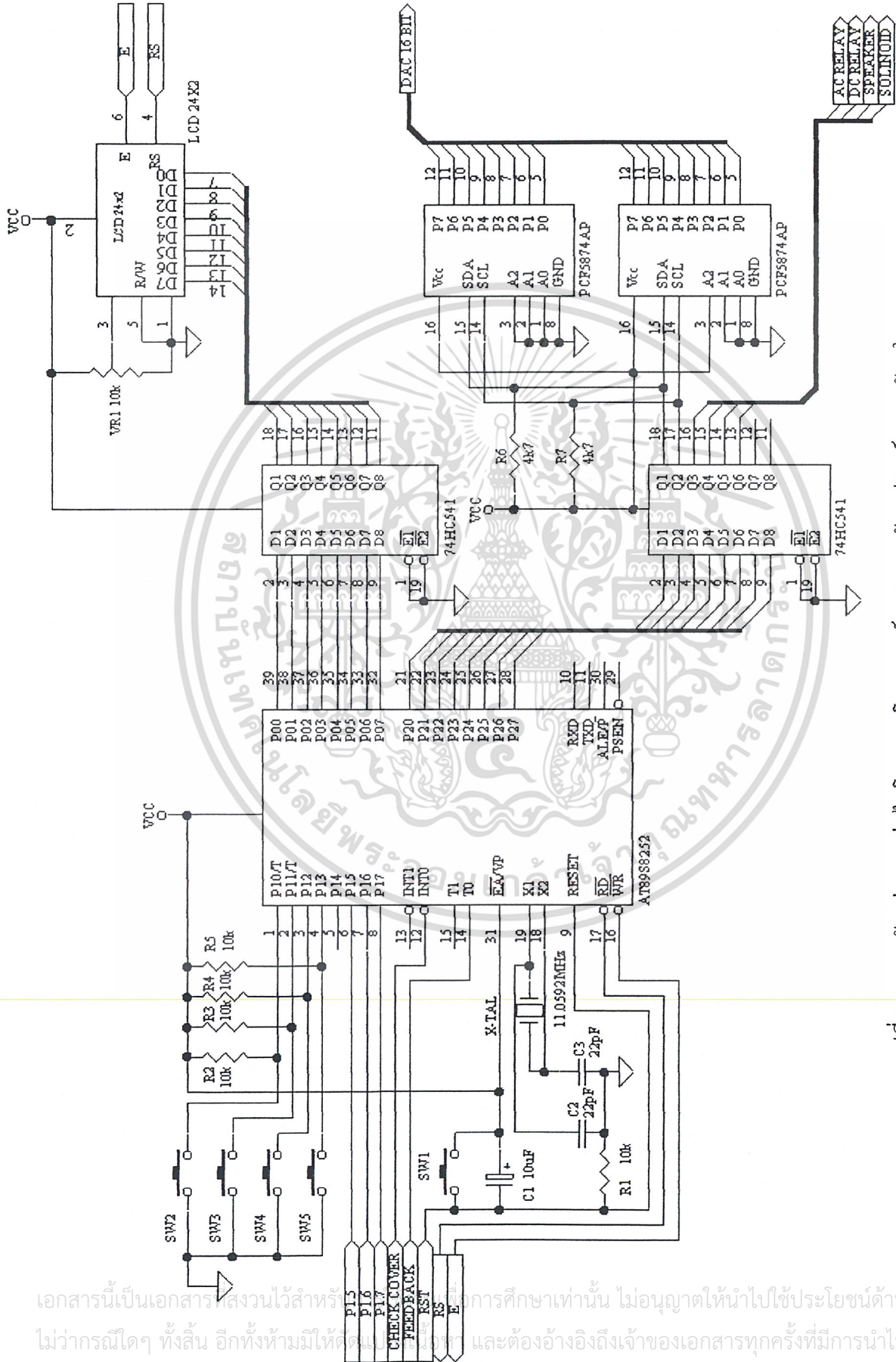
ในปัจจุบัน บัส I²C ได้รับความนิยมเพิ่มมากขึ้นเรื่อย ๆ ด้วยข้อดีที่ชัดเจนคือ ใช้สายสัญญาณเพียง 2 เส้นเท่านั้น และการขยายระบบไมโครคอนโทรลเลอร์ที่มีจำนวนอินพุทเอาต์พุท และหน่วยความจำจำกัด สามารถทำได้ง่ายขึ้นด้วยระบบบัส I²C เมื่อเป็นเช่นนี้จึงมีอุปกรณ์เพอริเพอรัลที่ใช้การเชื่อมต่อแบบบัส I²C มากมายจากหลายผู้ผลิตออกมาให้ได้ใช้งานกัน ดังมีตัวอย่างต่อไปนี้

- ไอซีขยายพอร์ตอินพุทเอาต์พุท (I/O expander) เบอร์ PCF8574, PCF8582, PCF8584
- ไอซีหน่วยความจำอีอีพรอมอนุกรม (Serial EEPROM) เบอร์ 24Cxx, PCF8570, PCF72/73
- ไอซี ADC/DAC เบอร์ PCF8591
- ไอซีรีลไทม์คล็อก (Real-time clock) เบอร์ PCF8583, PCF8593, PCF8598, 41T56C
- ไอซีขับ LCD โมดูล (LCD driver) เบอร์ PCF8466, PCF8576, PCF8577/78, PCF8579, SAA1064
- ไอซีกำเนิดสัญญาณ DTMF (DTMF generator) เบอร์ PCD3311/12

5.6.7 การต่ออุปกรณ์ระบบบัส I²C กับไมโครคอนโทรลเลอร์ MCS-51

สามารถทำได้ง่ายมาก เพียงใช้ขาพอร์ต 2 ขา โดยกำหนดให้ขาหนึ่งเป็น SDA อีกขาหนึ่งเป็น SCL และต่อตัวต้านทานค่าประมาณ 4.7 k Ω พูลอัปที่ขาพอร์ตทั้งสองขา เพียงเท่านี้ก็สามรถติดต่อกับอุปกรณ์ระบบบัส I²C ได้แล้ว

ในรูปที่ 5.7 เป็นวงจรตัวอย่างการต่อไมโครคอนโทรลเลอร์ MCS-51 เข้ากับระบบบัส I²C จากวงจรจะใช้ขาพอร์ต P1.0 เป็นขา SDA และ P1.1 เป็นขา SCL อุปกรณ์ที่ทำการติดต่อดังนี้คือ ไอซีขยายพอร์ตอินพุทเอาต์พุทเบอร์ PCF8574



รูปที่ 5.7 วงจรตัวอย่างการต่อไมโครคอนโทรลเลอร์ MCS-51 กับอุปกรณ์ระบบบัส I²C

เอกสารนี้เป็นเอกสารสงวนไว้สำหรับใช้เพื่อการศึกษเท่านั้น ไม่อนุญาตให้นำไปใช้ประโยชน์ด้านการค้า
 ไม่ว่ากรรมใดๆ ทั้งสิ้น อีกทั้งห้ามมิให้ดัดแปลงหรือทำซ้ำโดยไม่ได้รับอนุญาต และต้องอ้างอิงถึงเจ้าของเอกสารทุกครั้งที่มีการนำไปใช้

5.6.8 การเขียนโปรแกรมติดต่อบัส I²C

เริ่มต้นด้วยการสร้างสถานะมาตรฐานของบัส I²C อันประกอบด้วย สถานะเริ่มต้น, สถานะสิ้นสุดการส่งข้อมูล, สถานะหยุด และ สัญญาณนาฬิกาบนขา SCL

การสร้างสถานะเริ่มต้น

1. เมื่อต้องการติดต่อบัส I²C สิ่งแรกที่ต้องทำสำหรับไมโครคอนโทรลเลอร์ซึ่งถือว่าเป็นอุปกรณ์มาสเตอร์คือ การทำให้บัสสว่างด้วยการกำหนดให้ขา SCL และ SDA มีลอจิกเป็น "1" ทั้งคู่
2. จากนั้นทำให้ขา SDA มีลอจิกเป็น "0" โดยที่ขา SCL ยังคงเป็นลอจิก "1" อยู่
3. กำหนดให้ขา SCL มีลอจิกเป็น "0" ถึงตอนนี้ทั้ง SCL และ SDA จะมีลอจิกเป็น "0" ทั้งคู่ พร้อมทั้งจะคิดต่อได้แล้ว

การสร้างสถานะหยุด

1. เมื่อต้องการหยุดส่งข้อมูลจะต้องส่งสถานะหยุดออกไป โดยในตอนแรกต้องกำหนดให้ขา SCL และ SDA เป็นลอจิก "0" ทั้งคู่ก่อน
2. กำหนดให้ขา SCL มีลอจิกเป็น "1" โดย SDA ยังคงมีลอจิกเป็น "0"
3. จากนั้นทำให้ขา SDA มีลอจิกเป็น "1" ซึ่งจะทำให้ระบบบัสกลับเข้าบัสสว่างอีกครั้ง พร้อมทั้งจะรับหรือส่งข้อมูลต่อไป

การส่งข้อมูลลอจิก "0" และลอจิก "1"

หลังจากที่ทำการส่งบิตเริ่มต้นแล้ว ลำดับต่อไปก็คือ จะต้องส่งข้อมูลควบคุมซึ่งจะเป็นขบวนของลอจิก "0" และลอจิก "1" สำหรับการส่งข้อมูลลอจิก "0" ต้องดำเนินการตามขั้นตอนดังนี้

1. ทำให้ขา SDA เป็น "0" สำหรับการส่งข้อมูลลอจิก "0"
2. ทำให้ขา SCL เป็น "1" สำหรับการป้อนสัญญาณนาฬิกา ในขณะที่ขา SDA ยังคงเป็น "0" อยู่
3. จากนั้นทำให้ขา SCL กลับมามีสถานะเป็นลอจิก "0" เหมือนเดิม
ในขณะที่การส่งข้อมูลลอจิก "1" มีขั้นตอนดังนี้
 1. ทำให้ขา SDA มีลอจิกเป็น "1" สำหรับการส่งข้อมูลลอจิก "1"
 2. ทำให้ขา SCL เป็น "1" สำหรับการส่งสัญญาณนาฬิกา ในขณะที่ขา SDA ยังคงเป็น "1" อยู่
 3. จากนั้นทำให้ขา SCL กลับมามีสถานะเป็นลอจิก "0" เหมือนเดิม

เอกสารนี้เป็นเอกสารที่สงวนไว้สำหรับการใช้งานเพื่อการศึกษาเท่านั้น ไม่อนุญาตให้นำไปใช้ประโยชน์ด้านการค้าไม่ว่ากรณีใดๆ ทั้งสิ้น อีกทั้งห้ามมิให้ดัดแปลงเนื้อหา และต้องอ้างอิงถึงเจ้าของเอกสารทุกครั้งที่มีการนำไปใช้

5.6.9 การขยายจำนวนพอร์ตอินพุทเอาต์พุทด้วยไอซี PCF8574A

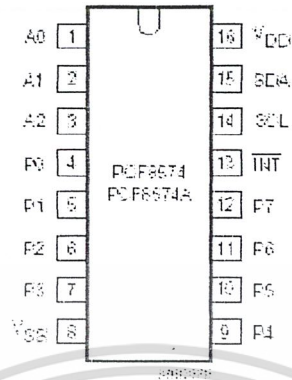
ข้อมูลเบื้องต้นของ PCF8574A

ไอซี PCF8574A มีคุณสมบัติดังนี้

- ทำงานที่ระดับแรงดันตั้งแต่ 2.5V ถึง 6V
- กินกระแสในสถานะสแตนด์บายต่ำเพียง 10 μ A
- มีเอาต์พุทอินเตอร์รัปต์แบบเดรนเปิด
- เอาต์พุทสามารถขับกระแสได้สูง โดยสามารถนำไปขับ LED ได้โดยตรง และสามารถแลตซ์ค่าได้
- สามารถกำหนดตำแหน่งแอดเดรสของไอซีแต่ละตัวได้ทางฮาร์ดแวร์ ด้วยขา A0-A2 ทำให้สามารถต่อพ่วงกันได้ถึง 8 ตัว

การจัดขาของไอซี PCF8574A แสดงในรูปที่ 5.8 การทำงานของแต่ละขาแสดงในตารางที่ 1 ขาพอร์ตทั้ง 8 ขาของ PCF8574A สามารถกำหนดให้เป็นอินพุทหรือเอาต์พุทได้โดยอิสระ โดยไม่จำเป็นต้องใช้คำสั่งควบคุมเพื่อเลือกให้เป็นขาเอาต์พุทหรือขาอินพุท ลักษณะวงจรภายในของพอร์ตอินพุทเอาต์พุทแสดงในรูปที่ 5.9 เมื่อจ่ายไฟให้กับ PCF8574A ครั้งแรก ขาพอร์ตทั้ง 8 ขาจะมีลอจิกเป็น "1" ซึ่งจะเป็นการจ่ายกระแสมาจากแหล่งจ่ายกระแสที่ภายในตัวไอซี ทำให้มีกระแสในขณะลอจิก "1" นี้เพียง 100 μ A เท่านั้น ในกรณีที่ต้องการให้มีการจ่ายกระแสสูง ๆ จำเป็นต้องต่อตัวต้านทานพูลอัพเอาไว้ที่ขาพอร์ตเหล่านี้ด้วย

เมื่อต้องการให้ขาพอร์ตเหล่านี้ทำหน้าที่เป็นอินพุทจะต้องส่งสัญญาณให้ขาเหล่านี้มีลอจิก "1" เสียก่อน เมื่อขาอินพุทได้รับสัญญาณจากภายนอกป้อนเข้ามา ไอซี PCF8574A จะสร้างสัญญาณอินเตอร์รัปต์ (INT) ป้อนให้ไมโครคอนโทรลเลอร์หรือคอมพิวเตอร์รับรู้ แทนการต้องคอยตรวจสอบขาอินพุทอยู่ตลอดเวลา สัญญาณอินเตอร์รัปต์นี้จะถูกรีเซ็ต เมื่อมีการอ่านค่าข้อมูลหรือมีการเปลี่ยนค่าของอินพุทไปสู่ค่าเดิม

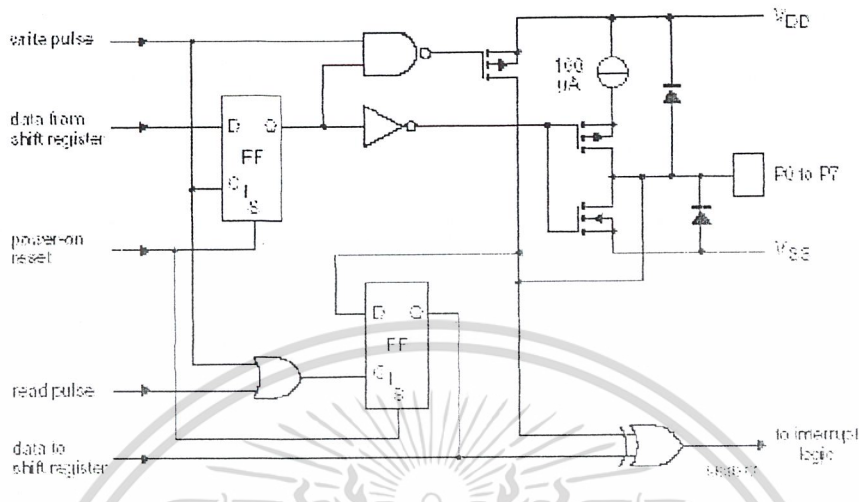


รูปที่ 5.8 การจัดขาของไอซีขยายพอร์ตอินพุทเอาต์พุท PCF8574/PCF8574A

ชื่อ	ตำแหน่งขา	หน้าที่
A0	1	อินพุทแอดเดรสตัวที่ 1
A1	2	อินพุทแอดเดรสตัวที่ 2
A2	3	อินพุทแอดเดรสตัวที่ 3
P0	4	พอร์ตอินพุทเอาต์พุท 2 ทิศทางบิต 0
P1	5	พอร์ตอินพุทเอาต์พุท 2 ทิศทางบิต 1
P2	6	พอร์ตอินพุทเอาต์พุท 2 ทิศทางบิต 2
P3	7	พอร์ตอินพุทเอาต์พุท 2 ทิศทางบิต 3
V _{ss}	8	กราวด์
P4	9	พอร์ตอินพุทเอาต์พุท 2 ทิศทางบิต 4
P5	10	พอร์ตอินพุทเอาต์พุท 2 ทิศทางบิต 5
P6	11	พอร์ตอินพุทเอาต์พุท 2 ทิศทางบิต 6
P7	12	พอร์ตอินพุทเอาต์พุท 2 ทิศทางบิต 7
INT	13	ขาเอาต์พุทอินเทอร์รัปต์(ทำงานที่ลอจิก 0)
SCL	14	ขาสัญญาณนาฬิกาสำหรับ I ² C บัส
SDA	15	ขาข้อมูลสำหรับ I ² C บัส
V _{DD}	16	ไฟเลี้ยง

ตารางที่ 1 รายละเอียดหน้าที่การทำงานของแต่ละขาของไอซี PCF8574/PCF8574A

เอกสารนี้เป็นเอกสารที่สงวนไว้สำหรับการใช้งานเพื่อการศึกษาเท่านั้น ไม่อนุญาตให้นำไปใช้ประโยชน์ด้านการค้า ไม่ว่าจะกรณีใดๆ ทั้งสิ้น อีกทั้งห้ามมิให้ดัดแปลงเนื้อหา และต้องอ้างอิงถึงเจ้าของเอกสารทุกครั้งที่มีการนำไปใช้



รูปที่ 5.9 วงจรภายในขาพอร์ตของไอซี PCF8574/PCF8574A

การเขียนโปรแกรมควบคุม PCF8574A

เนื่องจาก PCF8574A มีการเชื่อมต่อเป็นแบบบัส I²C ดังนั้นการติดต่อจึงสามารถใช้โปรแกรมย่อยการติดต่อกับอุปกรณ์สเลฟ, การสร้างสถานะเริ่มต้น, สถานะหยุด, การอ่าน และเขียนข้อมูลที่แสดงไว้ในรูปที่ 10 ได้ ส่วนที่ต้องเปลี่ยนแปลงสำหรับ PCF8574A คือ ข้อมูลกำหนดแอดเดรส โดยข้อมูลของ PCF8574A มีรูปแบบดังนี้

บิต 7 บิต 6 บิต 5 บิต 4 บิต 3 บิต 2 บิต 1 บิต 0

0	1	1	1	A ₂	A ₁	A ₀	R/W
---	---	---	---	----------------	----------------	----------------	-----

บิต A₀, A₁, A₂ ใช้ในการระบุ PCF8574A ที่ใช้บนบอร์ดในกรณีที่มีการต่อ PCF8574 มากกว่า 1 ตัว โดยค่าของ A₀-A₂ จะมีความแตกต่างกันไปในแต่ละตัว สามารถกำหนดได้ทางฮาร์ดแวร์ โดยการต่อขา A₀-A₂ เข้ากับไฟเลี้ยง +5V เพื่อกำหนดเป็นลอจิก "1" หรือกราวด์เพื่อกำหนดเป็นลอจิก "0" ดังนั้นค่าแอดเดรสของ PCF8574A 1 ตัวจึงต้องนำสถานะที่กำหนดทางฮาร์ดแวร์ที่ขา A₀-A₂ มารวมด้วยจึงจะสมบูรณ์ ส่วนบิต R/W ใช้กำหนดว่าต้องการอ่านหรือเขียนข้อมูลกับไอซี PCF8574A ยกตัวอย่าง ถ้าหากกำหนดขา A₀-A₂ ลงกราวด์ทั้งหมด และต้องการอ่านข้อมูลจาก PCF8574A ข้อมูลกำหนดแอดเดรสที่ต้องส่งให้แก่ PCF8574A คือ 01110001B เป็นต้น

ไอซี PCF8574A ยังมีอีกเบอร์หนึ่งในอนุกรมเดียวกัน นั่นคือ PCF8574 ซึ่งก็มีข้อมูลกำหนดแอดเดรสที่แตกต่างกับ PCF8574A แต่ฟังก์ชันการทำงานเหมือนกันทุกประการ โดยข้อมูลกำหนดแอดเดรสของ PCF8574 มีดังนี้

บิต 7	บิต 6	บิต 5	บิต 4	บิต 3	บิต 2	บิต 1	บิต 0
0	1	0	0	A2	A1	A0	$\overline{R/W}$

ดังนั้น จึงสามารถต่อพ่วงไอซีในอนุกรม PCF8574x ได้สูงถึง 16 ตัว การส่งหรือเขียนข้อมูล ไปยัง PCF8574A โดยมีลำดับขั้นตอนดังนี้

1. เตรียมข้อมูลกำหนดแอดเดรสของ PCF8574A
2. เรียกโปรแกรมย่อยการติดต่อกับอุปกรณ์สเลฟ
3. รอรับการตอบกลับจาก PCF8574A
4. ส่งข้อมูลไปยัง PCF8574A
5. เรียกโปรแกรมย่อยสภาวะหยุด

สำหรับการอ่านข้อมูลจาก PCF8574A มีลักษณะใกล้เคียงกันคือมีรูปแบบดังนี้

1. เตรียมข้อมูลกำหนดแอดเดรสของ PCF8574A
2. เรียกโปรแกรมย่อยการติดต่อกับอุปกรณ์สเลฟ
3. รอรับการตอบกลับจาก PCF8574A
4. อ่านข้อมูลจาก PCF8574A โดยใช้โปรแกรมย่อยการอ่านข้อมูลจากอุปกรณ์สเลฟ
5. เรียกโปรแกรมย่อยสภาวะหยุด

5.7 วงจรแปลงสัญญาณดิจิทัลเป็นอนาลอกแบบ R-2R

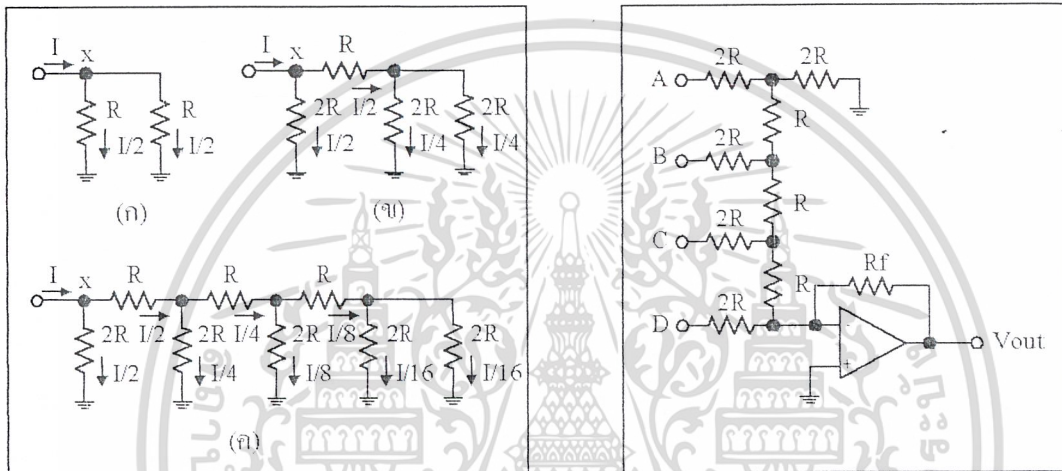
5.7.1 ความรู้เบื้องต้นเกี่ยวกับวงจร DAC แบบ R-2R

วงจร DAC แบบ R-2R แลคเตอร์เป็นวงจรอีกแบบหนึ่งที่ได้รับคามนิยม ทั้งนี้เนื่องจากสามารถหาอุปกรณ์ในการสร้างวงจรง่าย กระบวนการสร้างวงจร DAC จะเริ่มต้นจากวงจรตัวต้านทางต่อขนานกัน 2 ตัว ดังในรูปที่ 5.9 (ก) หากตัวต้านทานสองตัวมีค่าเท่ากัน กระแสที่ไหลผ่านตัวต้านทางทั้งสองตัวจะมีค่าเท่ากันคือ เท่ากับ $I/2$ จากนั้นทำการเปลี่ยนค่าของตัวต้านทานเพื่อขยายสาขาของวงจรดังในรูปที่ 5.9 (ข) ค่าความต้านทานที่จุด X จะเท่ากัน ซึ่งก็คือ $2R$ ดังนั้นค่าความต้านทานทั้งทางด้านซ้ายและขวามือของจุด X จะมีค่าเท่ากันคือ $2R$ ทำให้ปริมาณกระแสที่ไหลผ่านเท่า

เอกสารนี้เป็นเอกสารที่สงวนไว้สำหรับการใช้งานเพื่อการศึกษาเท่านั้น ไม่อนุญาตให้นำไปใช้ประโยชน์ด้านการค้าไม่ว่ากรณีใดๆ ทั้งสิ้น อีกทั้งห้ามมิให้ดัดแปลงเนื้อหา และต้องอ้างอิงถึงเจ้าของเอกสารทุกครั้งที่มีการนำไปใช้

กันคือ $I/2$ จากจุด X จะมีกระแสไหลเข้า $I/2$ จะถูกแยกเป็นสองทางด้วยตัวต้านทาน $2R$ สองตัวที่ต่อขนานกัน กระแสที่ไหลผ่านวงจรในสาขานี้จึงเป็น $I/4$

ดังนั้น หากต่อพ่วงวงจรตัวต้านทานเข้าไปอีกหลายสาขา ก็จะทำให้กระแสถูกเฉลี่ยมากขึ้น เหมือนกับการสร้างบันไดของกระแสทีละขั้น ด้วยอัตราส่วนของตัวต้านทานที่คงที่ คือ R และ $2R$ ดังในวงจรรูปที่ 5.9 (ค) จากนั้นนำวงจร R-2R แลตเตอร์ นี้ต่อเข้ากับวงจรแปลงค่ากระแสเป็นแรงดันโดยใช้โอปแอมป์ ดังในรูปที่ 5.11



รูปที่ 5.10 พื้นฐานของวงจรแปลงสัญญาณดิจิทัลเป็นอะนาล็อกแบบ R-2R

รูปที่ 5.11 วงจร DAC แบบ R-2R ที่มีการใช้ออปแอมป์ในการแปลงค่ากระแสเป็นแรงดัน

แรงดันเอาต์พุต V_{out} จะมีค่าเท่ากับ โดยที่ I_{in} จะเป็นค่าผลรวมของกระแสที่ได้จากวงจร R-2R แลตเตอร์ ยกตัวอย่าง ป้อนข้อมูลดิจิทัล 1011 เข้าที่อินพุต DCBA ทำให้เกิดกระแสไหลผ่าน R_2, R_4 และ R_8 เข้ารวมกันที่อินพุตของออปแอมป์กลายเป็น I_{in} ซึ่งมีค่า

$$I_{in} = \frac{I}{2} + \frac{I}{8} + \frac{I}{16}$$

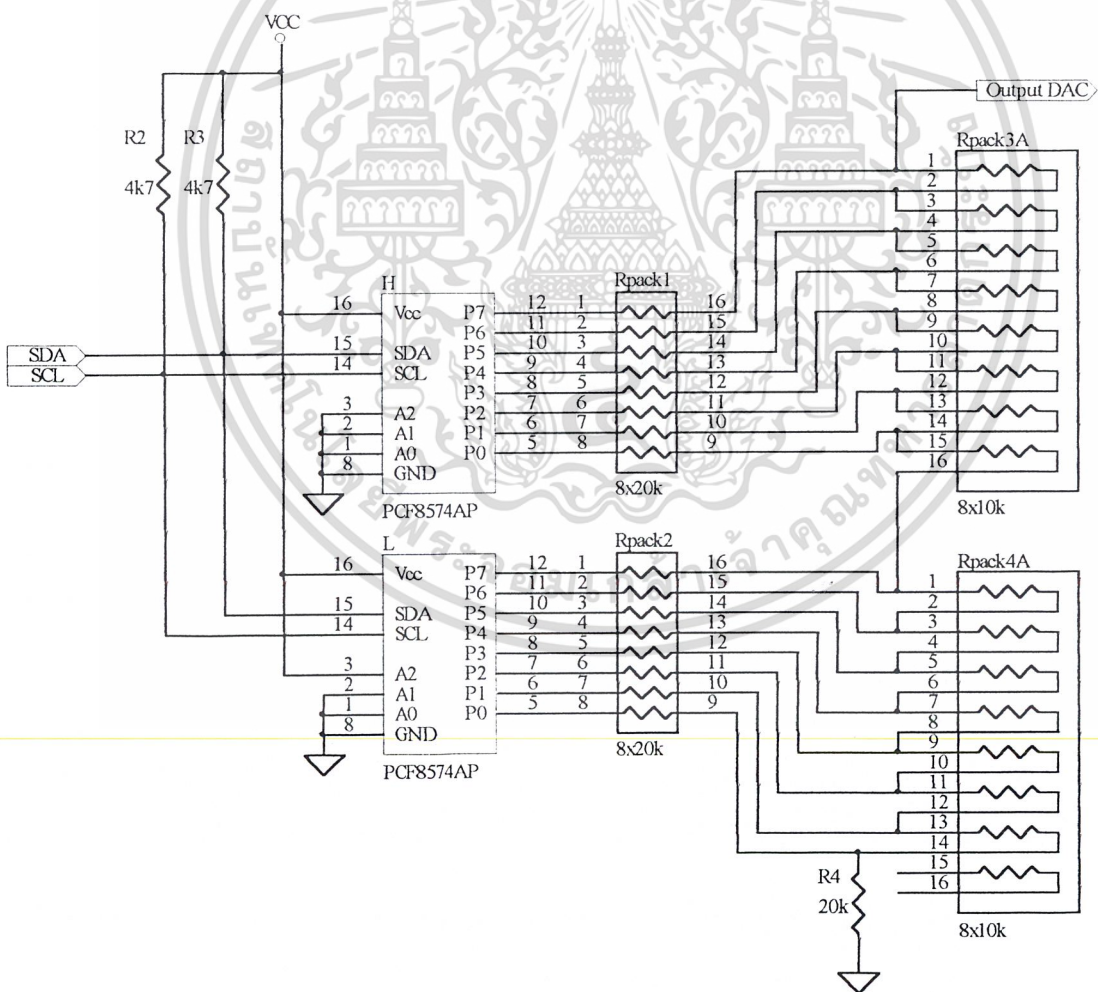
ดังนั้น

$$V_{out} = \left(\frac{I}{2} + \frac{I}{8} + \frac{I}{16} \right) \times R_f$$

จะเห็นได้ว่า การใช้วงจร DAC แบบ R-2R จะมีข้อดีคือ หาตัวต้านทานได้ง่ายกว่าแบบกำหนดน้ำหนักตัวต้านทานคือ ใช้ตัวต้านทานเพียง 2 ค่า ในขณะที่แบบกำหนดน้ำหนักตัวต้านทานต้องใช้ตัวต้านทานหลายค่า และต้องมีค่าที่ถูกต้องกันไปเรื่อย ๆ ซึ่งอาจทำให้หาตัวต้านทานได้ยากขึ้นตามลำดับ

5.7.2 การเชื่อมต่อวงจร DAC แบบ R-2R เข้ากับไมโครคอนโทรลเลอร์ MCS-51

ในการเชื่อมต่อวงจร DAC แบบ R-2R เข้ากับไมโครคอนโทรลเลอร์ MCS-51 สามารถต่อเข้ากับพอร์ตใดก็ได้โดยผ่านวงจรแลตซ์ ทั้งนี้เพื่อให้สามารถข้อมูลดิจิทัลที่ส่งออกไปสามารถคงค่าอยู่ได้จนกว่าจะมีการส่งข้อมูลดิจิทัลออกไปใหม่ การเขียนโปรแกรมเพื่อติดต่อกำทำได้โดยพิจารณาวงจร DAC แบบ R-2R เป็นเหมือนกับอุปกรณ์เอาต์พุตแบบขนานตัวหนึ่ง เมื่อส่งข้อมูลดิจิทัลออกไป วงจร DAC นี้ก็จะแปลงเป็นสัญญาณอนาลอกให้เอง ซึ่งในโครงการนี้ทำการต่อวงจร DAC แบบ R-2R แลตเตอร์ เข้ากับไมโครคอนโทรลเลอร์โดยผ่าน I²C ที่ทำหน้าที่ขยายพอร์ต เพราะในโครงการนี้ใช้ความละเอียดสูง (16 Bit) จึงต้องมีการขยายพอร์ตโดยใช้ IC I²C 2 ตัว แล้วต่อเข้ากับวงจร DAC แบบ R-2R แลตเตอร์ ดังแสดงในรูปที่ 5.12



รูปที่ 5.12 การต่อวงจร DAC แบบ R-2R แลตเตอร์ โดยใช้ I²C ขยายพอร์ต

เอกสารนี้เป็นเอกสารที่สงวนไว้สำหรับการใช้งานเพื่อการศึกษาเท่านั้น ไม่อนุญาตให้นำไปใช้ประโยชน์ด้านการค้า ไม่ว่าจะกรณีใดๆ ทั้งสิ้น อีกทั้งห้ามมิให้ดัดแปลงเนื้อหา และต้องอ้างอิงถึงเจ้าของเอกสารทุกครั้งที่มีการนำไปใช้

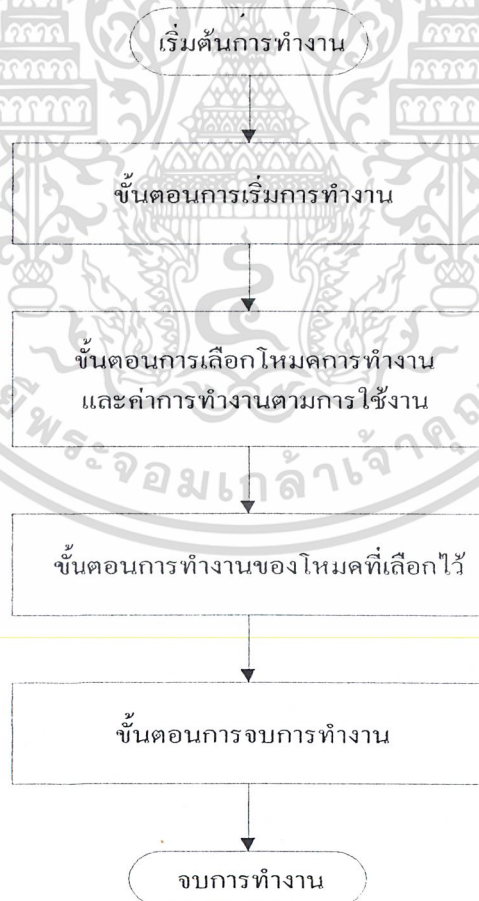
บทที่ 6

ขั้นตอนการทำงานของโปรแกรม

ขั้นตอนการทำงานของโปรแกรมสามารถแบ่งได้ออกเป็น 4 ขั้นตอนหลัก ๆ ดังนี้

1. ขั้นตอนการเริ่มต้นการทำงาน
2. ขั้นตอนการเลือกโหมดการทำงาน
 - โหมด HEMATOCRIT ใช้ความเร็วรอบ 12,000 รอบต่อนาที
 - โหมด CENTRIFUGE ใช้ความเร็วรอบ 3,000 รอบต่อนาที
3. ขั้นตอนการทำงานของโหมดที่ได้เลือกไว้
4. ขั้นตอนการจบการทำงาน

โดยมีโฟลวชาร์ตแสดงดังรูปที่ 6.1



รูปที่ 6.1 โฟลวชาร์ตแสดงขั้นตอนการทำงานของโปรแกรม

เอกสารนี้เป็นเอกสารที่สงวนไว้สำหรับการใช้งานเพื่อการศึกษาเท่านั้น ไม่อนุญาตให้นำไปใช้ประโยชน์ด้านการค้าไม่ว่ากรณีใดๆ ทั้งสิ้น อีกทั้งห้ามมิให้ดัดแปลงเนื้อหา และต้องอ้างอิงถึงเจ้าของเอกสารทุกครั้งที่มีการนำไปใช้

ในแต่ละขั้นตอน จะสามารถแบ่งเป็นขั้นตอนย่อยๆ ได้ดังต่อไปนี้

6.1 ขั้นตอนการเริ่มต้นการทำงาน โดยมีโฟลวชาร์ตดังรูปที่ 6.2 และขั้นตอนดังนี้

- 1) กำหนดแอดเดรสของตัวแปรต่าง ๆ และบิตของตัวแปรต่าง ๆ ในการใช้งาน
- 2) กำหนดแอดเดรสเริ่มต้นของโปรแกรม และแอดเดรสของอินเตอร์รัปต์ไทเมอร์ 0 และไทเมอร์ 1
- 3) กำหนดค่าเริ่มต้นของพอร์ตและเตรียม LCD โมดูลให้พร้อมในการทำงาน
- 4) แสดงข้อความบนหน้าจอ LCD ดังนี้

' KMITL '

' PRESENT '

- 5) ตรวจสอบว่าฝาครอบเปิดอยู่หรือไม่?

5.1) ถ้าเปิดอยู่ จะทำงานดังนี้

- จะแสดงข้อความบนหน้าจอ LCD ดังนี้

' Please press OPEN key '

' for opening the cover. '

แล้วจะรอกการกดปุ่ม OPEN เพื่อให้ขดลวดโซลินอยด์ทำงานปลดล็อกฝาครอบ

- จากนั้นจะแสดงข้อความบนหน้าจอ LCD ดังนี้

' Please open the cover '

' Put or pick the tubes. '

เพื่อรอการเปิดฝาครอบ ในการหยิบหรือวางหลอดเลือด และเมื่อฝาครอบถูกเปิด

แล้ว ก็จะเข้าสู่ขั้นตอนลำดับที่ 6 ต่อไป

5.2) ถ้าเปิดอยู่ จะทำขั้นตอนลำดับที่ 6 ต่อไป

- 6) แสดงข้อความบนหน้าจอ LCD ดังนี้

' Please close the cover '

' Before starting machine '

และทำงานวนลูปรอการปิดฝาครอบ

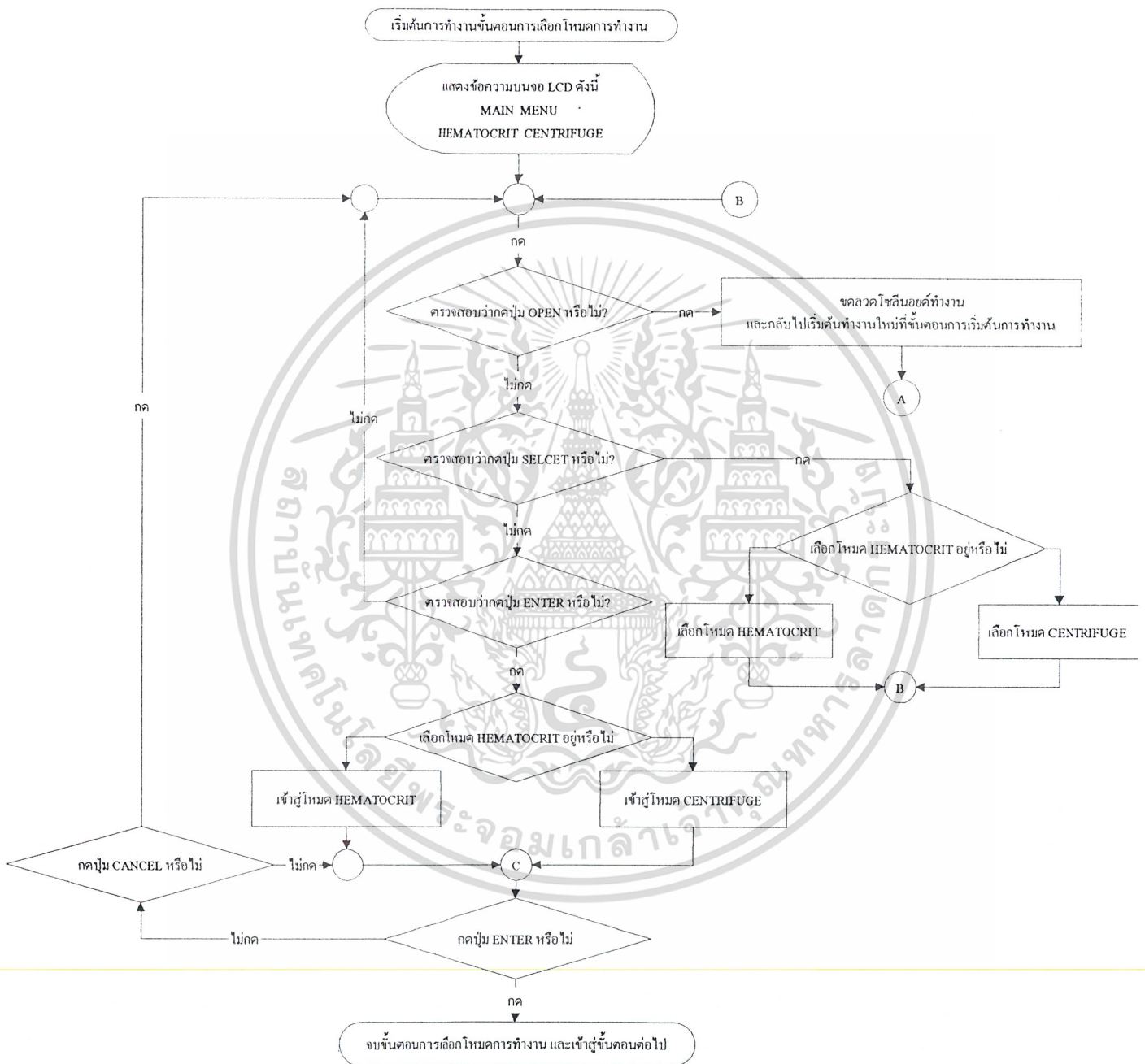
- 7) เมื่อทำการปิดฝาครอบแล้ว ก็จะเข้าสู่ขั้นตอนการเลือกโหมดการทำงาน



รูปที่ 6.2 โฟลวชาร์ตแสดงขั้นตอนการเริ่มต้นการทำงาน

เอกสารนี้เป็นเอกสารที่สงวนไว้สำหรับการใช้งานเพื่อการศึกษาเท่านั้น ไม่อนุญาตให้นำไปใช้ประโยชน์ด้านการค้า ไม่ว่ากรณีใดๆ ทั้งสิ้น อีกทั้งห้ามมิให้ดัดแปลงเนื้อหา และต้องอ้างอิงถึงเจ้าของเอกสารทุกครั้งที่มีการนำไปใช้

6.2) ขั้นตอนการเลือกโหมดการทำงาน โดยมีโฟลวชาร์ตดังรูปที่ 6.3 และขั้นตอนดังนี้



รูปที่ 6.3 แสดงโฟลวชาร์ตของขั้นตอนการเลือกโหมดการทำงาน

- 1) ต่อจากขั้นตอนเริ่มต้นโปรแกรม หลังจากปิดฝาครอบในขั้นตอนลำดับที่ 7 แล้ว จะปรากฏข้อความบนหน้าจอ LCD ดังนี้

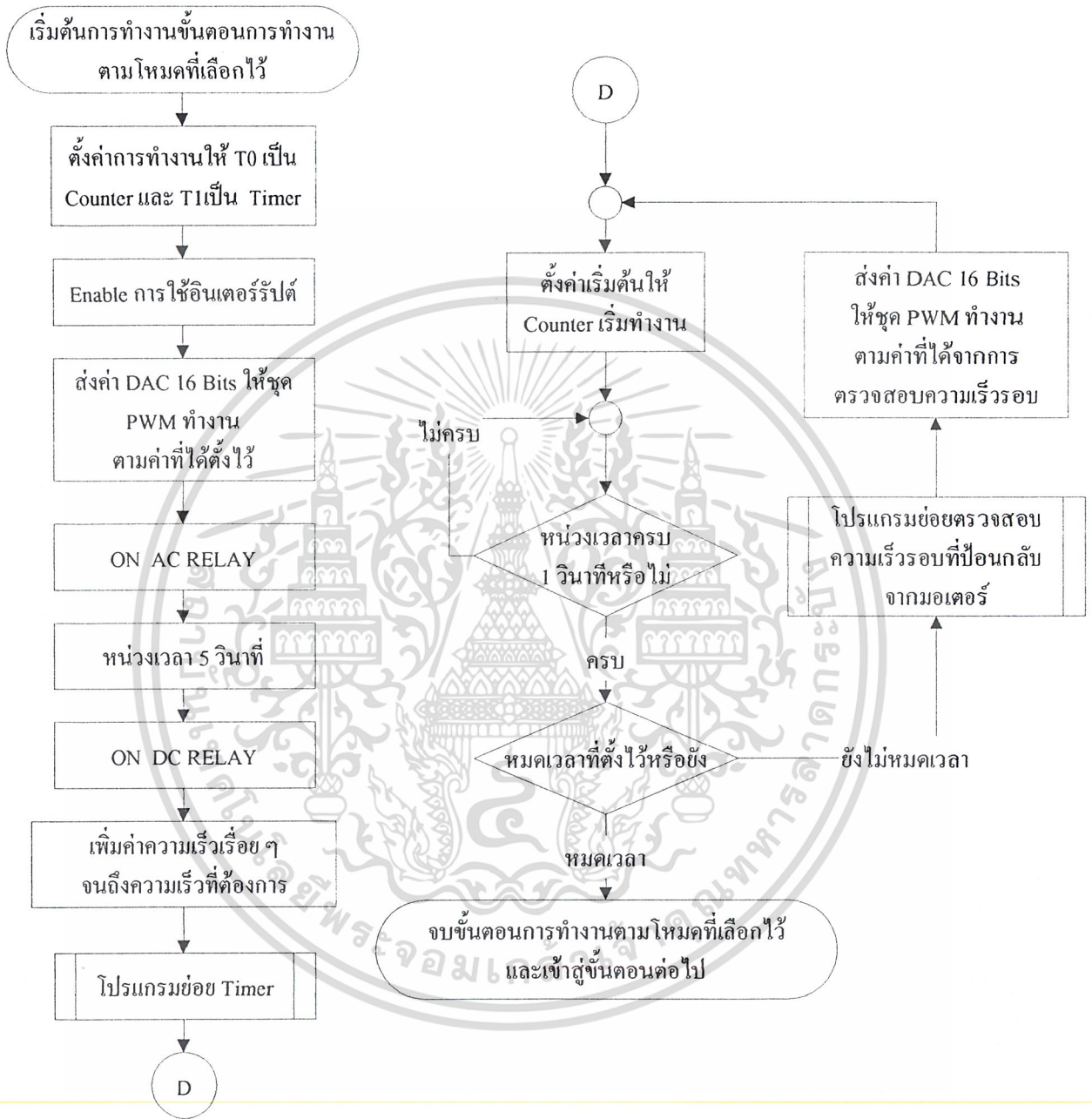
MAIN MENU

เอกสารนี้เป็นเอกสารที่สงวนไว้สำหรับการใช้เพื่อการศึกษเท่านั้น ไม่อนุญาตให้นำไปใช้ประโยชน์ด้านการค้า 'HEMATOCRIT CENTRIFUGE' ไม่ว่าจะกรณีใดๆ ทั้งสิ้น อีกทั้งห้ามมิให้ดัดแปลงเนื้อหา และต้องอ้างอิงถึงเจ้าของเอกสารทุกครั้งที่มีการนำไปใช้

- 2) จากนั้นจะทำการวนลูปรอการกดปุ่ม OPEN, SELECT, และ ENTER โดยแต่ละปุ่มจะทำงานดังนี้
 - ถ้ากดปุ่ม OPEN จะทำให้ขดลวดโซลินอยด์ทำงาน เพื่อปลดล็อกฝาครอบ เสร็จแล้วจะกระโดดกลับไปทำงานต่อที่ขั้นตอนเริ่มต้นโปรแกรม ในลำดับที่ 5
 - ถ้ากดปุ่ม SELECT จะทำการเลือกโหมดการทำงานระหว่างโหมด HEMATOCRIT และ CENTRIFUGE เสร็จแล้วจะกลับไปวนลูปรอการกดปุ่มต่อไป
 - ถ้ากดปุ่ม ENTER จะทำการเข้าสู่โหมดการทำงานตามที่ได้เลือกไว้
 - ถ้ากดปุ่ม CANCEL จะไม่มีผลการทำงานใดๆ
- 3) หลังจากกดปุ่ม ENTER แล้ว ก็จะเข้าสู่ขั้นตอนการทำงานของโหมดที่เลือกไว้

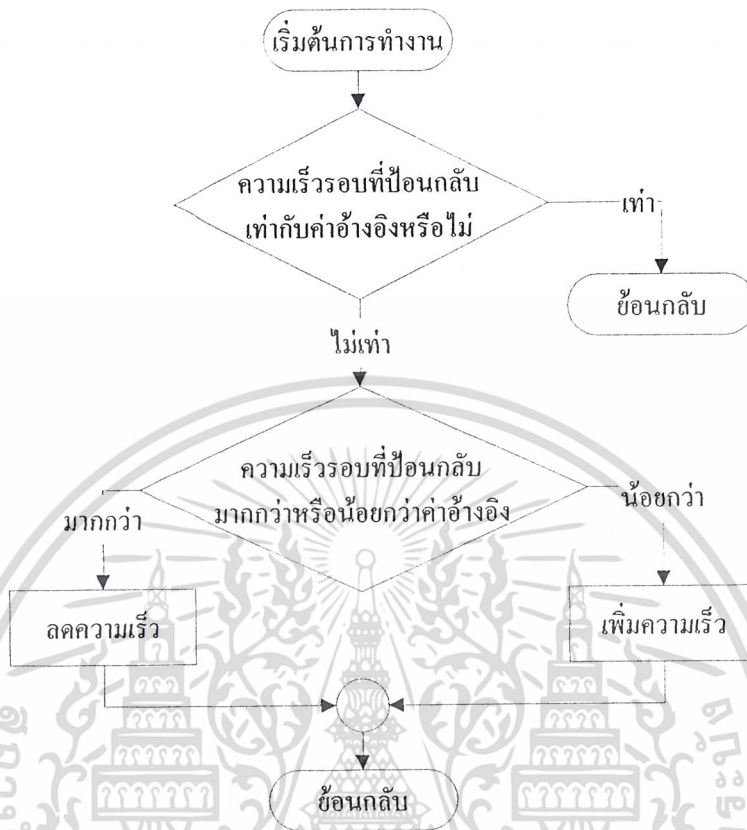
6.3 ขั้นตอนการทำงานของโหมดที่เลือกไว้ โดยมีโฟลวชาร์ตดังรูปที่ 6.4, 6.5, 6.6 และขั้นตอนดังนี้

- 1) ทำการส่งข้อมูลตามโหมดที่เลือกไว้ ไปยังพอร์ต I²C เพื่อส่งต่อให้ DAC 16 Bit ทำงาน ส่งเอาท์พุทให้ชุดควบคุมมอเตอร์ทำงาน
- 2) ส่งข้อมูลลอจิก "0" ไปยังพอร์ต P2.3 เพื่อให้ AC Relay ทำงาน
- 3) ส่งข้อมูลลอจิก "0" ไปยังพอร์ต P2.4 เพื่อให้ DC Relay ทำงาน ซึ่งหลังจากนี้มอเตอร์จะเริ่มทำงานแล้ว
- 4) เมื่อมอเตอร์เริ่มทำงานแล้ว จากนั้นก็จะค่อย ๆ ลดค่าข้อมูลที่ส่งไปยังพอร์ต I²C เพื่อเป็นการเพิ่มความเร็วรอบขึ้นเรื่อย ๆ จนกว่าจะถึงค่าที่กำหนด
- 5) Timer เริ่มทำงานนับเวลา
- 6) หน่วงเวลาเพื่อรอการเริ่มนับความเร็วรอบของมอเตอร์ที่ส่งกลับมา ทั้งนี้เพื่อเริ่มนับหลังจากช่วงเริ่มต้นการหมุนของมอเตอร์สิ้นสุด
- 7) Counter เริ่มทำงานนับความเร็วรอบ
- 8) จากความเร็วรอบที่นับได้ ทำการตรวจสอบเปรียบเทียบกับค่าอ้างอิงว่ามากกว่าหรือน้อยกว่า 50 rpm และ 100 rpm หรือไม่ โดยถ้ามากกว่า 50 rpm และ 100 rpm ให้ทำการเพิ่มค่าข้อมูลที่ส่งไปยังพอร์ต I²C แล้วส่งออกไป เพื่อลดความเร็วรอบของมอเตอร์ แต่ถ้าน้อยกว่า 50 rpm จะไม่เปลี่ยนแปลงค่าข้อมูลที่ส่งไปยังพอร์ต I²C และถ้าน้อยกว่า 100 rpm ให้ทำการลดค่าข้อมูลที่ส่งไปยังพอร์ต I²C แล้วส่งออกไป เพื่อเพิ่มความเร็วรอบของมอเตอร์ โดย และทำแบบนี้ไปเรื่อย ๆ จนกว่าจะหมดเวลาตามที่ตั้งไว้ ซึ่งก็จะเข้าสู่ขั้นตอนการจบการทำงานขั้นตอนใหญ่สุดท้าย



รูปที่ 6.4 แสดง โฟลวชาร์ตขั้นตอนการทำงานตามโหมดที่เลือกไว้

เอกสารนี้เป็นเอกสารที่สงวนไว้สำหรับการใช้งานเพื่อการศึกษาเท่านั้น ไม่อนุญาตให้นำไปใช้ประโยชน์ด้านการค้าไม่ว่ากรณีใดๆ ทั้งสิ้น อีกทั้งห้ามมิให้ดัดแปลงเนื้อหา และต้องอ้างอิงถึงเจ้าของเอกสารทุกครั้งที่มีการนำไปใช้



รูปที่ 6.6 โฟลวชาร์ตของ โปรแกรมย่อยการตรวจสอบความเร็วรอบ

6.4 ขั้นตอนการจบการทำงาน โดยมีโฟลวชาร์ตดังรูปที่ 6.7 และขั้นตอนการทำงานดังนี้

- 1) เมื่อหมดเวลาตามที่ตั้งเอาไว้แล้ว ให้ทำการหยุดการทำงานดังนี้
 - ส่งข้อมูล A205H ไปยังพอร์ต I²C ก่อน เพื่อลดความเร็วรอบของมอเตอร์ให้เหลือต่ำสุด
 - หยุดการทำงานของ DC Relay โดยการส่งข้อมูลลอจิก "1" ไปยังพอร์ต P2.4
 - หยุดการทำงานของ AC Relay โดยการส่งข้อมูลลอจิก "1" ไปยังพอร์ต P2.3
 - หยุดการทำงาน Timer 1 ที่ทำหน้าที่เป็น Timer
 - แสดงข้อความบนจอ LCD ดังนี้

' FINISHED! '

' Wait for motor stopped '

- 2) รอการหยุดหมุนของมอเตอร์ โดยการตรวจสอบรอบความเร็วของมอเตอร์ด้วย Timer 0 ที่เป็นตัว Counter ไปเรื่อย ๆ จนกว่ามอเตอร์จะหยุดหมุน

เอกสารนี้เป็นเอกสารที่สงวนไว้สำหรับการใช้งานเพื่อการศึกษาเท่านั้น ไม่อนุญาตให้นำไปใช้ประโยชน์ด้านการค้าไม่ว่ากรณีใดๆ ทั้งสิ้น อีกทั้งห้ามมิให้ดัดแปลงเนื้อหา และต้องอ้างอิงถึงเจ้าของเอกสารทุกครั้งที่มีการนำไปใช้

- 3) เมื่อมอเตอร์หยุดหมุนให้ส่งข้อมูลลอจิก "0" ไปยังพอร์ต P2.5 เพื่อให้ลำโพงทำงาน ส่งเสียงให้ผู้ใช้งานรู้ว่า การทำงานเสร็จแล้ว และแสดงข้อความบนจอ LCD ดังนี้

' NOW ! '

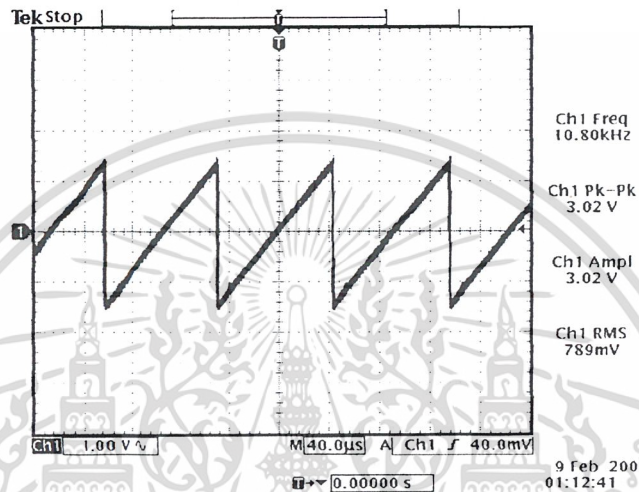
' You can open the cover '

- 4) จากนั้น โปรแกรมจะกลับไปยังขั้นตอนการเริ่มต้นการทำงานในลำดับที่ 5 คือทำการรอการเปิดฝาครอบ และจากนั้นก็ทำงานตามปกติเหมือนเดิมต่อไป



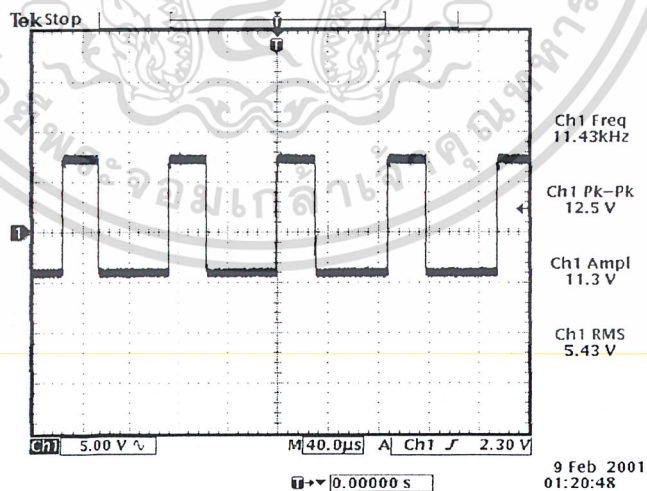
เอกสารนี้เป็นเอกสารที่สงวนไว้สำหรับใช้เฉพาะในกรณีที่นักเรียนมีข้อสงสัยเกี่ยวกับเนื้อหาในเอกสารนี้ ไม่ควรนำเนื้อหาไปใช้ประโยชน์ด้านการค้าไม่ว่ากรณีใดๆ ทั้งสิ้น อีกทั้งห้ามมิให้ดัดแปลงเนื้อหา และต้องอ้างอิงถึงเจ้าของเอกสารทุกครั้งที่มีการนำไปใช้

7.1.2 วัตต์สัญญาณที่ขา 5 ของ TL494 จะได้เป็นรูป Saw Tooth ดังรูปที่ 7.2 ซึ่งมีความถี่เท่ากับ 10 kHz ตามที่คำนวณ ค่าความถี่ที่ได้นี้สามารถปรับเปลี่ยนได้โดยการเปลี่ยนค่าของ R_T หรือ C_T หรือสามารถดูเทียบได้จากกราฟในรูปที่ 4.3



รูปที่ 7.2 รูปสัญญาณที่ขา 5 ของ TL494

7.1.3 วัตต์สัญญาณที่เอาต์พุทของ TL494 (ขา 9 กับขา 10) จะได้รูปสัญญาณดังรูปที่ 7.3



รูปที่ 7.3 สัญญาณที่ Output ของ TL494

เอกสารนี้เป็นเอกสารที่สงวนไว้สำหรับการใช้งานเพื่อการศึกษาเท่านั้น ไม่อนุญาตให้拿去ใช้ประโยชน์ด้านการค้า ไม่ว่าจะกรณีใดๆ ทั้งสิ้น อีกทั้งห้ามมิให้ดัดแปลงเนื้อหา และต้องอ้างอิงถึงเจ้าของเอกสารทุกครั้งที่มีการนำไปใช้

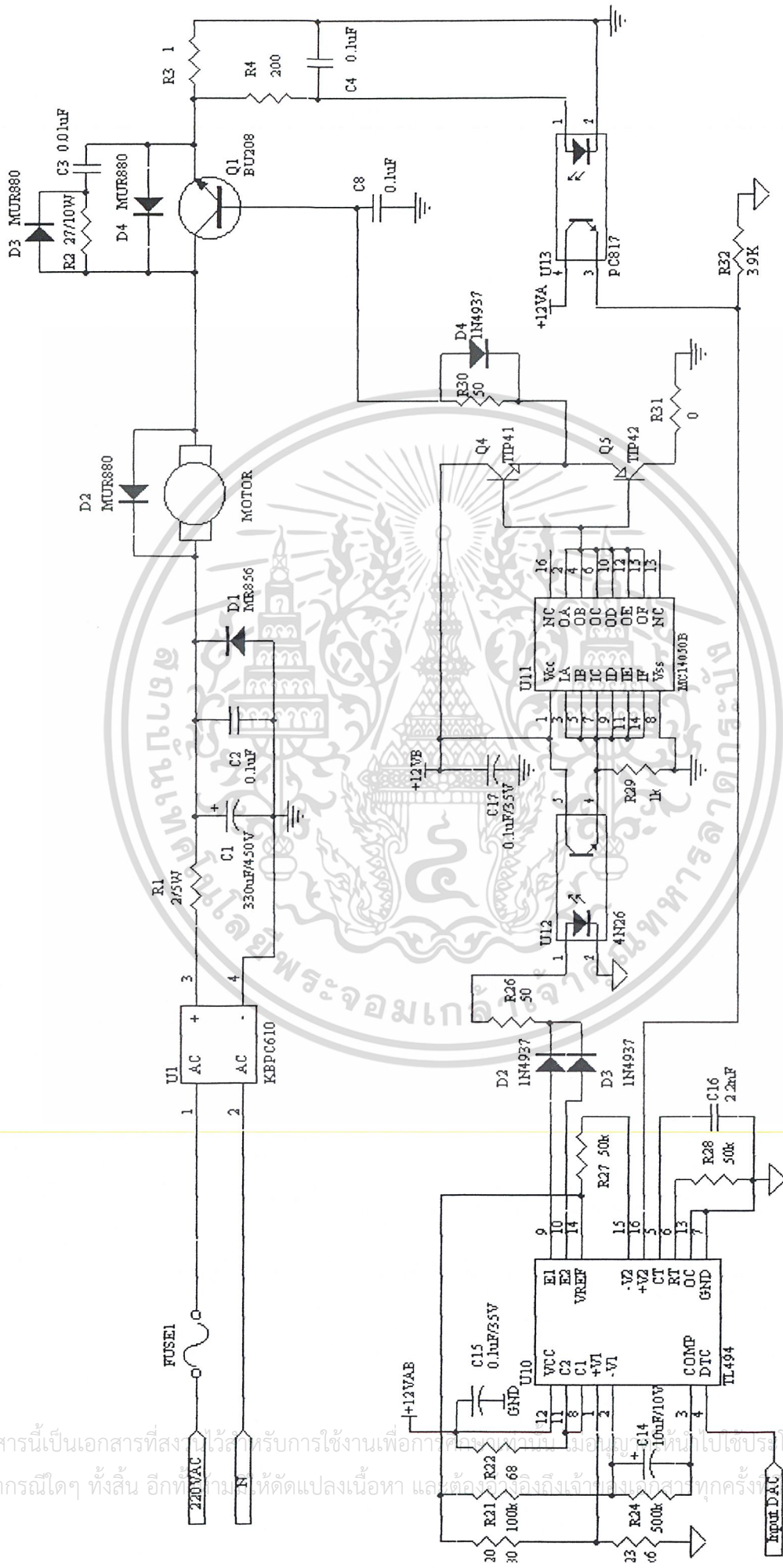
จากการทดลองเราสามารถปรับความกว้างของพัลส์ได้ โดยการปรับเอาต์พุตของวงจร DAC ที่ถูกควบคุมโดยไมโครคอนโทรลเลอร์

7.1.4 ทดลองวงจรส่วน Soft Start โดยใช้หลักการของวงจรอินทิเกรเตอร์ โดยใช้ Error Amp ในตัว TL494 ร่วมกับ RC ภายนอกดังรูปที่ 7.1 จะพบว่า เมื่อเริ่มเปิดเครื่องจะไม่มีพัลส์ออกที่เอาต์พุต (ขา 9,10) ของ TL494 เลยจนกระทั่งเวลาผ่านไปเล็กน้อย ก็จะเริ่มมีพัลส์เกิดขึ้น แล้วความกว้างของพัลส์ก็จะค่อย ๆ ขยายกว้างขึ้นจนถึงค่า ๆ หนึ่งที่เรที่ตั้งค่าอ้างอิงไว้ ซึ่งค่าอ้างอิงนี้เป็นค่าแรงดันอ้างอิงที่ได้จากวงจร DAC เช่นกัน เพราะว่าถ้าที่เอาต์พุตของ Error Amp มีค่าแรงดันปรากฏอยู่ จะทำให้ TL494 ไม่ทำงาน ซึ่งถ้าดูจากรูปวงจรจะพบว่า ช่วงแรกที่วงจรทำงาน จะมีแรงดัน V_o ประมาณ 4.5 V ซึ่งเกิดจาก R Divider ที่ขา Non-inverting แต่เมื่อเวลาผ่านไป C จะทำการเก็บประจุจนมีค่ามากกว่าแรงดันที่ขา Non-inverting ก็จะทำให้ V_o ค่อย ๆ ลดลงตามการเก็บประจุของ C ทำให้ TL494 ค่อย ๆ ปล่อยพัลส์ออกที่เอาต์พุต (ขา 9,10) โดยพัลส์จะค่อย ๆ ขยายกว้างขึ้น ซึ่งการเกิดพัลส์ และความกว้างของพัลส์จะขึ้นอยู่กับค่า C ด้วย เพราะว่าถ้า C มีค่ามาก การเกิดพัลส์จะช้า และพัลส์ก็จะค่อย ๆ ขยายกว้างขึ้นด้วย

7.2 การทดลองภาคขับเคลื่อนมอเตอร์

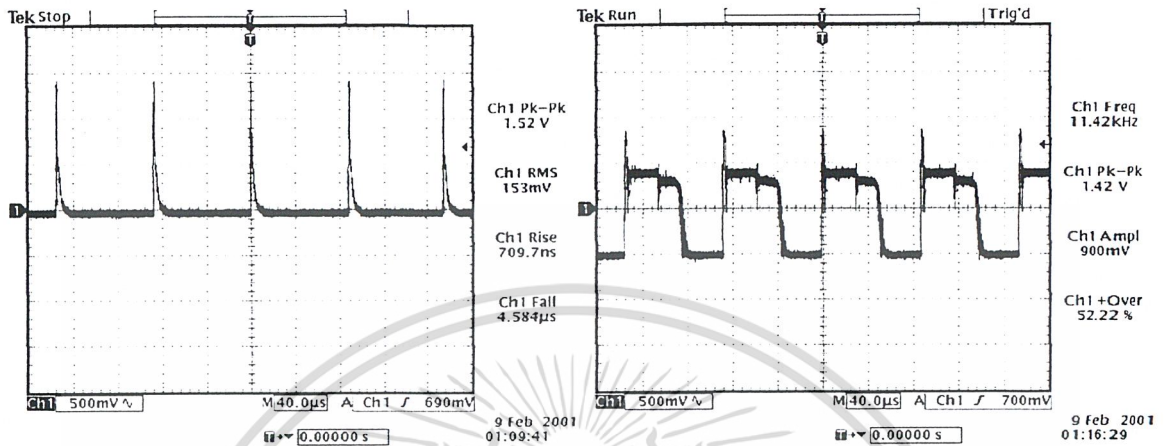
7.2.1 ต่อยังวงจรภาคควบคุมและภาคขับเคลื่อนมอเตอร์เข้าด้วยกันดังรูปที่ 7.4

7.2.2 ในการทดลองครั้งแรก ๆ นั้น ยังไม่ได้ใส่ชุด soft start เมื่อทำการเปิดเครื่อง จึงทำให้เกิดการ ON อย่างทันทีทันใด ทำให้มีกระแสสูงไหลผ่านทรานซิสเตอร์ ทำให้ทรานซิสเตอร์ลัดวงจร แต่เมื่อใส่แล้วสามารถเปิดเครื่องได้โดยทรานซิสเตอร์ไม่ลัดวงจร แต่ในการเปิดเครื่องนั้นจะต้องป้อนไฟจ่ายไปรอที่มอเตอร์ก่อนแล้วจึงทำการ ON ชุดควบคุม เพราะถ้าไม่ทำแบบนี้ ในช่วงที่จ่ายไฟเข้าพร้อมกันจะทำให้ชุด soft start ทำงานไปก่อนแล้วจะทำให้มีพัลส์ไปรอที่ขาเบสของทรานซิสเตอร์เลย ทำให้เกิดกระแสกระชาก ส่งผลให้ทรานซิสเตอร์ลัดวงจรได้อีก



รูปที่ 7.4 วงจรภาคควบคุมและภาคขับมอเตอร์

7.2.3 ทำการวัดสัญญาณที่ขาเบสของทรานซิสเตอร์จะได้พัลส์ดังนี้



(ก)

(จ)

รูปที่ 7.5 รูปสัญญาณที่ขาเบสของทรานซิสเตอร์

(ก) รูปสัญญาณที่ความเร็วต่ำ

(จ) รูปสัญญาณที่ความเร็วสูง

7.3 การทดลองชุดตรวจจับกระแสเกิน

7.3.1 ต่อวงจรดังรูป โดยใช้ Error Amp อีกตัวหนึ่งของ TL494 มาทำเป็นวงจร Comparator ดังรูปที่ 7.4

7.3.2 จากวงจรจะพบว่า ที่ขา inverting จะมีแรงดันอยู่ประมาณ 5 V ซึ่งได้จากการต่อความต้านทาน 50k จากขา Vref มาเข้าที่ขา inverting ของ error amp ภายในตัวของ TL494

7.3.3 โดยปกติแล้ว ถ้าแรงดันที่ขา inverting มากกว่าขา Non-inverting จะทำให้ได้อเอาต์พุตเป็น Low จึงส่งผลให้ TL494 ยังคงทำงานอยู่ แต่เมื่อใดที่มีกระแสไหลผ่าน R_s จนมีค่ามากกว่า 2 A (จากการคำนวณ) จะส่งผลให้ Op-to couple ทำงานเกิดมีแรงดันตกคร่อมความต้านทานที่ขา Non-inverting (ประมาณ 12 V) ซึ่งจะมีแรงดันมากกว่าขา inverting ส่งผลให้ TL494 จะหยุดจ่ายพัลส์ ซึ่งเป็นการตัดวงจรการทำงานของทรานซิสเตอร์ ทำให้ไม่เกิดความเสียหายแก่วงจร หรือถ้าเกิดก็น้อยลง

7.4 การทดลองวัดแรงดันตกคร่อมมอเตอร์ เทียบกับความเร็วรอบที่ได้

7.4.1 ต่อวงจรแบบเดียวกับการทดลองที่ 7.4

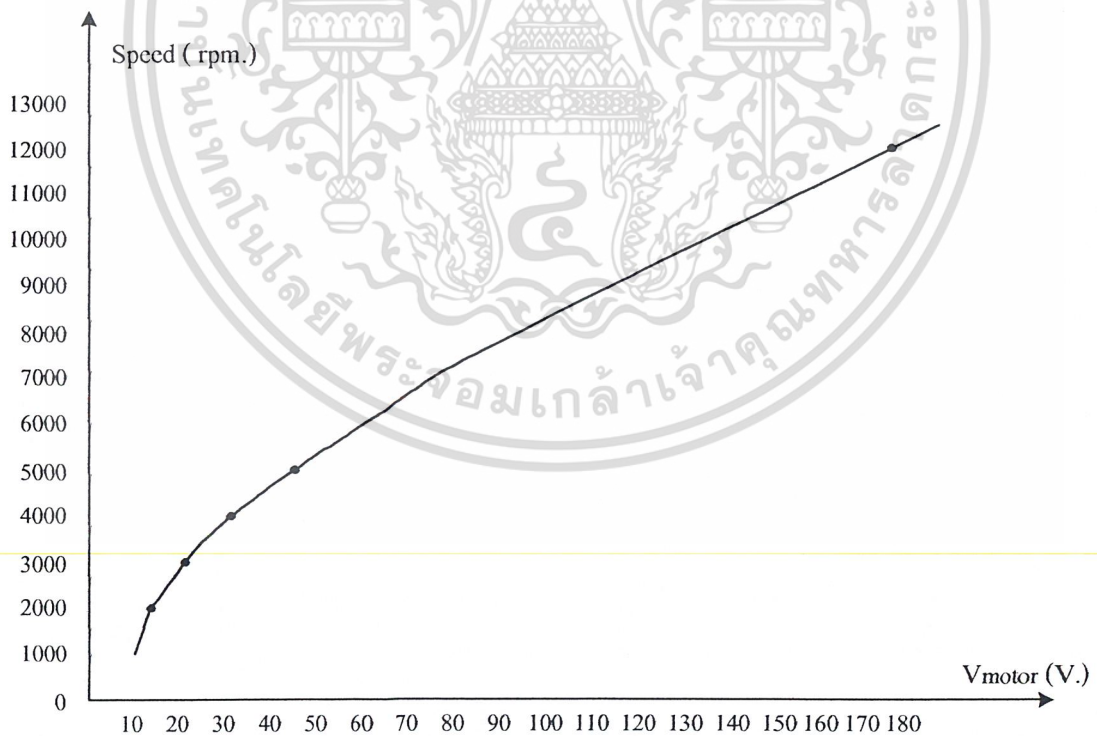
7.4.2 ใช้ VOM วัดคร่อมมอเตอร์ ทำการปรับค่าเอาต์พุตของวงจร DAC ที่ป้อนเข้าที่ขา

Dead Time Control ของ TL494 แล้วใช้ Tachometer วัดรอบมอเตอร์ ซึ่งจะได้ความสัมพันธ์ดังตา

เอกสารนี้เป็นเอกสารที่สงวนไว้สำหรับการใช้งานเพื่อการศึกษาเท่านั้น ไม่อนุญาตให้นำไปใช้ประโยชน์ด้านการค้า
 รางต่อไปนี้
 ไม่ว่าจะกรณีใดๆ ทั้งสิ้น อีกทั้งห้ามมิให้ดัดแปลงเนื้อหา และต้องอ้างอิงถึงเจ้าของเอกสารทุกครั้งที่มีการนำไปใช้

ตารางที่ 7.1 แสดงความเร็วและแรงดันตกคร่อมมอเตอร์ค่าต่าง ๆ โดยใช้ Digital Tachometer วัด

Speed (rpm.)	แรงดันที่ตกคร่อมมอเตอร์ (V.)	แรงดัน V_{CE} (V.)
12,000	175	135
5,000	44.5	256.5
4,000	31.2	278.8
3,500	25.5	284.5
3,000	21.5	288.5
2,500	16.7	293.3
2,000	14.4	295.6
1,500	11	299

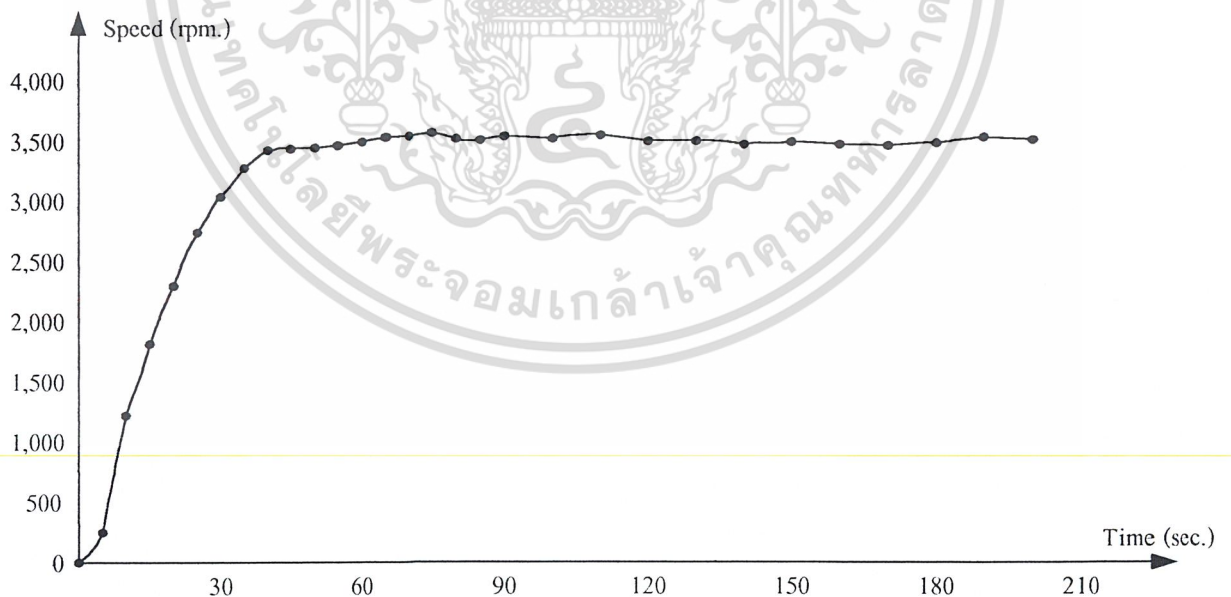


รูปที่ 7.6 กราฟแสดงความสัมพันธ์ระหว่างความเร็วกับแรงดันของมอเตอร์

เอกสารนี้เป็นเอกสารที่สงวนไว้สำหรับการใช้งานเพื่อการศึกษาเท่านั้น ไม่อนุญาตให้นำไปใช้ประโยชน์ด้านการค้า ไม่ว่ากรณีใดๆ ทั้งสิ้น อีกทั้งห้ามมิให้ดัดแปลงเนื้อหา และต้องอ้างอิงถึงเจ้าของเอกสารทุกครั้งที่มีการนำไปใช้

ตารางที่ 7.2 แสดงการเพิ่มความเร็วของมอเตอร์กับเวลาที่ความเร็ว 3,500 rpm.

Time (Sec.)	Speed (rpm.)	Time (Sec.)	Speed (rpm.)	Time (Sec.)	Speed (rpm.)
0	0	50	3,450	110	3,560
5	250	55	3,470	120	3,510
10	1,230	60	3,500	130	3,510
15	1,810	65	3,540	140	3,490
20	2,300	70	3,550	150	3,480
25	2,740	75	3,580	160	3,500
30	3,340	80	3,530	170	3,480
35	3,280	85	3,520	180	3,470
40	3,430	90	3,550	190	3,490
45	3,440	100	3,530	200	3,540

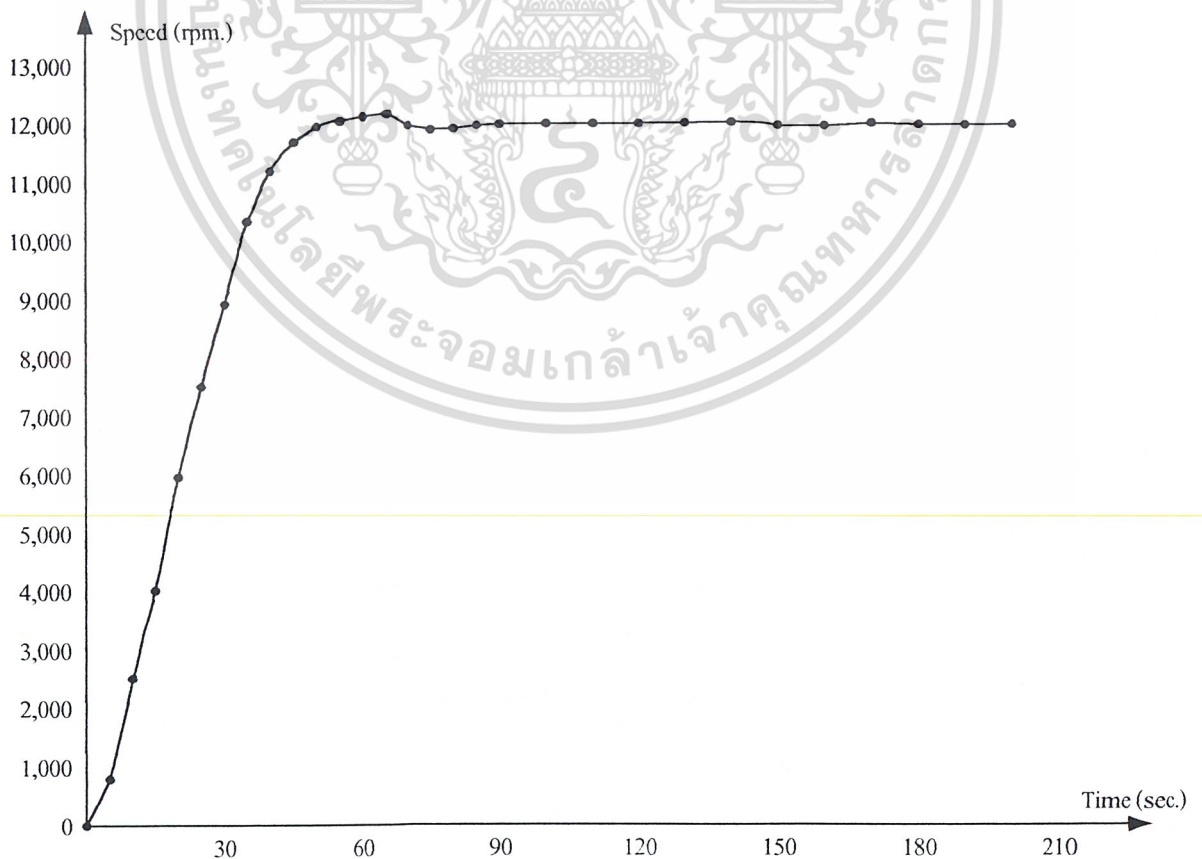


รูปที่ 7.7 กราฟแสดงความสัมพันธ์การเพิ่มความเร็วของมอเตอร์กับเวลาที่ความเร็ว 3,500 rpm.

เอกสารนี้เป็นเอกสารที่สงวนไว้สำหรับการใช้งานเพื่อการศึกษาเท่านั้น ไม่อนุญาตให้นำไปใช้ประโยชน์ด้านการค้า ไม่ว่าจะกรณีใดๆ ทั้งสิ้น อีกทั้งห้ามมิให้ดัดแปลงเนื้อหา และต้องอ้างอิงถึงเจ้าของเอกสารทุกครั้งที่มีการนำไปใช้

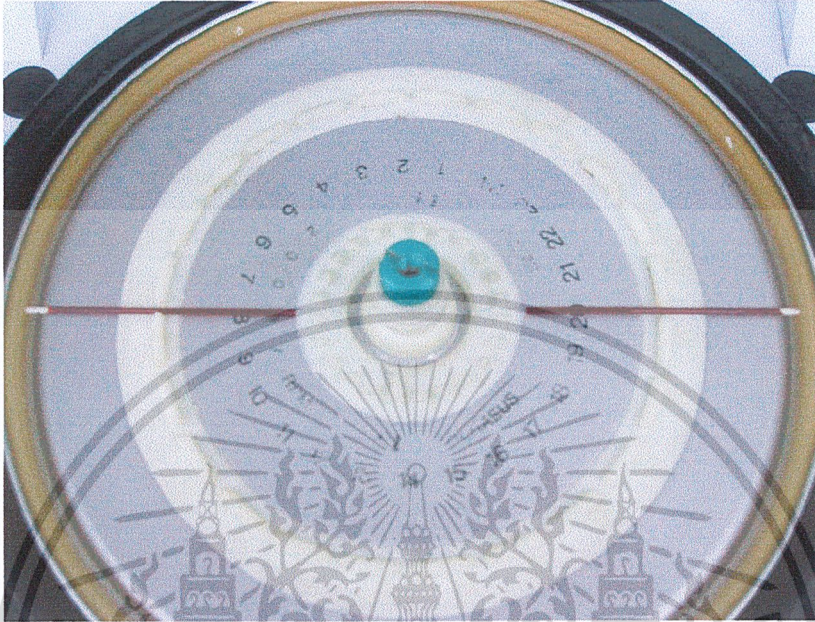
ตารางที่ 7.3 แสดงการเพิ่มความเร็วของมอเตอร์กับเวลาที่ความเร็ว 12,000 rpm.

Time (Sec.)	Speed (rpm.)	Time (Sec.)	Speed (rpm.)	Time (Sec.)	Speed (rpm.)
0	0	50	11,970	110	12,020
5	800	55	12,080	120	12,030
10	2,530	60	12,150	130	12,040
15	4,020	65	12,200	140	12,050
20	5,980	70	12,000	150	11,980
25	7,510	75	11,930	160	11,970
30	8,940	80	11,950	170	12,020
35	10,350	85	12,000	180	12,000
40	11,220	90	12,010	190	11,990
45	11,710	100	12,030	200	12,000

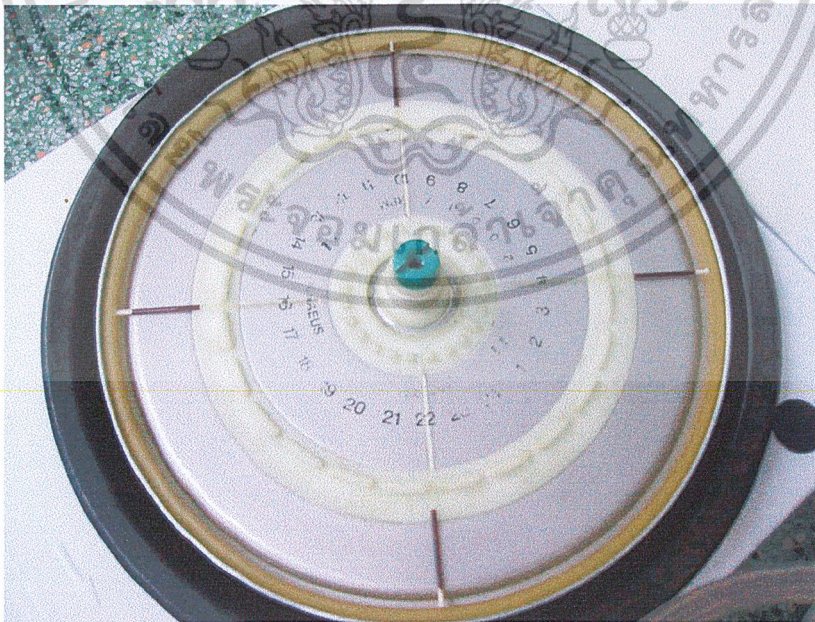


เอกสารรูปที่ 7.8 กราฟแสดงความสัมพันธ์การเพิ่มความเร็วของมอเตอร์กับเวลาที่ความเร็ว 12,000 rpm. การคำนวณว่ากรณีใดๆ ทั้งสิ้น อีกทั้งห้ามมิให้ดัดแปลงเนื้อหา และต้องอ้างอิงถึงเจ้าของเอกสารทุกครั้งที่มีการนำไปใช้

7.2 การทดลองปั่นเลือดจริงของเครื่องที่สร้างขึ้นเทียบกับเครื่องที่โรงพยาบาลใช้อยู่



รูปที่ 7.9 แสดงหลอดเลือดก่อนทำการปั่น



รูปที่ 7.10 แสดงหลอดเลือดหลังทำการปั่น

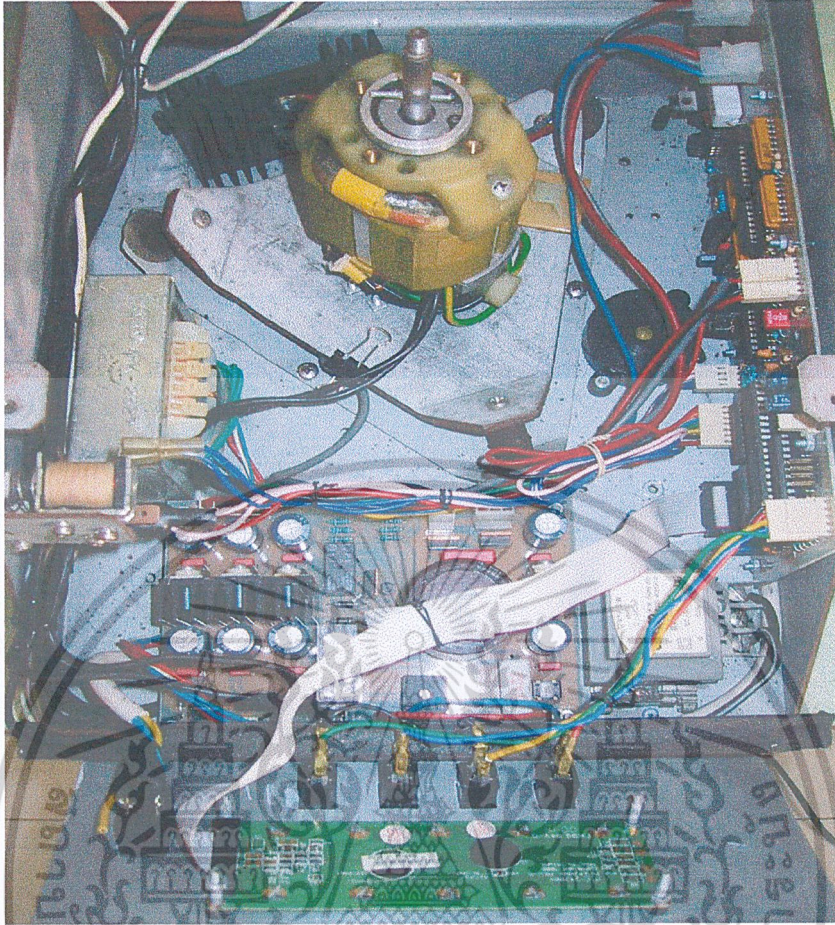
เอกสารนี้เป็นเอกสารที่สงวนไว้สำหรับการใช้งานเพื่อการศึกษาเท่านั้น ไม่อนุญาตให้นำไปใช้ประโยชน์ด้านการค้า ไม่ว่าจะกรณีใดๆ ทั้งสิ้น อีกทั้งห้ามมิให้ดัดแปลงเนื้อหา และต้องอ้างอิงถึงเจ้าของเอกสารทุกครั้งที่มีการนำไปใช้



รูปที่ 7.11 แสดงการอ่านค่าหลอดเลือดที่ถูกบีบโดยเครื่องของโรงพยาบาล

รูปที่ 7.12 แสดงการอ่านค่าหลอดเลือดที่ถูกบีบโดยเครื่องที่สร้างขึ้น

จะพบว่าค่าอัตราส่วนระหว่างเม็ดเลือดแดงกับพลาสมาที่ทำการบีบ โดยใช้เครื่องที่สร้างขึ้น กับเครื่องที่ทางโรงพยาบาลใช้อยู่จะได้ค่าออกมาเท่ากัน ซึ่งในการบีบนั้นจะใช้เลือดของคน ๆ เดียวกันและเวลาที่ใช้นั้นเท่ากัน(5 นาที) ซึ่งค่าอัตราส่วนที่อ่านได้ คือ 35% อนุญาตให้นำไปใช้ประโยชน์ด้านการค้าไม่ว่ากรณีใดๆ ทั้งสิ้น อีกทั้งห้ามมิให้ดัดแปลงเนื้อหา และต้องอ้างอิงถึงเจ้าของเอกสารทุกครั้งที่มีการนำไปใช้



รูปที่ 7.13 แสดงรูปชิ้นงานจริงของวงจรส่วนควบคุมและขับเคลื่อนมอเตอร์



เอกสารนี้เป็นเอกสารที่สงวนไว้สำหรับรูปที่ 7.14 แสดงรูปภายนอกของตัวเครื่องอุตสาหกรรมให้นำไปใช้ประโยชน์ด้านการค้าไม่ว่ากรณีใดๆ ทั้งสิ้น อีกทั้งห้ามมิให้ดัดแปลงเนื้อหา และต้องอ้างอิงถึงเจ้าของเอกสารทุกครั้งที่มีการนำไปใช้



รูปที่ 7.15 หัวหน้าแผนกเวชศาสตร์ชั้นสูงและผู้จัดทำ

เอกสารนี้เป็นเอกสารที่สงวนไว้สำหรับการใช้งานเพื่อการศึกษาเท่านั้น ไม่อนุญาตให้นำไปใช้ประโยชน์ด้านการค้า
ไม่ว่ากรณีใดๆ ทั้งสิ้น อีกทั้งห้ามมิให้ดัดแปลงเนื้อหา และต้องอ้างอิงถึงเจ้าของเอกสารทุกครั้งที่มีการนำไปใช้

บทที่ 8

บทสรุป

จากการทดลองทั้งหมดจะพบว่า ในการเริ่มเปิดเครื่องนั้นจะต้องออกแบบวงจรให้มีการจ่ายไฟเลี้ยงไปที่มอเตอร์ก่อน แล้วจึงจะจ่ายไฟให้ชุดควบคุมเพื่อหลีกเลี่ยงการเกิดกระแสกระชาก หลังจากเปิดเครื่องให้ทำงานเรียบร้อยแล้ว เราสามารถปรับความเร็วได้โดยการปรับความกว้างของพัลส์ โดยปรับแรงดันอ้างอิงที่ได้จากวงจร DAC ที่ถูกควบคุมโดยไมโครคอนโทรลเลอร์ให้มีแรงดันที่ไปป้อนที่ขา 3 (DTC) ของ TL494 น้อยลง ก็จะทำให้ TL494 สร้างพัลส์บวทที่กว้างขึ้น ทำให้ทรานซิสเตอร์ทำงานมากขึ้น มอเตอร์ก็จะหมุนเร็วขึ้น สามารถดูค่าแรงดันกับความเร็วได้ตามตารางที่ 7.1 ในการทดลองที่ 7.4

ในส่วนของวงจร Soft start นั้น ถือว่ามีส่วนสำคัญมากในการทำงานของวงจร ซึ่งช่วยให้ทรานซิสเตอร์ไม่เกิดความเสียหายในช่วงการ ON ช่วงแรก ซึ่งวงจร soft start นี้จะสามารถปรับเปลี่ยนค่า RC ได้ แต่เมื่อเปลี่ยนจะมีผลกับการทำงานของวงจร คือ ถ้าค่า C มาก จะทำให้ช่วงเวลาก่อเกิดพัลส์นาน และความกว้างของพัลส์ก็จะค่อย ๆ ขยายดังได้อธิบายไปแล้วในส่วนของการทดลองที่ 7.1

ส่วน IC MC14050B นั้น ใส่ไว้เพื่อแก้ rise time กับ fall time ทำให้การ ON-OFF ของทรานซิสเตอร์เร็วขึ้น ซึ่งจะมีผล คือ ถ้า rise time กับ fall time มาก จะทำให้ทรานซิสเตอร์เกิดความร้อนขึ้น ถ้าเป็นช่วงที่เริ่ม start ใหม่ ๆ ยิ่งร้อนมาก แต่เมื่อใส่แล้วก็ดีขึ้น

ในภาคเรียนที่ 2 ปีการศึกษา 2543 ก็สามารถดำเนินงานไปได้เรื่อย ๆ มีปัญหาบ้างเล็กน้อย แต่ก็แก้ไขได้ อย่างเช่น ในการทดลองเปิดเครื่องครั้งแรก พิวส์ขาด ทรานซิสเตอร์ลัดวงจร ก็แก้ไขโดยใช้ชุด Soft start เข้าช่วย และอีกอย่างหนึ่งที่ค่อนข้างยุ่ง คือ หาร้านกลึงเกลียวแกนมอเตอร์ สำหรับใส่ล้อยึดยึดใบพัดตัดแสงที่จะใช้ทำชุดเซ็นเซอร์ความเร็วรอบ จึงต้องนำกลับไปทำที่บ้าน (ต่างจังหวัด) แต่ก็เรียบร้อยดีแล้ว

ในภาคเรียนที่ 1 ปีการศึกษา 2544 ได้ทำการการประยุกต์ใช้ไมโครคอนโทรลเลอร์มาควบคุมความเร็วโดยการปรับตั้งความเร็วได้โดยการปรับเอาท์พุทของวงจร DAC โดยการสร้างวงจร DAC ในการทำโครงการนี้ต้องใช้ถึง 16 บิตเพราะต้องการความละเอียดสูงเพื่อความเที่ยงตรง ทำให้ต้องทำการขยายพอร์ตโดยการใส่ IC ต่อร่วมกันวงจร R-2R แลคเคอร์ และทำการ Isolate ระหว่างวงจรภาคขับมอเตอร์กับชุดควบคุมภาคขับมอเตอร์ เนื่องจากภาคขับมอเตอร์มีแรงดันและกระแสในการใช้งานค่อนข้างสูงกว่าชุดควบคุมมาก ซึ่งในการ Isolate นั้นใช้หลักการแยกทางแสงเนื่องจาก

เอกสารต้นฉบับและอุปกรณ์ก็หาได้ไม่ยาก และในส่วนการทำงานโดยรวมทั้งหมดจะถูกควบคุมโดยไมโครคอนโทรลเลอร์ ถ้าไม่ว่ากรณีใดๆ ทั้งสิ้น อีกทั้งห้ามมิให้คัดแปลงเนื้อหา และต้องอ้างอิงถึงเจ้าของเอกสารทุกครั้งที่มีการนำไปใช้

คอนโทรลเลอร์ ในการสั่งงานจะมี LCD เป็นตัวแสดงผล และได้สร้างชุดเซ็นเซอร์ความเร็วรอบ โดยใช้หลักการทางแสงมาช่วยซึ่งประกอบด้วยใบพัดตัดแสง photo diode และ op-to transistor แล้วส่งพัลส์ที่ได้ไปให้ไมโครคอนโทรลเลอร์เป็นตัวนับเพื่อเปรียบเทียบกับค่าที่ได้ตั้งไว้ พร้อมทั้งยังมีชุดป้องกันการเปิดฝาในขณะที่มอเตอร์ยังหมุนอยู่ และตรวจสอบว่ามีการปิดฝาแล้วหรือยังถ้าไม่ปิดฝาก็ไม่สามารถสั่งงานใดๆ ได้

ในภาคเรียนที่ 2 ปีการศึกษา 2544 ได้ทำการปรับปรุงแก้ไขวงจร โปรแกรมควบคุมการทำงานทั้งหมด และทำแผ่นปรินต์สำเร็จรูปพร้อมทั้งติดตั้งวงจรทั้งหมดลงกล่อง และทำการทดลองเรียบร้อยแล้ว จึงได้นำไปทดลองเปรียบเทียบกับเครื่องที่ทางโรงพยาบาลจุฬาฯ ใช้งานอยู่ในปัจจุบัน ซึ่งได้ผลการทดลองออกมาเท่ากันแสดงคังรูปในหัวข้อที่ 7.5 จะพบว่าค่าอัตราส่วนระหว่างเม็ดเลือดแดงและพลาสมาของทั้งสองเครื่องที่อ่านได้มีค่าเท่ากัน แสดงให้เห็นว่าเครื่องที่สร้างขึ้นมีประสิทธิภาพที่จะสามารถใช้งานจริงได้ แต่ในวงจรส่วนขั้วมอเตอร์นั้นยังมีปัญหาอยู่บ้าง คือ ในบางครั้งอาจจะเกิดการกระแสะกระชากของมอเตอร์ส่งผลทำให้ Power Transistor เสียหายได้ จึงได้ทำการเพิ่มเติมโปรแกรมส่วนที่จะช่วยในการ Start ของมอเตอร์ ช่วงแรกให้เริ่มหมุนจากความเร็วดำไปสู่ความเร็วสูงอย่างสม่ำเสมอ เพื่อลดกระแสะกระชากตอนเริ่มต้นการหมุนของมอเตอร์ ทำให้วงจรมีเสถียรภาพในการทำงานมากขึ้นและลดการเสียหายของ Power Transistor ลงได้ส่วนหนึ่ง

ส่วนของโปรแกรมที่แก้ไขเพื่อให้ใช้งานได้ง่ายขึ้น คือ จะมี 2 โหมดในการสั่งงาน โหมดแรกเป็นการตั้งงานในส่วนของการปั่นให้เลือดตกตะกอน โดยใช้ความเร็วประมาณ 3,000 rpm. ซึ่งข้อมูลที่ได้จากโรงพยาบาลจุฬาฯ พบว่าในการใช้งานโหมดนี้จะสามารถใช้ความเร็วในการทำงานได้ตั้งแต่ 2,500-3,000 rpm. เวลาในการปั่น 10 นาที และอีกโหมดหนึ่งเป็นการตั้งงานในส่วนของการปั่นแยกเม็ดเลือดแดงออกจากพลาสมา โดยใช้ความเร็วประมาณ 12,000 rpm. ซึ่งข้อมูลที่ได้จากโรงพยาบาลจุฬาฯ พบว่าในการใช้งานโหมดนี้จะสามารถใช้ความเร็วได้ตั้งแต่ 10,000 rpm. ขึ้นไปแต่ไม่เกิน 14,000 rpm. เวลาในการปั่น 5 นาที

ส่วนปัญหาที่พบอีกอย่างหนึ่ง คือ เรื่องของถาดใส่หลอดเลือดเพราะว่าเครื่องนี้สามารถใช้งานได้ 2 อย่าง โดยอย่างแรกเป็นการปั่นให้เลือดตกตะกอนจะใช้ถาดที่ใส่หลอดเลือดที่มีขนาดใหญ่ ส่วนการปั่นแยกเม็ดเลือดแดงออกจากพลาสมาจะใช้ถาดที่ใส่หลอดเลือดที่มีขนาดเล็ก ทำให้ในการใช้งานจะต้องมีการปรับเปลี่ยนถาดเสมอค่อนข้างยุ่งยาก

โครงการนี้สำเร็จลุล่วงไปได้ด้วยดี ซึ่งทางผู้จัดทำหวังเป็นอย่างยิ่งว่าโครงการนี้จะเป็นเครื่องต้นแบบที่ได้รับความสนใจจากรุ่นน้อง และนำไปพัฒนาให้ดีขึ้นในส่วนของถาดใส่หลอดเลือด การเชื่อมโยงกับคอมพิวเตอร์ และสร้างชุดอ่านค่าอัตราส่วนอัตราส่วนเม็ดเลือดแดงกับพลาสมา พร้อมทั้งเก็บเป็นฐานข้อมูลได้ในอนาคต

เอกสารนี้เป็นเอกสารที่สงวนลิขสิทธิ์ไว้เพื่อการศึกษาเท่านั้น ไม่อนุญาตให้นำไปใช้ประโยชน์ด้านการค้าไม่ว่ากรณีใดๆ ทั้งสิ้น อีกทั้งห้ามมิให้ดัดแปลงเนื้อหา และต้องอ้างอิงถึงเจ้าของเอกสารทุกครั้งที่มีการนำไปใช้

บรรณานุกรม

1. ไชยชาล หินเกิด, “เครื่องกลไฟฟ้ากระแสตรง”, สมาคมส่งเสริมเทคโนโลยี(ไทย-ญี่ปุ่น), 257 หน้า, 2543.
2. ชัยวัฒน์ ลิ้มพรจิตรวิไล, วรพจน์ กรแก้ววัฒนกุล, “เรียนรู้และปฏิบัติการไมโครคอนโทรลเลอร์ MCS-51”, Innovative Experiment, 476 หน้า, 2539.
3. ประเมษฐ์ ประนายนันทน์, ปิยพงศ์ เผ่าวณิช, “คู่มือและการประยุกต์ใช้งานไมโครคอนโทรลเลอร์ MCS-51”, ซีเอ็ดยุคเข็้น, 380 หน้า, 2521.
4. พงศ์ สุวรรณปิฎก, “มอเตอร์ไฟฟ้ากระแสตรง กระแสสลับ”, โอเดียนสโตร์, 144 หน้า, 2525.
5. วันสุระ ศรีใสดี, “ประยุกต์อินเทอร์เฟซไมโครคอนโทรลเลอร์ ภาคปฏิบัติ MCS-51”, ดวงกลม, 161 หน้า, 2542.
6. วิชัย ศังขจันทรานนท์, “ควบคุมเครื่องกลไฟฟ้าด้วยอิเล็กทรอนิกส์กำลัง1”, สมาคมส่งเสริมเทคโนโลยี(ไทย-ญี่ปุ่น), 379 หน้า, 2532.
7. สมบูรณ์ มาลาพันธ์, สมคิด วิริยะประสิทธิ์ชัย, “แหล่งจ่ายไฟแบบสวิตซิ่ง”, ฟิสิกส์เซ็นเตอร์, 246 หน้า, 2539.
8. สุวัฒน์ คั่น, “เทคนิคและการออกแบบสวิตซิ่งเพาเวอร์ซัพพลาย”, เอนเทลไทย, 245 หน้า, 2538.
9. Joseph Vithayathil, “Power Electronics”, McGraw-Hill, 632 p., 1995 Motorola, “Bipolar Power Transistor Data”, 1925.
11. Motorola, “Analog/Interface ICs Device Data Vol. I”, 1996.
12. Motorola, “CMOS Logic Data”, 1991.
13. Motorola, “Rectifier Device Data”, 1995.
14. Muhammad Harunur Rashid, “Power electronics”, Prentice Hall, 584 p., 1988.
15. W. Shepherd and L.N. Hulley, “Power electronics and motor control”, Cambridge University, 473 p., 1987.



เอกสารนี้เป็นเอกสารที่สงวนไว้สำหรับการใช้งานเพื่อการศึกษาเท่านั้น ไม่อนุญาตให้นำไปใช้ประโยชน์ด้านการค้า
ไม่ว่ากรณีใดๆ ทั้งสิ้น อีกทั้งห้ามมิให้ดัดแปลงเนื้อหา และต้องอ้างอิงถึงเจ้าของเอกสารทุกครั้งที่มีการนำไปใช้

ภาคผนวก

ตัวนับรอบความเร็วของมอเตอร์ : Counter

จะใช้ Timer/Counter T0 เป็นตัวนับพัลส์ที่ป้อนกลับมาจากไบพัตต์คัดแสงของมอเตอร์ โดยจะตั้งการทำงานเป็นโหมด 2 คือ เป็นการทำงานแบบตั้งค่าอัตโนมัติขนาด 8 บิต ซึ่งถ้านับเกินขนาด 8 บิต (FFH) แล้ว จะเกิดการอินเตอร์รัปต์ของ T0 ไปทำการเพิ่มค่าตัวทวดที่ได้กำหนดไว้ในโปรแกรม และจะเริ่มต้นนับค่าใหม่โดยอัตโนมัติ

ในการใช้งานนั้น ค่าความเร็วที่ต้องการหน่วยเป็นรอบต่อนาที (RPM: Rounds per minute) แต่ในการตรวจสอบนับรอบความเร็วนั้น หน่วยจะเป็นรอบต่อวินาที (RPS: Rounds per second) ดังนั้นจะได้ว่า

$$\text{จาก } 1 \text{ RPM} = \frac{1 \text{ round}}{1 \text{ min}} \\ = \frac{1 \text{ round}}{60 \text{ sec}}$$

และใน 1 รอบ จะมีพัลส์เกิดขึ้นมา 6 พัลส์ เพราะไบพัตต์มีอยู่ 6 ซี ดังนั้นจะได้ว่า

$$\text{ค่าอัตราการนับใน 1 RPM} = \frac{1 \text{ round}}{60 \text{ sec}} \times 6 = \frac{1 \text{ round}}{10 \text{ sec}}$$

เพราะฉะนั้นในโหมด HEMATOCRIT จะได้

$$\text{ค่าอัตราการนับในความเร็ว 12,000 RPM} = \frac{12,000 \text{ round}}{10 \text{ sec}} = \frac{1,200 \text{ round}}{\text{sec}} = 1,200 \text{ RPS}$$

และในโหมด CENTRIFUGE จะได้

$$\text{ค่าอัตราการนับในความเร็ว 3,000 RPM} = \frac{3,000 \text{ round}}{10 \text{ sec}} = \frac{300 \text{ round}}{\text{sec}} = 300 \text{ RPS}$$

ดังนั้นค่าความเร็วอ้างอิงที่ใช้ในการเปรียบเทียบในโปรแกรมก็คือ

โหมด HEMATOCRIT: 1,200 RPS = 04B0H

โหมด CENTRIFUGE: 300 RPS = 012CH

ตัวตั้งเวลา : Timer

จะใช้ Timer/Counter T1 เป็นตัวตั้งเวลา หรือ Timer โดยจะตั้งการทำงานในโหมด 1 คือเป็นการทำงานแบบนับค่าขนาด 16 บิต ซึ่งจะนับได้สูงสุด 65,535 ครั้ง และอัตราในการนับของ Timer/Counter จะเท่ากับ $\frac{1}{12}$ ของความถี่สัญญาณนาฬิกา ซึ่งในการใช้งานจะใช้ความถี่สัญญาณนาฬิกาเท่ากับ 11.0592 MHz

ดังนั้นจะได้อัตราในการนับเท่ากับ $\frac{11.0592 \text{ MHz}}{12}$ ซึ่งจะใช้เวลาในการนับหนึ่งครั้งเท่ากับ $\frac{12}{11.0592 \text{ MHz}}$ มีค่าประมาณ 1.085069444 ไมโครวินาที

ในการใช้งานนั้น ค่าเวลาที่ใช้จะมีค่าหน่วยเป็นนาฬิกา ซึ่งใน 1 นาทีจะมี 60 วินาทีหรือ 60,000,000 ไมโครวินาที ดังนั้น Timer จะต้องนับทั้งหมดใน 1 นาที เท่ากับ

$$N = \frac{60,000,000 \mu\text{s}}{12} \times 11.0592 \text{ MHz} = 55,296,000 \text{ ครั้ง}$$

จะต้องทำให้ Timer สามารถนับเวลา 1 นาที ซึ่งเท่ากับนับเป็นจำนวน 55,296,000 ครั้ง แต่เนื่องจาก Timer นับได้สูงสุด 65,535 ครั้งต่อหนึ่งรอบ ดังนั้นจะต้องมีตัวทศหรือตัวคูณเข้ามาช่วยในการนับของ Timer ซึ่งจะได้ค่าดังนี้

$$\text{ตัวทศหรือตัวคูณ} = \frac{55,296,000 \text{ ครั้ง}}{12} = 27,649 \text{ ครั้ง}$$

จะได้ค่าตัวทศหรือตัวคูณเท่ากับ 2,000 ครั้ง ซึ่งจะต้องแบ่งเป็นสองตัวคือ 200 และ 10 เนื่องจากในไมโครคอนโทรลเลอร์ รีจิสเตอร์ 1 ตัว จะมีค่าได้ 255 เท่านั้น จึงต้องแบ่งเป็นสองตัว และ Timer จะต้องนับ 27,649 ครั้ง ดังนั้นจะได้ค่าเริ่มต้นเท่ากับ $65,535 - 27,649 = 37,886$ หรือ 93FEH

ดังนั้นค่าที่ต้องใช้ในการนับเวลาของ Timer มีดังนี้

- ตัวทศหรือตัวคูณตัวที่ 1 เท่ากับ 200
- ตัวทศหรือตัวคูณตัวที่ 2 เท่ากับ 10
- ค่าเริ่มต้นในการนับของ Timer/Counter T1 คือ 93FEH โดยรีจิสเตอร์ TH1 = 93H และ

TL1 = FEH

หลักการในการควบคุมความเร็วรอบด้วยไมโครคอนโทรลเลอร์

1. ต้องหาค่า DAC 16 Bits ที่สามารถทำให้มอเตอร์หมุนที่ความเร็วรอบ 3,000 รอบต่อนาที และ 12,000 รอบต่อนาที ได้ก่อน เพื่อเก็บเป็นค่าอ้างอิงในโปรแกรมของไมโครคอนโทรลเลอร์
2. จากนั้นหาค่า DAC 16 Bits ที่เป็นค่าขอบเขตความเร็วที่ไม่ทำให้ความเร็วในใช้งานมีค่ามากเกินไปและค่าน้อยเกินไป เพื่อเก็บเป็นค่าอ้างอิงในโปรแกรมของไมโครคอนโทรลเลอร์
3. จากนั้นในโปรแกรมใช้งาน จะมีเปรียบเทียบค่าความเร็วรอบอ้างอิง (ซึ่งก็คือ 3,000 รอบต่อนาที และ 12,000 รอบต่อนาที) กับค่าความเร็วรอบที่ป้อนกลับมาจากมอเตอร์
4. เมื่อเปรียบเทียบแล้ว
 - o ถ้าผลที่ได้ ค่าความเร็วรอบอ้างอิงมากกว่าค่าความเร็วรอบที่ป้อนกลับมาจากมอเตอร์ ไมโครคอนโทรลเลอร์จะทำการเพิ่มค่า DAC ขึ้น โดยในโหมด CENTRIFUGE ถ้าค่ามากกว่าอยู่ 50 รอบหรือ 100 รอบ จะเพิ่มค่า DAC ทีละ 1 step หรือถ้ามากกว่าอยู่ 200 รอบ จะเพิ่มค่า DAC ทีละ 2 steps และในโหมด HEMATOCRIT ถ้าค่ามากกว่าอยู่ 50 รอบหรือ 100 รอบ จะเพิ่มค่า DAC ทีละ 1 step หรือถ้ามากกว่าอยู่ 200 รอบ จะเพิ่มค่า DAC ทีละ 2 steps
 - o ถ้าผลที่ได้ ค่าความเร็วรอบอ้างอิงน้อยกว่าค่าความเร็วรอบที่ป้อนกลับมาจากมอเตอร์ ไมโครคอนโทรลเลอร์จะทำการลดค่า DAC ลง โดยในโหมด CENTRIFUGE ถ้าค่าน้อยกว่าอยู่ 50 รอบ จะไม่ทำการลดค่า DAC แต่ถ้าน้อยกว่าอยู่ 100 รอบ จะลดค่า DAC ทีละ 1 step หรือถ้าน้อยกว่าอยู่ 200 รอบ จะลดค่า DAC ทีละ 2 steps และในโหมด HEMATOCRIT ถ้าค่าน้อยกว่าอยู่ 50 รอบ จะไม่ทำการลดค่า DAC แต่ถ้าน้อยกว่าอยู่ 100 รอบ จะลดค่า DAC ทีละ 128 steps หรือถ้าน้อยกว่าอยู่ 200 รอบ จะลดค่า DAC ทีละ 256 steps

*** หมายเหตุ: เนื่องจากค่า DAC จะมีผลต่อมอเตอร์ที่ความเร็วรอบต่ำในโหมด CENTRIFUGE คือ ถ้าเปลี่ยนค่า DAC มากเกินไป จะทำให้ความเร็วเปลี่ยนแปลงขึ้นหรือลงมากเกินไป จึงจำเป็นต้องเปลี่ยนค่า DAC น้อยทีละ 1 step หรือ 2 steps เพื่อให้สามารถเปลี่ยนแปลงความเร็วให้อยู่ในช่วงที่ต้องการได้ โดยไม่เพิ่มลดจนเกินไป ส่วนค่า DAC ที่มีต่อมอเตอร์ที่ความเร็วรอบสูงในโหมด HEMATOCRIT นั้น จะต้องเปลี่ยนค่า DAC ทีละมาก ๆ ประมาณ 128 steps หรือ 256 steps จึงจะมีผลต่อการเปลี่ยนแปลงของความเร็ว เพราะถ้าเปลี่ยนค่า DAC ทีละน้อย ๆ จะทำให้ความเร็วเปลี่ยนแปลงไปเล็กน้อยเท่านั้น

คู่มือการใช้งานเครื่องปั่นแยกเม็ดเลือดแดงออกจากพลาสมา

เครื่องปั่นแยกเม็ดเลือดแดงออกจากพลาสมาสามารถที่จะทำงานได้ 2 โหมดดังนี้คือ

1. โหมดการปั่นแยกเม็ดเลือดแดงออกจากพลาสมา (HEMATOCRIT MODE) จะใช้
อัตราที่ใส่หลอดเลือดขนาดเล็กในการปั่น
2. โหมดการปั่นเลือดตกตะกอน (CENTRIFUGE MODE) จะใช้อัตราที่ใส่หลอด
เลือดขนาดใหญ่ในการปั่น

ดังนั้นในการใช้งาน จะต้องระวังเรื่องอัตราที่ใส่หลอดเลือดด้วย โดยต้องใช้ให้ตรงกับโหมด
การทำงานนั้น ๆ มิฉะนั้นจะทำให้เครื่องเสียหายได้

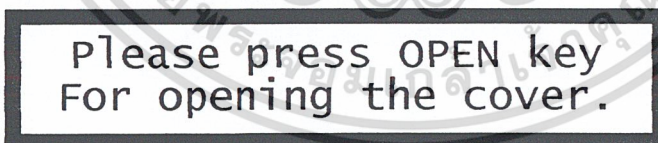
ขั้นตอนการใช้เครื่อง

1. เปิดสวิตช์ **POWER** ที่เครื่อง เพื่อเปิดใช้งานเครื่อง เมื่อเปิดแล้ว ที่หน้าจอ LCD จะ
แสดงผลดังนี้



KMITL
PRESENT

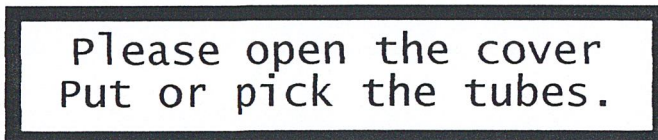
2. จากนั้น 2 วินาที ที่หน้าจอ LCD จะแสดงผลดังนี้



Please press OPEN key
For opening the cover.

ทำการกดปุ่ม **OPEN** เพื่อปลดล็อกฝาครอบออก

3. เมื่อกดปุ่ม **OPEN** แล้ว ที่หน้าจอ LCD จะแสดงผลดังนี้



Please open the cover
Put or pick the tubes.

ทำการเปิดฝาครอบออก เพื่อใส่หรือหยิบหลอดเลือด

เอกสารนี้เป็นเอกสารที่สงวนไว้สำหรับการใช้งานเพื่อการศึกษาเท่านั้น ไม่อนุญาตให้นำไปใช้ประโยชน์ด้านการค้า
ไม่ว่ากรณีใดๆ ทั้งสิ้น อีกทั้งห้ามมิให้ดัดแปลงเนื้อหา และต้องอ้างอิงถึงเจ้าของเอกสารทุกครั้งที่มีการนำไปใช้

4. จากนั้น ที่หน้าจอ LCD จะแสดงดังนี้

Please close the cover
Before starting machine

ทำการปิดฝาครอบอีกครั้งหนึ่ง เพื่อเข้าสู่ขั้นตอนการเลือกโหมดการทำงาน

5. เมื่อทำการปิดฝาครอบแล้ว ที่หน้าจอ LCD จะแสดงดังนี้

MAIN MENU
HEMATOCRIT CENTRIFUGE

ทำการเลือกโหมดการทำงานด้วยการกดปุ่ม SEL และทำการเข้าสู่โหมดการทำงานที่เลือกไว้ ด้วยการกดปุ่ม ENT

6. เมื่อทำการเลือกโหมดการทำงาน และเข้าสู่โหมดการทำงานที่เลือกนั้นแล้ว ที่หน้าจอ LCD จะแสดงดังนี้

- ถ้าเลือก และเข้าสู่โหมด HEMATOCRIT จะแสดงดังนี้

SPEED TIMER
12000 HEMATOCRIT 05MIN

- ถ้าเลือก และเข้าสู่โหมด CENTRIFUGE จะแสดงดังนี้

SPEED TIMER
3000 CENTRIFUGE 10MIN

จากนั้น - ถ้าต้องการสั่งให้ทำงาน กดปุ่ม ENT ก็จะเข้าสู่การทำงานในขั้นตอนข้อที่ 7

- ถ้าต้องการยกเลิกการเลือกใช้โหมดนี้ กดปุ่ม CANCEL และเมื่อกดปุ่มนี้แล้ว จะกลับทำงานในขั้นตอนข้อที่ 5

7. เมื่อกดปุ่ม ENT ให้เครื่องทำงานแล้ว ที่หน้าจอ LCD จะแสดงดังนี้

- ถ้าเลือก และเข้าสู่โหมด HEMATOCRIT จะแสดงดังนี้

SPEED RUNNING! TIMER
12000 HEMATOCRIT 05MIN

แสดงว่าเข้าสู่การทำงานแล้ว

- ถ้าเลือก และเข้าสู่โหมด CENTRIFUGE จะแสดงดังนี้

SPEED RUNNING! TIMER
3000 CENTRIFUGE 10MIN

แสดงว่าเข้าสู่การทำงานแล้ว

- จากนั้นเครื่องจะทำงานไปเรื่อย ๆ จนกระทั่งหมดเวลาตามที่ตั้งไว้ในโหมดนั้น ๆ
- เมื่อหมดเวลาแล้ว ที่หน้าจอ LCD จะแสดงดังนี้

FINISHED!
wait for motor stopped

เป็นการรอการหยุดหมุนของมอเตอร์ ซึ่งตอนนี้จะยังไม่สามารถเปิดฝาครอบได้

- เมื่อมอเตอร์หยุดหมุนแล้ว จะมีเสียงเตือน (บีบ) และที่หน้าจอ LCD จะแสดงดังนี้

NOW!
You can open the cover

- เมื่อเสียงเตือนดังเสร็จแล้ว การทำงานของเครื่องจะกลับไปยังขั้นตอนข้อที่ 2 เพื่อรอการกดปุ่ม OPEN ให้ปลดล็อกฝาครอบ สามารถเปิดฝาครอบได้ต่อไป

หน้าที่ในการใช้งานของแต่ละปุ่ม

- ปุ่ม OPEN ทำหน้าที่สำหรับปลดล็อกฝาครอบ ให้สามารถเปิดได้ โดยปุ่มนี้ จะไม่สามารถใช้งานได้ เมื่อเข้าสู่โหมดการทำงานใด โหมดการทำงานหนึ่งแล้ว และขณะเครื่องกำลังทำการปั่น
- ปุ่ม CANCEL ทำหน้าที่สำหรับยกเลิกโหมดการทำงานที่เลือกเข้าไป(ขณะเครื่องยังไม่ให้ทำการปั่น)
- ปุ่ม SEL (Select) ทำหน้าที่สำหรับเลือกโหมดการทำงาน
- ปุ่ม ENT (Enter) ทำหน้าที่สำหรับเข้าสู่โหมดการทำงานที่เลือกไว้

เอกสารนี้เป็นเอกสารที่สงวนไว้สำหรับการใช้งานเพื่อการศึกษาเท่านั้น ไม่อนุญาตให้นำไปใช้ประโยชน์ด้านการค้าไม่ว่ากรณีใดๆ ทั้งสิ้น อีกทั้งห้ามมิให้ดัดแปลงเนื้อหา และต้องอ้างอิงถึงเจ้าของเอกสารทุกครั้งที่มีการนำไปใช้

***** ฟังก์ชันพิเศษในขณะที่เครื่องกำลังทำการปั่น *****

ฟังก์ชันนี้จะมีประโยชน์สำหรับการตรวจสอบค่าของ DAC, ค่าความเร็วรอบที่ป้อนกลับมาจากมอเตอร์ และ ค่าเวลาที่ตั้งไว้ของ TIMER โดยในขณะที่เครื่องกำลังทำการปั่นอยู่นั้น ปุ่มทั้ง 4 ปุ่มจะสามารถใช้งานได้ดังนี้ คือ

- ปุ่ม OPEN ทำหน้าที่ในการหยุดการเพิ่มลดค่า DAC และเมื่อกดอีกครั้ง การเพิ่มลดค่า DAC จะเป็นปกติ

- ปุ่ม CANCEL ทำหน้าที่ในการแสดงหน้าจอ LCD ดังนี้

- ถ้าเป็นโหมด HEMATOCRIT จะแสดงดังนี้

SPEED RUNNING! TIMER
12000 HEMATOCRIT 05MIN

- ถ้าเป็นโหมด CENTRIFUGE จะแสดงดังนี้

SPEED RUNNING! TIMER
3000 CENTRIFUGE 10MIN

- ปุ่ม SEL ทำหน้าที่ในการแสดงหน้าจอ LCD ดังนี้

PORT I2C RPM TIMER
8800H 00000 05MIN

หน้าจอนี้จะแสดงถึง ค่าของ DAC, ค่าความเร็วรอบที่ป้อนกลับจากมอเตอร์ และค่าเวลาที่ตั้งไว้ใน TIMER ว่าเปลี่ยนแปลงไปอย่างไรแล้วบ้าง

- ปุ่ม ENT ทำหน้าที่ในการ RESET หรือหยุดการปั่นตลอดเลือด ในกรณีฉุกเฉิน เพื่อป้องกันอุปกรณ์ในเครื่องเสียหาย โดยเมื่อกดแล้ว ที่หน้าจอ LCD จะแสดงดังนี้

Are you sure to reset?
Yes(OPEN) No(CANCEL)

- ถ้าต้องการ RESET ตอบ Yes กดปุ่ม OPEN และเมื่อกดปุ่มแล้วจะเข้าสู่ขั้นตอนข้อ

เอกสารนี้เป็นเอกสารที่ 9 เพื่อรอมอเตอร์หยุดหมุนก่อน จึงเข้าสู่ขั้นตอนปกติต่อไป ภาไปใช้ประโยชน์ด้านการค้าไม่ว่ากรณีใดๆ ทั้งสิ้น อีกทั้งห้ามมิให้ดัดแปลงเนื้อหา และต้องอ้างอิงถึงเจ้าของเอกสารทุกครั้งที่มีการนำไปใช้

- ถ้าต้องการยกเลิกแล้วกลับสู่หน้าปกติ ตอบ No กดปุ่ม CANCEL และเมื่อกดปุ่มแล้ว จะกลับมายังหน้าจอทำงานเดิม

** หมายเหตุ: ในการใช้งานจริงแล้ว ฟังก์ชันพิเศษนี้ไม่จำเป็นแต่อย่างใด แต่เหมาะสำหรับในการตรวจสอบเครื่องว่าทำงานได้ถูกต้องหรือไม่เท่านั้น



เอกสารนี้เป็นเอกสารที่สงวนไว้สำหรับการใช้งานเพื่อการศึกษาเท่านั้น ไม่อนุญาตให้นำไปใช้ประโยชน์ด้านการค้า
ไม่ว่ากรณีใดๆ ทั้งสิ้น อีกทั้งห้ามมิให้ดัดแปลงเนื้อหา และต้องอ้างอิงถึงเจ้าของเอกสารทุกครั้งที่มีการนำไปใช้

คู่มือการดาวน์โหลดโปรแกรมลงในชิปไมโครคอนโทรลเลอร์ เบอร์ AT89S8252

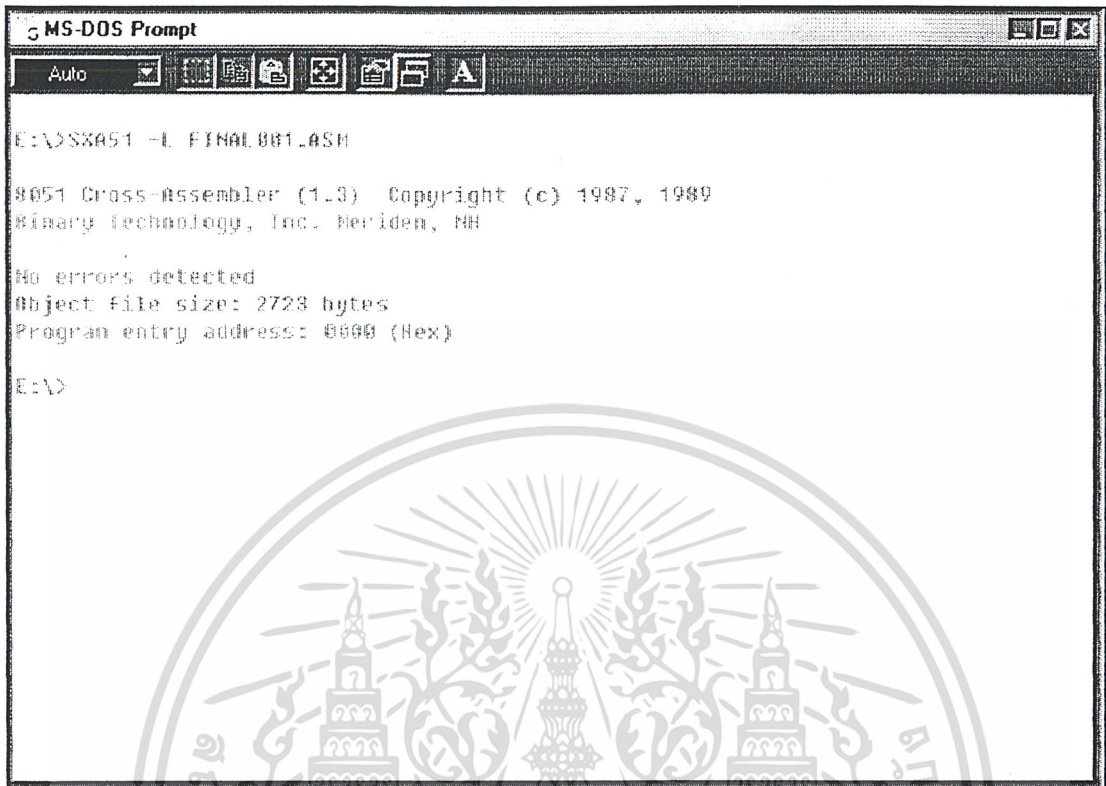
ในการใช้งานไมโครคอนโทรลเลอร์แบบแฟลช เบอร์ AT89S8252 นั้น ส่วนของการเขียนโปรแกรมลงในชิปไมโครคอนโทรลเลอร์ สามารถทำได้โดยการดาวน์โหลดโปรแกรมลงในชิปไมโครคอนโทรลเลอร์ได้โดยใช้โปรแกรมคอมพิวเตอร์ และการต่อวงจรตามในรูปวงจรรวมในปฏิญานินพจน์นี้ ซึ่งมีโปรแกรมที่ต้องใช้ และมีขั้นตอนดังนี้

โปรแกรมที่ต้องใช้มีดังนี้

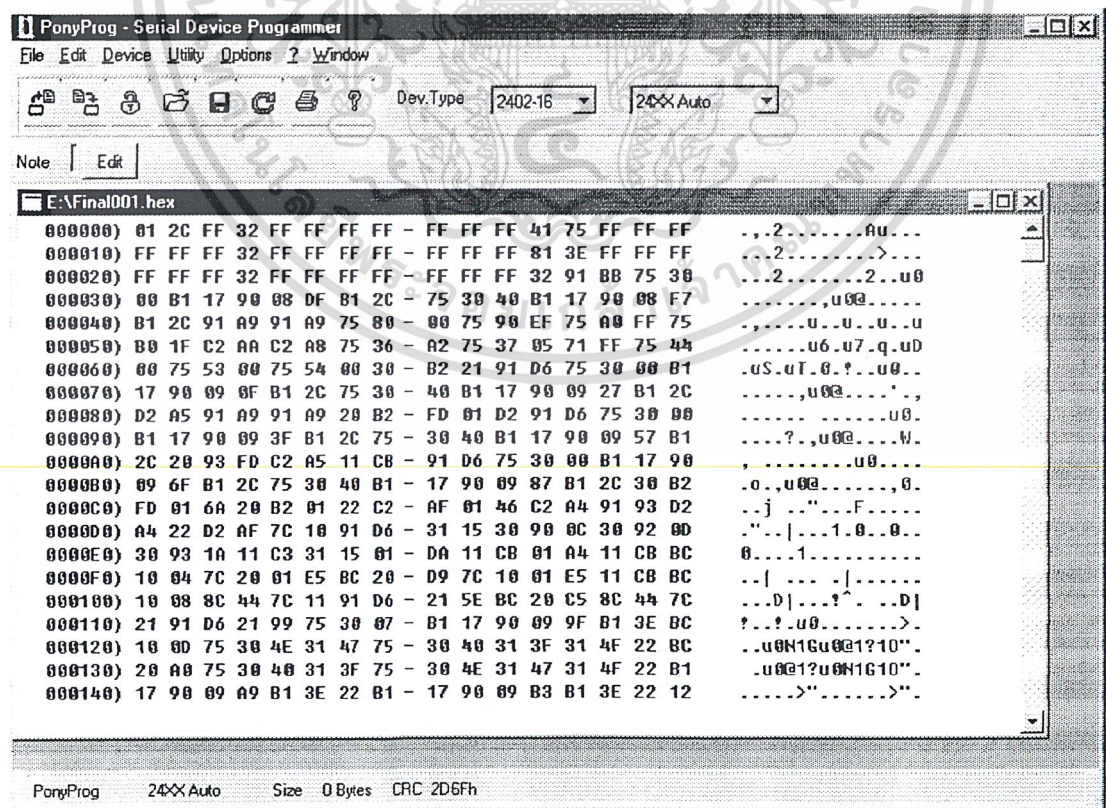
- โปรแกรม EDITOR ต่าง ๆ ใช้ในการเขียนโปรแกรม Assembly
- โปรแกรม SXA51 ใช้ในการ Compile ไฟล์ ASSEMBLY (Filename.asm) เป็นไฟล์ HEX (Filename.hex) ในรูปแบบบนระบบ DOS
- โปรแกรม PonyProg177h ใช้ในการ Save ทับไฟล์ HEX ที่ได้จากการ Compile ของโปรแกรม SXA51 ให้เป็นรูปแบบบนระบบ WINDOWS
- โปรแกรม Atmel AVR ISP (Version 2.65) ใช้ในการดาวน์โหลดโปรแกรมลงในชิปไมโครคอนโทรลเลอร์แบบแฟลช เบอร์ AT89S8252

ขั้นตอนในการดาวน์โหลดมีดังนี้

1. เข้าสู่ DOS Mode และพิมพ์คำสั่งรัน โปรแกรม SXA51 ดังนี้
"Drive:\Path\>SXA51 -L Filename.asm"
โดย -L หมายถึง Save ผลการรันในไฟล์ LIST (Filename.lst) เพื่อใช้ในการตรวจสอบผลการรันว่ามี Error หรือไม่ ถ้ามี ก็จะสามารถหาและแก้ไขได้ถูกตำแหน่ง
ขั้นตอนนี้แสดงในรูปภาคผนวกที่ 1.1
2. จากนั้นเปิดโปรแกรม PonyProg177h ตามรูปภาคผนวกที่ 1.2 และมีขั้นตอนย่อยดังนี้
 - 2.1 เมื่อเข้าสู่โปรแกรมแล้ว ให้เปิดไฟล์ HEX ที่ได้ Compile มาแล้วด้วยโปรแกรม SXA51
 - 2.2 เมื่อเปิดไฟล์ขึ้นมาแล้ว ทำการ Save ทับ ก็จะได้ไฟล์ในรูปแบบของระบบบน WINDOWS

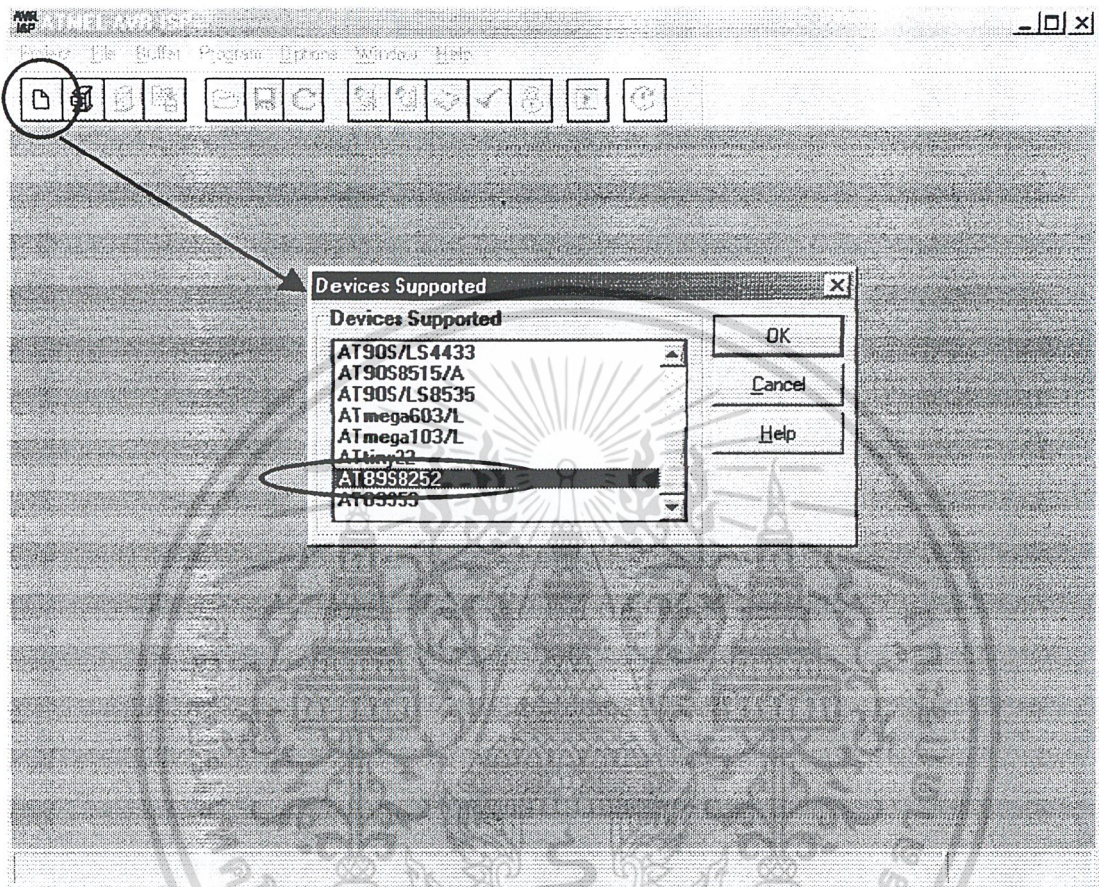


รูปภาคผนวกที่ 1.1 โปรแกรม SXA51



เอกสารนี้เป็นเอกสารที่สงวนรูปภาคผนวกที่ 1.2 แสดงโปรแกรม PonyProg117h หน้าไปใช้ประโยชน์ด้านการค้า
ไม่ว่ากรณีใดๆ ทั้งสิ้น อีกทั้งห้ามมิให้ดัดแปลงเนื้อหา และต้องอ้างอิงถึงเจ้าของเอกสารทุกครั้งที่มีการนำไปใช้

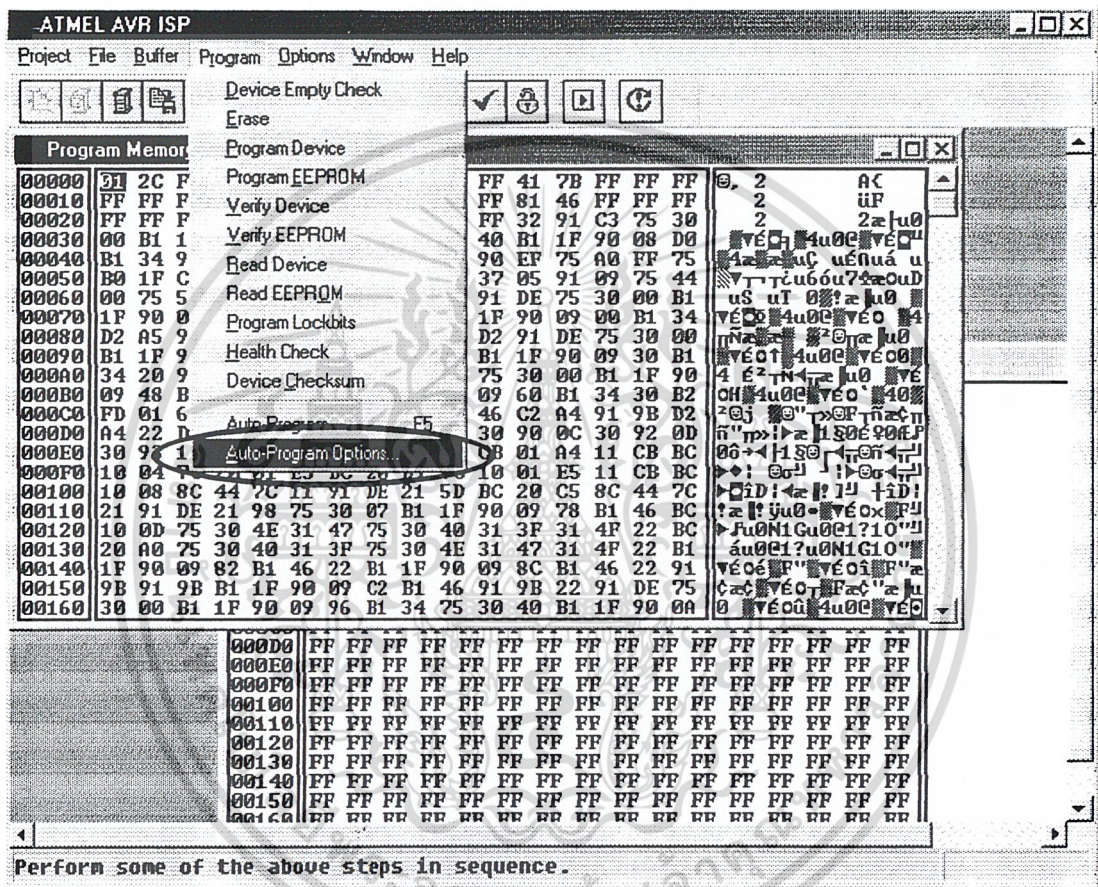
3. จากนั้นเปิดโปรแกรม Atmel AVR ISP ขึ้นมา ดังรูปภาคผนวกที่ 1.3



รูปภาคผนวกที่ 1.3 แสดงโปรแกรม Atmel AVR ISP


- 3.1 เมื่อเปิดโปรแกรมขึ้นมาแล้ว ให้ทำการเปิด New Project ขึ้นมาใหม่ แล้วจะปรากฏหน้าต่างของ Devices Supported ขึ้นมา จากนั้นให้เลือกหัวข้อ AT89S8252 กด OK ตกลงไป
- 3.2 จากนั้นจะปรากฏหน้าต่างต่าง Project Manager, Program Memory และ Data EEPROM Memory ดังรูปภาคผนวกที่ 1.4 ให้เลือกหน้าต่างที่ชื่อ Program Memory
- 3.3 จากนั้นทำการเปิดไฟล์ HEX ที่ถูก Save ทับด้วยโปรแกรม PonyProg ขึ้นมา จะปรากฏหน้าต่าง File Load Program Memory แสดงข้อความว่า Warning - File larger than device! จากนั้นให้กด OK ตกลงไป ดังรูปภาคผนวกที่ 1.5

3.4 เมื่อกด OK ตกลงไปแล้ว ให้ทำการเลือก Program -> Auto-Program Options... ตามผังรูปภาพผนวกที่ 1.6 และเมื่อ Click แล้ว ถ้ายังไม่เชื่อมต่อวงจรกับคอมพิวเตอร์ (วงจรต้องทำงานหรือมีไฟเลี้ยงวงจรด้วย) จะปรากฏหน้าต่างผังรูปภาพผนวกที่ 1.7 แต่ถ้าเชื่อมต่อวงจรอย่างถูกต้องแล้ว จะปรากฏหน้าต่างผังรูปภาพผนวกที่ 1.8

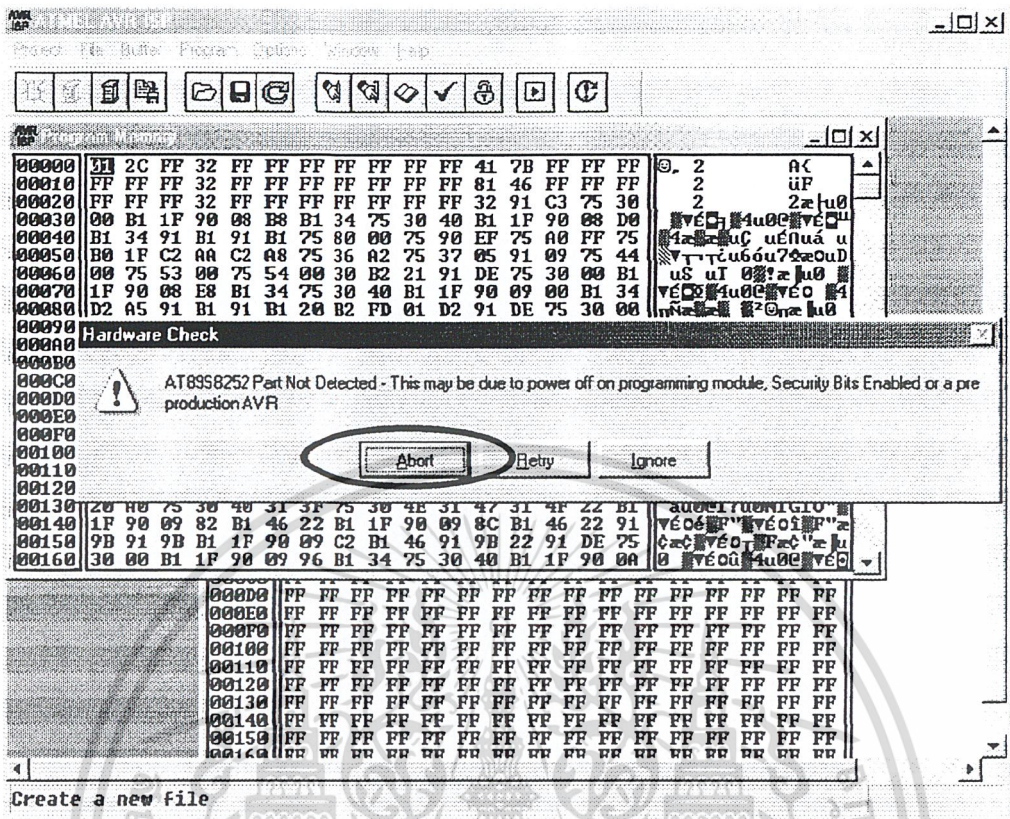


รูปภาพผนวกที่ 1.6

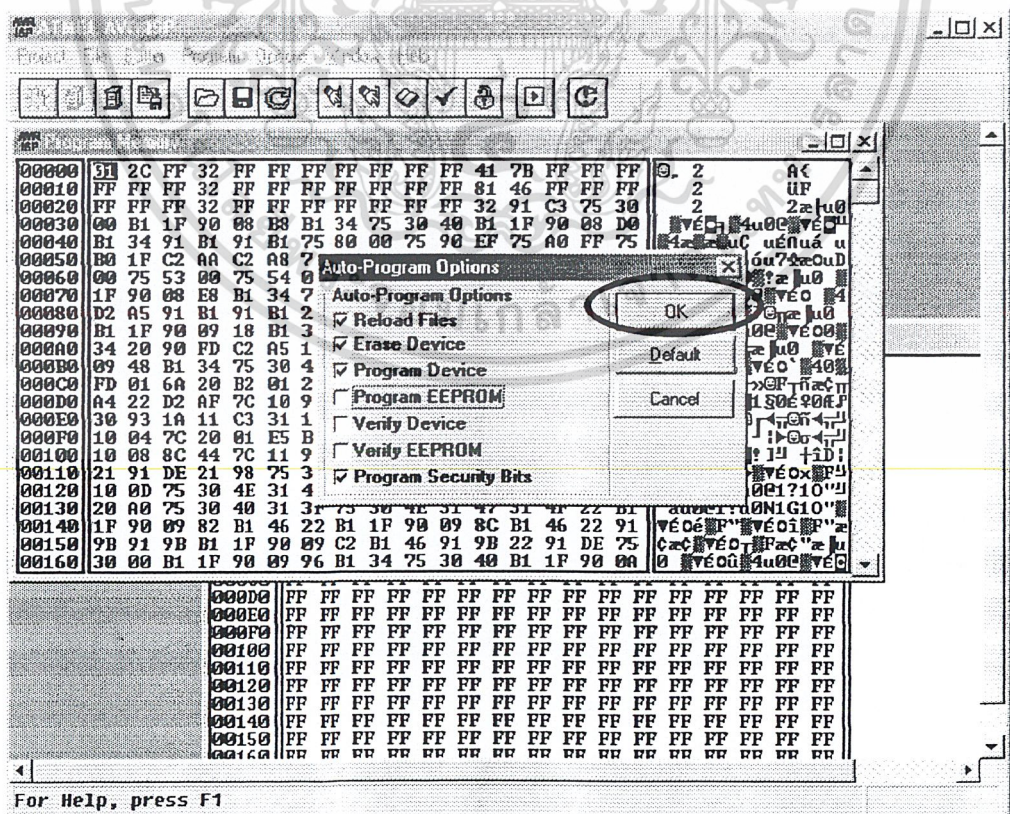
3.4 เมื่อทำถูกต้องได้ตามรูปภาพผนวกที่ 1.8 แล้ว ทำการเลือกตัวเลือกผังรูปภาพผนวกที่ 1.8 จากนั้นกด OK ตกลง

3.5 จากนั้นทำการเลือก Program -> Auto-Program หรือ Click ที่ปุ่ม ไอคอน  หรือ กดปุ่ม F5 ดังรูปภาพผนวกที่ 1.9

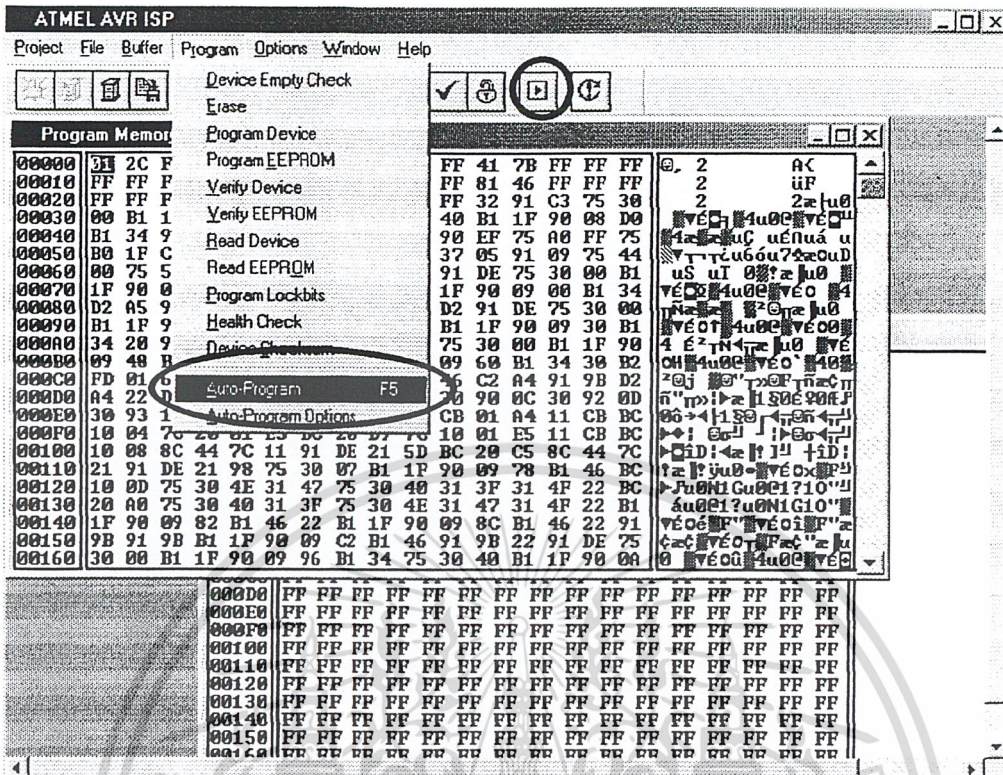
3.6 เสร็จแล้ว โปรแกรมจะเริ่มทำการดาวน์โหลดโปรแกรม ดังรูปภาพผนวกที่ 1.10 จนเสร็จสิ้น ก็จะปรากฏหน้าต่างผังรูปภาพผนวกที่ 1.11 กด OK ตกลง ก็เป็นอันเสร็จสิ้นการดาวน์โหลด



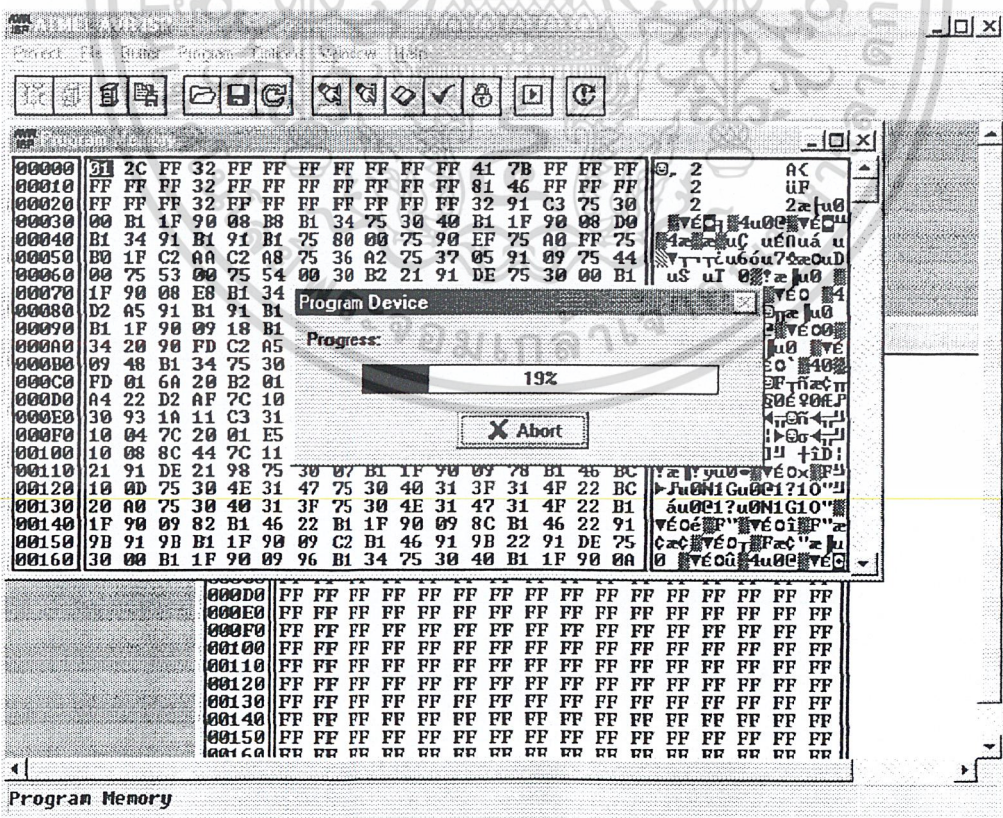
รูปภาพผนวกที่ 1.7



เอกสารนี้เป็นเอกสารที่สงวนไว้สำหรับการใช้รูปภาพผนวกที่ 1.8 นั้น ไม่อนุญาตให้นำไปใช้ประโยชน์ด้านการค้าไม่ว่ากรณีใดๆ ทั้งสิ้น อีกทั้งห้ามมิให้ดัดแปลงเนื้อหา และต้องอ้างอิงถึงเจ้าของเอกสารทุกครั้งที่มีการนำไปใช้

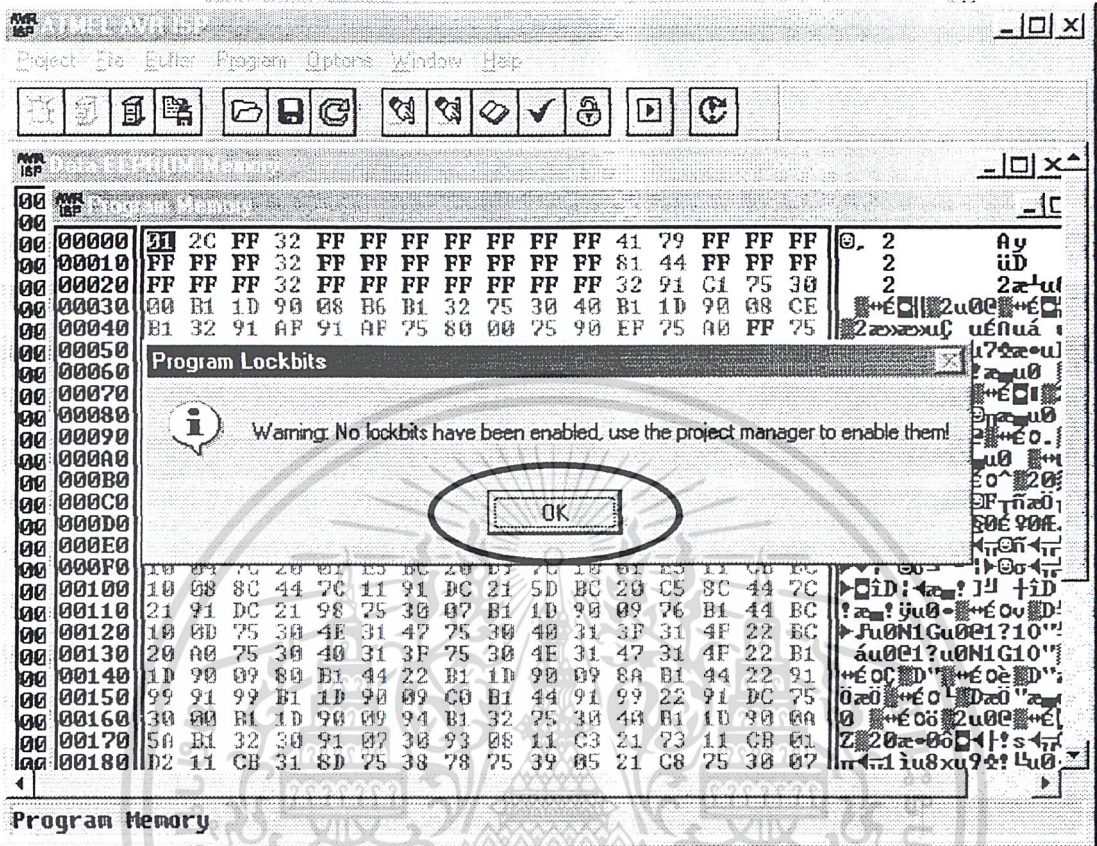


รูปภาคผนวกที่ 1.9

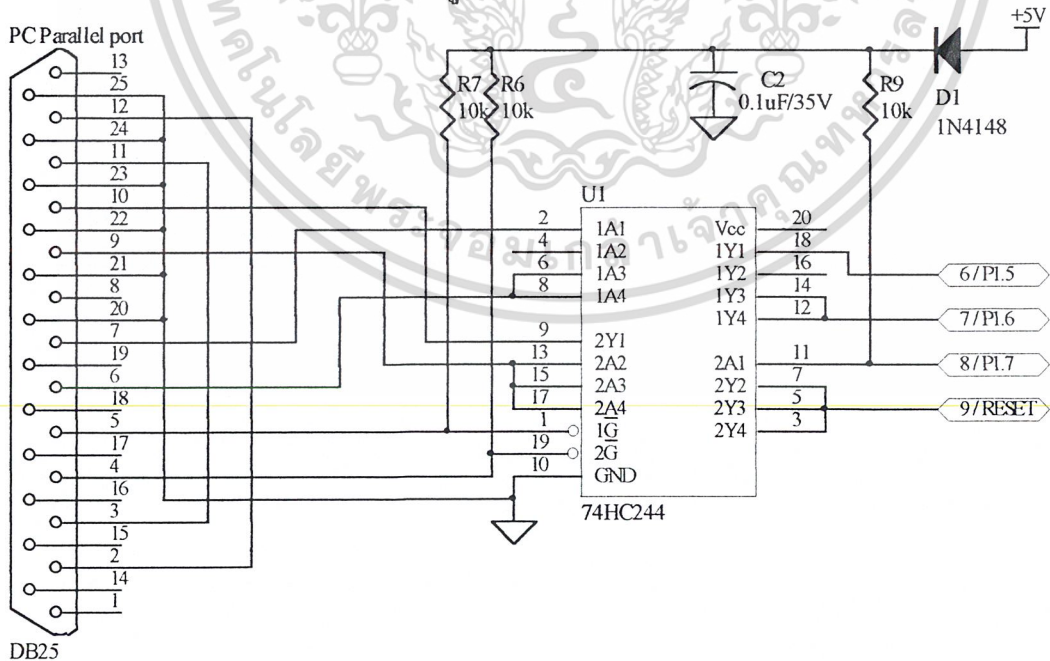


รูปภาคผนวกที่ 1.10

เอกสารนี้เป็นเอกสารที่สงวนไว้สำหรับการใช้งานเพื่อการศึกษาเท่านั้น ไม่อนุญาตให้นำไปใช้ประโยชน์ด้านการค้า
ไม่ว่ากรณีใดๆ ทั้งสิ้น อีกทั้งห้ามมิให้ดัดแปลงเนื้อหา และต้องอ้างอิงถึงเจ้าของเอกสารทุกครั้งที่มีการนำไปใช้

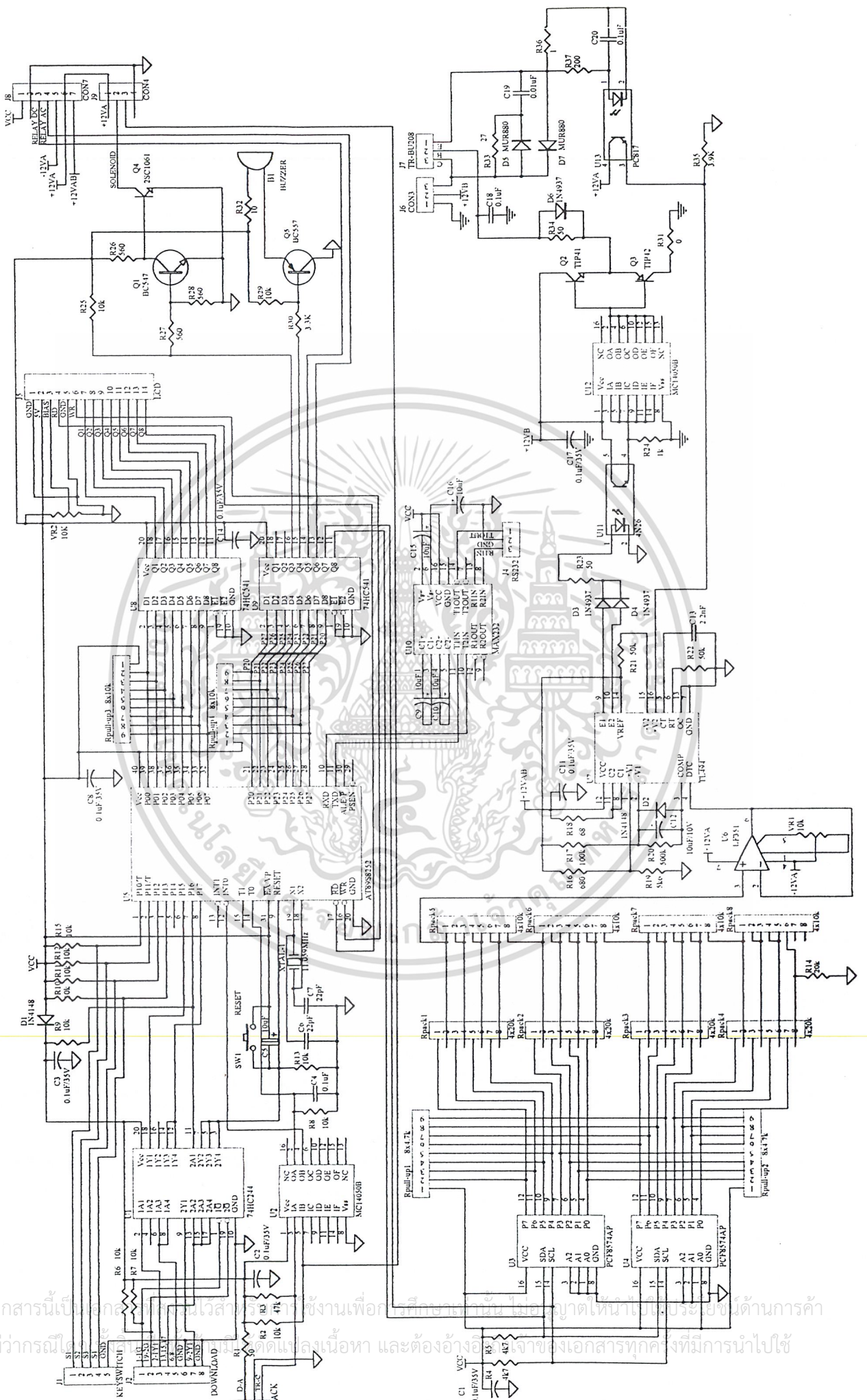


รูปภาคผนวกที่ 1.11



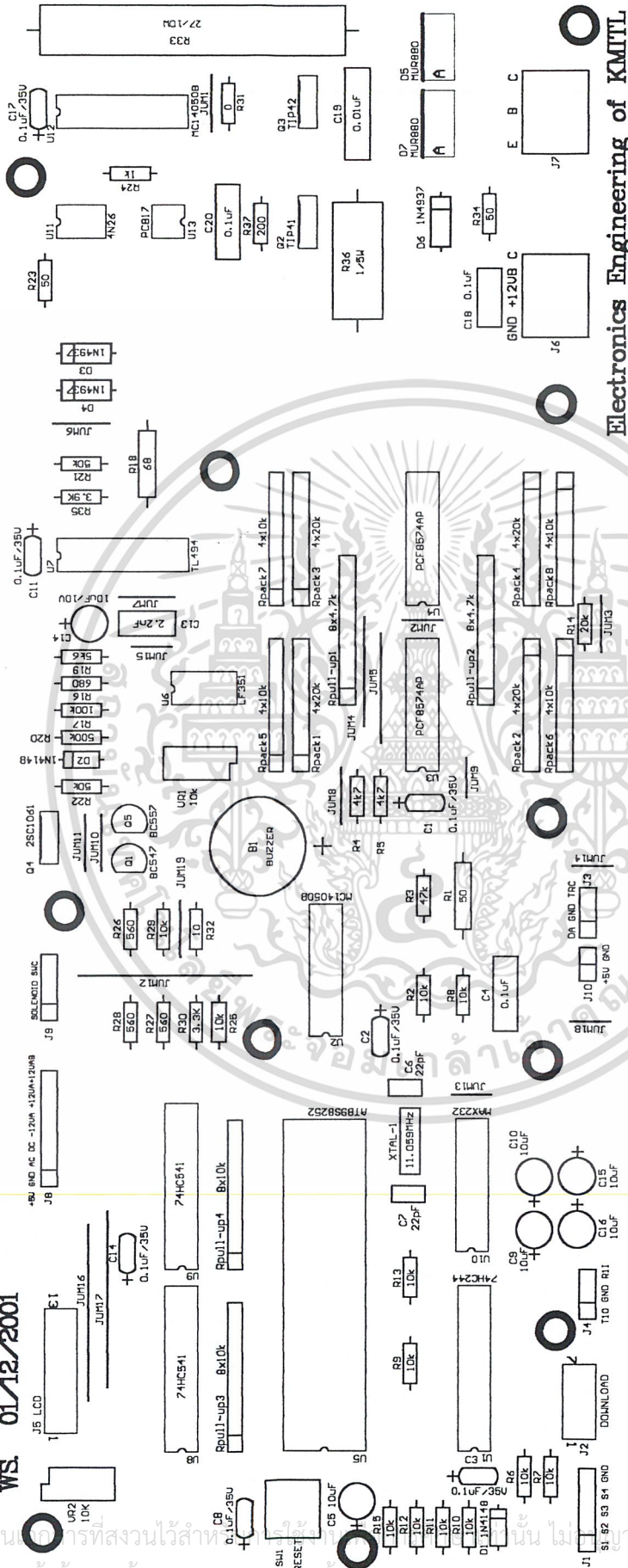
รูปภาคผนวกที่ 1.12 แสดงการต่อวงจรส่วนที่ใช้ตัวนำโหนดโปรแกรมกับพอร์ตขนาน

เอกสารนี้เป็นเอกสารที่สงวนไว้สำหรับการใช้งานเพื่อการศึกษาเท่านั้น ไม่อนุญาตให้นำไปใช้ประโยชน์ด้านการค้า ไม่ว่าจะกรณีใดๆ ทั้งสิ้น อีกทั้งห้ามมิให้ดัดแปลงเนื้อหา และต้องอ้างอิงถึงเจ้าของเอกสารทุกครั้งที่มีการนำไปใช้



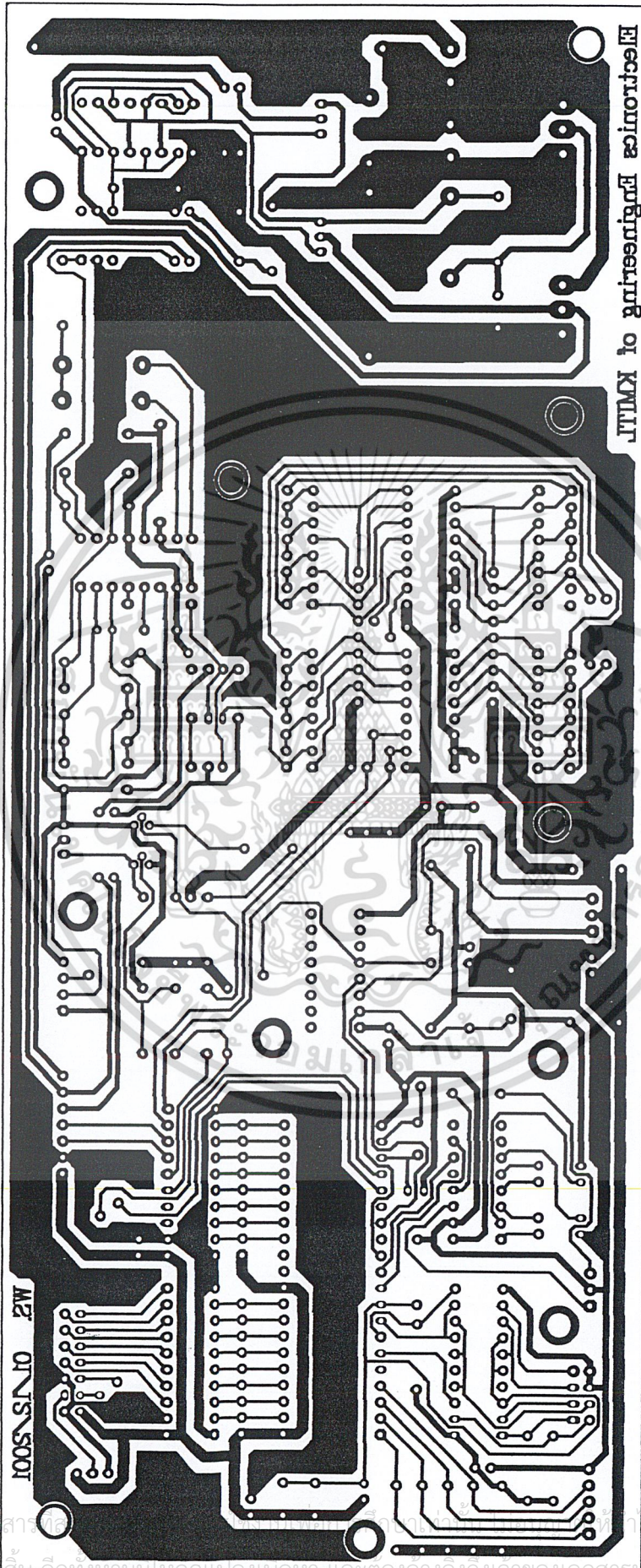
เอกสารนี้เป็นเอกสารต้นฉบับลิขสิทธิ์ของงานเพื่อประโยชน์แก่ประชาชน ไม่สามารถให้นำไปใช้โดยไม่ได้รับอนุญาตจากหน่วยงานต้นฉบับ
 ไม่สามารถนำเอกสารนี้ไปเผยแพร่โดยไม่ได้รับอนุญาตจากหน่วยงานต้นฉบับ และต้องอ้างอิงถึงชื่อของเอกสารทุกครั้งที่มีการนำไปใช้

WS. 01/12/2001



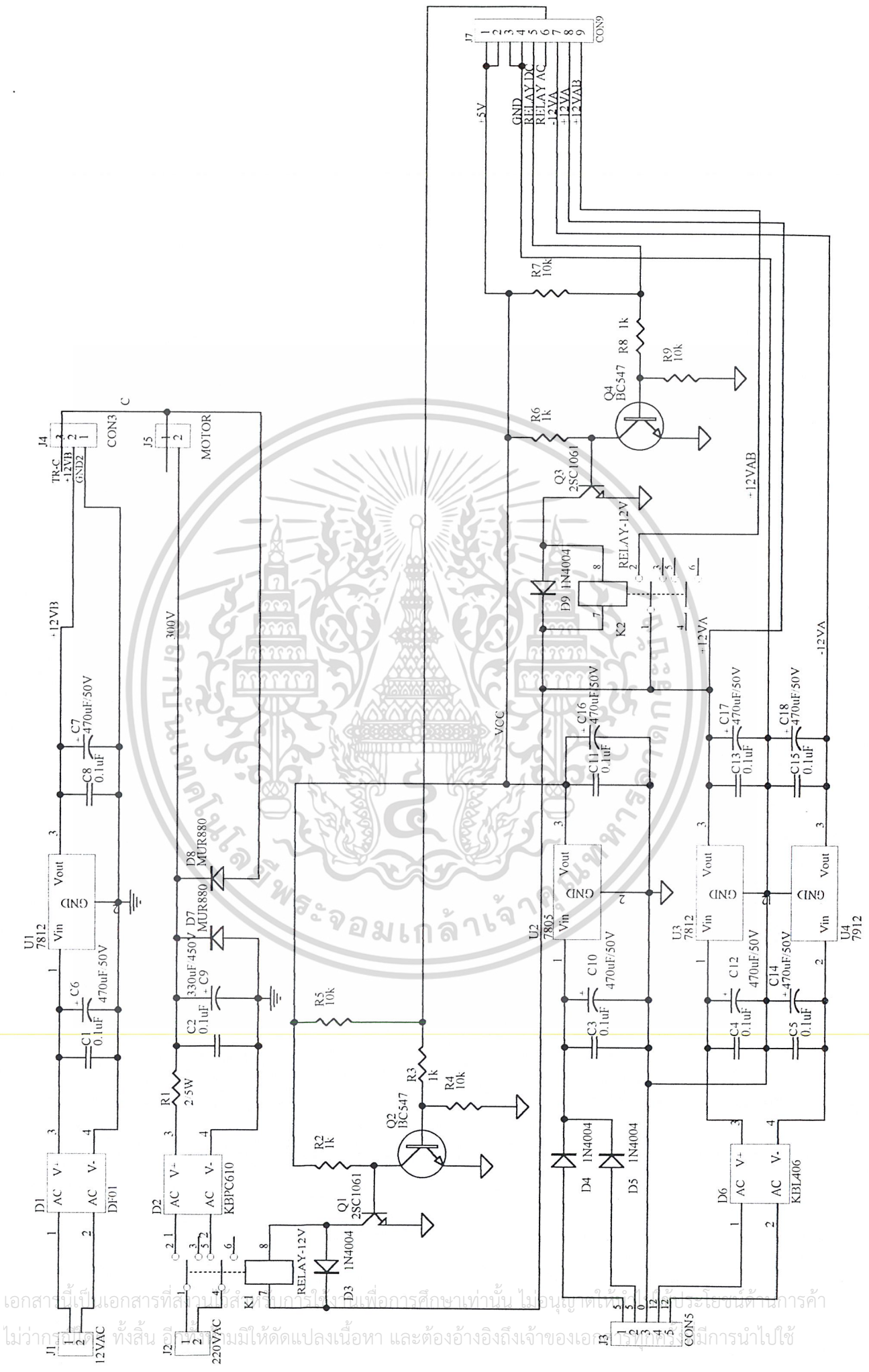
Electronics Engineering of KMUTL

เอกสารนี้เป็นเอกสารที่สงวนไว้สำหรับใช้ภายในเท่านั้น ไม่อนุญาตให้นำไปใช้ประโยชน์ด้านการค้า
ไม่ว่ากรณีใดๆ ทั้งสิ้น อีกทั้งห้ามมิให้ดัดแปลงเนื้อหา และต้องอ้างอิงถึงเจ้าของเอกสารทุกครั้งที่มีการนำไปใช้



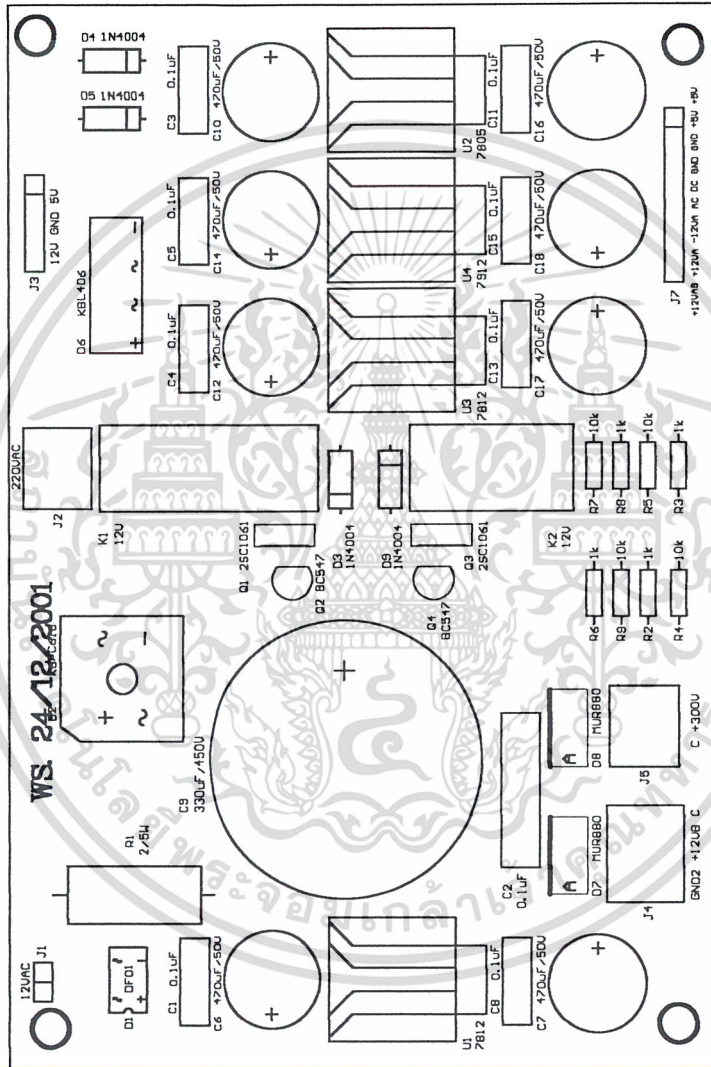
Electronics Engineering of KMITL

1005N10 2W

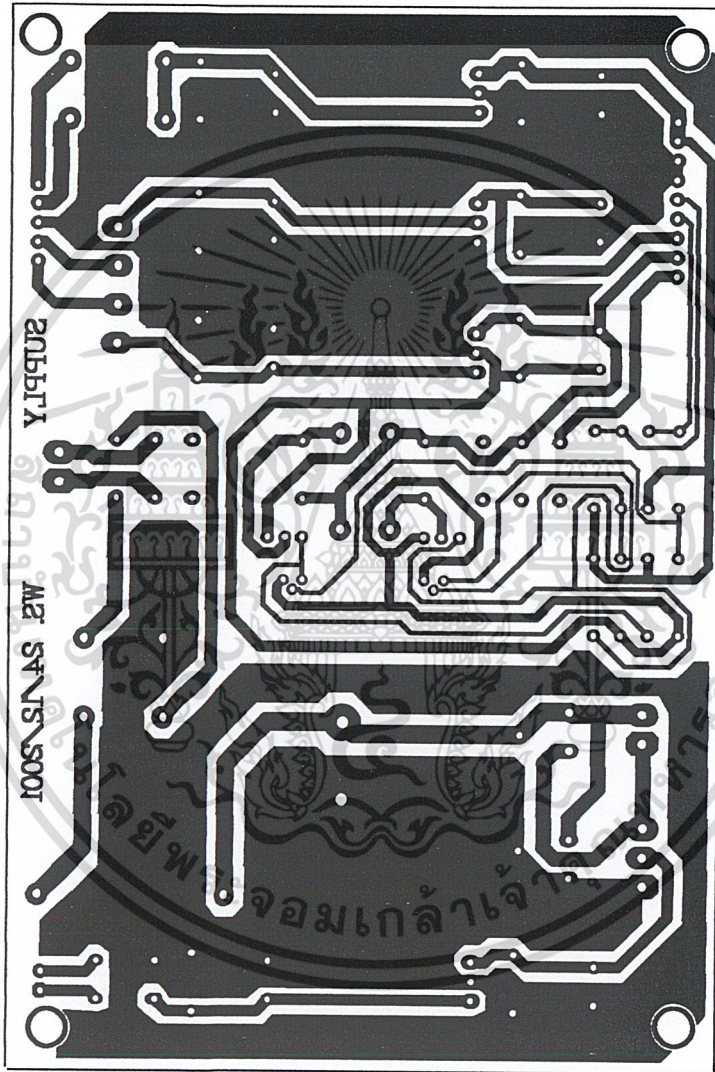


เอกสารนี้เป็นเอกสารที่สงวนลิขสิทธิ์และสงวนสิทธิ์ในการใช้เพื่อการศึกษาเท่านั้น ไม่อนุญาตให้เผยแพร่โดยไม่ได้รับอนุญาตจากเจ้าของลิขสิทธิ์

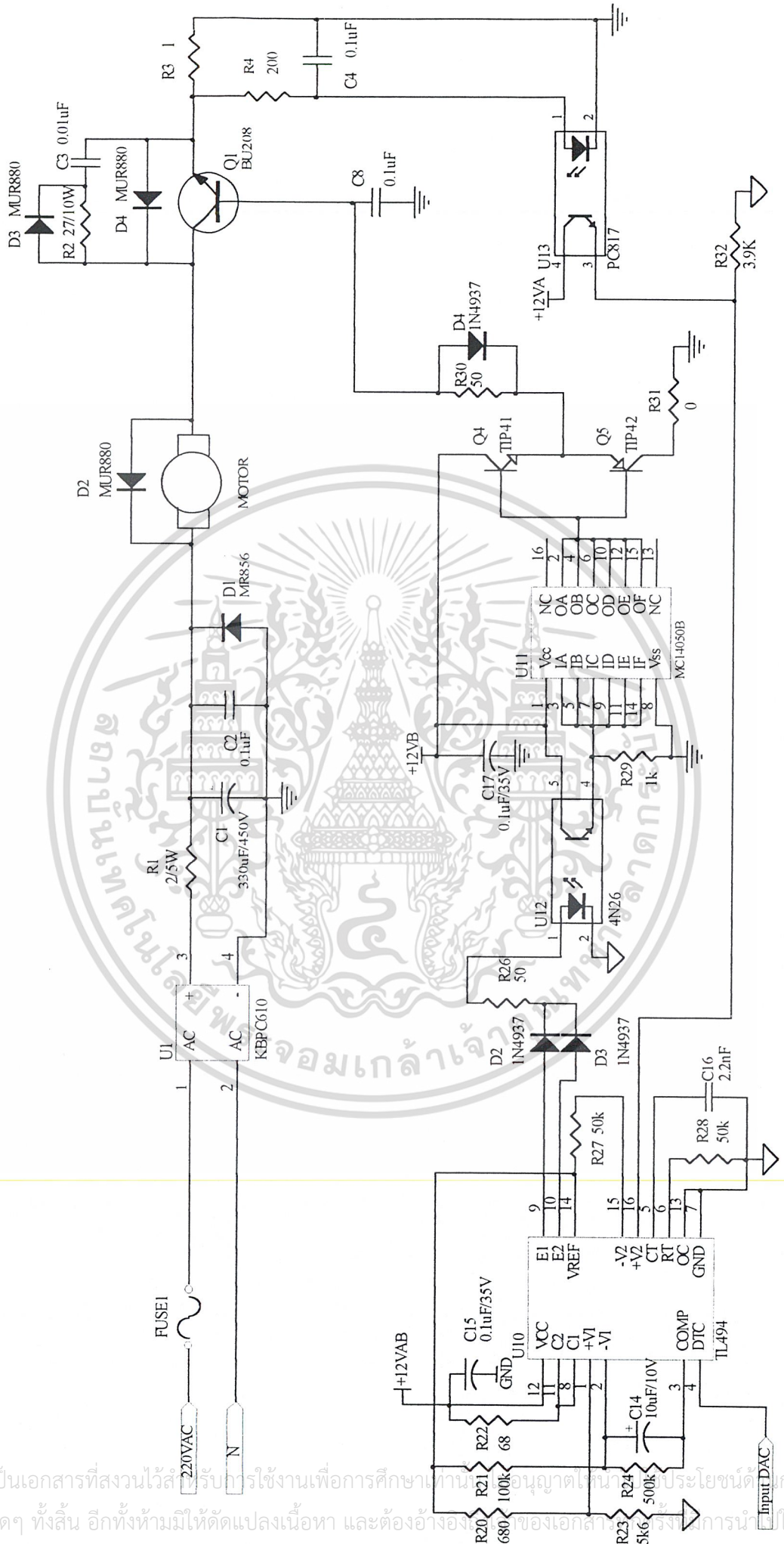
ไม่ควรถูกใช้เพื่อวัตถุประสงค์อื่นที่ไม่ใช่การศึกษาค้นคว้า และต้องอ้างอิงถึงเจ้าของเอกสารนี้ในการนำไปใช้



เอกสารนี้เป็นเอกสารที่สงวนไว้สำหรับการใช้งานเพื่อการศึกษาเท่านั้น ไม่อนุญาตให้拿去ใช้ประโยชน์ด้านการค้า
ไม่ว่ากรณีใดๆ ทั้งสิ้น อีกทั้งห้ามมิให้ดัดแปลงเนื้อหา และต้องอ้างอิงถึงเจ้าของเอกสารทุกครั้งที่มีการนำไปใช้

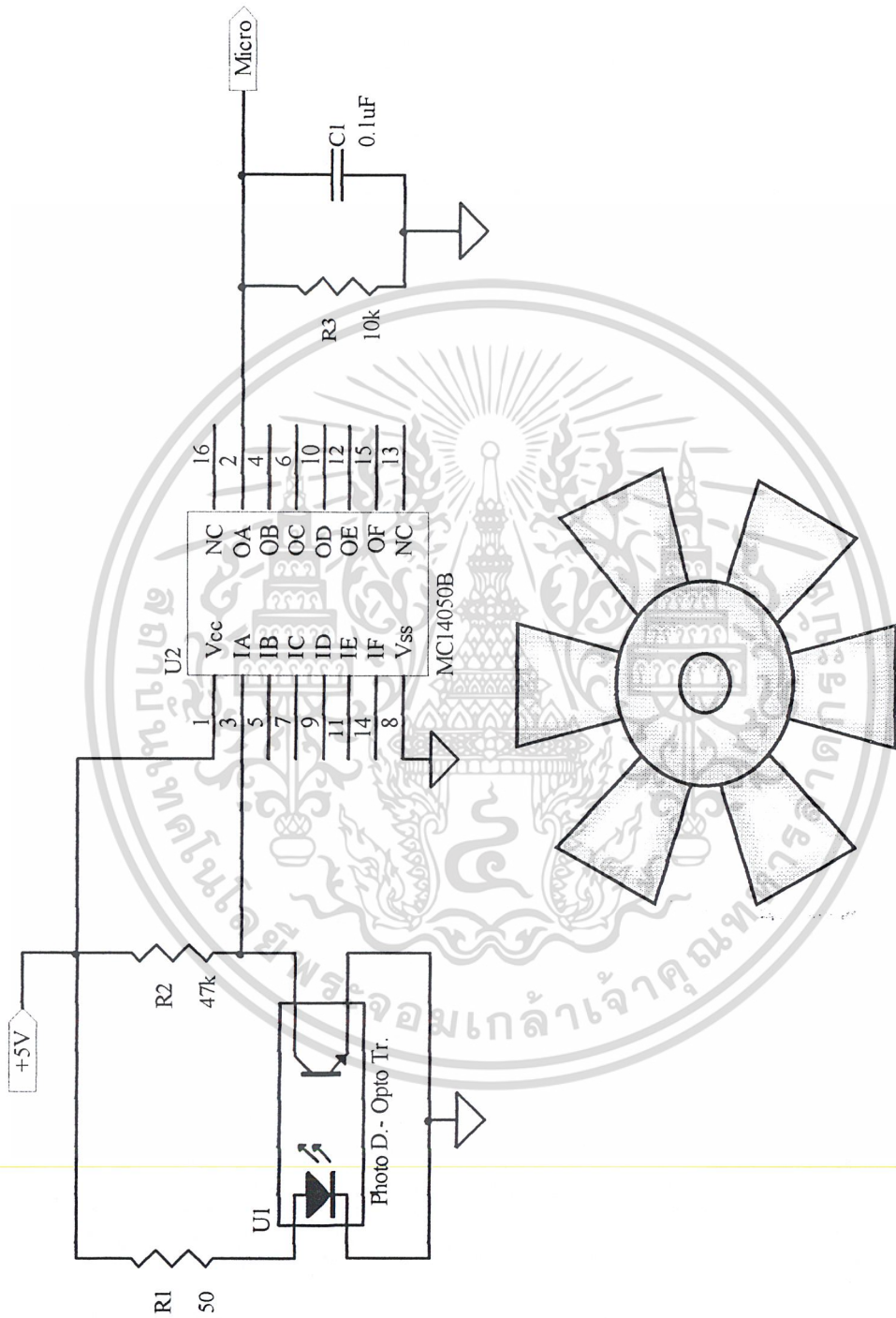


เอกสารนี้เป็นเอกสารที่สงวนไว้สำหรับการใช้งานเพื่อการศึกษาเท่านั้น ไม่อนุญาตให้นำไปใช้ประโยชน์ด้านการค้า
ไม่ว่ากรณีใดๆ ทั้งสิ้น อีกทั้งห้ามมิให้ดัดแปลงเนื้อหา และต้องอ้างอิงถึงเจ้าของเอกสารทุกครั้งที่มีการนำไปใช้



วงจรส่วนกำเนิดสัญญาณพัลส์และส่วนขับมอเตอร์

เอกสารนี้เป็นเอกสารที่สงวนไว้สำหรับการใช้งานเพื่อการศึกษาเท่านั้น กรุณาอย่าเผยแพร่เอกสารนี้โดยไม่ได้รับอนุญาตจากทางมหาวิทยาลัยเทคโนโลยีพระจอมเกล้าธนบุรี การนำเอกสารนี้ไปใช้โดยไม่ได้รับอนุญาตถือว่าผิดกฎหมาย และต้องรับผิดชอบต่อการใช้งานที่ไม่ถูกต้อง



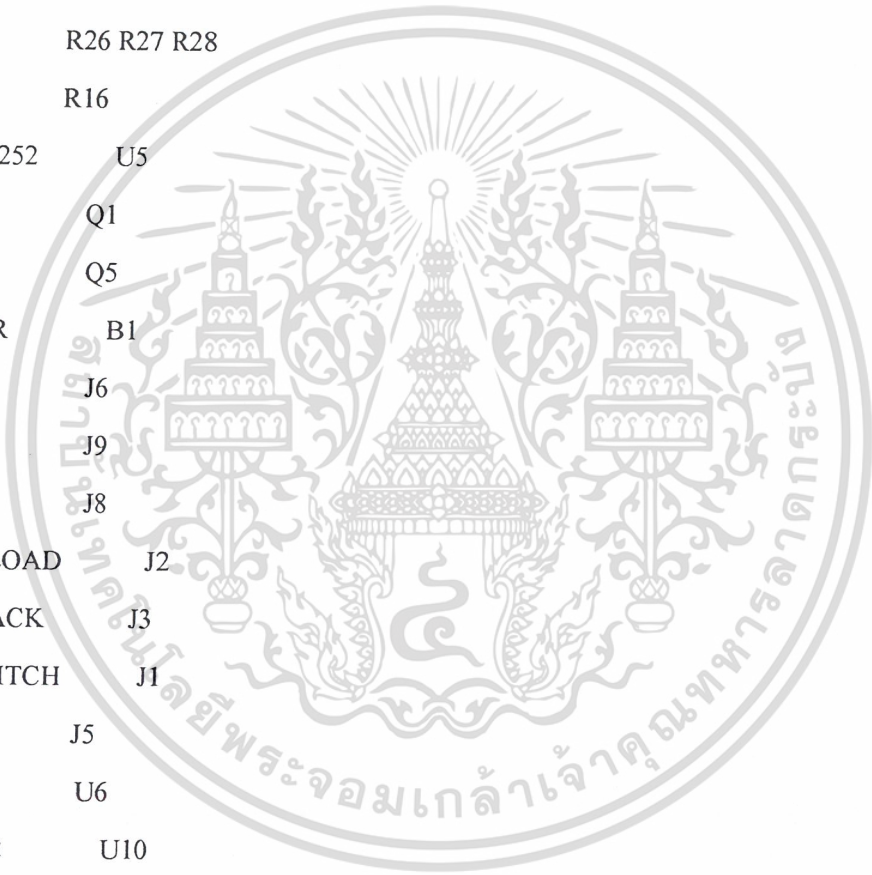
วงจรส่วนที่ใช้วัดความเร็วรอบมอเตอร์โดยใช้หลักการทางแสง

เอกสารนี้เป็นเอกสารที่สงวนไว้สำหรับการใช้งานเพื่อการศึกษาเท่านั้น ไม่อนุญาตให้นำไปใช้ประโยชน์ด้านการค้า ไม่ว่าจะกรณีใดๆ ทั้งสิ้น อีกทั้งห้ามมิให้ดัดแปลงเนื้อหา และต้องอ้างอิงถึงเจ้าของเอกสารทุกครั้งที่มีการนำไปใช้

Bill of Material for Micro_da02.Bom

1	0	R31
3	0.1uF	C4 C18 C20
1	0.01uF	C19
7	0.1uF/35V	C1 C2 C3 C8 C11 C14 C17
1	1	R36
1	1N4004	D2
1	1N4148	D1
3	1N4937	D3 D4 D6
1	1k	R24
1	2.2nF	C13
1	2SC1061	Q4
1	3.3K	R30
1	3.9K	R35
1	4N26	U11
2	4k7	R4 R5
4	4x10k	Rpack5 Rpack6 Rpack7 Rpack8
4	4x20k	Rpack1 Rpack2 Rpack3 Rpack4
1	5k6	R19
2	8x4.7k	Rpull-up1 Rpull-up2
2	8x10k	Rpull-up3 Rpull-up4
1	10	R32
2	10K	VR1 VR2
12	10k	R2 R6 R7 R8 R9 R10 R11 R12 R13 R15 R25 R29
5	10uF	C5 C9 C10 C15 C16
1	10uF/10V	C12
1	11.059MHz	XTAL-1
1	20k	R14
2	22pF	C6 C7
1	27	R33
1	47k	R3

1	50	R1
2	50k	R21 R22
1	68	R18
1	74HC244	U1
2	74HC541	U8 U9
1	100k	R17
1	200	R37
1	500k	R20
3	560	R26 R27 R28
1	680	R16
1	AT89S8252	U5
1	BC547	Q1
1	BC557	Q5
1	BUZZER	B1
1	CON3	J6
1	CON4	J9
1	CON7	J8
1	DOWNLOAD	J2
1	FEEDBACK	J3
1	KEYSWITCH	J1
1	LCD	J5
1	LF351	U6
1	MAX232	U10
2	MUR880	D5 D7
1	PC817	U13
2	PCF8574AP	U3 U4
1	RESET	SW1
1	RS232	J4
1	TIP41	Q2
1	TIP42	Q3
1	TL494	U7



Bill of Material for Supply.Bom

1	0.1uF/630V	C2
8	0.1uF/100V	C1 C3 C4 C5 C8 C11 C13 C15
1	330uF/450V	C9
8	470uF/50V	C6 C7 C10 C12 C14 C16 C17 C18
4	1N4004	D3 D4 D5 D9
2	MUR880	D7 D8
1	DF01	D1 D-70 Diode Bridge
1	KBL406	D6 D-37R Diode Bridge
1	KBPC610	D2 D-46 Diode Bridge
4	1k	R2 R3 R6 R8
1	2/5W	R1
4	10k	R4 R5 R7 R9
2	2SC1061	Q1 Q3
2	BC547	Q2 Q4
1	7805	U2
2	7812	U1 U3
1	7912	U4
1	RELAY-12V	K1 RELAY_H
1	RELAY-12V	K2 RELAY_L
1	12VAC	J1 SIP-2 Connector
1	220VAC	J2 POWER2 Connector
1	MOTOR	J5 POWER2 Connector
1	CON3	J4 POWER3 Connector
1	CON5	J3 SIP-5 Connector
1	CON9	J7 SIP-9 Connector

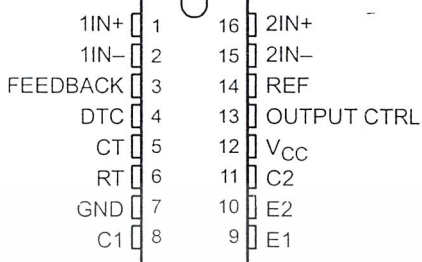
เอกสารนี้เป็นเอกสารที่สงวนไว้สำหรับการใช้งานเพื่อการศึกษาเท่านั้น ไม่อนุญาตให้นำไปใช้ประโยชน์ด้านการค้า
ไม่ว่ากรณีใดๆ ทั้งสิ้น อีกทั้งห้ามมิให้ดัดแปลงเนื้อหา และต้องอ้างอิงถึงเจ้าของเอกสารทุกครั้งที่มีการนำไปใช้

TL494 PULSE-WIDTH-MODULATION CONTROL CIRCUITS

SLVS074B – JANUARY 1983 – REVISED JULY 1999

- Complete PWM Power Control Circuitry
- Uncommitted Outputs for 200-mA Sink or Source Current
- Output Control Selects Single-Ended or Push-Pull Operation
- Internal Circuitry Prohibits Double Pulse at Either Output
- Variable Dead Time Provides Control Over Total Range
- Internal Regulator Provides a Stable 5-V Reference Supply With 5% Tolerance
- Circuit Architecture Allows Easy Synchronization

D, N, NS, OR PW PACKAGE
(TOP VIEW)



description

The TL494 incorporates all the functions required in the construction of a pulse-width-modulation (PWM) control circuit on a single chip. Designed primarily for power-supply control, this device offers the flexibility to tailor the power-supply control circuitry to a specific application.

The TL494 contains two error amplifiers, an on-chip adjustable oscillator, a dead-time control (DTC) comparator, a pulse-steering control flip-flop, a 5-V, 5%-precision regulator, and output-control circuits.

The error amplifiers exhibit a common-mode voltage range from -0.3 V to $V_{CC} - 2\text{ V}$. The dead-time control comparator has a fixed offset that provides approximately 5% dead time. The on-chip oscillator can be bypassed by terminating RT to the reference output and providing a sawtooth input to CT, or it can drive the common circuits in synchronous multiple-rail power supplies.

The uncommitted output transistors provide either common-emitter or emitter-follower output capability. The TL494 provides for push-pull or single-ended output operation, which can be selected through the output-control function. The architecture of this device prohibits the possibility of either output being pulsed twice during push-pull operation.

The TL494C is characterized for operation from 0°C to 70°C . The TL494I is characterized for operation from -40°C to 85°C .

FUNCTION TABLE

INPUT TO OUTPUT CTRL	OUTPUT FUNCTION
$V_I = \text{GND}$	Single-ended or parallel output
$V_I = V_{\text{ref}}$	Normal push-pull operation



Please be aware that an important notice concerning availability, standard warranty, and use in critical applications of Texas Instruments semiconductor products and disclaimers thereto appears at the end of this data sheet.

PRODUCTION DATA information is current as of publication date. Products conform to specifications per the terms of Texas Instruments standard warranty. Production processing does not necessarily include testing of all parameters.

 **TEXAS
INSTRUMENTS**

POST OFFICE BOX 655303 • DALLAS, TEXAS 75265

Copyright © 1999, Texas Instruments Incorporated

เอกสารนี้เป็นเอกสารที่สงวนไว้สำหรับกรณีที่มีการสั่งซื้อสินค้าเท่านั้น ไม่อนุญาตให้拿去ใช้ประโยชน์ด้านการค้า
ไม่ว่ากรณีใดๆ ทั้งสิ้น อีกทั้งห้ามมิให้ดัดแปลงเนื้อหา และต้องอ้างอิงถึงเจ้าของเอกสารทุกครั้งที่มีการนำไปใช้

TL494

PULSE-WIDTH-MODULATION CONTROL CIRCUITS

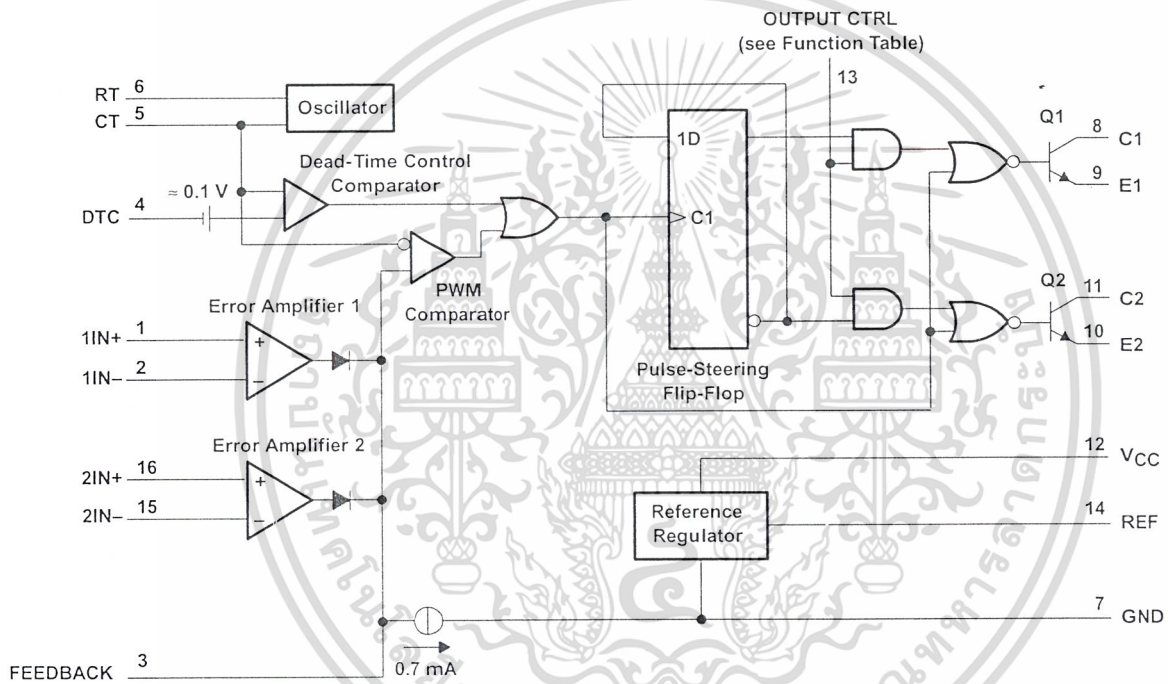
SLVS074B – JANUARY 1983 – REVISED JULY 1999

AVAILABLE OPTIONS

T _A	PACKAGED DEVICES				CHIP FORM (Y)
	SMALL OUTLINE (D)	PLASTIC DIP (N)	SMALL OUTLINE (NS)	SHRINK SMALL OUTLINE (PW)	
0°C to 70°C	TL494CD	TL494CN	TL494CNS	TL494CPW	TL494Y
-40°C to 85°C	TL494ID	TL494IN	—	—	—

The D, NS, and PW packages are available taped and reeled. Add the suffix R to device type (e.g., TL494CDR). Chip forms are tested at 25°C.

functional block diagram



POST OFFICE BOX 655303 • DALLAS, TEXAS 75265

เอกสารนี้เป็นเอกสารที่สงวนไว้สำหรับใช้ภายในเท่านั้น ไม่อนุญาตให้拿去ใช้ประโยชน์ด้านการค้า
ไม่ว่ากรณีใดๆ ทั้งสิ้น อีกทั้งห้ามมิให้ดัดแปลงเนื้อหา และต้องอ้างอิงถึงเจ้าของเอกสารทุกครั้งที่มีการนำไปใช้

TL494

PULSE-WIDTH-MODULATION CONTROL CIRCUITS

SLVS074B – JANUARY 1983 – REVISED JULY 1999

absolute maximum ratings over operating free-air temperature range (unless otherwise noted)†

		TL494	UNIT	
Supply voltage, V_{CC} (see Note 1)		41	V	
Amplifier input voltage, V_I		$V_{CC}+0.3$	V	
Collector output voltage, V_O		41	V	
Collector output current, I_O		250	mA	
Package thermal impedance, θ_{JA} (see Notes 2 and 3)	D package	73	°C	
	N package	88		
	NS package	64		
	PW package	108		
Lead temperature 1,6 mm (1/16 inch) from case for 10 seconds		D, N, or PW package	260	°C
Storage temperature range, T_{stg}			-65 to 150	°C

† Stresses beyond those listed under "absolute maximum ratings" may cause permanent damage to the device. These are stress ratings only, and functional operation of the device at these or any other conditions beyond those indicated under "recommended operating conditions" is not implied. Exposure to absolute-maximum-rated conditions for extended periods may affect device reliability.

- NOTES:
- All voltage values, except differential voltages, are with respect to the network ground terminal.
 - Maximum power dissipation is a function of $T_J(\max)$, θ_{JA} , and T_A . The maximum allowable power dissipation at any allowable ambient temperature is $P_D = (T_J(\max) - T_A)/\theta_{JA}$. Operating at the absolute maximum T_J of 150°C can impact reliability.
 - The package thermal impedance is calculated in accordance with JEDEC 51, except for through-hole packages, which use a trace length of zero.

recommended operating conditions

	TL494		UNIT	
	MIN	MAX		
Supply voltage, V_{CC}	7	40	V	
Amplifier input voltage, V_I	-0.3	$V_{CC}-2$	V	
Collector output voltage, V_O		40	V	
Collector output current (each transistor)		200	mA	
Current into feedback terminal		0.3	mA	
Oscillator frequency, f_{osc}	1	300	kHz	
Timing capacitor, C_T	0.47	10000	nF	
Timing resistor, R_T	1.8	500	k Ω	
Operating free-air temperature, T_A	TL494C	0	70	°C
	TL494I	-40	85	



POST OFFICE BOX 655303 • DALLAS, TEXAS 75265

เอกสารนี้เป็นเอกสารที่สงวนไว้สำหรับการใช้งานภายในเท่านั้น ไม่อนุญาตให้นำไปใช้ประโยชน์ด้านการค้า
ไม่ว่ากรณีใดๆ ทั้งสิ้น อีกทั้งห้ามมิให้ดัดแปลงเนื้อหา และต้องอ้างอิงถึงเจ้าของเอกสารทุกครั้งที่มีการนำไปใช้

TL494

PULSE-WIDTH-MODULATION CONTROL CIRCUITS

SLVS074B – JANUARY 1983 – REVISED JULY 1999

electrical characteristics over recommended operating free-air temperature range, $V_{CC} = 15\text{ V}$, $f = 10\text{ kHz}$ (unless otherwise noted)

reference section

PARAMETER	TEST CONDITION [†]	TL494C, TL494I			UNIT
		MIN	TYP [‡]	MAX	
Output voltage (REF)	$I_O = 1\text{ mA}$	4.75	5	5.25	V
Input regulation	$V_{CC} = 7\text{ V to }40\text{ V}$		2	25	mV
Output regulation	$I_C = 1\text{ mA to }10\text{ mA}$		1	15	mV
Output voltage change with temperature	$\Delta T_A = \text{MIN to MAX}$		2	10	mV/V
Short-circuit output current [§]	REF = 0 V		25		mA

[†] For conditions shown as MIN or MAX, use the appropriate value specified under recommended operating conditions.

[‡] All typical values, except for parameter changes with temperature, are at $T_A = 25^\circ\text{C}$.

[§] Duration of the short circuit should not exceed one second.

oscillator section, $C_T = 0.01\ \mu\text{F}$, $R_T = 12\ \text{k}\Omega$ (see Figure 1)

PARAMETER	TEST CONDITION [†]	TL494, TL494I			UNIT
		MIN	TYP [‡]	MAX	
Frequency			10		kHz
Standard deviation of frequency [¶]	All values of V_{CC} , C_T , R_T , and T_A constant		100		Hz/kHz
Frequency change with voltage	$V_{CC} = 7\text{ V to }40\text{ V}$, $T_A = 25^\circ\text{C}$		1		Hz/kHz
Frequency change with temperature [#]	$\Delta T_A = \text{MIN to MAX}$			10	Hz/kHz

[†] For conditions shown as MIN or MAX, use the appropriate value specified under recommended operating conditions.

[‡] All typical values, except for parameter changes with temperature, are at $T_A = 25^\circ\text{C}$.

[¶] Standard deviation is a measure of the statistical distribution about the mean as derived from the formula:

$$\sigma = \sqrt{\frac{\sum_{n=1}^N (x_n - \bar{X})^2}{N - 1}}$$

[#] Temperature coefficient of timing capacitor and timing resistor are not taken into account.

error-amplifier section (see Figure 2)

PARAMETER	TEST CONDITIONS	TL494, TL494I			UNIT
		MIN	TYP [‡]	MAX	
Input offset voltage	$V_O (\text{FEEDBACK}) = 2.5\text{ V}$		2	10	mV
Input offset current	$V_O (\text{FEEDBACK}) = 2.5\text{ V}$		25	250	nA
Input bias current	$V_O (\text{FEEDBACK}) = 2.5\text{ V}$		0.2	1	μA
Common-mode input voltage range	$V_{CC} = 7\text{ V to }40\text{ V}$	-0.3 to $V_{CC}-2$			V
Open-loop voltage amplification	$\Delta V_O = 3\text{ V}$, $R_L = 2\ \text{k}\Omega$, $V_O = 0.5\text{ V to }3.5\text{ V}$	70	95		dB
Unity-gain bandwidth	$V_O = 0.5\text{ V to }3.5\text{ V}$, $R_L = 2\ \text{k}\Omega$		800		kHz
Common-mode rejection ratio	$\Delta V_O = 40\text{ V}$, $T_A = 25^\circ\text{C}$	65	80		dB
Output sink current (FEEDBACK)	$V_{ID} = -15\text{ mV to }-5\text{ V}$, $V (\text{FEEDBACK}) = 0.7\text{ V}$	0.3	0.7		mA
Output source current (FEEDBACK)	$V_{ID} = 15\text{ mV to }5\text{ V}$, $V (\text{FEEDBACK}) = 3.5\text{ V}$	-2			mA

[‡] All typical values, except for parameter changes with temperature, are at $T_A = 25^\circ\text{C}$.



POST OFFICE BOX 655303 • DALLAS, TEXAS 75265

เอกสารนี้เป็นเอกสารที่สงวนไว้สำหรับใช้ภายในเท่านั้น ไม่อนุญาตให้拿去ใช้ประโยชน์ด้านการค้า
ไม่ว่ากรณีใดๆ ทั้งสิ้น อีกทั้งห้ามมิให้ดัดแปลงเนื้อหา และต้องอ้างอิงถึงเจ้าของเอกสารทุกครั้งที่มีการนำไปใช้

TL494 PULSE-WIDTH-MODULATION CONTROL CIRCUITS

SLVS074B – JANUARY 1983 – REVISED JULY 1999

electrical characteristics over recommended operating free-air temperature range, $V_{CC} = 15\text{ V}$, $f = 10\text{ kHz}$, $T_A = 25^\circ\text{C}$ (unless otherwise noted)

reference section

PARAMETER	TEST CONDITIONS†	TL494Y			UNIT
		MIN	TYP†	MAX	
Output voltage (REF)	$I_O = 1\text{ mA}$		5		V
Input regulation	$V_{CC} = 7\text{ V to }40\text{ V}$		2		mV
Output regulation	$I_O = 1\text{ mA to }10\text{ mA}$		1		mV
Short-circuit output current‡	REF = 0 V		25		mA

† All typical values, except for parameter changes with temperature, are at $T_A = 25^\circ\text{C}$.

‡ Duration of the short circuit should not exceed one second.

oscillator section, $C_T = 0.01\ \mu\text{F}$, $R_T = 12\ \text{k}\Omega$ (see Figure 1)

PARAMETER	TEST CONDITIONS†	TL494Y			UNIT
		MIN	TYP†	MAX	
Frequency			10		kHz
Standard deviation of frequency§	All values of V_{CC} , C_T , R_T , and T_A constant.		100		Hz/kHz
Frequency change with voltage	$V_{CC} = 7\text{ V to }40\text{ V}$		1		Hz/kHz

† All typical values, except for parameter changes with temperature, are at $T_A = 25^\circ\text{C}$.

§ Standard deviation is a measure of the statistical distribution about the mean as derived from the formula:

$$\sigma = \sqrt{\frac{\sum_{n=1}^N (x_n - \bar{X})^2}{N - 1}}$$

error-amplifier section (see Figure 2)

PARAMETER	TEST CONDITIONS	TL494Y			UNIT
		MIN	TYP†	MAX	
Input offset voltage	V_O (FEEDBACK) = 2.5 V		2		mV
Input offset current	V_O (FEEDBACK) = 2.5 V		25		nA
Input bias current	V_O (FEEDBACK) = 2.5 V		0.2		μA
Open-loop voltage amplification	$\Delta V_O = 3\text{ V}$, $R_L = 2\ \text{k}\Omega$, $V_O = 0.5\text{ V to }3.5\text{ V}$		95		dB
Unity-gain bandwidth	$V_O = 0.5\text{ V to }3.5\text{ V}$, $R_L = 2\ \text{k}\Omega$		800		kHz
Common-mode rejection ratio	$\Delta V_O = 40\text{ V}$		80		dB
Output sink current (FEEDBACK)	$V_{ID} = -15\text{ mV to }-5\text{ V}$, V (FEEDBACK) = 0.7 V		0.7		mA

† All typical values, except for parameter changes with temperature, are at $T_A = 25^\circ\text{C}$.



TL494

PULSE-WIDTH-MODULATION CONTROL CIRCUITS

SLVS074B – JANUARY 1983 – REVISED JULY 1999

electrical characteristics over recommended operating free-air temperature range, $V_{CC} = 15\text{ V}$, $f = 10\text{ kHz}$ (unless otherwise noted)

output section

PARAMETER	TEST CONDITIONS	TL494, TL494Y			UNIT
		MIN	TYP†	MAX	
Collector off-state current	$V_{CE} = 40\text{ V}$, $V_{CC} = 40\text{ V}$		2	100	μA
Emitter off-state current	$V_{CC} = V_C = 40\text{ V}$, $V_E = 0$			-100	μA
Collector-emitter saturation voltage	Common emitter $V_E = 0$, $I_C = 200\text{ mA}$		1.1	1.3	V
	Emitter follower $V_{O(C1\text{ or }C2)} = 15\text{ V}$, $I_E = -200\text{ mA}$		1.5	2.5	
Output control input current	$V_I = V_{ref}$			3.5	mA

† All typical values except for temperature coefficient are at $T_A = 25^\circ\text{C}$.

dead-time control section (see Figure 1)

PARAMETER	TEST CONDITIONS	TL494, TL494Y			UNIT
		MIN	TYP†	MAX	
Input bias current (DEAD-TIME CTRL)	$V_I = 0\text{ to }5.25\text{ V}$		-2	-10	μA
Maximum duty cycle, each output	V_I (DEAD-TIME CTRL) = 0, $C_T = 0.1\text{ }\mu\text{F}$, $R_T = 12\text{ k}\Omega$		45%		
Input threshold voltage (DEAD-TIME CTRL)	Zero duty cycle		3	3.3	V
	Maximum duty cycle		0		

† All typical values except for temperature coefficient are at $T_A = 25^\circ\text{C}$.

PWM comparator section (see Figure 1)

PARAMETER	TEST CONDITIONS	TL494, TL494Y			UNIT
		MIN	TYP†	MAX	
Input threshold voltage (FEEDBACK)	Zero duty cycle		4	4.5	V
Input sink current (FEEDBACK)	V (FEEDBACK) = 0.7 V	0.3	0.7		mA

† All typical values except for temperature coefficient are at $T_A = 25^\circ\text{C}$.

total device

PARAMETER	TEST CONDITIONS	TL494, TL494Y			UNIT
		MIN	TYP†	MAX	
Standby supply current	$R_T = V_{ref}$, All other inputs and outputs open	$V_{CC} = 15\text{ V}$	6	10	mA
		$V_{CC} = 40\text{ V}$	9	15	
Average supply current	V_I (DEAD-TIME CTRL) = 2 V, See Figure 1		7.5		mA

† All typical values except for temperature coefficient are at $T_A = 25^\circ\text{C}$.

switching characteristics, $T_A = 25^\circ\text{C}$

PARAMETER	TEST CONDITIONS	TL494, TL494Y			UNIT
		MIN	TYP†	MAX	
Rise time	Common-emitter configuration, See Figure 3		100	200	ns
Fall time			25	100	
Rise time	Emitter-follower configuration, See Figure 4		100	200	ns
Fall time			40	100	

† All typical values except for temperature coefficient are at $T_A = 25^\circ\text{C}$.



POST OFFICE BOX 655303 • DALLAS, TEXAS 75265

TL494 PULSE-WIDTH-MODULATION CONTROL CIRCUITS

SLVS074B – JANUARY 1983 – REVISED JULY 1999

PARAMETER MEASUREMENT INFORMATION

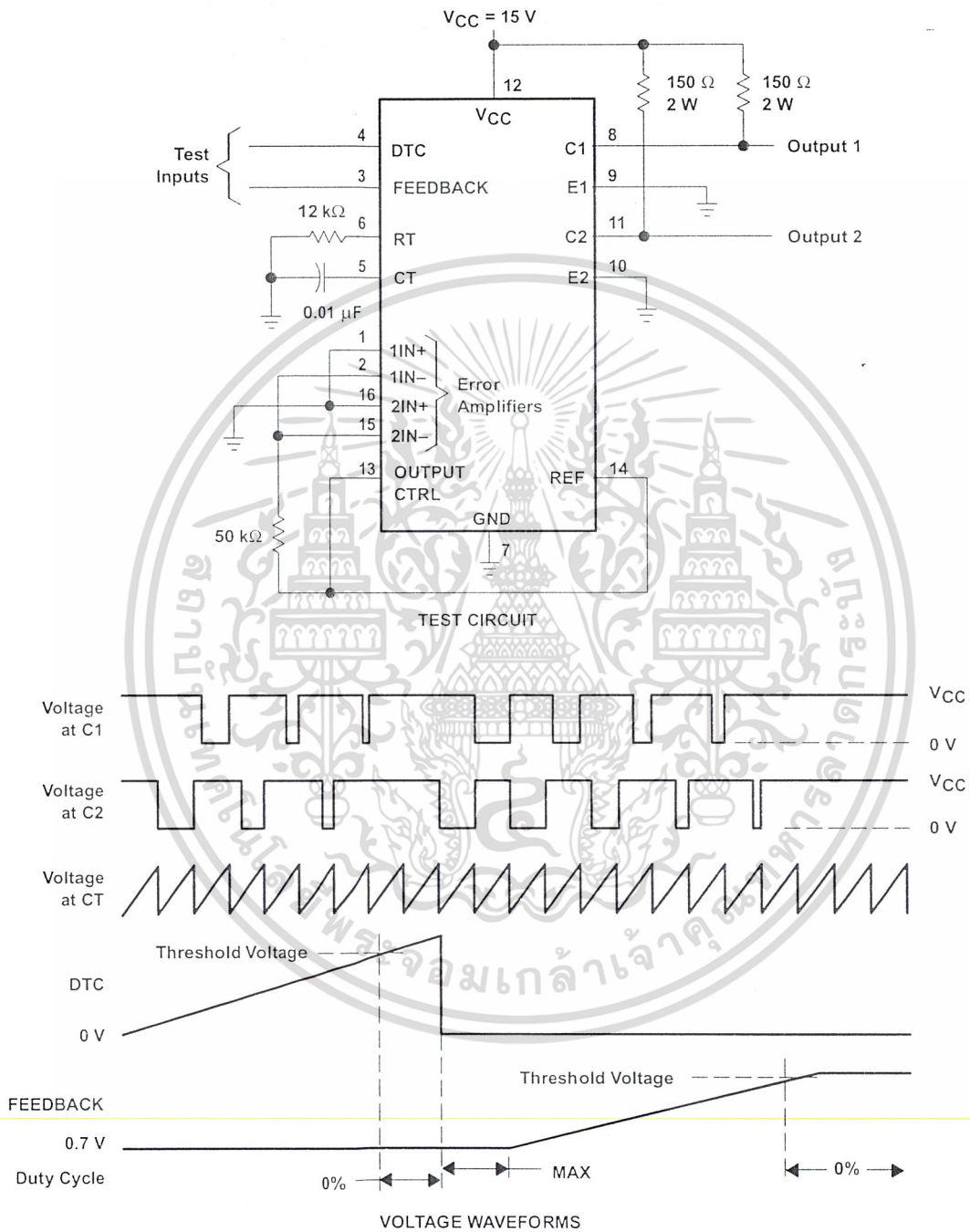


Figure 1. Operational Test Circuit and Waveforms



TL494
PULSE-WIDTH-MODULATION CONTROL CIRCUITS

SLVS074B – JANUARY 1983 – REVISED JULY 1999

PARAMETER MEASUREMENT INFORMATION

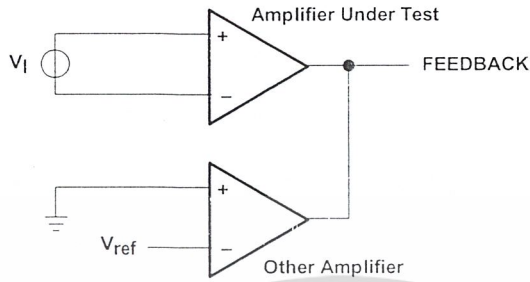
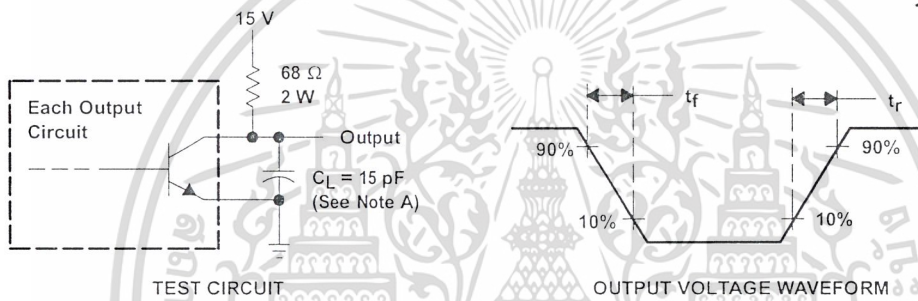
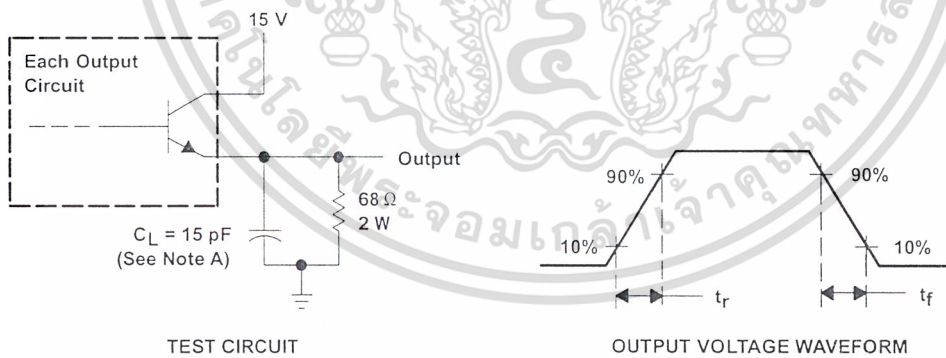


Figure 2. Amplifier Characteristics



NOTE A: C_L includes probe and jig capacitance.

Figure 3. Common-Emitter Configuration



NOTE A: C_L includes probe and jig capacitance.

Figure 4. Emitter-Follower Configuration



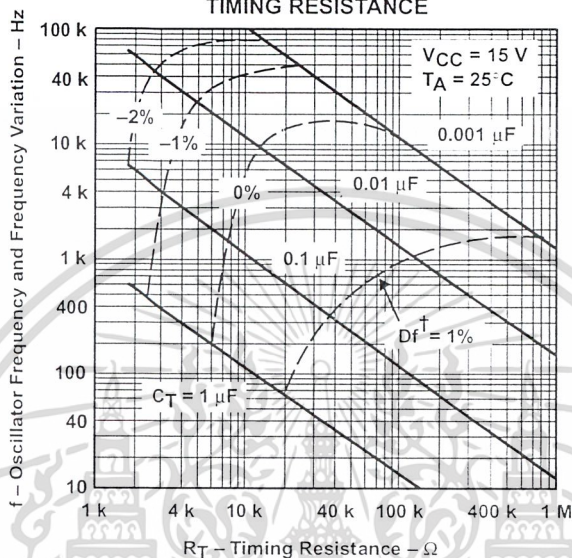
POST OFFICE BOX 655303 • DALLAS, TEXAS 75265

TYPICAL CHARACTERISTICS

OSCILLATOR FREQUENCY AND
FREQUENCY VARIATION†

vs

TIMING RESISTANCE



† Frequency variation (Δf) is the change in oscillator frequency that occurs over the full temperature range.

Figure 5

AMPLIFIER VOLTAGE AMPLIFICATION

vs

FREQUENCY

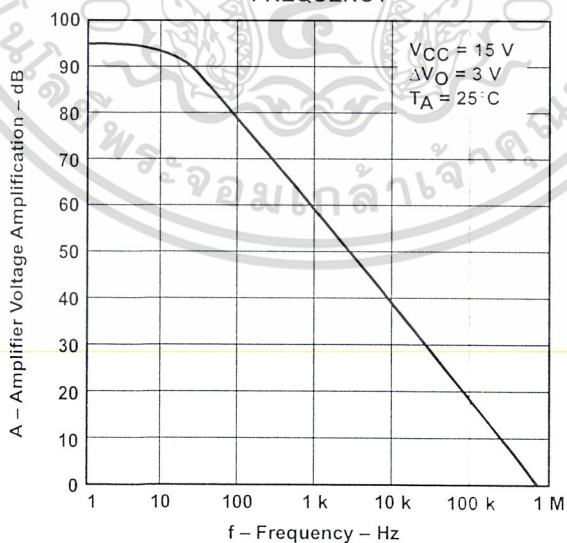


Figure 6



เอกสารนี้เป็นเอกสารที่สงวนไว้สำหรับข้อมูลเท่านั้น ไม่อนุญาตให้นำไปใช้ประโยชน์ด้านกรรค้า

ไม่ว่ากรณีใดๆ ทั้งสิ้น อีกทั้งห้ามมิให้ดัดแปลงเนื้อหา และต้องอ้างอิงถึงเจ้าของเอกสารทุกครั้งที่มีการนำไปใช้

IMPORTANT NOTICE

Texas Instruments and its subsidiaries (TI) reserve the right to make changes to their products or to discontinue any product or service without notice, and advise customers to obtain the latest version of relevant information to verify, before placing orders, that information being relied on is current and complete. All products are sold subject to the terms and conditions of sale supplied at the time of order acknowledgement, including those pertaining to warranty, patent infringement, and limitation of liability.

TI warrants performance of its semiconductor products to the specifications applicable at the time of sale in accordance with TI's standard warranty. Testing and other quality control techniques are utilized to the extent TI deems necessary to support this warranty. Specific testing of all parameters of each device is not necessarily performed, except those mandated by government requirements.

CERTAIN APPLICATIONS USING SEMICONDUCTOR PRODUCTS MAY INVOLVE POTENTIAL RISKS OF DEATH, PERSONAL INJURY, OR SEVERE PROPERTY OR ENVIRONMENTAL DAMAGE ("CRITICAL APPLICATIONS"). TI SEMICONDUCTOR PRODUCTS ARE NOT DESIGNED, AUTHORIZED, OR WARRANTED TO BE SUITABLE FOR USE IN LIFE-SUPPORT DEVICES OR SYSTEMS OR OTHER CRITICAL APPLICATIONS. INCLUSION OF TI PRODUCTS IN SUCH APPLICATIONS IS UNDERSTOOD TO BE FULLY AT THE CUSTOMER'S RISK.

In order to minimize risks associated with the customer's applications, adequate design and operating safeguards must be provided by the customer to minimize inherent or procedural hazards.

TI assumes no liability for applications assistance or customer product design. TI does not warrant or represent that any license, either express or implied, is granted under any patent right, copyright, mask work right, or other intellectual property right of TI covering or relating to any combination, machine, or process in which such semiconductor products or services might be or are used. TI's publication of information regarding any third party's products or services does not constitute TI's approval, warranty or endorsement thereof.

Copyright © 1999, Texas Instruments Incorporated

เอกสารนี้เป็นเอกสารที่สงวนไว้สำหรับการใช้งานเพื่อการศึกษาเท่านั้น ไม่อนุญาตให้นำไปใช้ประโยชน์ด้านการค้า
ไม่ว่ากรณีใดๆ ทั้งสิ้น อีกทั้งห้ามมิให้ดัดแปลงเนื้อหา และต้องอ้างอิงถึงเจ้าของเอกสารทุกครั้งที่มีการนำไปใช้